



รายงานการวิจัยฉบับสมบูรณ์

การเตรียมฟิล์มบาง CuO โดยวิธีรีแอคทีฟดีซีสปัตเตอร์ริงเพื่อประดิษฐ์เป็นเซลล์
แสงอาทิตย์ชนิดรอยต่อวิวิธพันธุ์ CdS/CuO

Fabrication of CuO Thin Films by Reactive DC Sputtering Method for
CdS/CuO Heterojunction Solar Cell

นายจิตินัย แก้วแดง
นางงามนิศย์ วงษ์เจริญ
นางทิพรรัตน์ วงษ์เจริญ
นายชัยสิงห์ ภูริรักษ์เกียรติ

งานวิจัยนี้ได้รับทุนสนับสนุนงานวิจัย
จากเงินงบประมาณแผ่นดิน ประจำปีงบประมาณ พ.ศ. 2558

คณะวิทยาศาสตร์

สถาบันเทคโนโลยีพระจอมเกล้าเจ้าคุณทหารลาดกระบัง



รายงานการวิจัยฉบับสมบูรณ์

การเตรียมฟิล์มบาง CuO โดยวิธีรีแอคทีฟดีซีสปัตเตอร์ริงเพื่อประดิษฐ์เป็นเซลล์

แสงอาทิตย์ชนิดรอยต่อวิวิธพันธุ์ CdS/CuO

Fabrication of CuO Thin Films by Reactive DC Sputtering Method for
CdS/CuO Heterojunction Solar Cell

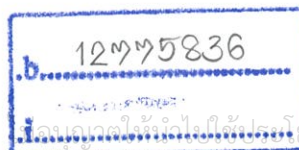
นายจิตินัย แก้วแดง
นางภานิตย์ วงษ์เจริญ
นางทิพรรัตน์ วงษ์เจริญ
นายชัยสิงห์ ภูรักษ์เกียรติ

งานวิจัยนี้ได้รับทุนสนับสนุนงานวิจัย

จากเงินงบประมาณแผ่นดิน ประจำปีงบประมาณ พ.ศ. 2558

คณะวิทยาศาสตร์

สถาบันเทคโนโลยีพระจอมเกล้าเจ้าคุณทหารลาดกระบัง



เอกสารนี้เป็นเอกสารที่สงวนไว้สำหรับการใช้งานเพื่อการศึกษาเท่านั้น

เลขทะเบียน 142452

วันเดือนปี 4 ม.ค. 2559

ชื่อโครงการ (ภาษาไทย) การเตรียมฟิล์มบาง CuO โดยวิธีรีแอ็คทีฟดีซีสปีดเตอริงเพื่อประดิษฐ์เป็น เซลล์แสงอาทิตย์ชนิดรอยต่อวิวิธพันธุ์ CdS/CuO

แหล่งเงิน งบประมาณแผ่นดิน

ประจำปีงบประมาณ 2558 จำนวนเงินที่ได้รับการสนับสนุน 200,000 บาท

ระยะเวลาทำการวิจัย 1 ปี ตั้งแต่ 1 ตุลาคม 2557 ถึง 30 กันยายน 2558

หัวหน้าโครงการวิจัย

นายฐิตินัย แก้วแดง ภาควิชาฟิสิกส์ คณะวิทยาศาสตร์ สถาบันเทคโนโลยีพระจอมเกล้าเจ้าคุณทหาร ลาดกระบัง กรุงเทพฯ 10520, E-mail: thitinai.ga@kmitl.ac.th

ผู้ร่วมโครงการวิจัย

นางงามนิศย์ วงษ์เจริญ ภาควิชาฟิสิกส์ คณะวิทยาศาสตร์ สถาบันเทคโนโลยีพระจอมเกล้าเจ้าคุณทหาร ลาดกระบัง กรุงเทพฯ 10520, E-mail: ngamnit.wo@kmitl.ac.th

นางทิพรรัตน์ วงษ์เจริญ ภาควิชาวิศวกรรมไฟฟ้า คณะวิศวกรรมศาสตร์ มหาวิทยาลัยกรุงเทพ อ.คลองหลวง จ. ปทุมธานี 12120, E-mail: tiparatana.w@bu.ac.th

นายชัยสิงห์ ภูริรักษ์เกียรติ ภาควิชาฟิสิกส์ คณะวิทยาศาสตร์ จุฬาลงกรณ์มหาวิทยาลัย เขตปทุมวัน กรุงเทพฯ 10330, E-mail: Chaisingh.P@chula.ac.th

บทคัดย่อ

ในงานวิจัยนี้ ได้ทำการประดิษฐ์รอยต่อวิวิธพันธุ์ของสารกึ่งตัวนำ CdS และ CuO โดยการเตรียมฟิล์มบางของสารกึ่งตัวนำ CdS และ CuO โดยวิธีระเหยสารเคมีด้วยความร้อนภายในระบบสุญญากาศ และวิธีรีแอ็คทีฟดีซีสปีดเตอริงตามลำดับ จากการศึกษาลักษณะเฉพาะของกระแสไฟฟ้าและแรงดันไฟฟ้าขณะไม่มีการฉายแสง พบว่าถึงประดิษฐ์นี้แสดงพฤติกรรมเรียงกระแสที่ดีแบบไดโอดสารกึ่งตัวนำ จากการวัดความสัมพันธ์ระหว่างกระแสไฟฟ้าและแรงดันไฟฟ้าที่อุณหภูมิค่าในช่วง 100-300 เคลวิน สามารถคำนวณหาค่าความสูงของกำแพงศักย์ แพกเตอร์อุคมคติ และความต้านทานอนุกรม โดยอาศัยทฤษฎีเทอร์มิออนิกอิมิตชันและวิธีของชวง ได้ทำการวัดอิมพีแดนซ์สเปกโตรสโคปีของสิ่งประดิษฐ์รอยต่อวิวิธพันธุ์ของฟิล์มบางของสารกึ่งตัวนำ CdS/CuO ที่อุณหภูมิในช่วง 25-60 องศาเซลเซียส จำนวนจริงและจำนวนจินตภาพของอิมพีแดนซ์เชิงซ้อนมีค่าเปลี่ยนไปตามอุณหภูมิและความถี่ เซลล์แสงอาทิตย์ชนิดแบบนี้ให้กระแสลัดวงจรเท่ากับ 2.3×10^{-5} แอมแปร์ แรงดันเปิดวงจรเท่ากับ 0.32 โวลต์ ประสิทธิภาพของเซลล์แสงอาทิตย์เท่ากับ 4.22 % จากการทดลองพบว่าสิ่งประดิษฐ์นี้สามารถพัฒนาเป็นเซลล์แสงอาทิตย์ชนิดต้นทุนต่ำได้

คำสำคัญ: ฟิล์มบางของ CdS และ CuO, รีแอ็คทีฟดีซีสปีดเตอริง, รอยต่อวิวิธพันธุ์ CdS/CuO

เอกสารนี้เป็นเอกสารผลงานวิจัยสำหรับการใช้งานเพื่อการศึกษาค้นคว้าเท่านั้น เมื่ออนุญาตให้นำไปใช้ประโยชน์ด้านการค้า ไม่ว่าจะกรณีใดๆทั้งสิ้น อีกทั้งห้ามมิให้ดัดแปลงเนื้อหา และต้องอ้างอิงถึงเจ้าของเอกสารทุกครั้งที่มีการนำไปใช้

Research Title: Fabrication of CuO Thin Films by Reactive DC Sputtering Method for CdS/CuO Heterojunction Solar Cell

Researcher: Mr. Thitinai Gaewdang, Mrs. Ngamnit Wongcharoen, Mrs. Tiparatana Wongcharoen and Mr. Chaisingh Poo-Rakkiat

Faculty: Science **Department:** Physics

ABSTRACT

In this research work, p-n heterojunction based on CdS and CuO thin films were fabricated using thermal evaporation and reactive DC magnetron sputtering methods, respectively. The obtained device exhibits a good rectifying behavior of the diode from the dark I-V characteristics. From the data of I-V measurements at low temperature range of 100-300 K, the junction barrier height, ideality factor and series resistance values can be evaluated by using thermionic emission theory and Cheung's method. Impedance spectroscopy of the device was investigated at temperature of 25-60 °C. The real and imaginary parts of the complex impedance are changed with the temperature and frequency. The obtained device exhibits a short-circuit of 2.3×10^{-5} A, open-circuit voltage of 0.32 V and power conversion efficiency of 4.22 %. The experimental results suggest that the device could be used possibly a good candidate for photovoltaic devices with low thermal budget and low product cost.

Keywords : CdS and CuO thin films, reactive DC magnetron sputtering, CdS/CuO heterojunction

กิตติกรรมประกาศ

โครงการวิจัยนี้สำเร็จลุล่วงไปได้ด้วยดีก็ด้วยความอนุเคราะห์ของรองศาสตราจารย์ ดร.วิศุทธิ์ ชูติรุ่งเรือง หัวหน้าศูนย์วิจัยอิเล็กทรอนิกส์ คณะวิศวกรรมศาสตร์ สถาบันเทคโนโลยีพระจอมเกล้าเจ้าคุณทหารลาดกระบัง ที่ให้ความอนุเคราะห์นำปลอดประจวบมาใช้ในงานวิจัยนี้

ขอขอบคุณ นายณพนธ์ เศษะคำภู และนางสาวชนิภรณ์ จูไรสง นักศึกษาของห้องปฏิบัติการวิจัยวัสดุโฟโตนิกส์ สาขาวิชาฟิสิกส์ คณะวิทยาศาสตร์ สถาบันเทคโนโลยีพระจอมเกล้าเจ้าคุณทหารลาดกระบัง ที่ให้ความช่วยเหลือในการเก็บข้อมูลของการทดลองและช่วยทำรูปเล่มรายงานจนเสร็จสมบูรณ์

ขอขอบคุณ ศูนย์บริการเครื่องมือวิทยาศาสตร์ และเจ้าหน้าที่ศูนย์เครื่องมือวิทยาศาสตร์ คณะวิทยาศาสตร์ ที่กรุณาให้ความอนุเคราะห์และการแนะนำในการใช้เครื่อง ยูวี-วิสลิเบิล แบบดับเบิลบีม สเปกโตรโฟโตมิเตอร์ ยี่ห้อ Thermo electron corporation รุ่น HeLios α ที่ใช้ในการศึกษาคุณสมบัติเชิงแสง โดยการวัดการส่งผ่านแสงของฟิล์มบางในช่วงความยาวคลื่นอัลตราไวโอเล็ตไปจนถึงย่านอินฟราเรด (ความยาวคลื่น 190 – 1100 nm) และเครื่องเอ็กซ์เรย์ดิฟแฟรคโตมิเตอร์ ยี่ห้อ Bruker รุ่น D8 Advance ซึ่งรังสีเอ็กซ์มีความยาวคลื่นในย่าน $\text{Cu}_{K\alpha}$ 1.5406 Å ในการศึกษาลักษณะโครงสร้างผลึกเชิงจุลภาคและกล้องจุลทรรศน์อิเล็กตรอนแบบส่องกราด ยี่ห้อ JEOL รุ่น JSM - 6400 ในการศึกษาโครงสร้างผลึกเชิงมหภาคของฟิล์มบาง

การวิจัยครั้งนี้ได้รับทุนสนับสนุนการวิจัยจากสถาบันเทคโนโลยีพระจอมเกล้าเจ้าคุณทหารลาดกระบัง จากเงินงบประมาณแผ่นดิน ประจำปีงบประมาณ 2558 จึงขอขอบคุณมา ณ ที่นี้

นายจิตินัย แก้วแดง
นางงามนิศย์ วงษ์เจริญ
นางทิพรรัตน์ วงษ์เจริญ
นายชัยสิงห์ ภูริกษ์เกียรติ

สารบัญ

	หน้า
บทคัดย่อภาษาไทย	I
บทคัดย่อภาษาอังกฤษ	II
กิตติกรรมประกาศ	III
สารบัญ	IV
สารบัญตาราง	X
สารบัญภาพ	XII
บทที่ 1 บทนำ	1
1.1 ความเป็นมาและความสำคัญของปัญหา	1
1.2 วัตถุประสงค์ของการวิจัย	4
1.3 ขอบเขตของการวิจัย	4
1.4 วิธีดำเนินการวิจัย	5
1.5 ประโยชน์ที่คาดว่าจะได้รับ	6
บทที่ 2 ทฤษฎีและงานวิจัยที่เกี่ยวข้อง	7
2.1 วัตถุประสงค์ของงานวิจัยเบื้องต้น	7
2.2 โครงสร้างของผลึก	8
2.2.1 โครงสร้างผลึกของสารประกอบที่เกิดจากอะตอมของธาตุกลุ่ม II และกลุ่ม VI	8
2.2.1.1 โครงสร้างผลึกแบบซิงค์เบลนด์	9
2.2.1.2 โครงสร้างผลึกแบบเวอร์ทไซต์	10
2.2.1.3 โครงสร้างผลึกของสารกึ่งตัวนำ Cu_2O และ CuO	10
2.2.2 หลักเกณฑ์ในการระบุชื่อระนาบของผลึก	13
2.2.2.1 การระบุตำแหน่ง	13
2.2.2.2 การระบุทิศทาง	13
2.2.2.3 การระบุชื่อระนาบ	13
2.3 การศึกษาโครงสร้างผลึกเชิงจุลภาคด้วยการเลี้ยวเบนรังสีเอกซ์	14
2.3.1 การวิเคราะห์โครงสร้างผลึก	15

เอกสารนี้เป็นเอกสารที่สงวนไว้สำหรับการใช้งานเพื่อการศึกษาเท่านั้น ไม่อนุญาตให้นำไปใช้ประโยชน์ด้านการค้า
ไม่ว่ากรณีใดๆทั้งสิ้น อีกทั้งห้ามมิให้ดัดแปลงเนื้อหา และต้องอ้างอิงถึงเจ้าของเอกสารทุกครั้งที่มีการนำไปใช้

สารบัญ (ต่อ)

	หน้า
2.3.2 การหาขนาดของเกรน	16
2.4 การศึกษาโครงสร้างผลึกเชิงมหภาคด้วยกล้องจุลทรรศน์อิเล็กตรอนแบบส่องกราด	17
2.5 การส่งผ่านแสง	18
2.6 รอยต่อพี-เอ็นของสารกึ่งตัวนำ	20
2.6.1 รอยต่อในสภาวะสมดุลความร้อน	20
2.6.2 รอยต่อแบบขั้วกันขั้วโค	21
2.6.3 รอยต่อพี-เอ็นภายใต้สภาวะการไบแอสย้อนกลับ	24
2.7 ค่าความจุไฟฟ้า	25
2.8 ลักษณะกระแส-แรงดันไฟฟ้าของรอยต่อพี-เอ็น	28
2.9 เส้นใยขอบเขตของความเข้มข้นของพาหะข้างน้อย	28
2.10 การวิเคราะห์ไดโอดออคุมคติ	29
2.10.1 ลักษณะสมบัติของไดโอดยาว	30
2.10.2 ลักษณะสมบัติของไดโอดสั้น	32
2.11 กระแสเนื่องจากบริเวณประจุค้าง	34
2.12 เซลล์แสงอาทิตย์ชนิดรอยต่อพี-เอ็น	37
2.12.1 การตอบสนองต่อแสง	37
2.12.2 ลักษณะเฉพาะกระแส-แรงดันไฟฟ้า	44
2.13 หลักการสปีดเตอร์ริง	47
2.13.1 โกลดิสซาร์จ	47
2.13.2 สปีดเตอร์ริง	49
2.13.2.1 ยึดการสปีดเตอร์ริง	49
2.13.2.2 ดีซีไดโอดสปีดเตอร์ริง	50
2.13.2.3 ดีซีแมกนีตรอนสปีดเตอร์ริง	51
2.14 องค์ประกอบที่สำคัญของหัวดีซีแมกนีตรอนสปีดเตอร์ริง	55
2.14.1 วัสดุที่ใช้สร้างหัวดีซีแมกนีตรอน	55
2.14.2 การให้ความเย็นที่เป่า	55
2.14.3 การควบคุมให้เกิดการสปีดเตอร์ริงเฉพาะผิวเป่า	55
2.14.4 ลักษณะของสนามแม่เหล็ก	57

เอกสารนี้เป็นเอกสารที่สงวนไว้สำหรับการใช้งานเพื่อการศึกษาเท่านั้น ไม่อนุญาตให้นำไปใช้ประโยชน์ด้านการค้า
ไม่ว่ากรณีใดๆทั้งสิ้น อีกทั้งห้ามมิให้ดัดแปลงเนื้อหา และต้องอ้างอิงถึงเจ้าของเอกสารทุกครั้งที่มีการนำไปใช้

สารบัญ (ต่อ)

	หน้า
2.15 คุณสมบัติของพลาสติก	60
2.15.1 หัววัดลามัวร์	60
2.15.2 ลักษณะเฉพาะของกระแสและความต่างศักย์	60
2.15.2.1 อุณหภูมิอิเล็กทรอนิกส์	62
2.15.2.2 ความหนาแน่นพลาสติก	62
2.15.2.3 ผลของสนามแม่เหล็ก	63
บทที่ 3 วิธีดำเนินการวิจัย	64
3.1 วิธีการทดลองและเครื่องมือการวิจัย	64
3.1.1 อุปกรณ์ที่ใช้ในการเตรียมแผ่นฐานรองรับที่เป็นแผ่นกระจกสไลด์	64
3.1.2 อุปกรณ์ที่ใช้ในการเตรียมฟิล์มบางของสารกึ่งตัวนำ CuO โดยวิธีรีแอ็คทีฟดิซีแมกนีตรอนสปีดเตอริง	64
3.1.3 อุปกรณ์ที่ใช้ในการศึกษาสมบัติทางฟิสิกส์บางประการของฟิล์มบางที่เตรียมได้	65
3.1.3.1 อุปกรณ์ที่ใช้ในการตรวจสอบโครงสร้างผลึกของฟิล์มบางโดยการเลี้ยวเบนรังสีเอกซ์	65
3.1.3.2 อุปกรณ์ที่ใช้ในการวัดการส่งผ่านทางแสงโดยใช้เครื่องสเปกโตรโฟโตมิเตอร์	65
3.1.3.3 อุปกรณ์ที่ใช้ในการวัดค่าความต้านทานแผ่น	66
3.1.3.4 อุปกรณ์ที่ใช้ในวัดค่าสภาพต้านทานไฟฟ้าเชิงแสง	66
3.1.3.5 อุปกรณ์ที่ใช้ในการวัดปรากฏการณ์ฮอลล์	66
3.1.3.6 อุปกรณ์ที่ใช้ในการวัดความต้านทานแผ่นที่อุณหภูมิสูง	67
3.2 ขั้นตอนในการเตรียมฟิล์มบางของสารกึ่งตัวนำ CuO โดยวิธีรีแอ็คทีฟดิซีแมกนีตรอนสปีดเตอริง	67
3.2.1 การเตรียมแผ่นฐานรองรับที่เป็นกระจกสไลด์	67
3.2.2 การเตรียมฟิล์มบางของโลหะคอปเปอร์โดยวิธีดิซีแมกนีตรอนสปีดเตอริง	68
3.2.3 วิธีการทำรีแอ็คทีฟดิซีแมกนีตรอนสปีดเตอริง	74

สารบัญ (ต่อ)

	หน้า
บทที่ 4 ผลการวิจัยและอภิปรายผล	76
4.1 ผลของอัตราการไหลของก๊าซอาร์กอนและแรงดันไฟฟ้าระหว่างขั้วอิเล็กโทรดที่มีต่อการโกลดิสซาร์จ	76
4.2 ผลการเตรียมฟิล์มบางคอปเปอร์ออกไซด์โดยวิธีรีแอคทีฟดีซีแมกนีตรอนสเปคเตอริง	79
4.3 ลักษณะของฟิล์มบางที่เคลือบอยู่บนแผ่นฐานรองรับที่เป็นกระจกสไลด์ของสารกึ่งตัวนำ CdS และ CuO และสิ่งประดิษฐ์รอยต่อวิวิธพันธุ์ของฟิล์มบางของสารกึ่งตัวนำ n-CdS/p-CuO ซึ่งเตรียมโดยวิธีรีแอคทีฟดีซีแมกนีตรอนสเปคเตอริง	84
4.4 การศึกษาสมบัติทางฟิสิกส์ของสิ่งประดิษฐ์รอยต่อวิวิธพันธุ์ของฟิล์มบางของสารกึ่งตัวนำ n-CdS/p-CuO ซึ่งเตรียมโดยวิธีรีแอคทีฟดีซีแมกนีตรอนสเปคเตอริง	85
4.4.1 ผลการศึกษาโครงสร้างของผลึกเชิงจุลภาคด้วยวิธีการเลี้ยวเบนรังสีเอกซ์ของสิ่งประดิษฐ์รอยต่อวิวิธพันธุ์ของฟิล์มบางของสารกึ่งตัวนำ n-CdS/p-CuO ที่เคลือบบนแผ่นฐานรองรับที่เป็นกระจก FTO สไลด์ ซึ่งเตรียมโดยซึ่งเตรียมโดยวิธีรีแอคทีฟดีซีแมกนีตรอนสเปคเตอริง	85
4.4.2 ผลการศึกษาโครงสร้างผลึกเชิงมหภาคด้วยกล้องจุลทรรศน์อิเล็กตรอนแบบส่องกราดของสิ่งประดิษฐ์รอยต่อวิวิธพันธุ์ของฟิล์มบางของสารกึ่งตัวนำ n-CdS/p-CuO ที่เคลือบบนแผ่นฐานรองรับที่เป็นกระจก FTO ซึ่งเตรียมโดยวิธีรีแอคทีฟดีซีแมกนีตรอนสเปคเตอริง	87
4.4.3 ผลการศึกษาการส่งผ่านแสงของสิ่งประดิษฐ์รอยต่อวิวิธพันธุ์ของฟิล์มบางของสารกึ่งตัวนำ n-CdS/p-CuO ที่เคลือบบนแผ่นฐานรองรับที่เป็นกระจก FTO ซึ่งเตรียมโดยวิธีรีแอคทีฟดีซีแมกนีตรอนสเปคเตอริง	88
4.5 การศึกษาสมบัติทางไฟฟ้าของสิ่งประดิษฐ์รอยต่อวิวิธพันธุ์ของฟิล์มบางของสารกึ่งตัวนำ n-CdS/p-CuO ที่เคลือบบนแผ่นฐานรองรับที่เป็นกระจก FTO ซึ่งเตรียมโดยวิธีรีแอคทีฟดีซีแมกนีตรอนสเปคเตอริง	89
4.5.1 ผลการศึกษาสมบัติทางไฟฟ้าโดยการวัดปรากฏการณ์ฮอลล์ของฟิล์มบางของสารกึ่งตัวนำ CuO ซึ่งเตรียมโดยวิธีรีแอคทีฟดีซีแมกนีตรอนสเปคเตอริง	89

สารบัญ (ต่อ)

	หน้า
4.5.2 ผลการศึกษาความสัมพันธ์ระหว่างค่ากระแสไฟฟ้ากับแรงดันไฟฟ้าของ สิ่งประดิษฐ์รอยต่อวิวิธพันธุ์ของสารกึ่งตัวนำ n-CdS/p-CuO ที่เคลือบบน แผ่นฐานรองรับที่เป็นกระจก FTO ซึ่งเตรียม โดยวิธีรีแอ็คทีฟดีซีแมกนีต รอนสปีดเตอริงเมื่อทำการวัดที่อุณหภูมิห้อง	92
4.5.3 ผลการศึกษาความสัมพันธ์ระหว่างค่ากระแสไฟฟ้ากับแรงดันไฟฟ้าของ สิ่งประดิษฐ์รอยต่อวิวิธพันธุ์ของฟิล์มบางของสารกึ่งตัวนำ n-CdS/p-CuO ที่เคลือบบนแผ่นฐานรองรับที่เป็นกระจก FTO ซึ่งเตรียม โดยวิธีรีแอ็คทีฟ ดีซีแมกนีตรอนสปีดเตอริงเมื่อทำการวัดที่อุณหภูมิต่ำในช่วงอุณหภูมิ 10- 300 เคลวิน	98
4.5.4 การศึกษาสมบัติทางไฟฟ้ากระแสสลับในช่วงความถี่ 10 กิโลเฮิร์ตซ์ ถึง 2 เมกะเฮิร์ตซ์ ของสิ่งประดิษฐ์รอยต่อวิวิธพันธุ์ของฟิล์มบางของสารกึ่ง ตัวนำ n-CdS/p-CuO ที่เคลือบบนแผ่นฐานรองรับที่เป็นกระจก FTO ซึ่ง เตรียม โดยวิธีรีแอ็คทีฟดีซีแมกนีตรอนสปีดเตอริง	104
4.5.5 ผลการศึกษาสภาพนำไฟฟ้าเชิงแสงของสิ่งประดิษฐ์รอยต่อพันธุ์ของฟิล์ม บางของสารกึ่งตัวนำ n-CdS/p-CuO ที่เคลือบบนแผ่นฐานรองรับที่เป็น กระจก FTO ซึ่งเตรียม โดยวิธีรีแอ็คทีฟดีซีแมกนีตรอนสปีดเตอริง	109
บทที่ 5 สรุปผลการวิจัยและข้อเสนอแนะ	114
5.1 สรุปผลการทดลองของการศึกษาสิ่งประดิษฐ์รอยต่อวิวิธพันธุ์ของฟิล์มบางของ สารกึ่งตัวนำ n-CdS/p-CuO ซึ่งเตรียม โดยวิธีรีแอ็คทีฟดีซีแมกนีตรอนสปีดเตอริง	114
5.1.1 ฟิล์มบางของสารกึ่งตัวนำ CdS และ CuO ที่เคลือบอยู่บนแผ่น ฐานรองรับ ที่เป็นกระจกสไลด์	114
5.1.2 ผลการศึกษาสมบัติไฟฟ้าของสิ่งประดิษฐ์รอยต่อวิวิธพันธุ์ของฟิล์มบาง ของสารกึ่งตัวนำ n-CdS/p-CuO	115
5.1.3 ผลการศึกษาค่าความจุไฟฟ้า-ความถี่เมื่อทำการวัดที่อุณหภูมิสูงในช่วง อุณหภูมิ 25-60 องศาเซลเซียส ของสิ่งประดิษฐ์รอยต่อวิวิธพันธุ์ของฟิล์ม บางของสารกึ่งตัวนำ n-CdS/p-CuO	115

สารบัญ (ต่อ)

	หน้า
5.2 ประโยชน์ที่ได้รับ	116
5.3 ปัญหาและข้อเสนอแนะ	116
บทที่ 6 สรุปผลผลิตงานวิจัย	118
เอกสารอ้างอิง	138
ภาคผนวก	142
ประวัตินักวิจัย	153



เอกสารนี้เป็นเอกสารที่สงวนไว้สำหรับการใช้งานเพื่อการศึกษาเท่านั้น ไม่อนุญาตให้นำไปใช้ประโยชน์ด้านการค้า
ไม่ว่ากรณีใดๆทั้งสิ้น อีกทั้งห้ามมิให้ดัดแปลงเนื้อหา และต้องอ้างอิงถึงเจ้าของเอกสารทุกครั้งที่มีการนำไปใช้

สารบัญตาราง

ตารางที่	หน้า
2.1	50
4.1	78
4.2	80
4.3	83
4.4	84
4.5	90
4.6	98
4.7	99
4.8	109
4.9	111

เอกสารนี้เป็นเอกสารที่สงวนไว้สำหรับการใช้งานเพื่อการศึกษาเท่านั้น ไม่อนุญาตให้拿去ไปใช้ประโยชน์ด้านการค้า
ไม่ว่ากรณีใดๆทั้งสิ้น อีกทั้งห้ามมิให้ดัดแปลงเนื้อหา และต้องอ้างอิงถึงเจ้าของเอกสารทุกครั้งที่มีการนำไปใช้

สารบัญตาราง (ต่อ)

ตารางที่	หน้า
4.10 ค่าความหนาแน่นของกัณฑ์ภาพชนิดต่างๆ ที่ได้จากการวัดสภาพนำไฟฟ้าเชิงแสงคือ รันของสิ่งประดิษฐ์รอยต่อวิวิธพันธุ์ของฟิล์มบางของสารกึ่งตัวนำ n-CdS/p-CuO ซึ่งเตรียมโดยวิธีรีแอ็คทีฟคิซีแมกนีตรอนสปัตเตอริง	111
4.11 ค่าพารามิเตอร์ต่างๆ ที่สำคัญของรอยต่อวิวิธพันธุ์ n-CdS/CuO เมื่อทำการวัดกระแส- แรงดันไฟฟ้าที่อุณหภูมิห้องภายใต้การฉายแสงด้วยความเข้มค่าต่างๆ	113



สารบัญญภาพ

ภาพที่	หน้า
2.1 สภาพนำไฟฟ้าและสภาพต้านทานไฟฟ้าของสารฉนวน สารกึ่งตัวนำและสารตัวนำ	7
2.2 พันธะลิ้น้ำหรือพันธะเตตระไฮดรัล	8
2.3 โครงสร้างผลึกแบบคิวบิกหรือซิงค์เบลนด์ของสารกึ่งตัวนำ CdS	9
2.4 โครงสร้างผลึกแบบเวิร์ทไซท์ของสารกึ่งตัวนำ CdS	10
2.5 โครงสร้างผลึกของสารกึ่งตัวนำ Cu ₂ O	11
2.6 โครงสร้างผลึกของสารกึ่งตัวนำ Cu ₂ O	12
2.7 แผนภาพเฟสของระบบของสารประกอบ CuO แสดงความสัมพันธ์ระหว่างความดัน ย่อย และอุณหภูมิของแผ่นฐานรองรับ ในการเตรียมฟิล์มบางคอปเปอร์ออกไซด์ ใน ระบบสุญญากาศ เฟสที่เกิดขึ้นได้ คือ Cu, Cu ₂ O และ CuO	12
2.8 การบอกชื่อระนาบต่างๆ ของผลึก	14
2.9 การเลี้ยวเบนของรังสีเอกซ์บนระนาบของผลึกที่เป็นไปตามกฎของแบรกก์	15
2.10 ตัวอย่างของสเปกตรัมที่ได้จากการเลี้ยวเบนของรังสีเอกซ์	16
2.11 ค่า $\beta_{2\theta}$ เพื่อนำไปหาขนาดของเกรนจากสเปกตรัมของการเลี้ยวเบนของรังสีเอกซ์	16
2.12 ส่วนประกอบของกล้องจุลทรรศน์อิเล็กตรอนแบบส่องกราด	17
2.13 ภาพจำลองเมื่อแสงตกกระทบบนแผ่นฟิล์มบาง	18
2.14 ลักษณะของโครงสร้างแถบพลังงานของสารกึ่งตัวนำชนิดพีและชนิดเอ็น ก. ขณะที่สารกึ่งตัวนำทั้งสองชนิดยังไม่ได้สัมผัสกันเป็นรอยต่ออวิวิธพันธุ์ ข. ขณะที่สารกึ่งตัวนำทั้งสองชนิดที่ถูกนำมาทำเป็นรอยต่ออวิวิธพันธุ์ ค. ขณะที่สารกึ่งตัวนำทั้งสองชนิดถูกนำมาทำเป็นรอยต่ออวิวิธพันธุ์และอยู่ใน สภาวะสมดุลเชิงความร้อน	21
2.15 ไดโอดของสารกึ่งตัวนำที่มีรอยต่อแบบพี-เอ็นที่เป็นแบบจันบันไดที่เป็นฟังก์ชันกับ ระยะทาง ก. ความเข้มข้นสารเจือ ข. ความหนาแน่นของพาหะอิสระ ค. ประจุค้าง ง. สนามไฟฟ้าที่บริเวณรอยต่อ จ. ศักย์ไฟฟ้าที่บริเวณรอยต่อ	22

สารบัญญภาพ (ต่อ)

ภาพที่	หน้า
2.16	
โปรไฟล์ของค่าพารามิเตอร์ต่างๆในบริเวณเขตปลอดภัย	
ก. แสดงความหนาแน่นอะตอมของสารเจือที่มีค่าไม่สม่ำเสมอภายในเขตปลอดภัย	
ข. ลักษณะของสนามไฟฟ้าในบริเวณเขตปลอดภัยเมื่อแรงดันไบแอสย้อนกลับมีค่าเปลี่ยนไปเล็กน้อย	26
2.17	
โครงสร้างของไดโอดชนิดรอยต่อพี-เอ็นขณะถูกไบแอสไปหน้าด้วยแรงดัน V_a	28
2.18	
การลดลงของความหนาแน่นของโฮลส่วนเกินในเนื้อสารกึ่งตัวนำชนิดเอ็นของรอยต่อพี-เอ็นของไดโอดยาวภายใต้การฉีดพาหะระดับต่ำด้วยแรงดันไบแอสไปหน้าค่าเท่ากับ V_a	30
2.19	
กระแสโฮล (เส้นทึบ) กับกระแสอิเล็กตรอน (เส้นประ) ในเนื้อสารด้านสารกึ่งตัวนำชนิดเอ็นซึ่งอยู่นอกรอยต่อพี-เอ็น ซึ่งประมาณว่าเป็นกลางทางไฟฟ้าเนื่องจากประมาณว่าไม่ได้รับผลกระทบจากแรงดันไบแอสไปหน้า V_a	31
2.20	
ความหนาแน่นของโฮลภายในเนื้อสารกึ่งตัวนำชนิดเอ็นของรอยต่อพี-เอ็นของไดโอดสั้นภายใต้การไบแอสไปหน้า V_a	33
2.21	
อัตราส่วนของ x_p/x_n เป็นฟังก์ชันกับแรงดันไบแอสย้อนกลับที่ความหนาแน่นของอะตอมผู้ให้ค่าต่างๆของรอยต่อ $p+n$	36
2.22	
เซลล์แสงอาทิตย์ชนิดรอยต่อพี-เอ็นของซิลิกอน	37
2.23	
ก. อัตราการเกิดคู่อิเล็กตรอน-โฮล เป็นฟังก์ชันของระยะทางจากบริเวณผิว รอยต่อของสารกึ่งตัวนำสำหรับความยาวคลื่นแสงสั้นและยาว	
ข. มิติของเซลล์แสงอาทิตย์และความกว้างของการแพร่พาหะข้างน้อย	
ค. ความเข้มข้นของอะตอมของสารเจือที่บริเวณผิวรอยต่อของเซลล์แสงอาทิตย์	38
2.24	
ก. ผลจากการคำนวณการตอบสนองต่อแสงของเซลล์แสงอาทิตย์แบบที่เป็นรอยต่อชนิดเอ็น-พีของสารกึ่งตัวนำซิลิกอน โดยแสดงการแจกแจง 3 บริเวณ (เส้นประแทนด้วยการตอบสนองในเชิงอุดมคติ)	
ข. ผลจากการคำนวณการตอบสนองต่อแสงของเซลล์แสงอาทิตย์แบบที่เป็นรอยต่อชนิดเอ็น-พีของสารกึ่งตัวนำซิลิกอนที่มีอัตราการรวมตัวของพาหะที่บริเวณผิวรอยต่อต่างกัน	42
2.25	
วงจรสมมูลในอุดมคติของเซลล์แสงอาทิตย์	44

สารบัญญภาพ (ต่อ)

ภาพที่	หน้า
2.26 ก. ลักษณะเฉพาะของกระแส-แรงดันของเซลล์แสงอาทิตย์ขณะที่มีการฉายแสง ข. ภาพกลับหัวของรูป 2.26 (ก)	44
2.27 แสดงลักษณะเฉพาะกระแส-แรงดัน ไฟฟ้าของเซลล์แสงอาทิตย์ประกอบด้วยความ ต้านทานอนุกรมและความต้านทานขนาน	45
2.28 แสดงลักษณะเฉพาะของกระแส-แรงดัน ไฟฟ้าของ โมดูลของเซลล์แสงอาทิตย์	46
2.29 โครงสร้างของการ โกลวดิสซาร์จ	48
2.30 การเกิดสปีดเตอร์ริงที่ผิวเป้า	49
2.31 การสปีดเตอร์ริงโดยคี่ซีแมกนีตรอนสปีดเตอร์ริง	51
2.32 การเคลื่อนที่เป็นเกลียววงกลมของอิเล็กตรอนที่ถูกกักเก็บไว้ที่ผิวเป้าในเส้นทางเลื่อน ลอยของสนามไฟฟ้าและสนามแม่เหล็กตามขวางที่มีทิศทางตั้งฉากกัน	53
2.33 ความต่างศักย์ของการดิซซาร์จกับสนามแม่เหล็กที่วัดในขั้วอิเล็กโตรด โคแอคเซียล ทรงกระบอก	54
2.34 ลักษณะของแมกนีตรอนแบบสมมาตร	58
2.35 ลักษณะของแมกนีตรอนแบบไม่สมมาตรประเภทที่ 1	59
2.36 แสดงลักษณะของแมกนีตรอนแบบไม่สมมาตรประเภทที่ 2	59
2.37 หัววัดเดี่ยววางมั่วที่สอดเข้าไปในพลาสมา	60
2.38 แผนภาพลักษณะเฉพาะของกระแสกับความต่างศักย์	61
3.1 ภาพถ่ายเครื่องเอ็กซ์เรย์คิฟแฟรค โตรมิเตอร์ ยี่ห้อ Bruker รุ่น D8 Advance	65
3.2 ภาพถ่ายเครื่อง UV-VIS ยี่ห้อ Thermo electron corporation รุ่น (He λ ios α)	65
3.3 ภาพถ่ายอิเล็กโตรมิเตอร์ ยี่ห้อ Keithley รุ่น 236 และซอฟต์แวร์ที่ใช้วัดความต้านทาน แผ่น	66
3.4 ภาพถ่ายอิเล็กโตรมิเตอร์ ยี่ห้อ Keithley รุ่น 236 และซอฟต์แวร์ที่ใช้วัดสภาพนำไฟฟ้า เชิงแสง	66
3.5 ภาพถ่ายอุปกรณ์ที่ใช้วัดปรากฏการณ์ฮอลล์	67
3.6 ภาพถ่ายอุปกรณ์ที่ใช้ในการวัดความต้านทานของฟิล์มบางที่อุณหภูมิสูงกว่า อุณหภูมิห้อง	67
3.7 ขั้นตอนการเตรียมแผ่นฐานรองรับที่เป็นกระจกสไลด์	68

เอกสารนี้เป็นเอกสารที่สงวนไว้สำหรับการใช้งานเพื่อการศึกษาเท่านั้น ไม่อนุญาตให้นำไปใช้ประโยชน์ด้านการค้า
ไม่ว่ากรณีใดๆทั้งสิ้น อีกทั้งห้ามมิให้ดัดแปลงเนื้อหา และต้องอ้างอิงถึงเจ้าของเอกสารทุกครั้งที่มีการนำไปใช้

สารบัญภาพ (ต่อ)

ภาพที่	หน้า
4.1 ภาพถ่ายของการ โกลวดิซซาร์จเมื่อมีการเปลี่ยนแปลงอัตราการไหลของก๊าซ อาร์กอน เข้าห้องสุญญากาศ	77
4.2 ภาพถ่ายของฟิล์มบางคอปเปอร์ออกไซด์ที่เตรียมได้โดยวิธีรีแอคทีฟดีซีแมกนีตรอน สปีดเตอริงที่อัตราการไหลของก๊าซออกซิเจนค่าต่างๆ	81
4.3 กราฟแสดงความสัมพันธ์ระหว่างสัมประสิทธิ์การส่งผ่านแสงกับความยาวคลื่นของ ฟิล์มบางคอปเปอร์ออกไซด์ที่เตรียมได้โดยวิธีรีแอคทีฟดีซีแมกนีตรอนสปีดเตอริงที่ อัตราการไหลของก๊าซออกซิเจนค่าต่างๆ	82
4.4 กราฟแสดงความสัมพันธ์ระหว่างค่า $(\alpha h\nu)^2$ กับ $h\nu$ ของฟิล์มบางคอปเปอร์ออกไซด์ที่ เตรียมได้โดยวิธีรีแอคทีฟดีซีแมกนีตรอนสปีดเตอริงที่อัตราการไหลของก๊าซออกซิเจน ค่าต่างๆ	82
4.5 กราฟแสดงความสัมพันธ์ระหว่างช่องว่างพลังงานกับอัตราการไหลของก๊าซออกซิเจน ค่าต่างๆ	83
4.6 ค่าสภาพต้านทาน ไฟฟ้าของฟิล์มบางคอปเปอร์ออกไซด์ซึ่งเตรียม โดยวิธีรีแอคทีฟดีซี แมกนีตรอนสปีดเตอริงที่อัตราการไหลของก๊าซออกซิเจนค่าต่างๆ	84
4.7 ฟิล์มบางของสารกึ่งตัวนำ CdS ที่เคลือบลงบนแผ่นฐานรองรับที่เป็นกระจก FTO ซึ่ง เตรียม โดยวิธีการระเหยสารเคมีด้วยความร้อนในระบบสุญญากาศ	85
4.8 ฟิล์มบางของสารกึ่งตัวนำ CuO ที่เคลือบลงบนแผ่นฐานรองรับที่เป็นฟิล์มบางของสาร กึ่งตัวนำ CdS ซึ่งเตรียม โดยวิธีรีแอคทีฟดีซีแมกนีตรอนสปีดเตอริง	85
4.9 พิจารณาความเข้มการเลี้ยวเบนของรังสีเอกซ์ของฟิล์มบางของสารกึ่งตัวนำ CdS ที่เคลือบอยู่ บนแผ่นฐานรองรับที่เป็นกระจกสไลด์ซึ่งเตรียม โดยวิธีการระเหยสารเคมีด้วยความ ร้อนในระบบสุญญากาศ	86
4.10 พิจารณาความเข้มการเลี้ยวเบนของรังสีเอกซ์ของฟิล์มบางของสารกึ่งตัวนำ CuO ที่เคลือบอยู่ บนแผ่นฐานรองรับที่เป็นกระจกสไลด์ซึ่งเตรียม โดยวิธีรีแอคทีฟดีซีแมกนีตรอน สปีดเตอริง	86
4.11 ภาพถ่ายบริเวณผิวหน้าของฟิล์มบางของสารกึ่งตัวนำ CdS ที่เคลือบอยู่บนแผ่น ฐานรองรับที่เป็นกระจกสไลด์ซึ่งถ่ายด้วยกล้องจุลทรรศน์อิเล็กตรอนแบบส่องกราด	87
4.12 ภาพถ่ายบริเวณผิวหน้าของฟิล์มบางของสารกึ่งตัวนำ CuO ที่เคลือบอยู่บนแผ่น ฐานรองรับที่เป็นกระจกสไลด์ซึ่งถ่ายด้วยกล้องจุลทรรศน์อิเล็กตรอนแบบส่องกราด	87

เอกสารนี้เป็นเอกสารที่สงวนไว้สำหรับการใช้งานเพื่อการศึกษาเท่านั้น ไม่อนุญาตให้นำไปใช้ประโยชน์ด้านการค้า
ไม่ว่ากรณีใดๆทั้งสิ้น อีกทั้งห้ามมิให้ดัดแปลงเนื้อหา และต้องอ้างอิงถึงเจ้าของเอกสารทุกครั้งที่มีการนำไปใช้

สารบัญญภาพ (ต่อ)

ภาพที่	หน้า
4.13 ภาพถ่ายบริเวณผิวหน้าของฟิล์มบางของสารกึ่งตัวนำ CdS ที่เคลือบอยู่บนฟิล์มบางของสารกึ่งตัวนำ CuO ซึ่งถ่ายด้วยกล้องจุลทรรศน์อิเล็กตรอนแบบส่องกราด	87
4.14 กราฟความสัมพันธ์ระหว่างค่าเปอร์เซ็นต์การส่งผ่านแสงกับความยาวคลื่นแสงของฟิล์มบางของสารกึ่งตัวนำ Cu_xO พิจารณาที่ความยาวคลื่น 400-1000	88
4.15 กราฟความสัมพันธ์ระหว่างค่าเปอร์เซ็นต์การส่งผ่านแสงกับความยาวคลื่นแสงของฟิล์มบางของสารกึ่งตัวนำ CdS พิจารณาที่ความยาวคลื่น 400 – 1000 นาโนเมตร	88
4.16 กราฟความสัมพันธ์ระหว่างค่าเปอร์เซ็นต์การส่งผ่านแสงกับความยาวคลื่นแสงของสิ่งประดิษฐ์รอยต่อวิวิหพันธุ์ของฟิล์มบางของสารกึ่งตัวนำ n-CdS/p-CuO พิจารณาที่ความยาวคลื่น 500-1000 นาโนเมตร	89
4.17 ความสัมพันธ์ระหว่างความต่างศักย์ กับ กระแสไฟฟ้า ของปรากฏการณ์ฮอลล์ภายใต้สนามแม่เหล็กและไม่มีสนามเหล็กของฟิล์มบางของสารกึ่งตัวนำ CuO	90
4.18 ความสัมพันธ์ระหว่างความต่างศักย์ไฟฟ้า กับ กระแสไฟฟ้าของปรากฏการณ์ฮอลล์ภายใต้สนามแม่เหล็ก และไม่มีสนามเหล็กของฟิล์มบางของสารกึ่งตัวนำ CuO	91
4.19 กราฟความสัมพันธ์ระหว่างค่ากระแสไฟฟ้ากับแรงดันไฟฟ้าเมื่อทำการวัดที่อุณหภูมิห้องของรอยต่อวิวิหพันธุ์ของฟิล์มบางของสารกึ่งตัวนำ n-CdS/p-CuO ซึ่งเตรียมโดยวิธีรีแอ็คทีฟดีซีแมกนีตรอนสปีดเตอริง	93
4.20 กราฟที่ใช้ในการอธิบายกลไกการนำกระแสไฟฟ้าแต่ละช่วงแรงดันไฟฟ้าเมื่อทำการวัดที่อุณหภูมิห้องของรอยต่อวิวิหพันธุ์ของฟิล์มบางของสารกึ่งตัวนำ n-CdS/p-CuO ซึ่งเตรียมโดยวิธีรีแอ็คทีฟดีซีแมกนีตรอนสปีดเตอริง	93
4.21 กราฟความสัมพันธ์ระหว่าง I_{nl} กับ V เมื่อทำการวัดที่อุณหภูมิห้องของรอยต่อวิวิหพันธุ์ของฟิล์มบางของสารกึ่งตัวนำ n-CdS/p-CuO ซึ่งเตรียมโดยวิธีรีแอ็คทีฟดีซีแมกนีตรอนสปีดเตอริง	94
4.22 กราฟความสัมพันธ์ระหว่าง $dV/d(I_{nl})$ กับ I เมื่อทำการวัดที่อุณหภูมิห้องของสิ่งประดิษฐ์รอยต่อวิวิหพันธุ์ของฟิล์มบางของสารกึ่งตัวนำ n-CdS/p-CuO ซึ่งเตรียมโดยวิธีรีแอ็คทีฟดีซีแมกนีตรอนสปีดเตอริง	97
4.23 กราฟความสัมพันธ์ระหว่าง $H(I)$ กับ I เมื่อทำการวัดที่อุณหภูมิห้องของสิ่งประดิษฐ์รอยต่อวิวิหพันธุ์ของฟิล์มบางของสารกึ่งตัวนำ n-CdS/p-CuO ซึ่งเตรียมโดยวิธีรีแอ็คทีฟดีซีแมกนีตรอนสปีดเตอริง	97

เอกสารนี้เป็นเอกสารที่สงวนไว้สำหรับการใช้งานเพื่อการศึกษาเท่านั้น ไม่อนุญาตให้นำไปใช้ประโยชน์ด้านการค้า
ไม่ว่ากรณีใดๆทั้งสิ้น อีกทั้งห้ามมิให้ดัดแปลงเนื้อหา และต้องอ้างอิงถึงเจ้าของเอกสารทุกครั้งที่มีการนำไปใช้

สารบัญภาพ (ต่อ)

ภาพที่	หน้า
4.24 กราฟความสัมพันธ์ระหว่างค่ากระแสไฟฟ้ากับแรงดันไฟฟ้าเมื่อทำการวัดที่อุณหภูมิต่ำในช่วงอุณหภูมิ 10-300 เคลวิน ของรอยต่อวิวิธพันธุ์ของสารกึ่งตัวนำ n-CdS/p-CuO ซึ่งเตรียมโดยวิธีรีแอ็คทีฟดิซีแมกนีตรอนสปีดเตอริง	99
4.25 กราฟความสัมพันธ์ระหว่างค่าแฟกเตอร์อุณหภูมิต่ำกับอุณหภูมิที่คำนวณได้จากกลไกเทอร์มิออนิกอิมิตชันและวิธีของชวงที่เป็นความสัมพันธ์ระหว่าง $dV/d(\ln I)$ กับ T เมื่อทำการวัดที่อุณหภูมิต่ำในช่วงอุณหภูมิ 10-300 เคลวิน ของสิ่งประดิษฐ์รอยต่อวิวิธพันธุ์ของฟิล์มบางของสารกึ่งตัวนำ n-CdS/p-CuO ซึ่งเตรียมโดยวิธีรีแอ็คทีฟดิซีแมกนีตรอนสปีดเตอริง	101
4.26 การหาค่า E_{00} โดยการพิตกราฟความสัมพันธ์ระหว่างค่าแฟกเตอร์อุณหภูมิต่ำกับอุณหภูมิเมื่อทำการวัดที่อุณหภูมิต่ำในช่วงอุณหภูมิ 10-300 เคลวิน ของสิ่งประดิษฐ์รอยต่อวิวิธพันธุ์ของฟิล์มบางของสารกึ่งตัวนำ n-CdS/p-CuO ซึ่งเตรียมโดยวิธีรีแอ็คทีฟดิซีแมกนีตรอนสปีดเตอริง	102
4.27 กราฟความสัมพันธ์ระหว่างค่าความสูงกำแพงศักย์กับอุณหภูมิที่คำนวณได้จากกลไกเทอร์มิออนิกอิมิตชันและวิธีของชวงเมื่อทำการวัดที่อุณหภูมิต่ำในช่วงอุณหภูมิ 10-300 เคลวิน ของสิ่งประดิษฐ์รอยต่อวิวิธพันธุ์ของฟิล์มบางของสารกึ่งตัวนำ n-CdS/p-CuO ซึ่งเตรียมโดยวิธีรีแอ็คทีฟดิซีแมกนีตรอนสปีดเตอริง	102
4.28 กราฟความสัมพันธ์ระหว่างค่าความต้านทานไฟฟ้าอนุกรมกับอุณหภูมิที่ได้จากวิธีของชวงเมื่อทำการวัดที่อุณหภูมิต่ำในช่วงอุณหภูมิ 10-300 เคลวิน ของสิ่งประดิษฐ์รอยต่อวิวิธพันธุ์ของฟิล์มบางของสารกึ่งตัวนำ n-CdS/p-CuO ซึ่งเตรียมโดยวิธีรีแอ็คทีฟดิซีแมกนีตรอนสปีดเตอริง	103
4.29 กราฟอาร์เรเนียดของ $n[\ln I_s]$ เมื่อทำการวัดที่อุณหภูมิต่ำในช่วงอุณหภูมิ 10-300 เคลวิน ของสิ่งประดิษฐ์รอยต่อวิวิธพันธุ์ของฟิล์มบางของสารกึ่งตัวนำ n-CdS/p-CuO ซึ่งเตรียมโดยวิธีรีแอ็คทีฟดิซีแมกนีตรอนสปีดเตอริง	103
4.30 กราฟความสัมพันธ์ระหว่างค่าความจุไฟฟ้ากับความถี่ที่อุณหภูมิในช่วง 25 ถึง 60 องศาเซลเซียส ของสิ่งประดิษฐ์รอยต่อวิวิธพันธุ์ของฟิล์มบางของสารกึ่งตัวนำ n-CdS/p-CuO ซึ่งเตรียมโดยวิธีการระเหยสารเคมีด้วยความร้อนในระบบสุญญากาศ	104

สารบัญภาพ (ต่อ)

ภาพที่	หน้า
4.31	105
4.32	105
4.33	106
4.34	106
4.35	107
4.36	107
4.37	108
4.38	108
4.39	109

สารบัญญภาพ (ต่อ)

ภาพที่	หน้า
4.40 กราฟความสัมพันธ์ระหว่างกระแสแอมป์ต่อไมล์ของวัสดุขึ้นกับเวลา ของสิ่งประดิษฐ์รอยต่อ วิวิธพันธุ์ของฟิล์มบางของสารกึ่งตัวนำ n-CdS/p-CuO ซึ่งเตรียมโดยวิธีรีแอ็คทีฟดิซี แมกนีตรอนสปัตเตอริง	110
4.41 กราฟความสัมพันธ์ระหว่างกระแสแอมป์ต่อไมล์ของวัสดุลงกับเวลาของสิ่งประดิษฐ์รอยต่อ วิวิธพันธุ์ของฟิล์มบางของสารกึ่งตัวนำ n-CdS/p-CuO ซึ่งเตรียมโดยวิธีรีแอ็คทีฟดิซี แมกนีตรอนสปัตเตอริง	110
4.42 แผนภาพแถบพลังงานของสิ่งประดิษฐ์รอยต่อวิวิธพันธุ์ของฟิล์มบางของ สารกึ่งตัวนำ n-CdS/p-CuO	112
4.43 ความสัมพันธ์ระหว่างกระแส-แรงดันไฟฟ้าของรอยต่อวิวิธพันธุ์ n-CdS/p-CuO ซึ่งเตรียมโดยวิธีรีแอ็คทีฟดิซีแมกนีตรอนสปัตเตอริงเมื่อทำการวัดภายใต้การฉายแสง ที่ความเข้มค่าต่างๆ	112

บทที่ 1

บทนำ

1.1 ความเป็นมาและความสำคัญของปัญหา

เซลล์แสงอาทิตย์เป็นสิ่งประดิษฐ์ที่สามารถเปลี่ยนพลังงานแสงอาทิตย์เป็นพลังงานไฟฟ้าได้โดยอาศัยปรากฏการณ์โฟโตโวลตาอิก ซึ่งค้นพบครั้งแรกโดยเบคเคอเรล ในปี ค.ศ. 1839 (Moller, 1993) จากการศึกษาสมบัติของของแข็งที่อยู่ภายในสารละลายอิเล็กโทรไลต์ขณะมีการฉายแสงอาทิตย์ลงบนตัวเซลล์จะปรากฏมีความต่างศักย์และกระแสไฟฟ้าขึ้นที่ขั้วไฟฟ้า ปัจจุบันเซลล์แสงอาทิตย์ประดิษฐ์จากสารกึ่งตัวนำซึ่งสามารถเปลี่ยนพลังงานแสงอาทิตย์ให้เป็นพลังงานไฟฟ้าได้โดยตรงและไฟฟ้าที่ได้นั้นจะเป็นไฟฟ้ากระแสตรง และทันทีที่แสงตกกระทบบนแผ่นเซลล์รังสีของแสงที่มีอนุภาคของพลังงานประกอบที่เรียกว่า โฟตอน จะถ่ายเทพลังงานให้กับอิเล็กตรอนในสารกึ่งตัวนำจนมีพลังงานมากพอที่จะหลุดออกมาจากแรงดึงดูดของอะตอม และเคลื่อนที่ได้อย่างอิสระ ดังนั้นเมื่ออิเล็กตรอนเคลื่อนที่ครบวงจรจะทำให้เกิดไฟฟ้ากระแสตรงขึ้นเมื่อพิจารณาลักษณะการผลิตไฟฟ้าจากเซลล์แสงอาทิตย์พบว่าเซลล์แสงอาทิตย์จะมีประสิทธิภาพการผลิตไฟฟ้าสูงที่สุดในช่วงเวลากลางวัน ซึ่งสอดคล้องและเหมาะสมในการนำเซลล์แสงอาทิตย์มาใช้ผลิตไฟฟ้าเพื่อแก้ไขปัญหาการขาดแคลนพลังงานไฟฟ้าในช่วงเวลากลางวัน งานวิจัยและพัฒนาเซลล์แสงอาทิตย์ของหัวต่อพี-เอ็นของสารกึ่งตัวนำซิลิกอน เริ่มขึ้นในปี พ.ศ. 2497 หลังจากนั้นงานวิจัยก็แผ่ขยายไปสู่สารกึ่งตัวนำในกลุ่ม II-VI และ I-III-VI₂ เช่น CdTe, CdS, CuInSe₂ และ CuInGaSe₂ เป็นต้น ซึ่งเซลล์แสงอาทิตย์ของสารกึ่งตัวนำในกลุ่ม II-VI ชนิดแรกคือเซลล์แสงอาทิตย์ชนิดหัวต่อวิวิธพันธุ์ (heterojunction solar cell) ของฟิล์มบางของสารกึ่งตัวนำ Cu₂S/CdS ได้รับการพัฒนาขึ้นมาในเวลาใกล้เคียงกับเซลล์แสงอาทิตย์ของสารกึ่งตัวนำ Si ซึ่งปัจจุบันเซลล์แสงอาทิตย์ในท้องตลาดประดิษฐ์จากผลึกพหุพันธุ์ (polycrystalline) และอะมอร์ฟัส (amorphous) ของซิลิกอนเกือบทั้งหมด

ปัจจุบันเซลล์แสงอาทิตย์ส่วนใหญ่ที่มีจำหน่ายในท้องตลาดผลิตจากซิลิกอน ต้นทุนในการผลิตซิลิกอนความบริสุทธิ์สูงยังอยู่ในระดับสูงและส่วนใหญ่ผลิตป้อนให้กับอุตสาหกรรมไมโครอิเล็กทรอนิกส์เป็นหลัก ด้วยเหตุนี้การพัฒนาโรงไฟฟ้าขนาดเทอร์ราวัตต์จากเซลล์แสงอาทิตย์ชนิดฟิล์มบางยังเป็นไปได้ยาก เนื่องจากต้นทุนสูงกว่าโรงไฟฟ้าที่สร้างจากแหล่งพลังงานทางเลือกชนิดอื่น สารกึ่งตัวนำโลหะออกไซด์อาจเป็นวัสดุทางเลือกชนิดใหม่สำหรับเทคโนโลยีการผลิตเซลล์แสงอาทิตย์ในอนาคต เนื่องจากธาตุโลหะที่เป็นองค์ประกอบหลักของสารกึ่งตัวนำโลหะออกไซด์นั้นมีปริมาณมากบนโลก ราคาถูก และไม่ก่อมลพิษต่อสิ่งแวดล้อม ดังนั้นนักวิจัยจำนวนมากจึงมุ่งความสนใจมาศึกษาสารกึ่งตัวนำออกไซด์กันมากขึ้น เพื่อที่จะค้นคว้าหาวัสดุที่มีสมบัติเหมาะสมเพื่อทดแทนการใช้ซิลิกอนในอุตสาหกรรมผลิตเซลล์แสงอาทิตย์

เอกสารนี้เป็นเอกสารที่สงวนไว้สำหรับการใช้งานเพื่อการศึกษาเท่านั้น ไม่อนุญาตให้นำไปใช้ประโยชน์ด้านการค้าไม่ว่ากรณีใดๆทั้งสิ้น อีกทั้งห้ามมิให้ดัดแปลงเนื้อหา และต้องอ้างอิงถึงเจ้าของเอกสารทุกครั้งที่มีการนำไปใช้

สารกึ่งตัวนำคิวปริกออกไซด์ (cupric oxide; CuO) เป็นสารประกอบออกไซด์อีกชนิดหนึ่งที่มีความโดดเด่น กล่าวคือมีช่องว่างแถบพลังงานเป็นแบบตรงและมีขนาดประมาณ 1.35 อิเล็กตรอนโวลต์ (Al-Kuhaili, 2008) ซึ่งสอดคล้องดีกับช่วงสเปกตรัมของแสงอาทิตย์ มีชนิดการนำไฟฟ้าเป็นแบบพี (p-type) และมีสัมประสิทธิ์การดูดกลืนแสงที่สูงซึ่งสามารถนำไปประดิษฐ์เป็นชั้นดูดกลืนแสงของเซลล์แสงอาทิตย์ได้ CuO มีโครงสร้างผลึกเป็นแบบโมโนคลินิก ส่วนคิวปริสออกไซด์ (cuprous oxide; Cu₂O) มีโครงสร้างผลึกเป็นแบบคิวบิก มีช่องว่างแถบพลังงานเป็นแบบตรงและมีขนาดประมาณ 2.1 อิเล็กตรอนโวลต์ แต่ไม่เสถียรสามารถเปลี่ยนเฟสเป็นไปเป็น CuO ได้ที่อุณหภูมิสูงกว่า 1,000 องศาเซลเซียส (Al-Kuhaili, 2008; Gevorkyan et al., 2012) เมื่อไม่นานมานี้ นักวิจัยได้สนใจศึกษาสมบัติทางฟิสิกส์และเคมี-ไฟฟ้าของสารกึ่งตัวนำคิวปริกออกไซด์ (CuO) กันมากขึ้น สารกึ่งตัวนำชนิดนี้มีโครงสร้างผลึกแบบโมโนคลินิก มีโครงสร้างแถบพลังงานเป็นแบบตรงและช่องว่างแถบพลังงาน (E_g) ประมาณ 1.35 อิเล็กตรอนโวลต์ สามารถดูดกลืนแสงในช่วงความยาวคลื่นอินฟราเรดและช่วงความยาวคลื่นที่ตามองเห็นได้ จึงเหมาะสมที่จะพัฒนาเป็นชั้นดูดกลืนแสงของเซลล์แสงอาทิตย์ได้ สารกึ่งตัวนำ CuO มีข้อดีหลายประการ เช่น โลหะทองแดงมีมากในธรรมชาติ CuO ไม่เป็นสารพิษ และมีสภาพการนำไฟฟ้าเป็นได้ทั้งชนิดพีและเอ็น (Al-Kuhaili, 2008) เป็นผลให้มีการนำสารกึ่งตัวนำ CuO มาประยุกต์ใช้งานในด้านต่างๆ เช่น อุปกรณ์โฟโตโวลตาอิก ผิวเคลือบอิเล็กโตรโครมิก (electrochromic coatings) ประยุกต์ใช้เป็นตัวเร่งปฏิกิริยาสารเคมี สารกึ่งตัวนำยิ่งยวดที่อุณหภูมิสูง และประยุกต์เป็นขั้วตัวนำไฟฟ้าโปร่งแสงชนิดพี เป็นต้น อีกทั้งในปัจจุบันได้มีการริเริ่มมีการวิจัยและพัฒนาชั้นเซลล์แสงอาทิตย์ชนิดรอยต่ออวิวิพพันธุ์ของฟิล์มบางของสารกึ่งตัวนำออกไซด์ในหลากหลายรูปแบบเช่น p-Cu₂O/n-ZnO (Jeong et al., 2008), p-Cu₂O/n-CuO (Jayathilaka et al., 2015; Wijesundera, 2010), CuO/ZnO (Zainelabdin et al., 2012), และ p-CuO/n-Si (Gao et al., 2012) เป็นต้น เนื่องจากสารประกอบออกไซด์ส่วนใหญ่ มีเสถียรภาพดีแม้ในสภาวะอุณหภูมิสูง ไม่เป็นสารพิษ ราคาข้อมเยา จึงเป็นทางเลือกใหม่ที่จะนำมาผลิตเป็นเซลล์แสงอาทิตย์เพื่อทดแทนซิลิคอนที่ใช้เป็นวัตถุดิบหลักในการผลิตเป็นเซลล์แสงอาทิตย์ในปัจจุบัน จากการศึกษาในเบื้องต้นพบว่าเซลล์แสงอาทิตย์ชนิดรอยต่ออวิวิพพันธุ์ของฟิล์มบาง p-Cu₂O/n-ZnO มีประสิทธิภาพในการแปลงพลังงานแสงอาทิตย์เป็นพลังงานไฟฟ้าสูงในระดับ 3.83 % (Minami et al., 2011) จึงเป็นแรงจูงใจให้นักวิจัยจำนวนมากมุ่งความสนใจมายังสารกึ่งตัวนำออกไซด์กันมากขึ้น อีกทั้งได้มีการประดิษฐ์รอยต่ออวิวิพพันธุ์ของฟิล์มบางของสารกึ่งตัวนำออกไซด์กับสารประกอบซาลโคจีไนต์ เช่น CuAlO₂/CdZnS (Gaewdang et al., 2011), p-Cu_xSn_yS₂O/n-ZnO (Nakashima and Ichimura, 2012) และ CuO/CdS (Gaewdang and Wongcharoen, 2015; ฐิตินัย, 2557) พบว่ามีสมบัติเรียงกระแสนที่ดี แต่ยังไม่มียางานเกี่ยวกับการศึกษาผลการตอบสนองต่อแสงอาทิตย์

การสังเคราะห์ฟิล์มบางของ CuO ให้มีโครงสร้างในระดับไมโครเมตร หรือในระดับนาโนเมตร สามารถสังเคราะห์ได้หลากหลายวิธีทั้งทางเคมี และทางฟิสิกส์ เช่น วิธีการระเหยด้วยความร้อนภายในระบบสูญญากาศ (vacuum evaporation) วิธีระเหยด้วยลำอิเล็กตรอน และวิธีเคลือบด้วยไฟฟ้าใน

สารละลายเคมี วิธีพาไอระเหยสารเคมี (chemical vapor deposition) วิธีออกซิเดชันด้วยความร้อน (thermal oxidation) วิธีรีแอคทีฟสปัตเตอร์ริง (reactive sputtering) วิธีเคลือบจากสถานะพลาสมา (plasma deposition) วิธีจุ่มในโซล-เจล (sol-gel deposition) เป็นต้น แต่ละวิธีจะมีข้อเด่นและข้อด้อยแตกต่างกันไป จากผลการทดลองฟิล์มบางที่เตรียมได้มักจะมีเฟสของ Cu, Cu₂O ปรากฏร่วมกันเสมอ แต่สำหรับเฟสเดี่ยวของฟิล์มบาง CuO สามารถเตรียมได้จากปฏิกิริยาออกซิเดชันด้วยความร้อนของฟิล์มโลหะ Cu ในช่วงอุณหภูมิ และช่วงเวลาที่เหมาะสม

การเตรียมฟิล์มบางด้วยวิธีดีซีแมกนีตรอนสปัตเตอร์ริงมีข้อดีหลายประการคือ ฟิล์มบางที่เตรียมได้มีความเรียบสม่ำเสมอ ยึดติดแน่นกับแผ่นฐานรองได้ดี ควบคุมอัตราการเคลือบได้ง่าย อุณหภูมิในการเคลือบฟิล์มบางต่ำ ดังนั้นข้อบกพร่องผลึกจึงน้อย ด้วยเหตุนี้จึงเป็นที่น่าสนใจที่จะประดิษฐ์ฟิล์มบางฟิล์มบางคอปเปอร์ออกไซด์ด้วยวิธีดีซีแมกนีตรอนสปัตเตอร์ริงจากเป้าโลหะ Cu โดยการเลือกอัตราการไหลของก๊าซ Ar และ O₂ ที่เหมาะสม จากนั้นจึงทำการศึกษาคุณสมบัติพื้นฐานทางฟิสิกส์อันได้แก่ โครงสร้างผลึกเชิงจุลภาค โครงสร้างผลึกเชิงมหภาค คุณสมบัติทางแสงและคุณสมบัติทางไฟฟ้าของฟิล์มบางที่เตรียมได้

จากการค้นคว้าและรวบรวมข้อมูลพบว่าอิเล็กตรอนแอฟฟินิตีของ CdS และ CuO มีค่าเท่ากับ 4.20 และ 4.07 อิเล็กตรอน โวลต์ ตามลำดับ (Escorcia-Garcia et al., 2014; Chabane, 2015) ส่วนช่องว่างและแถบพลังงานของ CdS และ CuO มีค่าเท่ากับ 2.40 และ 1.35 อิเล็กตรอน โวลต์ ซึ่งจะคำนวณได้ว่าค่าออฟเซต (offset) ของแถบนำ (ΔE_c) และค่าออฟเซตของแถบนำวาเลนซ์ (ΔE_v) ของโครงสร้างแถบพลังงานของรอยต่ออวิวิพพันธุ์ CdS/CuO จะมีค่าเท่ากับ 0.13 และ 0.92 อิเล็กตรอน โวลต์ คาดว่าแรงดันตกคร่อมรอยต่อ (built-in potential) จะมีค่าประมาณ 1.09 อิเล็กตรอน โวลต์ ในเบื้องต้นคณะผู้วิจัยได้ทำการเคลือบฟิล์มบาง CdS ลงบนเซรามิกของ CuO และนำไปแอลนิตในบรรยากาศของก๊าซไนโตรเจนบริสุทธิ์ พบว่าเป็นรอยต่อที่มีสมบัติเรียงกระแสแบบไดโอดที่ดี โดยมีแรงดันทำงาน (working voltage) หรือแรงดันเทิร์น ออน (turn on voltage) ของกราฟความสัมพันธ์กระแส-แรงดันไฟฟ้าที่อุณหภูมิห้องประมาณ 1 โวลต์ (Gaewdng and Wongcharoen, 2015; ฐิตินัย, 2557) ซึ่งสอดคล้องดีกับค่าแรงดันตกคร่อมรอยต่อของโครงสร้างแถบพลังงานของรอยต่อดังกล่าว

ด้วยเหตุนี้จึงเป็นที่น่าสนใจที่จะประดิษฐ์ฟิล์มบาง CuO โดยวิธีรีแอคทีฟสปัตเตอร์ริง และประดิษฐ์ฟิล์มบาง CdS โดยวิธีระเหยสารด้วยความร้อนภายในระบบสุญญากาศ ให้มีโครงสร้างเป็นรอยต่ออวิวิพพันธุ์และในเบื้องต้นจะทำการศึกษาสมบัติในการเปลี่ยนพลังงานแสงอาทิตย์เป็นพลังงานไฟฟ้าของรอยต่ออวิวิพพันธุ์ CdS/CuO นี้โดยการวัดพารามิเตอร์ที่สำคัญต่างๆ เช่นกระแสลัดวงจร (I_{sc}) แรงดันวงจรเปิด (V_{oc}) ฟิลแฟกเตอร์ (FF) และประสิทธิภาพในการเปลี่ยนพลังงานแสงอาทิตย์เป็นพลังงานไฟฟ้า จากนั้นในขั้นต่อไปจะเป็นการพัฒนาเซลล์แสงอาทิตย์ชนิดนี้ให้มีประสิทธิภาพสูงยิ่งขึ้น

1.2 วัตถุประสงค์ของการวิจัย

- 1.2.1 เตรียมฟิล์มบาง CuO โดยวิธีรีแอคทีฟดีซีสเปคเตอรริงเคลือบบนกระจกสไลด์จากเป่าที่เป็นโลหะทองแดงความบริสุทธิ์สูง โดยเลือกเงื่อนไขที่เหมาะสม เช่นอัตราการใช้ของก๊าซอาร์กอนและก๊าซออกซิเจน รวมทั้งเลือกความดันบรรยากาศของห้องสุญญากาศขณะทำการสเปคเตอร์เป็นต้น
- 1.2.2 เตรียมฟิล์มบาง CdS โดยวิธีระเหยสารด้วยความร้อนในระบบสุญญากาศให้เคลือบบนกระจกสไลด์ที่มีชั้นไฟฟ้าโปร่งแสง FTO จากนั้นจึงเคลือบฟิล์มบาง CuO โดยวิธีรีแอคทีฟดีซีสเปคเตอรริงลงบนฟิล์มบาง CdS เพื่อให้เป็นรอยต่อวิวิธพันธุ์ CdS/CuO โดยเลือกเงื่อนไขที่เหมาะสม
- 1.2.3 ประดิษฐ์ขั้วไฟฟ้าด้านหลังให้มีสมบัติเป็นรอยต่อโอห์มิกบนฟิล์มบาง CuO โดยการเคลือบฟิล์มบาง Cu ด้วยวิธีรีแอคทีฟดีซีสเปคเตอรริง
- 1.2.4 ศึกษาลักษณะสมบัติทางไฟฟ้าของเซลล์ต้นแบบโดยการวัดกระแส-แรงดันไฟฟ้า, วัดความจุ-แรงดันไฟฟ้าและศึกษาอิมพีแดนซ์สเปกโตรสโคปีของเซลล์แสงอาทิตย์ต้นแบบ

1.3 ขอบเขตของการวิจัย

- 1.3.1 เตรียมฟิล์มบาง CuO โดยวิธีรีแอคทีฟดีซีสเปคเตอรริงเคลือบบนกระจกสไลด์จากเป่าที่เป็นโลหะทองแดงความบริสุทธิ์สูง โดยเลือกเงื่อนไขที่เหมาะสม เช่นอัตราส่วนผสมของก๊าซอาร์กอนและก๊าซออกซิเจน ความดันบรรยากาศของห้องสุญญากาศขณะทำการสเปคเตอร์ และอุณหภูมิของแผ่นฐานรองรับเป็นต้น
- 1.3.2 เตรียมฟิล์มบาง CdS โดยวิธีระเหยสารด้วยความร้อนในระบบสุญญากาศลงบนกระจกสไลด์ที่มีชั้นไฟฟ้าโปร่งแสง FTO เคลือบไว้แล้ว โดยเลือกเงื่อนไขที่เหมาะสมและฟิล์มบาง CdS นี้จะทำหน้าที่เป็นชั้นหน้าต่างของเซลล์แสงอาทิตย์
- 1.3.3 เตรียมฟิล์มบาง CuO โดยวิธีรีแอคทีฟดีซีสเปคเตอรริงเพื่อเคลือบลงบนฟิล์มบาง CdS โดยเลือกเงื่อนไขที่เหมาะสม และฟิล์มบาง CuO นี้จะทำหน้าที่เป็นชั้นดูดกลืนแสงของเซลล์แสงอาทิตย์
- 1.3.4 ตรวจสอบโครงสร้างผลึกของฟิล์มบาง CuO ด้วยวิธีเลี้ยวเบนรังสีเอ็กซ์ ตรวจสอบผิวหน้าของฟิล์มบางด้วยกล้องจุลทรรศน์อิเล็กตรอนแบบส่องกราด และตรวจสอบองค์ประกอบของฟิล์มบางด้วยเทคนิค EDS
- 1.3.5 ประดิษฐ์ขั้วไฟฟ้าด้านหลังของเซลล์แสงอาทิตย์โดยการเคลือบฟิล์มบาง Cu ด้วยวิธีรีแอคทีฟดีซีสเปคเตอรริง

เอกสารนี้เป็นเอกสารที่สงวนไว้สำหรับการใช้งานเพื่อการศึกษาเท่านั้น ไม่อนุญาตให้นำไปใช้ประโยชน์ด้านการค้าไม่ว่ากรณีใดๆทั้งสิ้น อีกทั้งห้ามมิให้ดัดแปลงเนื้อหา และต้องอ้างอิงถึงเจ้าของเอกสารทุกครั้งที่มีการนำไปใช้

- 1.3.6 ศึกษาสมบัติเชิงไฟฟ้าของเซลล์แสงอาทิตย์ต้นแบบ โดยการวัดกระแส-แรงดันไฟฟ้าเพื่อหาพารามิเตอร์ที่สำคัญได้แก่ ค่ากระแสลัดวงจร ค่าแรงดันวงจรเปิด ค่าฟิลแฟกเตอร์ ประสิทธิภาพของเซลล์แสงอาทิตย์ที่ประดิษฐ์ขึ้น วัดความจุ-แรงดันไฟฟ้าและศึกษาอิมพีแดนซ์สเปกโทรสโคปีของรอยต่อพี-เอ็น

1.4 วิธีดำเนินการวิจัย

- 1.4.1 พัฒนาระบบการเตรียมฟิล์มบางโดยวิธีรีแอ็คทีฟดีซีสเป็คเตอรริงในห้องสุญญากาศความดันต่ำให้เหมาะสมที่จะเตรียมฟิล์มบาง CuO
- 1.4.2 เตรียมฟิล์มบาง CuO โดยวิธีรีแอ็คทีฟดีซีสเป็คเตอรริงลงบนกระจกสไลด์ โดยเลือกเงื่อนไขที่เหมาะสม
- 1.4.3 เตรียมฟิล์มบาง CdS โดยวิธีระเหยสารด้วยความร้อนในระบบสุญญากาศลงบนกระจกสไลด์ที่มีขั้วไฟฟ้าโปร่งแสง FTO เคลือบไว้แล้ว โดยเลือกเงื่อนไขที่เหมาะสม
- 1.4.4 เตรียมฟิล์มบาง CuO โดยวิธีรีแอ็คทีฟดีซีสเป็คเตอรริงเพื่อเคลือบลงบนฟิล์มบาง CdS โดยเลือกเงื่อนไขที่เหมาะสม และฟิล์มบาง CuO นี้จะทำหน้าที่เป็นชั้นดูดกลืนแสงของเซลล์แสงอาทิตย์
- 1.4.5 ตรวจสอบโครงสร้างผลึกของฟิล์มบาง CdS และ CuO ด้วยวิธีเลี้ยวเบนรังสีเอกซ์
- 1.4.6 ตรวจสอบผิวหน้าของฟิล์มบาง CdS และ CuO ด้วยกล้องจุลทรรศน์อิเล็กตรอนแบบส่องกราด (SEM) และกล้องจุลทรรศน์แรงอะตอม (AFM) รวมทั้งตรวจสอบองค์ประกอบของฟิล์มบางด้วยเทคนิค EDS
- 1.4.7 ประดิษฐ์ขั้วไฟฟ้าด้านหลังของเซลล์แสงอาทิตย์โดยการเคลือบฟิล์มบาง Cu ด้วยวิธีดีซีสเป็คเตอรริง
- 1.4.8 ศึกษาสมบัติเชิงไฟฟ้าของเซลล์แสงอาทิตย์ต้นแบบ โดยการวัดกระแส-แรงดันไฟฟ้าเพื่อหาพารามิเตอร์ที่สำคัญได้แก่ ค่ากระแสลัดวงจร, ค่าแรงดันวงจรเปิด, ค่าฟิลแฟกเตอร์ ประสิทธิภาพของเซลล์แสงอาทิตย์ที่ประดิษฐ์ขึ้น รวมทั้งวัดความจุ-แรงดันไฟฟ้าและศึกษาอิมพีแดนซ์สเปกโทรสโคปีของรอยต่อพี-เอ็น
- 1.4.9 วิเคราะห์และสรุปผล
- 1.4.10 เขียนรายงานวิจัยฉบับสมบูรณ์

1.5 ประโยชน์ที่คาดว่าจะได้รับ

- 1.5.1 ทำให้ทราบถึงวิธีการเตรียมฟิล์มบาง CuO โดยวิธีรีแอ็คทีฟดีซีสปัตเตอร์ริงลงบนกระจกสไลด์ โดยเลือกเงื่อนไขที่เหมาะสม
- 1.5.2 ทำให้ทราบถึงวิธีการประดิษฐ์รอยต่อวิวิธพันธุ์ของฟิล์มบาง CdS/CuO โดยการเคลือบฟิล์มบาง CuO โดยวิธีรีแอ็คทีฟดีซีสปัตเตอร์ริงให้เคลือบลงบนฟิล์มบาง CdS โดยเลือกเงื่อนไขที่เหมาะสม และฟิล์มบาง CuO นี้จะทำหน้าที่เป็นชั้นดูดกลืนแสงของเซลล์แสงอาทิตย์
- 1.5.3 ทำให้ทราบถึงวิธีการศึกษาสมบัติเชิงไฟฟ้าของเซลล์แสงอาทิตย์ต้นแบบ โดยการวัดกระแส-แรงดันไฟฟ้า เพื่อหาพารามิเตอร์ที่สำคัญได้แก่ ค่ากระแสลัดวงจร, ค่าแรงดันวงจรเปิด, ค่าฟิลแฟกเตอร์ ประสิทธิภาพของเซลล์แสงอาทิตย์ที่ประดิษฐ์ขึ้น
- 1.5.4 ได้ผลงานวิจัยที่สามารถนำไปเผยแพร่ในวารสารและนำเสนอในงานประชุมทางวิชาการระดับชาติและระดับนานาชาติได้

เอกสารนี้เป็นเอกสารที่สงวนไว้สำหรับการใช้งานเพื่อการศึกษาเท่านั้น ไม่อนุญาตให้นำไปใช้ประโยชน์ด้านการค้า ไม่ว่ากรณีใดๆทั้งสิ้น อีกทั้งห้ามมิให้ดัดแปลงเนื้อหา และต้องอ้างอิงถึงเจ้าของเอกสารทุกครั้งที่มีการนำไปใช้

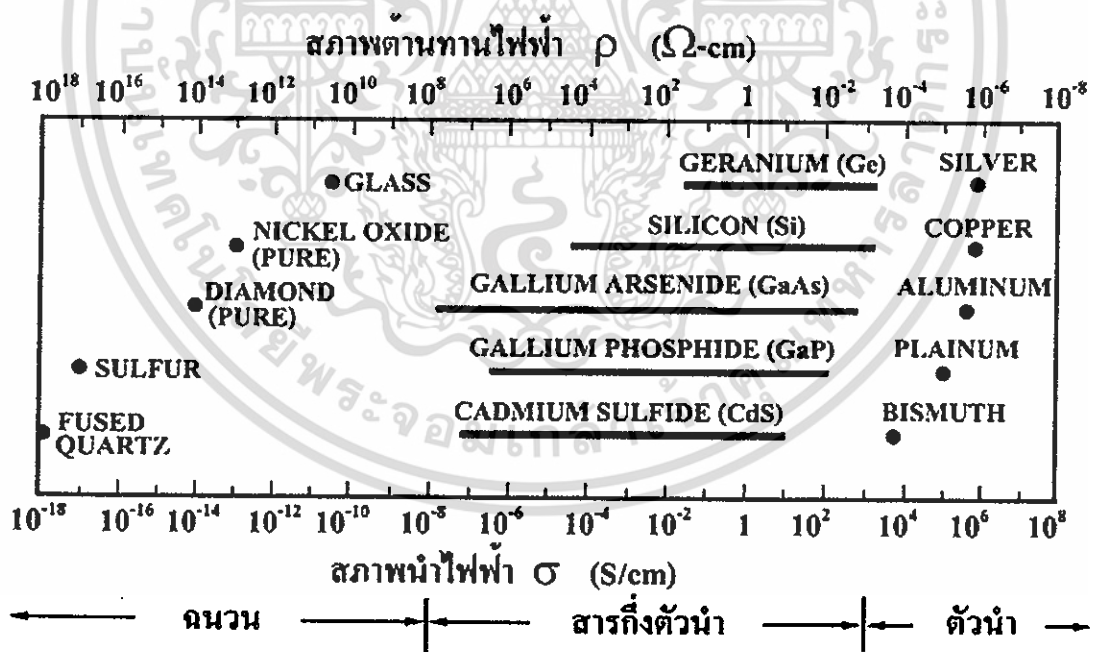
บทที่ 2

ทฤษฎีและงานวิจัยที่เกี่ยวข้อง

สมบัติทางฟิสิกส์พื้นฐานของผลึกนั้นขึ้นกับลักษณะของโครงสร้างผลึก และความไม่สมบูรณ์ของผลึก การวัดสมบัติทางไฟฟ้าต่างๆ ก็จะต้องคำนึงถึงสมบัติพื้นฐานของผลึกด้วยเพื่อให้ได้ผลการวัดที่ถูกต้อง ในบทนี้จึงจะกล่าวถึงทฤษฎีที่เกี่ยวข้องต่างๆ เทคนิคการเตรียมผลึกของฟิล์มบางและเทคนิคการวัดสมบัติทางไฟฟ้าต่างๆต่อไป

2.1 วัสดุของแข็งสารกึ่งตัวนำ (งามนิตย์, 2531; งามนิตย์, 2551; ฐิตินัย, 2530; ฐิตินัย, 2545)

วัสดุในสถานะของแข็งสามารถแบ่งได้เป็น 3 ชนิดคือ ฉนวน สารกึ่งตัวนำ และตัวนำ ดังรูปที่ 2.1 แสดงสภาพนำไฟฟ้าของวัสดุที่สำคัญในแต่ละชนิด วัสดุที่เป็นฉนวนเช่น ผลึกควอตซ์ (fused quartz) และกระจกสไลด์ (slide glass) ที่เป็นอะมอร์ฟัส มีสภาพนำไฟฟ้าต่ำในช่วง 10^{-18} - 10^{-8} ซีเมนส์ต่อเซนติเมตร ส่วนวัสดุที่เป็นตัวนำเช่นอะลูมิเนียมและเงิน มีสภาพนำไฟฟ้าสูงในช่วง 10^4 - 10^6 ซีเมนส์ต่อเซนติเมตร ส่วนวัสดุที่เป็นสารกึ่งตัวนำจะตอบสนองต่ออุณหภูมิ การฉายแสง สนามแม่เหล็ก ซึ่งสมบัติดังกล่าวมีความสำคัญกับการนำไปประยุกต์ใช้ในงานอิเล็กทรอนิกส์



ภาพที่ 2.1 สภาพนำไฟฟ้าและสภาพต้านทานไฟฟ้าของสารฉนวน สารกึ่งตัวนำ และสารตัวนำ

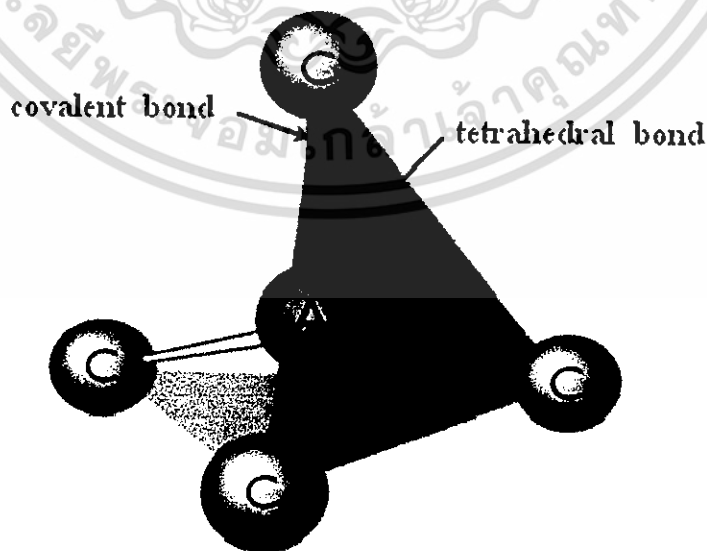
เอกสารนี้เป็นเอกสารที่สงวนไว้สำหรับการใช้งานเพื่อการศึกษาเท่านั้น ไม่อนุญาตให้นำไปใช้ประโยชน์ด้านการค้า ไม่ว่ากรณีใดๆทั้งสิ้น อีกทั้งห้ามมิให้ดัดแปลงเนื้อหา และต้องอ้างอิงถึงเจ้าของเอกสารทุกครั้งที่มีการนำไปใช้

2.2 โครงสร้างของผลึก (งามนิตย์, 2531; จูตินัย, 2546; งามนิตย์, 2545; จูตินัย, 2550; จูตินัย, 2552; จูตินัย, 2556; Kittel, 2005; Runyan, 1975)

สารกึ่งตัวนำแต่ละชนิดจะมีโครงสร้างผลึกที่แตกต่างกันขึ้นอยู่กับการจัดเรียงตัวของอะตอมที่อยู่ในภายใน โครงสร้างผลึก การที่มีโครงสร้างผลึกที่แตกต่างกันนี้ทำให้สารกึ่งตัวนำมีสมบัติทางฟิสิกส์แตกต่างกันไปด้วย เช่น สมบัติการทางไฟฟ้า สมบัติทางแสง เป็นต้น

2.2.1 โครงสร้างผลึกของสารประกอบที่เกิดจากอะตอมของธาตุกลุ่ม II และกลุ่ม VI

โครงสร้างผลึก คือ ตำแหน่งที่เป็นที่อยู่ของเบสิส (basis) ในระบบ 3 มิติ ส่วนเบสิส คืออะตอมหรือกลุ่มของอะตอมที่อยู่ภายในโครงสร้างผลึก ส่วนโครงสร้างผลึกของสารประกอบที่เกิดจากอะตอมของธาตุกลุ่ม II และกลุ่ม VI เกิดจากการสร้างพันธะเคมีระหว่างอะตอมของธาตุกลุ่ม II (อะตอม A) และกลุ่ม VI (อะตอม C) ซึ่งมีอิเล็กตรอนวาเลนซ์ต่ออะตอมเท่ากับ 4 ในโครงสร้างผลึกแต่ละอะตอม A หรืออะตอมของธาตุ C จะมีอะตอมของธาตุ C หรืออะตอมของธาตุ A ที่อยู่ใกล้เคียงที่สุดล้อมรอบอยู่ 4 อะตอม ซึ่งมีการสร้างพันธะเคมีระหว่างอะตอมเป็นแบบพันธะโควาเลนต์ (covalent bond) และมีพันธะเคมีของโมเลกุลเป็นแบบพันธะสี่หน้าหรือพันธะเตตระฮีดรัล (tetrahedral bond) ดังแสดงในรูปที่ 2.2 จากลักษณะการจัดเรียงอะตอมดังกล่าวทำให้สามารถแบ่งโครงสร้างผลึกได้ 2 แบบคือ โครงสร้างแบบซิงค์เบลนด์ (zinc blende structure) และ โครงสร้างแบบเวอร์ทไซต์ (wurtzite structure) ซึ่งจากการศึกษาพบว่าโครงสร้างผลึกของแคดเมียมเทลลูไรด์ (CdSe) จะมีลักษณะ 2 แบบ คือ เป็นคิวบิก (cubic structure) หรือแบบซิงค์เบลนด์ (zinc blende structure) และ โครงสร้างผลึกแบบเฮกซะโกนัล หรือแบบเวอร์ทไซต์ (hexagonal structure or wurtzite)

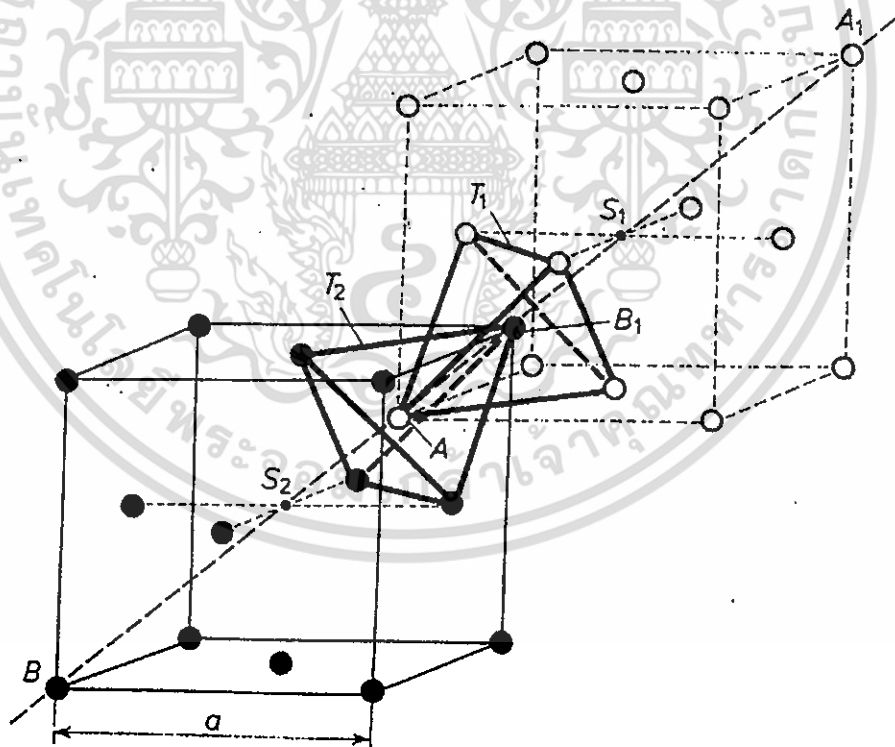


ภาพที่ 2.2 พันธะสี่หน้าหรือพันธะเตตระฮีดรัล

เอกสารนี้เป็นเอกสารที่สงวนไว้สำหรับการใช้งานเพื่อการศึกษาเท่านั้น ไม่อนุญาตให้นำไปใช้ประโยชน์ด้านการค้าไม่ว่ากรณีใดๆทั้งสิ้น อีกทั้งห้ามมิให้ดัดแปลงเนื้อหา และต้องอ้างอิงถึงเจ้าของเอกสารทุกครั้งที่มีการนำไปใช้

2.2.1.1 โครงสร้างผลึกแบบซิงค์เบลนด์

โครงสร้างผลึกแบบนี้มักพบในสารกึ่งตัวนำที่ประกอบด้วยอะตอมของธาตุสองชนิด หรือเรียกว่าเป็นสารประกอบกึ่งตัวนำเชิงคู่ (binary compound semiconductor) ได้แก่ สารประกอบของสารกึ่งตัวนำในกลุ่ม III-V เช่น GaAs และ InSb และสารประกอบของสารกึ่งตัวนำในกลุ่ม II-VI เช่น ZnSe, ZnS เป็นต้น โครงสร้างผลึกแบบนี้มีลักษณะคล้ายโครงสร้างผลึกแบบเพชร คือ อาจพิจารณาว่าเป็นโครงสร้างผลึกแบบเฟซเซนเตอร์คิวบิกสองโครงซ้อนกันอยู่แต่โครงหนึ่งเป็นธาตุหมู่ II (หรือ III) ส่วนอีกโครงผลึกเป็นธาตุหมู่ VI (หรือ V) สำหรับสารประกอบของสารกึ่งตัวนำเชิงคู่ II-VI (หรือ III-V) ในหนึ่งหน่วยเซลล์ประกอบด้วยอะตอมสองชนิดแต่ละชนิดมีสี่อะตอม เช่นในสารกึ่งตัวนำ CdTe อะตอมของธาตุ Cd จะอยู่ที่ตำแหน่ง $(0,0,0)$, $(0,1/2,1/2)$, $(1/2,0,1/2)$ และ $(1/2,1/2,0)$ ส่วนตำแหน่งของอะตอมของธาตุ Te จะอยู่ที่ $(1/4,1/4,1/4)$, $(1/4,3/4,3/4)$, $(3/4,1/4,3/4)$ และ $(3/4,3/4,1/4)$ สารกึ่งตัวนำที่มีโครงสร้างผลึกแบบนี้ ได้แก่ ZnS, CuCl, AgI, CuF, SiC และ CdS เป็นต้น ซึ่งเป็นสารประกอบกึ่งตัวนำที่มีความสำคัญ เหมาะสำหรับนำมาประยุกต์เพื่อประดิษฐ์เป็นอุปกรณ์อิเล็กทรอนิกส์และเป็นอุปกรณ์อิเล็กทรอนิกส์เชิงแสง

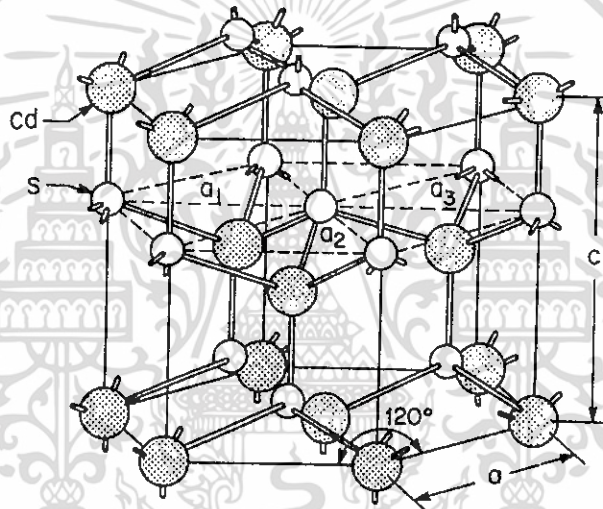


ภาพที่ 2.3 โครงสร้างผลึกแบบคิวบิกหรือซิงค์เบลนด์ของสารกึ่งตัวนำ CdS

เอกสารนี้เป็นเอกสารที่สงวนไว้สำหรับการใช้งานเพื่อการศึกษาเท่านั้น ไม่อนุญาตให้นำไปใช้ประโยชน์ด้านการค้า ไม่ว่าจะกรณีใดๆทั้งสิ้น อีกทั้งห้ามมิให้ดัดแปลงเนื้อหา และต้องอ้างอิงถึงเจ้าของเอกสารทุกครั้งที่มีการนำไปใช้

2.2.1.2 โครงสร้างผลึกแบบเวอร์ไทซ์

โครงสร้างผลึกแบบเวอร์ไทซ์จัดอยู่ในระบบโครงสร้างผลึกแบบเฮกซะโกนัล ซึ่งเกิดจากการนำโครงสร้างผลึกแบบเฮกซะโกนัลที่มีอะตอมของธาตุต่างๆ สองชนิดวางซ้อนเหลื่อมกันเป็นระยะ $5/8$ ตามแนวแกน c (c - axis) หนึ่งหน่วยเซลล์จะมี 8 อะตอม มีอะตอมเพื่อนบ้านอยู่ 4 อะตอม มีพันธะเคมีของโมเลกุลเป็นแบบพันธะเตตระฮีดรัล และมีพันธะเคมีระหว่างอะตอมเป็นแบบพันธะโควาเลนต์ ดังนั้นจึงมีการจัดเรียงระนาบของอะตอมคล้ายกับโครงสร้างผลึกแบบซิงค์เบลนด์ แต่จะมีความแตกต่างกัน คือ ในโครงสร้างผลึกแบบเวอร์ไทซ์ จะมีการจัดเรียงระนาบของพันธะเตตระฮีดรัลเป็นแบบ ABAB... หรือ 0101... ส่วนในโครงสร้างผลึกแบบซิงค์เบลนด์จะมีการจัดเรียงระนาบของพันธะเตตระฮีดรัลแบบ ABCABC... หรือ 012012... สารที่มีโครงสร้างผลึกแบบนี้ได้แก่ CdS และ ZnS เป็นต้น

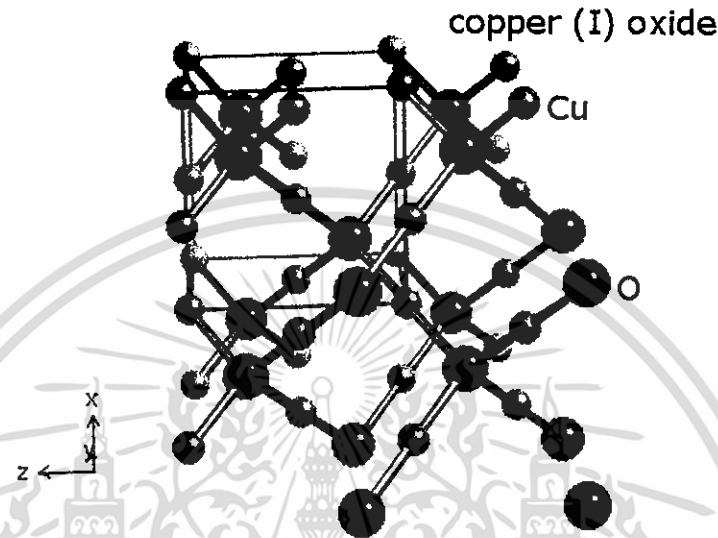


ภาพที่ 2.4 โครงสร้างผลึกแบบเวอร์ไทซ์ของสารกึ่งตัวนำ CdS

2.2.1.3 โครงสร้างผลึกของสารกึ่งตัวนำ Cu_2O และ CuO (ฐิตินัย, 2557; Bugarinovic et al., 2011)

หนึ่งหน่วยเซลล์ของ Cu_2O จัดอยู่ในระบบคิวบิกซึ่งประกอบขึ้นจากซับแลตทิซของบอดีเซนเตอร์คิวบิก (bcc) ของอะตอมออกซิเจนกับซับแลตทิซเฟซเซนเตอร์คิวบิก (fcc) ของอะตอมของธาตุ Cu ซับแลตทิซทั้งสองจะอยู่ซ้อนกัน โดยที่ซับแลตทิซที่สองจะอยู่เอียงไปในแนวทแยงมุมของซับแลตทิซแรกเป็นระยะ $1/4$ ของความยาวเส้นทแยงมุม ค่าคงที่โครงสร้างผลึกของหนึ่งหน่วยเซลล์มีค่าเท่ากับ 4.26964 อังสตรอม ในหนึ่งหน่วยเซลล์จะมีอะตอมของธาตุ Cu จำนวน 4 อะตอม และอะตอมของธาตุ O จำนวน 2 อะตอม รูปที่ 2.5 แสดงโครงสร้างผลึกของสารกึ่งตัวนำ Cu_2O แต่ละอะตอมของธาตุ Cu จะสร้างพันธะกับอะตอมของธาตุ O จำนวน 2 อะตอม เป็นแนวเส้นตรงแต่ละอะตอมของธาตุ O จะสร้างพันธะกับอะตอมของธาตุ Cu จำนวน 4 อะตอม สารประกอบสารกึ่งตัวนำ Cu_2O มีมวลโมเลกุลเท่ากับ เอกสารนี้เป็นเอกสารที่สงวนไว้สำหรับการใช้งานเพื่อการศึกษาเท่านั้น ไม่นิยมนำไปใช้ประโยชน์ด้านการค้า ไม่ว่าจะกรณีใดๆทั้งสิ้น อีกทั้งห้ามมิให้ดัดแปลงเนื้อหา และต้องอ้างอิงถึงเจ้าของเอกสารทุกครั้งที่มีการนำไปใช้

143.09 กรัมต่อโมล มีความหนาแน่น 6.0 กรัมต่อลูกบาศก์เซนติเมตร จุดหลอมเหลวและจุดเดือดอยู่ที่ อุณหภูมิ 1,408 และ 2,073 เคลวิน ตามลำดับ ไม่ละลายในน้ำ แต่ละลายได้ในกรดเข้มข้น สารกึ่งตัวนำ Cu_2O มีสีแดง พบได้ในธรรมชาติ มักใช้ทำสีทาบ้านและสารกำจัดเชื้อราสารกึ่งตัวนำ Cu_2O เคยนำไปทำ เป็นไดโอดก่อนที่จะถูกแทนที่ด้วยสารกึ่งตัวนำ Si

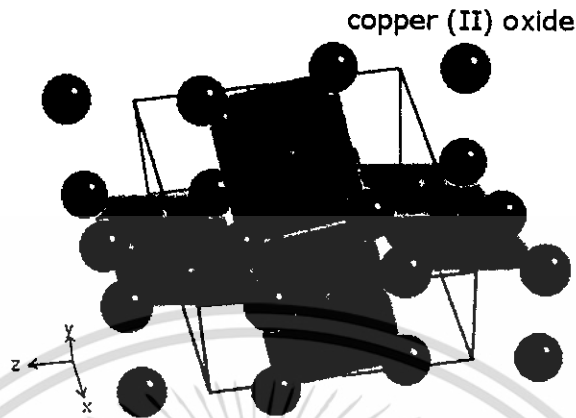


ภาพที่ 2.5 โครงสร้างผลึกของสารกึ่งตัวนำ Cu_2O

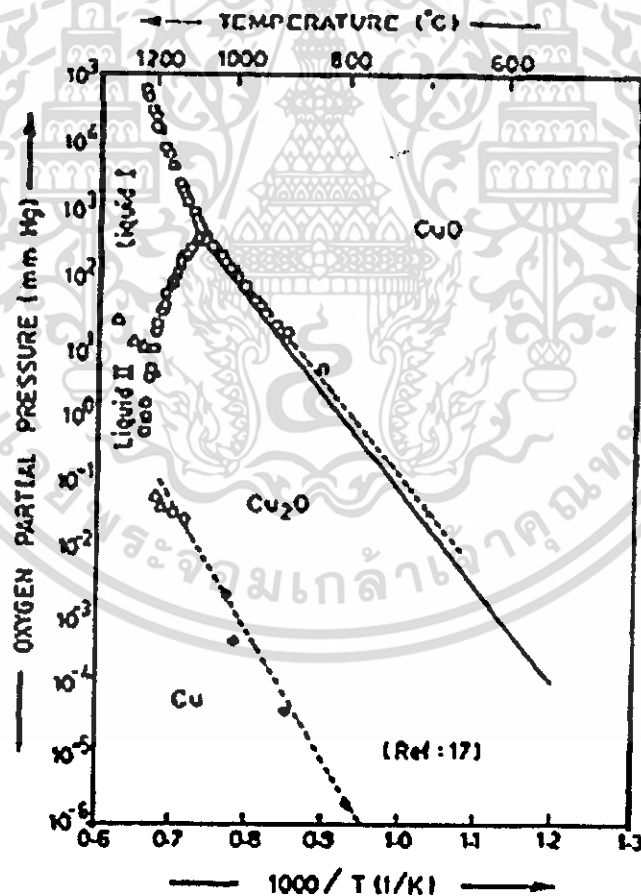
สารกึ่งตัวนำ CuO มีสีดำ พบได้ในธรรมชาติ มีโครงสร้างผลึกเป็นแบบโมโนคลินิกใน หนึ่งหน่วยเซลล์มีอะตอมของธาตุ Cu และอะตอมของธาตุ O อย่างละ 4 อะตอม โครงสร้างผลึกของสาร กึ่งตัวนำ CuO จะมีลักษณะ โคเคเด่นเฉพาะตัว กล่าวคือแต่ละอะตอมของธาตุ Cu จะมีอะตอมของธาตุ O ล้อมรอบอยู่ 4 อะตอม กลายเป็นระนาบของสี่เหลี่ยมจัตุรัส โดยมีอะตอมของธาตุ O อยู่ที่มุมของสี่เหลี่ยม จัตุรัส และแต่ละอะตอมของธาตุ O จะมีอะตอมของธาตุ Cu ล้อมรอบอยู่ 4 อะตอม ดังแสดงในรูปที่ 2.6 มวลโมเลกุลเท่ากับ 79.54 กรัมต่อ โมล อุณหภูมิของจุดหลอมเหลวเท่ากับ 1,603 เคลวิน มีความเสถียร สูงแต่ขึ้นได้ง่ายที่อุณหภูมิห้อง ละลายได้อย่างช้าๆ ในสารละลายแอมโมเนีย แต่จะละลายได้อย่างรวดเร็ว ในสารละลายแอมโมเนียคาร์บอเนต อีกทั้งยังละลายได้ในกรดฟอร์มิกอื่น (formic acid) และละลายได้ ในกรดอะซิติกเดือด เป็นต้น สารประกอบ CuO สามารถสลายตัวเป็น สารประกอบ Cu_2O ได้ที่ อุณหภูมิ 1,303 เคลวิน ในอากาศความดันปกติ ส่วนปฏิกิริยารีดักชันนี้จะเกิดขึ้นที่อุณหภูมิลดลงเมื่ออยู่ใน สภาวะอากาศความดันต่ำ

ก๊าซไฮโดรเจนและคาร์บอนมอนอกไซด์สามารถรีดิวซ์สารประกอบ CuO ให้ กลายเป็นโลหะ Cu ที่อุณหภูมิ 523 เคลวิน และสามารถรีดิวซ์ให้กลายเป็นสารประกอบ Cu_2O ที่อุณหภูมิ 423 เคลวิน ส่วนก๊าซแอมโมเนียสามารถรีดิวซ์สารประกอบ CuO ให้กลายเป็นสารประกอบ Cu_2O ที่ อุณหภูมิ 698 - 973 เคลวิน สารประกอบ CuO มีสีดำ ใช้เป็นส่วนผสมทำเป็นไฟเบอร์และเซรามิก ตัว ตรวจจับแก๊สชนิดต่างๆและฟลักซ์สำหรับใช้เชื่อมโลหะ ใช้กำจัดเชื้อรา และเป็นส่วนผสมสำคัญในสีทา เอกสารนี้เป็นเอกสารที่สงวนไว้สำหรับการใช้งานเพื่อการศึกษาเท่านั้น ไม่นิยมนำไปใช้ประโยชน์ด้านการค้า ไม่ว่ากรณีใดๆทั้งสิ้น อีกทั้งห้ามมิให้ดัดแปลงเนื้อหา และต้องอ้างอิงถึงเจ้าของเอกสารทุกครั้งที่มีการนำไปใช้

เรือเพื่อป้องกันตะไคร่น้ำ สารประกอบ CuO มีการจัดเรียงอิเล็กตรอนเป็นแบบ $3d^9$ ดังนั้นจึงมีสมบัติเป็น สารแม่เหล็กแอนติเฟอร์โรที่อุณหภูมิห้อง (Korzhavyi and Johansson, 2011)



ภาพที่ 2.6 โครงสร้างผลึกของสารกึ่งตัวนำ Cu_2O



ภาพที่ 2.7 แผนภาพเฟสของสารประกอบ CuO แสดงความสัมพันธ์ระหว่างความดันย่อยและอุณหภูมิของแผ่นฐานรองรับในการเตรียมฟิล์มบางคอปเปอร์ออกไซด์ในระบบสูญญากาศ เฟสที่เกิดขึ้นได้ คือ Cu , Cu_2O และ CuO

เอกสารนี้เป็นเอกสารที่สงวนไว้สำหรับการใช้งานเพื่อการศึกษาเท่านั้น ไม่อนุญาตให้นำไปใช้ประโยชน์ด้านการค้า ไม่ว่าจะกรณีใดๆทั้งสิ้น อีกทั้งห้ามมิให้ดัดแปลงเนื้อหา และต้องอ้างอิงถึงเจ้าของเอกสารทุกครั้งที่มีการนำไปใช้

2.2.2 หลักเกณฑ์ในการระบุชื่อระนาบของผลึก (ฐิตินัย, 2530; ฐิตินัย, 2551; จามนิตย์, 2530; Kittel, 2005; Runyan, 1975)

เนื่องจากสมบัติทางฟิสิกส์ของผลึกขึ้นกับตำแหน่งของทิศทางและระนาบของผลึก ดังนั้นจึงต้องระบุแน่นอนว่ากำลังศึกษาลักษณะส่วนใดของผลึกอยู่ การระบุลักษณะดังกล่าวจะบอกถึงตำแหน่งของทิศทางและระนาบของผลึกที่กำลังศึกษาอยู่นั้น มีเกณฑ์พื้นฐานดังนี้

2.2.2.1 การระบุตำแหน่ง

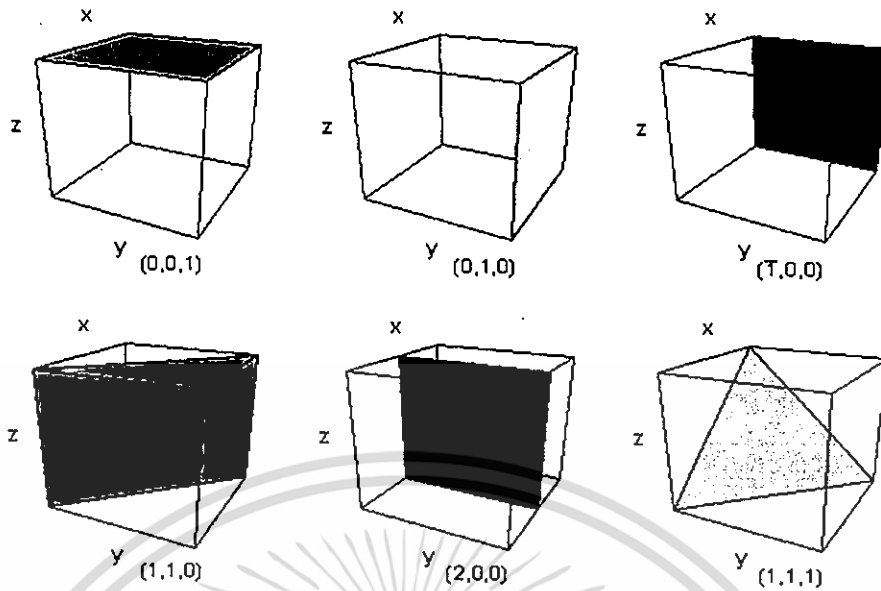
ในกรณีทั่วไปจะเขียนเป็น (x,y,z) โดยสังเกตเครื่องหมาย “,” ซึ่งคั่นอยู่ระหว่างค่าแต่ละค่า ตัวอย่างเช่น จุด $(1,2,3)$ หมายความว่า เป็นตำแหน่งอยู่ที่พิกัด $x=1, y=2, z=3$

2.2.2.2 การระบุทิศทาง

ในกรณีทั่วไปจะเขียนเป็น $[u\ v\ w]$ โดยสังเกตว่าใช้วงเล็บเหลี่ยม และไม่มีเครื่องหมาย “,” คั่นอยู่ระหว่างค่าแต่ละค่า ถ้าเป็นทิศทางที่เป็นวงเล็บก็จะใส่เครื่องหมาย “-” หรือ บาร์ (bar) ไว้บนตัวเลขนั้นๆ เช่น ทิศทาง $[\bar{1}2\bar{1}]$ แสดงว่าในแนวแกน z มีค่าเป็นลบ

2.2.2.3 การระบุชื่อระนาบ

การระบุชื่อระนาบ จะใช้อักษร (hkl) โดยให้สังเกตการใช้วงเล็บ และไม่มีเครื่องหมาย “,” คั่นอยู่ระหว่างค่า (hkl) เรียกว่า ดัชนีมิลเลอร์ (Miller indices) ระนาบของผลึกเป็นสิ่งที่สำคัญที่สุดในการศึกษาผลึก เพราะในแต่ละระนาบจะประกอบไปด้วยอะตอม ไอออน หรือ โมเลกุลเรียงตัวกันอยู่บนระนาบนั้น อาจกล่าวได้ว่าระนาบแต่ละระนาบจะมีความแตกต่างกันเช่นเดียวกับทิศทาง จุดที่ระนาบหนึ่งๆ ตัดแกนผลึกจะ ได้มาจากค่าส่วนกลับของดัชนีมิลเลอร์ เช่น ระนาบ (010) จะตัดแกน (x,y,z) ที่จุด $(1/0, 1/1, 1/0)$ หรือ จุด $(\infty, 1, \infty)$ นั่นเอง (ระยะอนันต์หมายถึงระนาบนั้นขนานกับแกนนั้นและไปตัดแกนนั้นที่ระยะอนันต์) ดังแสดงในรูปที่ 2.8 ซึ่งสรุปความสัมพันธ์ระหว่างระนาบต่างๆ กับระยะตัดแกนอ้างอิง



ภาพที่ 2.8 การบอกชื่อระนาบต่างๆ ของผลึก

2.3 การศึกษาโครงสร้างผลึกเชิงจุดภาคด้วยการเลี้ยวเบนรังสีเอกซ์ (Cullity, 1956; ฐิตินัย, 2530; งามนิศย์, 2531; Kittel, 2005; Runyan, 1975; ฐิตินัย, 2550; ฐิตินัย, 2551)

การศึกษาโครงสร้างผลึกโดยการเลี้ยวเบนของรังสีเอกซ์ด้วยเครื่องเอกซเรย์ดิฟแฟรคโตร-มิเตอร์ โดยใช้รังสีเอกซ์ความยาวคลื่นเดี่ยวตกกระทบตัวอย่าง ซึ่งอาจเป็นผลึกเดี่ยวหรือผลึกพหุพันธ์ก็ได้ สารตัวอย่างจะหมุนไปเป็นมุม θ ในขณะที่อุปกรณ์ตรวจจับสัญญาณ รังสีเอกซ์จะเคลื่อนที่ไปเป็นมุม 2θ เพื่อให้การเลี้ยวเบนสอดคล้องกับกฎของแบรกก์

ในปี พ.ศ. 2455 (ค.ศ. 1912) W.H. Bragg และ W.L. Bragg ได้เสนอแนวคิดที่เราสามารถมองได้ว่าผลึกจัดเรียงตัวเป็น ชั้น (layer) หรือระนาบ (plane) ของอะตอมซึ่งสามารถสะท้อนคลื่น ที่ตกกระทบ โดยมุมตกกระทบเท่ากับมุมสะท้อน ทั้งนี้ลำคลื่นที่สะท้อนออกไปจากระนาบต่างๆดังกล่าวจะมีความเข้มสูงและแทรกสอดแบบเสริมกัน ถ้าหากความแตกต่างระหว่างทางเดินของคลื่นที่สะท้อนจากระนาบที่อยู่ข้างเคียง (path difference) มีค่าเป็นจำนวนเท่าของความยาวคลื่นที่ตกกระทบดังสมการ

$$2d_{hkl} \sin\theta = n\lambda \quad (2.1)$$

เมื่อ λ คือ ความยาวคลื่นของรังสีเอกซ์

d_{hkl} คือ ระยะระหว่างระนาบที่ขนานกัน

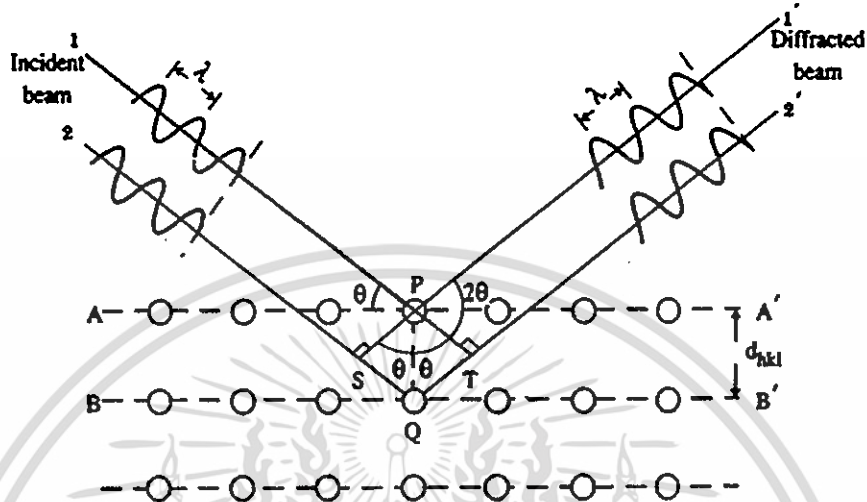
θ คือ มุมของรังสีสะท้อนจากระนาบแบรกก์ของรังสีเอกซ์ ซึ่งจะเท่ากับมุมของรังสีตกกระทบ

n คือ ลำดับที่ของการเลี้ยวเบน มีค่าเป็นเลขจำนวนเต็ม คือ 1, 2, 3,...

2θ คือ มุมเลี้ยวเบนที่เป็นมุมระหว่างรังสีตกกระทบทำกับรังสีสะท้อน

เอกสารนี้เป็นเอกสารที่สงวนไว้สำหรับการใช้งานเพื่อการศึกษาเท่านั้น ไม่อนุญาตให้นำไปใช้ประโยชน์ด้านการค้า ไม่ว่าจะกรณีใดๆทั้งสิ้น อีกทั้งห้ามมิให้ดัดแปลงเนื้อหา และต้องอ้างอิงถึงเจ้าของเอกสารทุกครั้งที่มีการนำไปใช้

ระนาบต่าง ๆ ของผลึกที่ก่อให้เกิดการเลี้ยวเบนของรังสีเอกซ์ต้องสอดคล้องกับกฎของแบรกก์ เรียกว่าระนาบแบรกก์ (Bragg plane) และมุมที่รังสีสะท้อนทำกับแนวที่ขนานกับรังสีตกกระทบเรียกว่ามุมเลี้ยวเบน (diffraction angle) ซึ่งมีค่าเป็นสองเท่าของมุมตกกระทบ (2θ) ดังรูปที่ 2.9



ภาพที่ 2.9 การเลี้ยวเบนของรังสีเอกซ์บนระนาบของผลึกที่เป็นไปตามกฎของแบรกก์

2.3.1 การวิเคราะห์โครงสร้างผลึก

ข้อมูลที่ได้จากกราฟการเลี้ยวเบนของรังสีเอกซ์ ดังในรูปที่ 2.10 แสดงความสัมพันธ์ระหว่างความเข้มของรังสีเอกซ์และมุมเลี้ยวเบน เรียกว่า รูปแบบการเลี้ยวเบน (diffraction pattern) ซึ่งสำหรับแต่ละธาตุหรือสารประกอบต่างชนิดกันก็จะมีรูปแบบการเลี้ยวเบนแตกต่างกันซึ่งสามารถสังเกตได้จากพีก (peak) ของการเลี้ยวเบน จากกราฟการเลี้ยวเบนของรังสีเอกซ์สามารถทำการวิเคราะห์โครงสร้างผลึกได้โดยการคำนวณหาค่าคงที่ของโครงผลึก ขนาดของเกรนและความเครียดในระดับจุลภาคได้

สมการสำหรับหาค่าคงที่ของโครงผลึก (lattice constant) สำหรับโครงสร้างผลึกแบบ ริงค์เบลนค์สามารถหาได้จากสมการที่ (2.2)

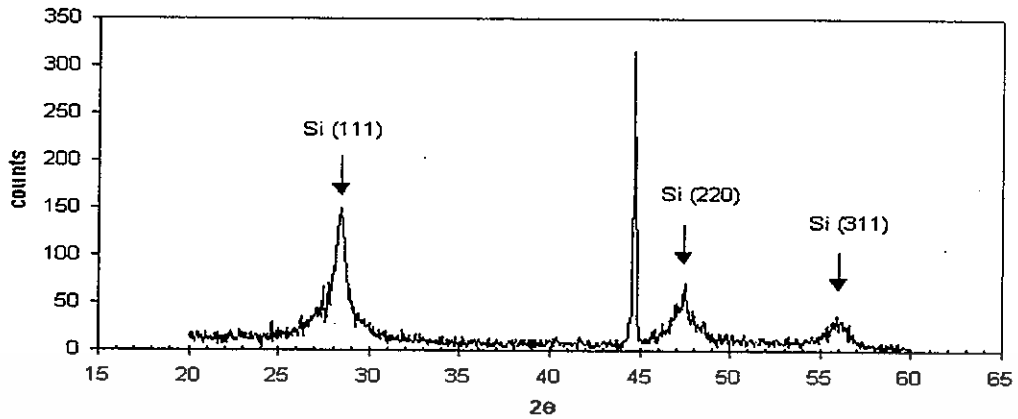
$$\frac{1}{d_{hkl}^2} = \frac{h^2 + k^2 + l^2}{a^2} \tag{2.2}$$

และสำหรับโครงสร้างผลึกแบบเฮกซะโกนัลหาได้จากสมการที่ (2.3)

$$\frac{1}{d_{hkl}^2} = \frac{4}{3} \left[\frac{h^2 + hk + k^2}{a^2} \right] + \frac{l^2}{c^2} \tag{2.3}$$

เมื่อ a, c คือ ค่าคงที่ของโครงผลึก

h, k, l คือ ดัชนีมิลเลอร์ที่ใช้บอกชื่อระนาบของผลึก



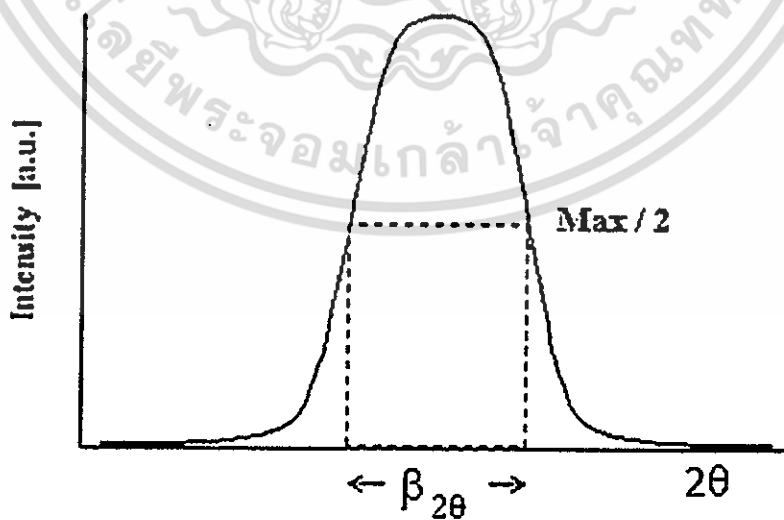
ภาพที่ 2.10 ตัวอย่างของสเปกตรัมที่ได้จากการเลี้ยวเบนของรังสีเอกซ์

2.3.2 การหาขนาดของเกรน

การหาขนาดของเกรนจากสเปกตรัมของการเลี้ยวเบนของรังสีเอกซ์สามารถหาโดยเลือกฟิสิกส์ที่มีความเข้มสูงสุด ดังในรูปที่ 2.11 และใช้สมการของเชอร์เรอร์ (Scherer) คำนวณหาขนาดของเกรนดังนี้

$$D = \frac{k\lambda}{\beta_{2\theta} \cos \theta} \quad (2.4)$$

- เมื่อ D คือ ขนาดของเกรน
 K คือ ค่าคงที่ซึ่งขึ้นกับขนาดและรูปร่างของเกรน
 $\beta_{2\theta}$ คือ ระยะเวลาความกว้างของฟิสิกส์ที่มีความเข้มที่ค่าเป็นครึ่งหนึ่งของความเข้มสูงสุด (full width at half-maximum of the diffraction peak)



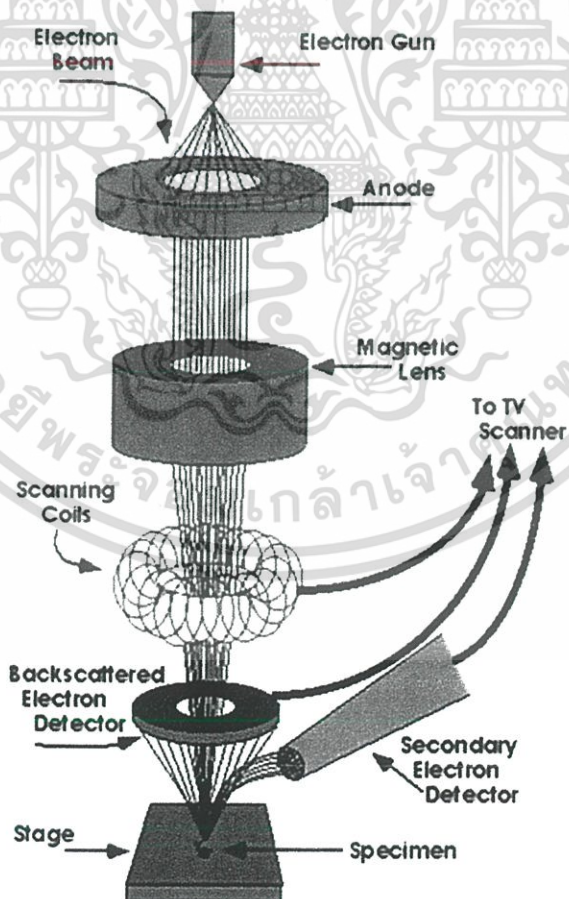
ภาพที่ 2.11 ค่า $\beta_{2\theta}$ เพื่อนำไปหาขนาดของเกรนจากสเปกตรัมของการเลี้ยวเบนของรังสีเอกซ์

เอกสารนี้เป็นเอกสารที่สงวนไว้สำหรับการใช้งานเพื่อการศึกษาเท่านั้น ไม่อนุญาตให้นำไปใช้ประโยชน์ด้านการค้า ไม่ว่าจะกรณีใดๆทั้งสิ้น อีกทั้งห้ามมิให้ดัดแปลงเนื้อหา และต้องอ้างอิงถึงเจ้าของเอกสารทุกครั้งที่มีการนำไปใช้

2.4 การศึกษาโครงสร้างผลึกเชิงมหภาคด้วยกล้องจุลทรรศน์อิเล็กตรอนแบบส่องกราด (ฐิตินัย, 2550; งามนิตย์, 2543; Schroder,1990; ฐิตินัย, 2551; งามนิตย์, 2552)

ในปี พ.ศ. 2478 แมก นอลล์ (Max Knoll) ได้คิดค้นหลักการและวิธีการในการประดิษฐ์กล้องจุลทรรศน์อิเล็กตรอนแบบส่องกราดขึ้น และต่อมา แมนเฟรด วอน อาเดนเน (Manfred Von Ardenne) ได้ประดิษฐ์กล้องจุลทรรศน์อิเล็กตรอนแบบส่องกราดเครื่องแรกสำเร็จในปี พ.ศ.2481 โดยเครื่องมือที่ประดิษฐ์ได้นั้นยังมีกำลังขยายไม่สูงมากนัก ต่อมาในปี พ.ศ. 2498 ชาร์ลส์ วิลเลียม แอ็ทเลย์ (Charles William Oatley) และทีมงานจากเคมบริดจ์ ได้สร้างกล้องจุลทรรศน์อิเล็กตรอนแบบส่องกราดที่มีความละเอียดสูงถึง 250 องค์กรอม

การทำงานของกล้องจุลทรรศน์อิเล็กตรอนแบบส่องกราด ดังแสดงในรูปที่ 2.12 เริ่มจากแหล่งกำเนิดอิเล็กตรอนซึ่งมีหน้าที่ผลิตอิเล็กตรอนจากไส้หลอด กลุ่มอิเล็กตรอนที่ได้จะถูกเร่งด้วยสนามไฟฟ้า พร้อมทั้งบังคับกลุ่มอิเล็กตรอนให้มีลักษณะเป็นลำ โดยลำอิเล็กตรอนจะกราดไปบนพื้นผิวของตัวอย่างโดยขดลวดสนามแม่เหล็กบนระนาบเอกซ์-วาย เพื่อทำให้เกิดอิเล็กตรอนทุติยภูมิ และจะถูกตรวจจับโดยเซนเซอร์ เพื่อแปลงเป็นสัญญาณไฟฟ้าเพื่อส่งต่อไปให้ระบบสร้างภาพต่อไป

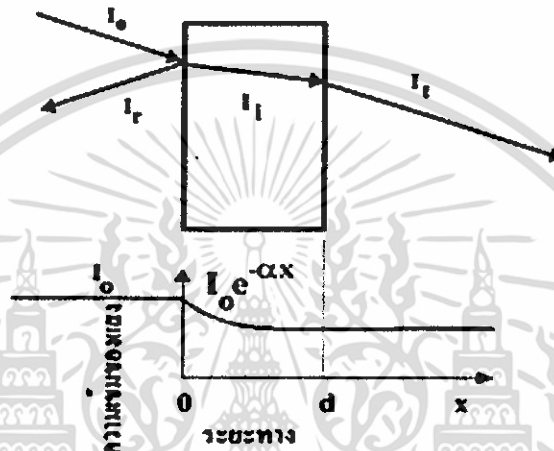


ภาพที่ 2.12 ส่วนประกอบของกล้องจุลทรรศน์อิเล็กตรอนแบบส่องกราด

เอกสารนี้เป็นเอกสารที่สงวนไว้สำหรับการใช้งานเพื่อการศึกษาเท่านั้น ไม่อนุญาตให้นำไปใช้ประโยชน์ด้านการค้า ไม่ว่าจะกรณีใดๆทั้งสิ้น อีกทั้งห้ามมิให้ดัดแปลงเนื้อหา และต้องอ้างอิงถึงเจ้าของเอกสารทุกครั้งที่มีการนำไปใช้

2.5 การส่งผ่านแสง (จามนิตย์, 2531; ฐิตินัย, 2546; จามนิตย์, 2545; ฐิตินัย, 2549; ฐิตินัย, 2550; ฐิตินัย, 2552)

การศึกษาวิธีวัดสเปกตรัมการสะท้อนและการส่งผ่านแสงนี้จะกล่าวถึงสัมประสิทธิ์การส่งผ่านแสงและองค์ประกอบของการวัดสเปกตรัมการส่งผ่านแสง เมื่อแสงเดินทางไปกระทบฟิล์มบางแสงบางส่วนจะสะท้อนกลับที่ผิวของฟิล์มบาง บางส่วนของแสงจะเดินทางเข้าไปในแผ่นฟิล์มบางและถูกดูดกลืนดังรูปที่ 2.13



ภาพที่ 2.13 ภาพจำลองเมื่อแสงตกกระทบลงบนแผ่นฟิล์มบาง

- เมื่อ I_0 คือ ความเข้มแสงตกกระทบแผ่นฟิล์มบาง
 I_r คือ ความเข้มแสงสะท้อนจากฟิล์มบาง
 I_t คือ ความเข้มแสงส่งผ่านออกมาจากฟิล์มบาง
 I_i คือ ความเข้มแสงที่เดินทางเข้าสู่แผ่นฟิล์มบาง
 R คือ สัมประสิทธิ์การสะท้อนแสง (reflectivity)
 T คือ สัมประสิทธิ์การส่งผ่านแสง (transmittance)
 α คือ สัมประสิทธิ์การดูดกลืนแสง (absorption coefficient)
 d คือ ระยะทางที่แสงเดินทางในแผ่นฟิล์มบาง

สัมประสิทธิ์การสะท้อนของแสงมีค่าเท่ากับ

$$R = \frac{I_r}{I_0} \quad (2.5)$$

หรือ

$$I_x = RI_0 \quad (2.6)$$

เพราะฉะนั้น ความเข้มแสงที่เดินทางเข้าสู่แผ่นฟิล์มบางมีค่า

เอกสารนี้เป็นเอกสารที่สงวนไว้สำหรับการใช้งานเพื่อการศึกษาเท่านั้น ไม่อนุญาตให้นำไปใช้ประโยชน์ด้านการค้า ไม่ว่ากรณีใดๆทั้งสิ้น อีกทั้งห้ามมิให้ดัดแปลงเนื้อหา และต้องอ้างอิงถึงเจ้าของเอกสารทุกครั้งที่มีการนำไปใช้

$$I_t = I_0 - I_r = I_0 - RI_t = (1-R)I_0 \quad (2.7)$$

เมื่อแสงนี้เดินทางเข้าสู่แผ่นฟิล์มบางจะถูกดูดกลืนทำให้ความเข้มแสงภายในแผ่นฟิล์มบางลดลงแบบเอกซ์โพเนนเชียลตามระยะทาง ดังนั้นความเข้มแสงที่ส่งผ่านฟิล์มบางมีค่าลดลงตามสมการ

$$I_t = I_i e^{-\alpha d} = (1-R)I_0 e^{-\alpha d} \quad (2.8)$$

ถ้าไม่มีการสะท้อนแสงที่ผิวด้านหลังสัมประสิทธิ์การส่งผ่านของแสงจะมีค่าเท่ากับ

$$T = \frac{I_t}{I_0} = (1-R) e^{-\alpha d} \quad (2.9)$$

การหาค่าของช่องว่างแถบพลังงานสามารถพิจารณาจากสัมประสิทธิ์การดูดกลืนแสง (α) ของสารกึ่งตัวนำจะสัมพันธ์กับค่าสัมประสิทธิ์การส่งผ่านแสง (T) จากรูปที่ 2.14 แสดงภาพจำลองเมื่อแสงตกกระทบจากด้านซ้ายของฟิล์มบาง (I_0) ความเข้มแสงภายในฟิล์มบางจะลดลงแบบเอกซ์โพเนนเชียล และมีค่าสัมประสิทธิ์การส่งผ่านแสงโดยทั่วไป (R) มีค่าน้อยมากจะได้

$$T = e^{-\alpha d} \quad (2.10)$$

ดังนั้น

$$\alpha = -\frac{1}{d} \ln T \quad (2.11)$$

ที่กล่าวมา เป็นการคำนวณหาสัมประสิทธิ์การดูดกลืนแสงจากสัมประสิทธิ์การส่งผ่านแสงโดยไม่คิดถึง การสะท้อนของแสงสำหรับกรณีการคำนวณสัมประสิทธิ์การดูดกลืนแสง เนื่องจากการย้ายสถานะพลังงานของอิเล็กตรอนแสดงเป็นกราฟความสัมพันธ์ระหว่างสัมประสิทธิ์การดูดกลืนแสงกับค่าช่องว่างแถบพลังงาน ซึ่งมีลักษณะเป็นพาราโบลาช่องว่างแถบพลังงานของแผ่นฟิล์มบางประมาณได้ โดยการคำนวณสัมประสิทธิ์การดูดกลืนแสง ซึ่งจะถูกลดลงเมื่อแสงที่ตกกระทบบนแผ่นฟิล์มบางมีค่าพลังงานโฟตอนสูงกว่าค่าของแถบพลังงานต้องห้ามที่ขอบของการดูดกลืนค่าสัมประสิทธิ์การดูดกลืนจะมีค่าเป็น

$$(\alpha h\nu)^2 = A(h\nu - E_g) \quad (2.12)$$

เมื่อ A คือ ค่าคงที่ และสมการที่ (2.12) ใช้กับสารที่มีสถานะพลังงานแบบตรง

$$(\alpha h\nu)^{1/2} = B(h\nu - E_g) \quad (2.13)$$

เมื่อ B คือ ค่าคงที่ และสมการที่ (2.13) ใช้กับสารที่มีสถานะพลังงานแบบเฉียง

เอกสารนี้เป็นเอกสารที่สงวนไว้สำหรับการใช้งานเพื่อการศึกษาเท่านั้น ไม่อนุญาตให้นำไปใช้ประโยชน์ด้านการค้า ไม่ว่ากรณีใดๆทั้งสิ้น อีกทั้งห้ามมิให้ดัดแปลงเนื้อหา และต้องอ้างอิงถึงเจ้าของเอกสารทุกครั้งที่มีการนำไปใช้

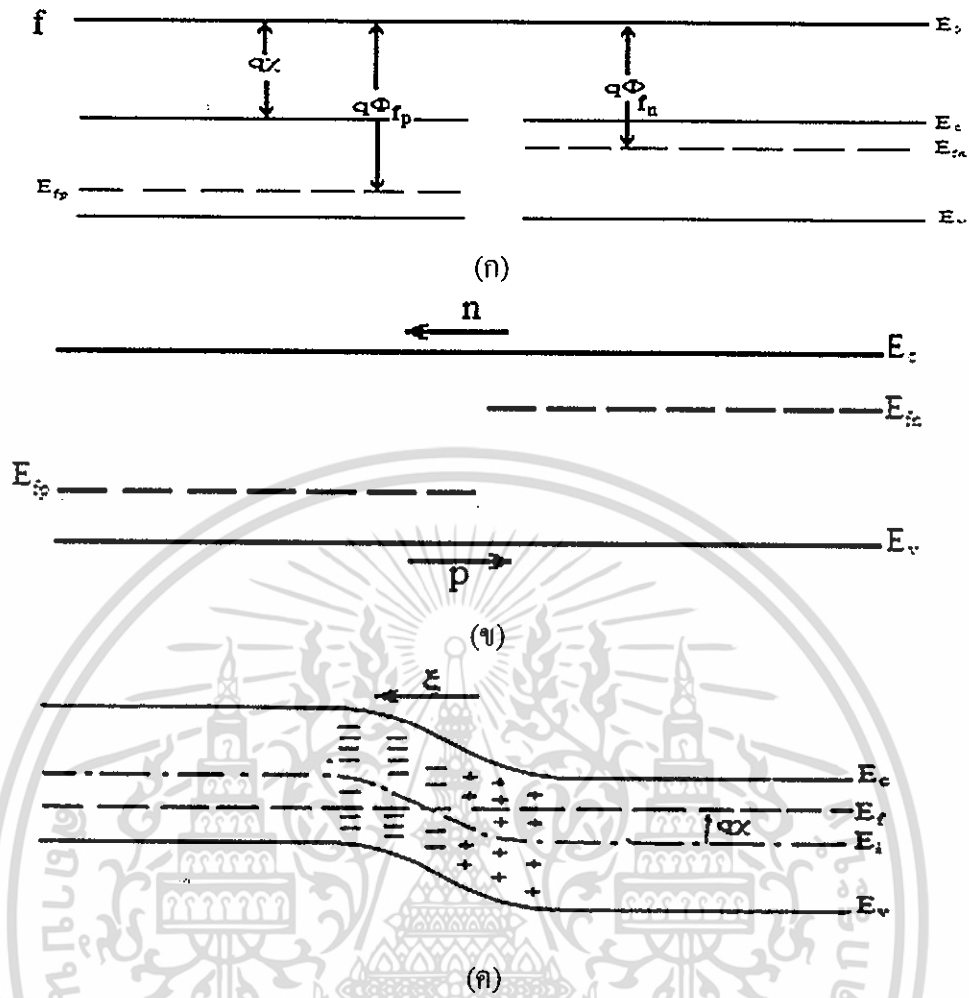
2.6 รอยต่อพี-เอ็น ของสารกึ่งตัวนำ (p-n junction) (จูตินัย, 2545; จูตินัย, 2552; จูตินัย, 2557; Muller and Kamins, 1986; Singh, 1994; Schroder, 1990)

รอยต่อพี-เอ็น คือบริเวณที่ชนิดการนำไฟฟ้าของสารเปลี่ยนจากชนิดพีเป็นชนิดเอ็นหรือเปลี่ยนจากชนิดเอ็นเป็นชนิดพี โดยที่โครงสร้างของผลึกไม่มีการเปลี่ยนแปลงแต่อย่างใด รอยต่อพี-เอ็น เป็นส่วนที่สำคัญมากในสิ่งประดิษฐ์สารกึ่งตัวนำแทบทุกชนิด และคุณสมบัติของรอยต่อพี-เอ็น ดังกล่าวนี้จะขึ้นกับกระบวนการผลิตซึ่งมีมากมายหลายแบบ วิธีการประดิษฐ์รอยต่อที่สำคัญๆ ในปัจจุบันมีดังนี้คือ วิธีการแพร่ซึม วิธีอีพิแทกซ์ (epitaxy) วิธีฝังไอออน (ion implantation) และแบบหลอมผสม (alloying) เป็นต้น

2.6.1 รอยต่อในสถานะสมดุลเชิงความร้อน

แบบจำลองของรอยต่อพี-เอ็น ในเชิงอุดมคติจะเริ่มพิจารณาที่รอยต่อแบบโฮโม (homo junction) ซึ่งทั้งสารกึ่งตัวนำชนิดพีและสารกึ่งตัวนำชนิดเอ็นเป็นวัสดุชนิดเดียวกัน จึงมีค่าช่องว่างแถบพลังงานเท่ากัน โดยเริ่มจากอิเล็กตรอนที่มีอยู่จำนวนมากในสารกึ่งตัวนำชนิดเอ็นจะแพร่ซึมไปยังสารกึ่งตัวนำชนิดพี ซึ่งมีอิเล็กตรอนอยู่น้อยมาก ในทำนองเดียวกัน โฮลที่มีอยู่เป็นจำนวนมากในสารกึ่งตัวนำชนิดพีจะแพร่ซึมไปยังด้านเอ็นซึ่งมีโฮลอยู่น้อยมาก การแพร่ซึมของพาหะเหล่านี้จะทำให้เนื้อสารขาดความเป็นกลางทางไฟฟ้านั้นคือทางสารกึ่งตัวนำชนิดเอ็นจะสูญเสียอิเล็กตรอนอิสระไป ทำให้บริเวณสารกึ่งตัวนำชนิดเอ็นที่ใกล้รอยต่อ แสดงอำนาจไฟฟ้าเป็นบวกเนื่องจากมีประจุบวกของไอออนของอะตอมผู้ให้ถูกทิ้งไว้ สำหรับทางสารกึ่งตัวนำชนิดพีก็จะมีลักษณะคล้ายๆกัน คือมีไอออนของอะตอมผู้รับซึ่งมีประจุเป็นลบปรากฏอยู่ ยังผลให้เกิดสนามไฟฟ้าที่รอยต่อ โดยที่สนามไฟฟ้ามักเกิดจากทางสารกึ่งตัวนำชนิดเอ็นไปทางสารกึ่งตัวนำชนิดพี ดังนั้นการแพร่ซึมของ โฮลและอิเล็กตรอนจะลดลงเนื่องจากอิทธิพลของสนามไฟฟ้าที่ต้านการแพร่ซึม บริเวณรอยต่อนี้จึงปลอดจากพาหะอิสระและเรียกบริเวณนี้ว่า เขตปลอดพาหะ (depletion region) หรือบางครั้งเรียกว่า บริเวณประจุค้าง (space charge region) เนื่องจากมีประจุของไอออนสารเจืออยู่ซึ่งเป็นประจุที่ถูกตรึงอยู่กับที่ (fixed charge) ไม่ใช่ประจุอิสระ

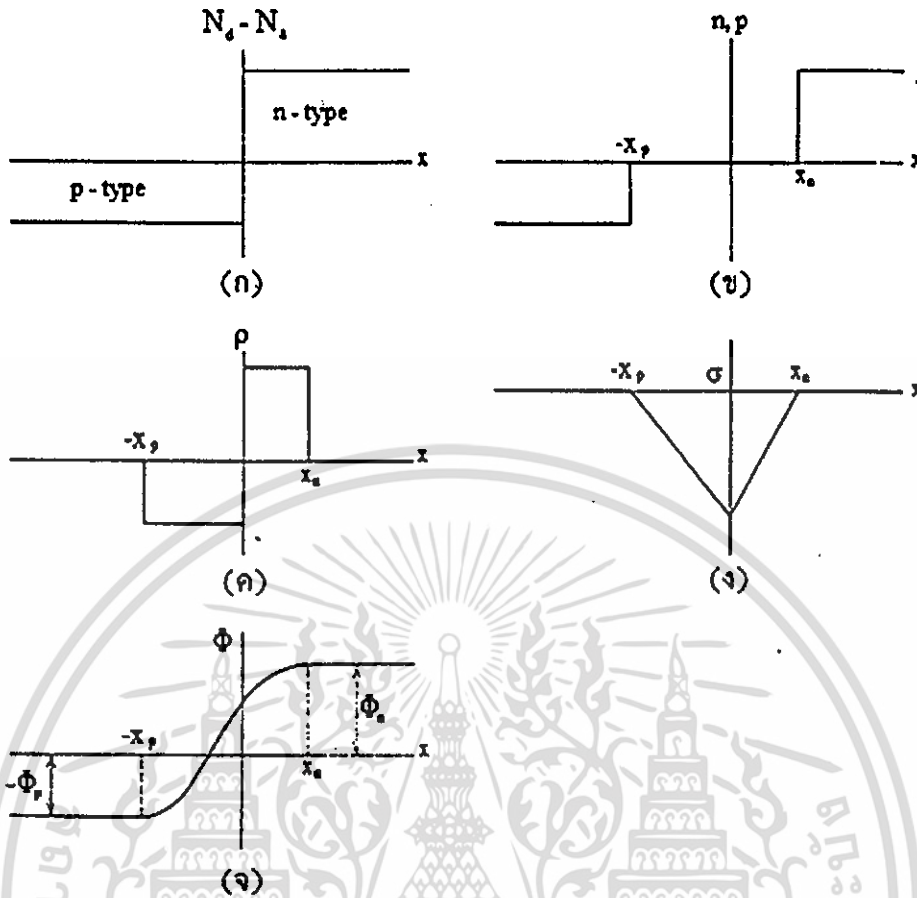
ลักษณะการแพร่ซึมของอิเล็กตรอนและโฮลที่รอยต่ออาจแสดงได้โดยแผนภาพลักษณะของโครงสร้างแถบพลังงานดังรูปที่ 2.14 โดยที่รูป 2.14 (ก) แสดงลักษณะของโครงสร้างแถบพลังงานของสารกึ่งตัวนำทั้งสองชนิดที่ยังไม่ได้สัมผัสกันเป็นรอยต่อวิวิธพันธุ์ รูปที่ 2.14 (ข) แสดงลักษณะของโครงสร้างแถบพลังงานของสารกึ่งตัวนำทั้งสองชนิดที่ถูกนำมาทำเป็นรอยต่อวิวิธพันธุ์ ซึ่งจะเกิดการแพร่ของอิเล็กตรอนและโฮล จนกระทั่งเข้าสู่สถานะสมดุลเชิงความร้อน ดังแสดงในรูปที่ 2.14 (ค) โดยที่ ϕ คือ ศักย์ไฟฟ้าที่รอยต่อ และ ξ คือสนามไฟฟ้าที่รอยต่อ



ภาพที่ 2.14 ลักษณะของโครงสร้างแถบพลังงานของสารกึ่งตัวนำชนิดพีและชนิดเอ็น
 ก. ขณะที่สารกึ่งตัวนำทั้งสองชนิดยังไม่ได้สัมผัสกันเป็นรอยต่อวิวิธพันธุ์
 ข. ขณะที่สารกึ่งตัวนำทั้งสองชนิดที่ถูกนำมาทำเป็นรอยต่อวิวิธพันธุ์
 ค. ขณะที่สารกึ่งตัวนำทั้งสองชนิดถูกนำมาทำเป็นรอยต่อวิวิธพันธุ์และอยู่ในสภาวะสมดุลเชิงความร้อน

2.6.2 รอยต่อแบบขั้นบันได (step junction)

รอยต่อแบบขั้นบันไดเป็นรอยต่อในเชิงอุดมคติ ที่พิจารณาว่าปริมาณความเข้มข้นของสารเจือในสารกึ่งตัวนำชนิดเอ็นและทางสารกึ่งตัวนำชนิดพีต่างมีค่าคงที่ (แต่ค่าไม่เท่ากัน) จนกระทั่งถึงจุดเชื่อมต่อระหว่างสารกึ่งตัวนำชนิดเอ็นกับสารกึ่งตัวนำชนิดพี ดังแสดงในรูปที่ 2.15



ภาพที่ 2.15 โคโอดของสารกึ่งตัวนำที่มีรอยต่อแบบพี-เอ็น ที่เป็นแบบชั้นบันไดที่เป็นฟังก์ชันกระยะทาง

- ก. ความเข้มข้นสารเจือ
- ข. ความหนาแน่นของพาหะอิสระ
- ค. ประจุค้าง
- ง. สนามไฟฟ้าที่บริเวณรอยต่อ
- จ. ศักย์ไฟฟ้าที่บริเวณรอยต่อ

ประจุไฟฟ้าจะมีค่าไม่เป็นศูนย์เฉพาะที่บริเวณเขตปลอดพาหะ จะหาสนามไฟฟ้าทางสารกึ่งตัวนำชนิดเอ็นได้โดยใช้สมการของปัวซอง (Poisson's equation) นั่นคือ

$$\frac{d^2\phi}{dx^2} = \frac{-d^2\xi}{dx^2} = \frac{-qN_d}{\epsilon_s} \tag{2.14}$$

แล้ว

$$\xi(x) = \frac{-qN_d}{\epsilon_s}(x_n - x); 0 < x < x_n \tag{2.15}$$

เอกสารนี้เป็นเอกสารที่สงวนไว้สำหรับการใช้งานเพื่อการศึกษาเท่านั้น ไม่อนุญาตให้นำไปใช้ประโยชน์ด้านการค้าไม่ว่ากรณีใดๆทั้งสิ้น อีกทั้งห้ามมิให้ดัดแปลงเนื้อหา และต้องอ้างอิงถึงเจ้าของเอกสารทุกครั้งที่มีการนำไปใช้

สนามไฟฟ้าของสารกึ่งตัวนำชนิดเอ็นมีเครื่องหมายเป็นลบ แสดงว่ามีทิศไปทางซ้ายมือและสัมพันธ์กับระยะทางแบบเชิงเส้นและสิ้นสุดที่ระยะทาง x_p ดังนั้นสนามไฟฟ้าจะต้านการแพร่ซึมของอิเล็กตรอนที่จะแพร่ซึมจากขวาไปซ้าย ในทำนองเดียวกันสนามไฟฟ้าทางด้านสารกึ่งตัวนำชนิดพีจะมีความสัมพันธ์กับระยะทางแบบเชิงเส้นดังนี้

$$\xi(x) = \frac{-qN_a}{\epsilon_s}(x - x_p); -x_p < x < 0 \quad (2.16)$$

ซึ่งสนามไฟฟ้าทางด้านสารกึ่งตัวนำชนิดพีจะมีทิศต้านการแพร่ซึมของโฮลด้วยเหมือนกันที่ระยะ $x = 0$ สนามไฟฟ้าจะต้องต่อเนื่อง นั่นคือ

$$N_a x_p = N_d x_n \quad (2.17)$$

ซึ่งแสดงว่าความกว้างของเขตปลอดพาหะทั้งทางด้านสารกึ่งตัวนำชนิดพีและทางด้านสารกึ่งตัวนำชนิดเอ็นจะแปรผกผันกับความเข้มข้นของสารเจือ กล่าวคือถ้าด้านใดมีความหนาแน่นของอะตอมของสารเจือสูง เขตปลอดพาหะจะยื่นเข้าไปในเนื้อสารด้านนั้นน้อย ในทางตรงกันข้าม ถ้าด้านใดมีความเข้มข้นของสารเจือต่ำ เขตปลอดพาหะส่วนใหญ่จะตกอยู่ในเนื้อสารของด้านนั้น แต่ถ้าให้ความเข้มข้นของสารเจือของอะตอมผู้ให้ทางด้านสารกึ่งตัวนำชนิดเอ็นมีค่ามากกว่าความเข้มข้นของสารเจือของอะตอมผู้รับทางด้านสารกึ่งตัวนำชนิดพีมากๆ สารกึ่งตัวนำชนิดเอ็นที่ถูกเจืออย่างหนัก (heavily doped n-type) จะถือได้ว่า เขตปลอดพาหะที่รอยต่อเข้าไปอยู่ในเนื้อสารกึ่งตัวนำชนิดพี และจะเรียกรอยต่อชนิดนี้ว่า รอยต่อแบบขั้นบันไดด้านเดียว (one-sided step junction)

ศักย์ไฟฟ้าที่รอยต่อทางด้านสารกึ่งตัวนำชนิดเอ็นสามารถหาได้โดยการอินทิเกรต สมการที่ (2.15) เทียบกับ x นั่นคือ

$$\phi(x) = \phi_n - \frac{qN_d}{2\epsilon_s}(x_n - x)^2; 0 < x < x_n \quad (2.18)$$

โดยที่

$$\phi_n = \frac{kT}{q} \ln\left(\frac{N_d}{n_i}\right) \quad (2.19)$$

ในทำนองเดียวกัน ศักย์ไฟฟ้าที่รอยต่อทางด้านสารกึ่งตัวนำชนิดพี คือ

$$\phi(x) = \phi_p + \frac{qN_a}{2\epsilon_s}(x + x_p)^2; -x_p < x < 0 \quad (2.20)$$

โดยที่

$$\phi_p = \frac{-kT}{q} \ln\left(\frac{N_a}{n_i}\right) \quad (2.21)$$

เอกสารนี้เป็นเอกสารที่สงวนไว้สำหรับการใช้งานเพื่อการศึกษาเท่านั้น ไม่อนุญาตให้นำไปใช้ประโยชน์ด้านการค้า ไม่ว่ากรณีใดๆทั้งสิ้น อีกทั้งห้ามมิให้ดัดแปลงเนื้อหา และต้องอ้างอิงถึงเจ้าของเอกสารทุกครั้งที่มีการนำไปใช้

ϕ_p คือ ศักย์ไฟฟ้าในเนื้อของสารกึ่งตัวนำชนิดพีนอกเขตปลอดพาหะอิสระและมีค่าเป็นลบ ผลต่างของ ศักย์ไฟฟ้าระหว่าง $\phi_n - \phi_p$ จะมีค่าดังนี้ คือ

$$\phi_i = \phi_n - \phi_p = \frac{kT}{q} \ln\left(\frac{N_d}{n_i}\right) + \frac{kT}{q} \ln\left(\frac{N_a}{n_i}\right) = \frac{kT}{q} \ln\left(\frac{N_d N_a}{n_i^2}\right) \quad (2.22)$$

และเรียก ϕ_i ว่าแรงดันในตัว (built-in potential) ซึ่งจะมีเครื่องหมายเป็นบวก

ในกรณีที่มีการเจือสารด้วยความเข้มข้นสูงมาก $\approx 10^{19}$ ต่อลูกบาศก์เซนติเมตร สมการที่ (2.22) จะไม่เป็นจริงอีกต่อไป เพราะว่ากรณีที่มีการเจือสารอย่างสูง เราจะประมาณฟังก์ชันการแจกแจงของเฟอร์มิ-ดิแรก ด้วยฟังก์ชันการแจกแจงของแม็กเวลล์-โบลต์ซมานน์ไม่ได้ เนื่องจากระดับเฟอร์มิของสารกึ่งตัวนำจะเลื่อนเข้าหาขอบของแถบพลังงาน (ในสารกึ่งตัวนำชนิดพีระดับเฟอร์มิจะเลื่อนเข้าหาขอบบนสุดของแถบวาเลนซ์ เป็นต้น) นั่นคือระดับเฟอร์มิของสารที่ถูกเจืออย่างหนัก จะเลื่อนไปจากระดับเฟอร์มิของสารกึ่งตัวนำอินทรินสิกเท่ากับ $E_g/2q$ หรือราวๆ 0.56 อิเล็กตรอนโวลต์ ในอะตอมของธาตุ Si ดังนั้นในรอยต่อ $p^+ - n$ ศักย์ในตัวจะมีค่าดังนั้แทนคือ

$$|\phi_i| = 0.56 + \frac{kT}{q} \ln\left(\frac{N_d}{n_i}\right) \quad (2.23)$$

และที่บริเวณเขตปลอดพาหะเกือบทั้งหมดจะปรากฏในเนื้อสารกึ่งตัวนำชนิดเอ็นของหัวต่อแต่ถ้าเป็นหัวต่อพี-เอ็นปกติ จะพบว่าความกว้างของบริเวณเขตปลอดพาหะคือ

$$x_p + x_n = \left[\frac{2\epsilon_s}{q} \phi_i \left(\frac{1}{N_a} + \frac{1}{N_d} \right) \right]^{\frac{1}{2}} \quad (2.24)$$

ซึ่งจะเห็นได้ชัดว่าความกว้างของบริเวณเขตปลอดพาหะขึ้นกับส่วนกลับของรากที่สองของความเข้มข้นของสารเจือโดยประมาณ

2.6.3 รอยต่อพี-เอ็น ภายใต้สภาวะการไบอัสย้อนกลับ

ถ้าให้แรงดันไฟ V_a แก่รอยต่อในลักษณะที่ขั้วลบต่อเข้ากับสารสารกึ่งตัวนำชนิดพีและขั้วบวกต่อเข้ากับสารกึ่งตัวนำชนิดเอ็น และประมาณว่าแรงดัน V_a ทั้งหมดไปตกคร่อมอยู่ที่บริเวณรอยต่อนั้น แรงดันในตัว ϕ_i ของสมการที่ (2.25) จะถูกแทนที่ด้วย $(\phi_i - V_a)$

$$x_d = x_n + x_p = \left[\frac{2\epsilon_s}{q} \phi_i \left(\frac{1}{N_a} + \frac{1}{N_d} \right) (\phi_i - V_a) \right]^{\frac{1}{2}} \quad (2.25)$$

เอกสารนี้เป็นเอกสารที่สงวนไว้สำหรับการใช้งานเพื่อการศึกษาเท่านั้น ไม่อนุญาตให้นำไปใช้ประโยชน์ด้านการค้า ไม่ว่ากรณีใดๆทั้งสิ้น อีกทั้งห้ามมิให้ดัดแปลงเนื้อหา และต้องอ้างอิงถึงเจ้าของเอกสารทุกครั้งที่มีการนำไปใช้

ถ้า V_a มีค่ามากกว่า ϕ_i แล้วความกว้างของเขตบริเวณเขตปลอดพาหะจะแปรผันตรงกับรากที่สองของ V_a จากรูปที่ 2.15 (ง) สนามไฟฟ้ามีค่าสูงสุดเมื่อ

$$\frac{1}{2} \xi_{\max} x_d = (\phi_i - V_a)$$

ดังนั้น

$$\xi_{\max} = \frac{2(\phi_i - V_a)}{x_d} \quad (2.26)$$

2.7 ค่าความจุไฟฟ้า

ค่าความจุไฟฟ้าของสัญญาณขนาดเล็กต่อหนึ่งหน่วยพื้นที่ของบริเวณรอยต่อ จะแสดงอยู่ในรูปของ ประจุ Q_s (ต่อหนึ่งหน่วยพื้นที่) ในบริเวณเขตปลอดพาหะ ดังความสัมพันธ์

$$Q_s = qN_d x_n = qN_a x_p \quad (2.27)$$

จากนิยามของค่าความจุไฟฟ้าคือ

$$C = \frac{dQ}{dV_a} = qN_d \frac{dx_n}{dV_a} = qN_a \frac{dx_p}{dV_a} \quad (2.28)$$

แต่เนื่องจาก $x_p = (N_d / N_a) x_n$ และ $x_d = x_n + x_p$ รวมทั้งพิจารณาสมการที่ (2.25) จะได้ว่า

$$\frac{dx_n}{dV_a} = \frac{1}{N_d} \left[\frac{\epsilon_s}{2q \left(\frac{1}{N_a} + \frac{1}{N_d} \right) (\phi_i - V_a)} \right]^{\frac{1}{2}} \quad (2.29)$$

และ

$$C = \left[\frac{q \epsilon_s}{2q \left(\frac{1}{N_a} + \frac{1}{N_d} \right) (\phi_i - V_a)} \right]^{\frac{1}{2}} \quad (2.30)$$

ในกรณีที่ $|V_a|$ มีค่ามากกว่า ϕ_i แล้วค่าความจุไฟฟ้าของรอยต่อแบบขั้นจะลดลงโดยแปรผกผันกับรากที่สองของ V_a ถ้าแทนสมการที่ (2.25) ลงในสมการที่ (2.30) จะได้ว่า $C = \epsilon_s / x_d$ ซึ่งเป็นความสัมพันธ์ที่รู้จักกันแพร่หลายสำหรับ ไฟฟ้าสถิตสัญญาณขนาดเล็ก

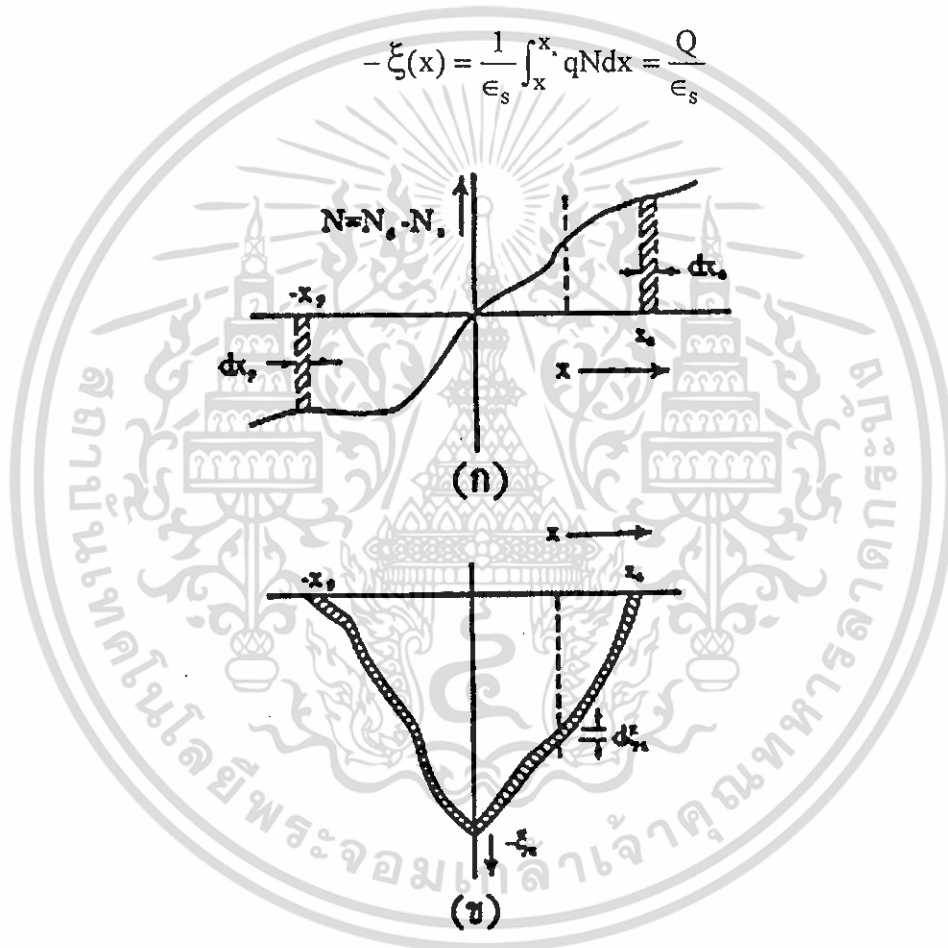
เอกสารนี้เป็นเอกสารที่สงวนไว้สำหรับการใช้งานเพื่อการศึกษาเท่านั้น ไม่อนุญาตให้นำไปใช้ประโยชน์ด้านการค้า ไม่ว่ากรณีใดๆทั้งสิ้น อีกทั้งห้ามมิให้ดัดแปลงเนื้อหา และต้องอ้างอิงถึงเจ้าของเอกสารทุกครั้งที่มีการนำไปใช้

อย่างไรก็ตาม ถ้าเป็นกรณีที่มีความหนาแน่นของสารเจือในบริเวณรอยต่อมีค่าไม่สม่ำเสมอในช่วง $-x_p$ ถึง x_n ดังรูปที่ 2.16 ประจุไฟฟ้าต่อหนึ่งหน่วยพื้นที่ Q ที่ปรากฏอยู่ระหว่าง x และขอบเขตบริเวณปลอดพาหะ x_n จะมีความสัมพันธ์ดังนี้

$$Q = q \int_x^{x_n} N dx \quad (2.31)$$

เมื่อ N คือค่าความหนาแน่นของประจุสุทธิ และมีค่าเท่ากับ $N_d - N_a$ แต่เนื่องจาก $\xi_x(x_n) = 0$ โดยการใช้กฎของเกาส์ (Gauss's law) จะได้ว่าสนามไฟฟ้าที่ตำแหน่ง x ใดๆ มีค่าดังนี้คือ

$$-\xi(x) = \frac{1}{\epsilon_s} \int_x^{x_n} qN dx = \frac{Q}{\epsilon_s} \quad (2.32)$$



ภาพที่ 2.16 โพรไฟล์ของค่าพารามิเตอร์ต่างๆในบริเวณเขตปลอดพาหะ

- ก. แสดงความหนาแน่นอะตอมของสารเจือที่มีค่าไม่สม่ำเสมอภายในเขตปลอดพาหะ
- ข. ลักษณะของสนามไฟฟ้าในบริเวณเขตปลอดพาหะเมื่อแรงดันไบอัสย้อนกลับมีค่าเปลี่ยนไปเล็กน้อย

เอกสารนี้เป็นเอกสารที่สงวนไว้สำหรับการใช้งานเพื่อการศึกษาเท่านั้น ไม่อนุญาตให้นำไปใช้ประโยชน์ด้านการค้า ไม่ว่ากรณีใดๆทั้งสิ้น อีกทั้งห้ามมิให้ดัดแปลงเนื้อหา และต้องอ้างอิงถึงเจ้าของเอกสารทุกครั้งที่มีการนำไปใช้

จากรูปที่ 2.16 (ข) เมื่อแรงดันไฟย้อนกลับ V_a มีค่าเปลี่ยนไป dV_a ขอบเขตของบริเวณปลอดพาหะทางด้านสารกึ่งตัวนำชนิดเอ็นจะเปลี่ยนไป dx_n และประจุไฟฟ้าที่ปรากฏอยู่ในบริเวณตั้งแต่ x จนถึง x_n จะมีค่าดังนี้คือ

$$dQ = qN(x_n)dx_n \quad (2.33)$$

แล้วสนามไฟฟ้าที่จุด x จะเปลี่ยนไปตามความสัมพันธ์

$$-d\xi_x = \frac{dQ}{\epsilon_s} = \frac{q}{\epsilon_s} N(x_n)dx_n \quad (2.34)$$

แต่เนื่องจากพื้นที่กราฟ ξ_x กับ x จะสัมพันธ์กับ $\phi_i - V_a$ ดังนั้นแรงดันไฟฟ้าที่เปลี่ยนไปจะสอดคล้องกับพื้นที่แรเงาของรูปที่ 2.16 (ข) ดังนั้นจะได้ว่า

$$dV_a \approx -x_d d\xi_x = \frac{x_d}{\epsilon_s} dQ \quad (2.35)$$

และจากนิยาม ค่าความจุไฟฟ้าของสัญญาณขนาดเล็ก คือ

$$C = \frac{dQ}{dV_a} = \frac{\epsilon_s}{x_d} \quad (2.36)$$

ภายใต้สภาวะไบอัสย้อนกลับ บริเวณขอบเขตปลอดพาหะทั้งด้านสารกึ่งตัวนำชนิดพีและด้านสารกึ่งตัวนำชนิดเอ็นจะเลื่อนออกไปจากแนวเดิม สำหรับอนุพันธ์ของสมการที่ (2.36) เทียบกับ x_n คือ

$$\frac{dC}{dx_n} = \frac{\epsilon_s}{(x_n + x_p)^2} \left(1 + \frac{dx_p}{dx_n} \right) \quad (2.37)$$

แต่เนื่องจากขนาดของประจุไฟฟ้าทั้งสองข้างของบริเวณรอยต่อที่เปลี่ยนไปต่างต้องมีปริมาณที่เท่ากัน นั่นคือ

$$|dQ| = |qN(-x_p)dx_p| = qN(x_n)dx_n \quad (2.38)$$

และ

$$\frac{dC}{dx_n} = \frac{-C^2}{\epsilon_s} \left(1 + \frac{N(x_n)}{|N(-x_p)|} \right) \quad (2.39)$$

แทนค่า dx_n ของสมการที่ (2.39) ลงในสมการที่ (2.33) จะได้ว่า

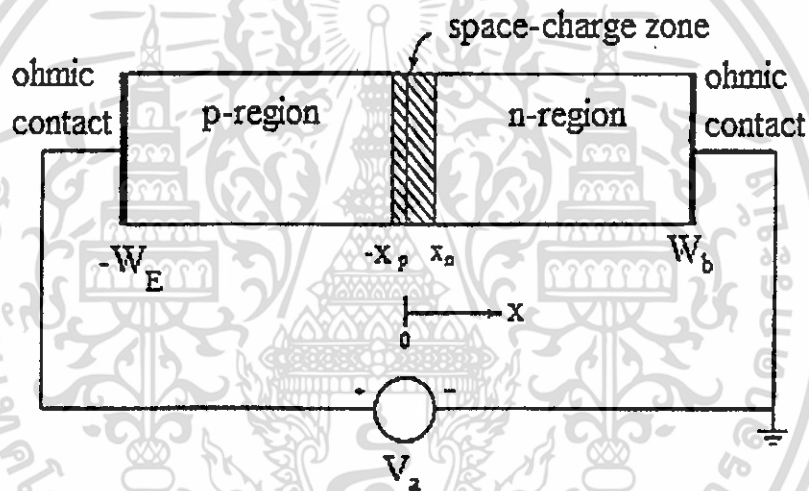
$$N(x_n) = \frac{C^2}{\epsilon_s (dC/dV_a)} \left(1 + \frac{N(x_n)}{|N(-x_p)|} \right) \quad (2.40)$$

เอกสารนี้เป็นเอกสารที่สงวนไว้สำหรับการใช้งานเพื่อการศึกษาเท่านั้น ไม่อนุญาตให้นำไปใช้ประโยชน์ด้านการค้า ไม่ว่ากรณีใดๆทั้งสิ้น อีกทั้งห้ามมิให้ดัดแปลงเนื้อหา และต้องอ้างอิงถึงเจ้าของเอกสารทุกครั้งที่มีการนำไปใช้

ถ้าด้านสารกึ่งตัวนำชนิดพีถูกเจืออย่างหนัก แล้วพจน์ขวามือในวงเล็บของสมการที่ (2.40) จะมีค่าเข้าใกล้ศูนย์ ซึ่งจะกลายเป็นการหาค่าความเข้มข้นสารเจือของรอยต่อแบบข้างเดียว (one sided step junction)

2.8 ลักษณะกระแส-แรงดันไฟฟ้าของรอยต่อพี-เอ็น (ฐิตินัย, 2545; ฐิตินัย, 2552; ฐิตินัย, 2557)

จากรูปที่ 2.17 แสดงการป้อนแรงดันไฟตรง V_a ให้กับไดโอดชนิดรอยต่อพี-เอ็น ไดโอดมีพื้นที่หน้าตัด A ถ้าไม่มีการฉายแสงไปยังไดโอด กระแสที่ไหลผ่านไดโอดจะมีค่าเพิ่มขึ้นอย่างรวดเร็วตามขนาดของแรงดัน V_a แรงดันส่วนใหญ่จะตกคร่อมที่รอยต่อมากกว่าในเนื้อสารซึ่งถือว่าเป็นกลางทางไฟฟ้า (quasi-neutral region) และที่ขั้วไฟฟ้า (ohmic contact) แรงดันไฟฟ้าสุทธิที่รอยต่อจะเท่ากับ $(\phi_i - V_a)$ ถ้า V_a มีค่าเป็นบวก จะเรียกว่าการไบอัสไปหน้า แต่ถ้า V_a มีเครื่องหมายเป็นลบเรียกว่าการไบอัสย้อนกลับ กระแสที่ไหลในวงจรมีค่าน้อยมาก และกระแสจะคงที่ไม่ขึ้นกับค่า V_a ในช่วงของ V_a ขนาดหนึ่ง



ภาพที่ 2.17 โครงสร้างของไดโอดชนิดรอยต่อพี-เอ็นขณะถูกไบอัสไปหน้าด้วยแรงดัน V_a

2.9 เงื่อนไขขอบเขตของความเข้มข้นของพาหะข้างน้อย

ภายใต้เงื่อนไขการฉีดกระแสระดับต่ำ ความหนาแน่นของอิเล็กตรอนที่ขอบของเนื้อสารกึ่งตัวนำชนิดเอ็นที่ติดกับรอยต่อพี-เอ็น คือที่ระยะ x_n จะเท่ากับความหนาแน่นของอะตอมของสารเจือ ไม่ว่าจะอยู่ในสภาวะสมดุลเชิงความร้อนหรือภายใต้การไบอัสก็ตาม นั่นคือ $n_{no}(x_n) = N_d(x_n)$ ในทำนองเดียวกันความหนาแน่นของโฮลที่ขอบของเนื้อสารชนิดกึ่งตัวนำชนิดพีที่ระยะ $-x_p$ จะมีค่า $n_{po}(-x_p) = N_a(-x_p)$ ดังนั้นจะสรุปได้ว่า

$$\begin{aligned} n_{po}(-x_p) &= n_{no}(x_n) \exp\left(\frac{-q\phi_i}{kT}\right) \\ &= N_d(x_n) \exp\left(\frac{-q\phi_i}{kT}\right) \end{aligned} \quad (2.41)$$

เอกสารนี้เป็นเอกสารที่สงวนไว้สำหรับการใช้งานเพื่อการศึกษาเท่านั้น ไม่อนุญาตให้นำไปใช้ประโยชน์ด้านการค้า ไม่ว่ากรณีใดๆทั้งสิ้น อีกทั้งห้ามมิให้ดัดแปลงเนื้อหา และต้องอ้างอิงถึงเจ้าของเอกสารทุกครั้งที่มีการนำไปใช้

$$\begin{aligned} p_{no}(x_n) &= p_{po}(-x_p) \exp\left(\frac{-q\phi_i}{kT}\right) \\ &= N_a(-x_p) \exp\left(\frac{-q\phi_i}{kT}\right) \end{aligned} \quad (2.42)$$

ภายใต้การไบอัสด้วยแรงดันตามเงื่อนไขการฉีดพาหะระดับต่ำจะได้

$$n_p(-x_p) = N_d(x_n) \exp\left[\frac{-q(\phi_i - V_a)}{kT}\right] \quad (2.43)$$

และ

$$p_n(x_n) = N_a(-x_p) \exp\left[\frac{-q(\phi_i - V_a)}{kT}\right] \quad (2.44)$$

นิยามความหนาแน่นของอิเล็กตรอนส่วนเกิน n' และความหนาแน่นของโฮลส่วนเกิน p' ที่เกิดขึ้นคือ

$$n' \equiv n - n_0 \quad (2.45)$$

$$p' \equiv p - p_0 \quad (2.46)$$

แล้ว

$$n'_p(-x_p) = n_{po}(-x_p) \left[\exp\left(\frac{-qV_a}{kT}\right) - 1 \right] \quad (2.47)$$

และ

$$p'_n(x_n) = p_{no}(x_n) \left[\exp\left(\frac{qV_a}{kT}\right) - 1 \right] \quad (2.48)$$

2.10 การวิเคราะห์ไดโอดออคุมคติ

ในเบื้องต้นจะพิจารณาการฉีดโฮลจากด้านสารกึ่งตัวนำชนิดพีข้ามรอยต่อเข้าไปในเนื้อสารชนิดสารกึ่งตัวนำชนิดเอ็นแล้วรวมตัวกับอิเล็กตรอนโดยผ่านศูนย์กลางการรวมตัว ดังนั้นสมการความต่อเนื่องในเนื้อสารกึ่งตัวนำชนิดเอ็นนอกรอยต่อ คือ

$$\begin{aligned} \frac{\partial p_n}{\partial t} &= D_p \frac{\partial^2 p_n}{\partial x^2} - (G - R) \\ &= D_p \frac{\partial^2 p_n}{\partial x^2} - U \end{aligned}$$

แต่จากสมการ

$$U = p'_n / \tau_p = (p_n - p_{no}) / \tau_p$$

เอกสารนี้เป็นเอกสารที่สงวนไว้สำหรับการใช้งานเพื่อการศึกษาเท่านั้น ไม่อนุญาตให้นำไปใช้ประโยชน์ด้านการค้า ไม่ว่ากรณีใดๆทั้งสิ้น อีกทั้งห้ามมิให้ดัดแปลงเนื้อหา และต้องอ้างอิงถึงเจ้าของเอกสารทุกครั้งที่มีการนำไปใช้

ดังนั้น

$$\frac{\partial p_n}{\partial t} = D_p \frac{\partial^2 p_n}{\partial x^2} - \frac{(p_n - p_{n0})}{\tau_p} \quad (2.49)$$

ในสภาวะคงตัว $\frac{\partial p}{\partial t} = 0$ แล้ว จะได้สมการเป็น

$$0 = D_p \frac{d^2 p'_n}{dx^2} - \frac{p'_n}{\tau_p} \quad (2.50)$$

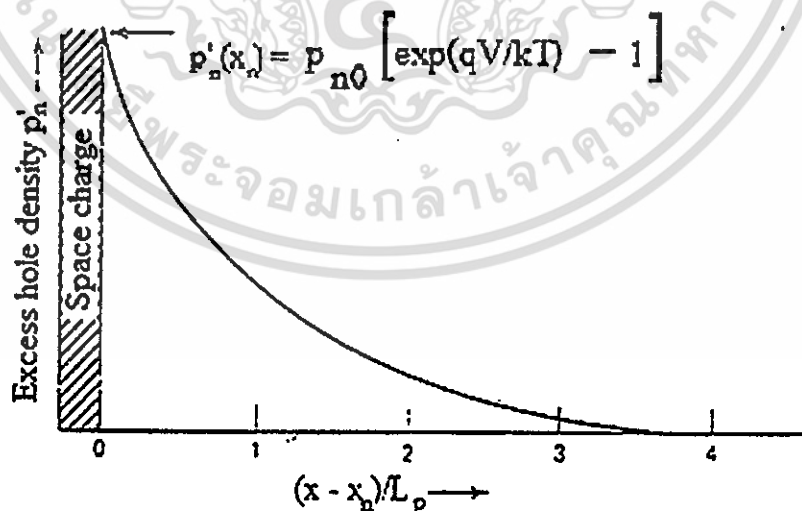
ผลเฉลยของสมการที่ (2.50) คือ

$$p'_n(x) = A \exp\left(-\frac{(x-x_n)}{\sqrt{D_p \tau_p}}\right) + B \exp\left(\frac{(x-x_n)}{\sqrt{D_p \tau_p}}\right) \quad (2.51)$$

2.10.1 ลักษณะสมบัติของไดโอดยาว (long-base diode characteristics)

จากรูปที่ 2.18 ถ้า W_b มีความยาวมากกว่าความยาวแพร่ซึมของโฮล $L_p \equiv \sqrt{D_p \tau_p}$ ในกรณี
ที่โฮลที่ถูกฉีดเข้ามาในเนื้อสารกึ่งตัวนำชนิดเอ็นจะรวมตัวกับอิเล็กตรอนจนหมดก่อนที่จะถึงขั้วไฟฟ้า จะ
เรียกกรณีนี้ว่าไดโอดยาว เนื่องจาก p'_n ควรจะต้องมีค่าน้อยลงตามระยะทาง x ที่เพิ่มขึ้น ด้วยเหตุผลนี้ค่า
คงตัว B ในสมการที่ (2.51) จะต้องเป็นศูนย์ ดังนั้น

$$p'_n(x) = p_{n0} [e^{(qV_a/kT)} - 1] e^{-(x-x_n)/L_p} \quad (2.52)$$



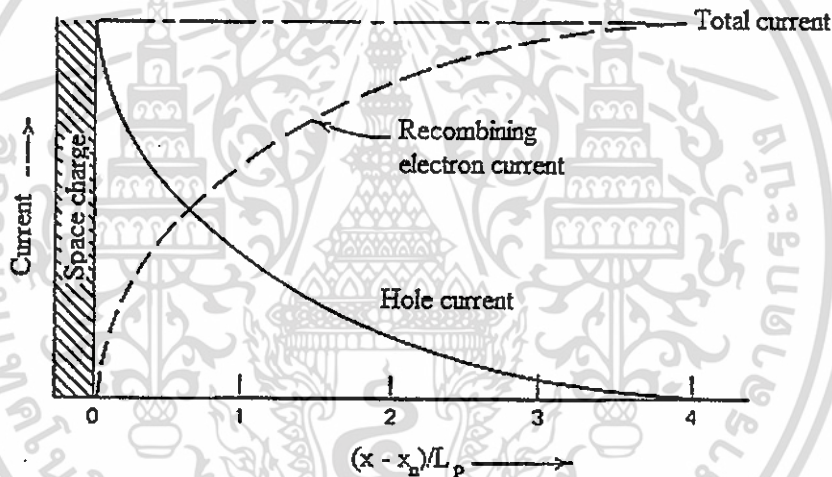
ภาพที่ 2.18 การลดลงของความหนาแน่นของโฮลส่วนเกินในเนื้อสารกึ่งตัวนำชนิดเอ็นของรอยต่อพี-เอ็นของไดโอดยาวภายใต้การฉีดพาหะระดับต่ำด้วยแรงดันไบแอสไปหน้าค่าเท่ากับ V_a

เอกสารนี้เป็นเอกสารที่สงวนไว้สำหรับการใช้งานเพื่อการศึกษาเท่านั้น ไม่อนุญาตให้นำไปใช้ประโยชน์ด้านการค้า
ไม่ว่ากรณีใดๆทั้งสิ้น อีกทั้งห้ามมิให้ดัดแปลงเนื้อหา และต้องอ้างอิงถึงเจ้าของเอกสารทุกครั้งที่มีการนำไปใช้

ความหนาแน่นของกระแสโฮลที่ไหลในเนื้อสาร จะคิดเฉพาะกระแสที่มาจากกลไกการแพร่ซึมเท่านั้น เนื่องจากถือว่าแรงดันตกคร่อมในเนื้อสารมีค่าน้อยมาก สนามไฟฟ้าจึงมีค่าเป็นศูนย์ จะได้ว่า

$$\begin{aligned} J_p(x) &= -qD_p \frac{dp_n}{dx} = qD_p \frac{p_{no}}{L_p} \left[e^{(qV_a/kT)} - 1 \right] e^{-(x-x_n)/L_p} \\ &= qD_p \frac{n_i^2}{N_d L_p} \left[e^{(qV_a/kT)} - 1 \right] e^{-(x-x_n)/L_p} \end{aligned} \quad (2.53)$$

กระแสโฮลจะมีค่าสูงสุดที่ระยะ $x = x_n$ เมื่อระยะทางเพิ่มขึ้นแล้วความหนาแน่นของโฮลจะลดลง เนื่องจากรวมตัวกับอิเล็กตรอน แต่กระแสสุทธิจะต้องคงที่เสมอ ดังนั้นกระแสอิเล็กตรอนจะต้องมีค่าเพิ่มขึ้นเมื่อระยะทาง x เพิ่มขึ้น ดังรูปที่ 2.19



ภาพที่ 2.19 กระแสโฮล (เส้นทึบ) กับกระแสอิเล็กตรอน (เส้นประ) ในเนื้อสารด้านสารกึ่งตัวนำชนิดเอ็นซึ่งอยู่นอกรอยต่อพี-เอ็น ซึ่งประมาณว่าเป็นกลางทางไฟฟ้า (quasi-neutral region) เนื่องจากประมาณว่าไม่ได้รับผลกระทบจากแรงดันไบแอสไปหน้า V_a

ในการทำงานเดียวกันอิเล็กตรอนที่ถูกฉีดเข้าไปในเนื้อสารกึ่งตัวนำชนิดพีของรอยต่อพี-เอ็น อิเล็กตรอนจะกลายเป็นพาหะข้างน้อย จึงเรียกว่าการฉีดพาหะข้างน้อย (minority-carrier injection) ถ้า $W_E \gg L_n$ กระแสของอิเล็กตรอนที่ขั้วไฟฟ้าที่ตำแหน่ง $-W_E$ คือ

$$J_n = qD_n \frac{n_i^2}{N_a L_n} \left[e^{(qV_a/kT)} - 1 \right] e^{(x+x_p)/L_n} \quad (2.54)$$

เอกสารนี้เป็นเอกสารที่สงวนไว้สำหรับการใช้งานเพื่อการศึกษาเท่านั้น ไม่อนุญาตให้นำไปใช้ประโยชน์ด้านการค้า ไม่ว่ากรณีใดๆทั้งสิ้น อีกทั้งห้ามมิให้ดัดแปลงเนื้อหา และต้องอ้างอิงถึงเจ้าของเอกสารทุกครั้งที่มีการนำไปใช้

โดยที่ x ในสมการที่ (2.54) จะมีเครื่องหมายเป็นลบ นั่นคือกระแสอิเล็กตรอนจะลดลงเมื่อออกจากกรวยต่อพี-เอ็น ไปสู่เนื้อสารกึ่งตัวนำชนิดพีมากขึ้น กระแสสุทธิจะหาได้จากการนำเอาสมการที่ (2.53) รวมกับสมการที่ (2.54) นั่นคือ

$$\begin{aligned} J_t &= J_p(x_n) + J_n(-x_p) = qn_i^2 \left(\frac{D_p}{N_d L_p} + \frac{D_n}{N_a L_n} \right) \left[e^{(qV_a/kT)} - 1 \right] \\ &= J_0 [e^{(qV_a/kT)} - 1] \end{aligned} \quad (2.55)$$

เมื่อ

$$J_0 = qn_i^2 \left(\frac{D_p}{N_d L_p} + \frac{D_n}{N_a L_n} \right)$$

และเรียก J_0 ว่าความหนาแน่นของกระแสอิ่มตัว

2.10.2 ลักษณะสมบัติของไดโอดสั้น

ถ้าทั้ง W_B และ W_E สั้นกว่า ความยาวแพร่ซึมของโฮล L_p และของอิเล็กตรอน L_n จะมีเพียงบางส่วนของพาหะข้างน้อยที่สูญหายไปเนื้อสาร เนื่องจากการรวมตัวกับพาหะข้างมากในเนื้อสารเหล่านั้น แล้วพาหะข้างน้อยนี้จะเกิดการรวมตัวกันหมดที่ขั้วไฟฟ้าที่ตำแหน่ง W_B และ W_E สำหรับไดโอดสั้น จากการกระจายพจน์ในสมการที่ (2.51) ด้วยอนุกรมเทย์เลอร์ จะได้ว่า

$$p'_n(x) = A' + B' \frac{(x - x_n)}{L_p} \quad (2.56)$$

ที่ขั้วไฟฟ้า ณ ที่ตำแหน่ง $x = W_B, p'_n(W_B) = 0$

หรือ

$$A' + B' \frac{(W_B - x_n)}{L_p} = 0$$

$$B' = \frac{-AL_p}{(W_B - L_n)} \quad (2.57)$$

ที่ตำแหน่ง $x = x_n$ จะได้ว่า $p'_n(x_n) = p_{n0} [e^{(qV_a/kT)} - 1]$ (2.58)

และที่ตำแหน่ง $x = x_n$ นี้สมการที่ (2.58) และสมการที่ (2.56) ต้องมีค่าเท่ากัน นั่นคือ

เอกสารนี้เป็นเอกสารที่สงวนไว้สำหรับการใช้งานเพื่อการศึกษาเท่านั้น ไม่อนุญาตให้นำไปใช้ประโยชน์ด้านการค้า ไม่ว่าจะกรณีใดๆทั้งสิ้น อีกทั้งห้ามมิให้ดัดแปลงเนื้อหา และต้องอ้างอิงถึงเจ้าของเอกสารทุกครั้งที่มีการนำไปใช้

$$A' + B' \frac{(x_n - x_n)}{L_p} = p_{n0} [e^{(qV_a/kT)} - 1]$$

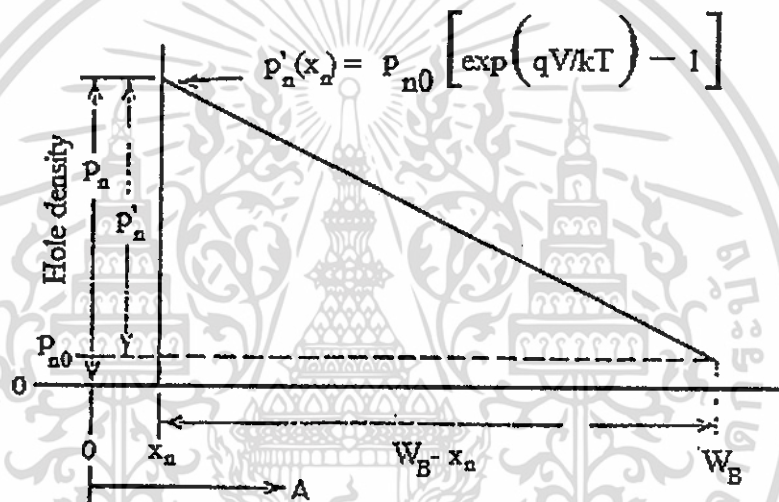
แล้ว

$$A' = p_{n0} [e^{(qV_a/kT)} - 1] \quad (2.59)$$

แทนสมการที่ (2.57) และสมการที่ (2.59) ลงในสมการที่ (2.56) จะได้

$$p'_n(x) = p_{n0} [e^{(qV_a/kT)} - 1] \left(1 - \frac{x - x_n}{W'_B} \right) \quad (2.60)$$

เมื่อ $W'_B = W_B - x_n$ ความเข้มข้นของโฮลส่วนเกินจะลดลงแบบเชิงเส้นกับระยะทางที่เพิ่มขึ้น ดังรูปที่ 2.20



ภาพที่ 2.20 ความหนาแน่นของโฮลภายในเนื้อสารกึ่งตัวนำชนิดเอ็นของรอยต่อพี-เอ็น ของไดโอดสั้น ภายใต้การไบแอสไปหน้า V_a

จะหาความหนาแน่นของกระแสโฮล จะได้ว่า

$$\begin{aligned} J_p &= -qD_p \frac{dp}{dx} = qD_p \frac{p_{n0}}{W_B} \left[e^{(qV_a/kT)} - 1 \right] \\ &= qD_p \frac{n_i^2}{N_d W_B} \left[e^{(qV_a/kT)} - 1 \right] \end{aligned} \quad (2.61)$$

ในทำนองเดียวกันสามารถที่จะหาความหนาแน่นของกระแสอิเล็กตรอนที่ฉีดเข้าไปในเนื้อสารกึ่งตัวนำชนิดเอ็น ดังสมการ

$$J_n = qD_n \frac{n_i^2}{N_a W_E} \left[e^{(qV_a/kT)} - 1 \right] \quad (2.62)$$

เอกสารนี้เป็นเอกสารที่สงวนไว้สำหรับการใช้งานเพื่อการศึกษาเท่านั้น ไม่อนุญาตให้นำไปใช้ประโยชน์ด้านการค้า ไม่ว่ากรณีใดๆทั้งสิ้น อีกทั้งห้ามมิให้ดัดแปลงเนื้อหา และต้องอ้างอิงถึงเจ้าของเอกสารทุกครั้งที่มีการนำไปใช้

ความหนาแน่นกระแสสุทธิในไดโอดสั้น คือ

$$J_t = qn_i^2 \left(\frac{D_p}{N_d W_B} + \frac{D_n}{N_a W_E} \right) \left[e^{(qV_a/kT)} - 1 \right]$$

$$= J_0 \left[e^{(qV_a/kT)} - 1 \right] \quad (2.63)$$

เมื่อ

$$J_0 = qn_i^2 \left(\frac{D_p}{N_d W_B} + \frac{D_n}{N_a W_E} \right)$$

ในทางปฏิบัติไดโอดที่ใช้งานจริงอาจจะเป็นรูปแบบการผสมของไดโอดสั้นกับไดโอดยาวก็ได้ ซึ่งการหาค่ากระแสอิเล็กตรอนและโฮลสามารถนำเอาผลที่ได้จากการวิเคราะห์ไดโอดยาวและไดโอดสั้นมาประยุกต์ใช้ได้ทันที จากสมการที่ (2.55) และสมการที่ (2.63) ภายใต้การไบอัสไปหน้า กระแสจะเพิ่มขึ้นอย่างมากตามค่าของ V_a เนื่องจากเป็นการฉีดพาหะข้างมากข้ามรอยต่อ แต่ภายใต้การไบอัสย้อนกลับจะมีกระแสอิ่มตัวปริมาณเล็กน้อยไหลผ่านไดโอด เนื่องจากเป็นการฉีดพาหะข้างน้อยข้ามรอยต่อ โดยที่กระแสอิ่มตัวนี้ไม่ขึ้นกับแรงดันย้อนกลับ

2.11 กระแสเนื่องจากบริเวณประจุ

ในกรณีไดโอดอุดมคติซึ่งมีลักษณะสมบัติกระแส-แรงดัน ดังสมการที่ (2.55) และสมการที่ (2.63) นั้นยังไม่ได้คิดถึงผลของกระแสที่อาจจะลดลงภายใต้การไบอัสไปหน้า เนื่องจากพาหะอิสระสูญหายไปบางส่วนซึ่งเกิดจากกลไกการรวมตัวผ่านศูนย์กลางการรวมตัวในบริเวณประจุค้าง ในทางกลับกันพาหะอาจถูกสร้างขึ้นได้ภายใต้การไบอัสย้อนกลับ ยังผลให้กระแสอิ่มตัวมีค่ามากกว่าค่าที่ได้ในสมการของไดโอดอุดมคติ

จากทฤษฎีของช็อกเลย์-ฮอลล์-ริต สามารถหาอัตราการเกิด-การรวมตัวสุทธิ จะได้ว่า

$$U = n_i^2 \frac{\left[e^{(qV_a/kT)} - 1 \right]}{\left[p + n + 2n_i \cosh\left(\frac{E_t - E_i}{kT}\right) \right] \tau_0} \quad (2.64)$$

ความหนาแน่นของกระแสเนื่องจากพาหะที่เกิดหรือรวมตัวในบริเวณประจุค้างคือ

$$J_r = q \int_{-x}^x U dx \quad (2.65)$$

ถ้าประมาณว่า $E_t \approx E_i$, $p = n = n_i \exp(qV_a/2kT)$ แล้วแก้สมการ (2.64) จะกลายเป็น

เอกสารนี้เป็นเอกสารที่สงวนไว้สำหรับการใช้งานเพื่อการศึกษาเท่านั้น ไม่อนุญาตให้นำไปใช้ประโยชน์ด้านการค้า ไม่ว่ากรณีใดๆทั้งสิ้น อีกทั้งห้ามมิให้ดัดแปลงเนื้อหา และต้องอ้างอิงถึงเจ้าของเอกสารทุกครั้งที่มีการนำไปใช้

$$U = \frac{n_i^2 \left[e^{(qV_a/kT)} - 1 \right]}{2n_i \left[e^{(qV_a/kT)} + 1 \right] \tau_0} \quad (2.66)$$

แทนสมการที่ (2.66) ลงในสมการที่ (2.65) จะได้

$$J_r = \frac{qx'n_i^2 \left[e^{(qV_a/kT)} - 1 \right]}{2n_i \left[e^{(qV_a/kT)} + 1 \right] \tau_0}$$

$$\approx \frac{qx'n_i}{2\tau_0} \exp(qV_a/2kT) \quad (2.67)$$

เมื่อ $\tau_0 = 1/N_i \sigma V_{th}$ ความหนาแน่นของกระแสเนื่องจากกลไกการรวมตัวของพาหะในบริเวณประจุก้างภายใต้การไบอัสไปหน้า จะเพิ่มขึ้นตามแรงดันในแบบ $\exp(qV_a/2kT)$ ซึ่งจะเพิ่มขึ้นช้ากว่าในกรณีของไดโอดอุดมคติ อัตราส่วนของ J_t/J_r ภายใต้การไบอัสไปหน้าคือ

$$\frac{J_t}{J_r} = \frac{2n_i}{x_d} \left[\frac{L_n}{N_a} + \frac{L_p}{N_d} \right] \exp(qV_a/2kT) \quad (2.68)$$

ในสารกึ่งตัวนำที่มีข้อบกพร่องหรือตำหนิในผลึกน้อย ค่าความยาวแพร่ซึมจะยิ่งมากขึ้นยังผลให้ J_t ยิ่งเด่นกว่า J_r ในกรณีไดโอดหัวต่อด้านเดียวที่มี $L_n = 60$ ไมโครเมตร, $x_d = 0.25$ ไมโครเมตร, $N_a = 10^{16}$ ลูกบาศก์เซนติเมตร และ J_t จะมีค่ามากกว่า J_r เมื่อ V_a มากกว่า 0.375 โวลต์

ภายใต้การไบอัสกลับทางพิเศษของสมการที่ (2.64) จะมีค่าเป็น $-n_i^2$ ยังผลให้ U มีค่าเป็นลบ แสดงว่ามีการเกิดพาหะสุทธิ (net generation) ขึ้นในบริเวณประจุก้าง บริเวณความกว้าง x_i ซึ่งมีค่าน้อยกว่าและอยู่ภายในบริเวณประจุก้าง x_d เท่านั้นที่จะมีการเกิดพาหะสุทธิอย่างมีประสิทธิภาพและต้องอยู่ภายใต้เงื่อนไข $p=n \ll n_i$ ซึ่งจะทำให้ U ของสมการที่ (2.64) กลายเป็น

$$U = -n_i / 2\tau_0$$

แทนค่า U ลงในสมการที่ (2.65) จะได้ว่า

$$J_g = \frac{qn_i x_i}{2\tau_0} \quad (2.69)$$

เอกสารนี้เป็นเอกสารที่สงวนไว้สำหรับการใช้งานเพื่อการศึกษาเท่านั้น ไม่อนุญาตให้นำไปใช้ประโยชน์ด้านการค้าไม่ว่ากรณีใดๆทั้งสิ้น อีกทั้งห้ามมิให้ดัดแปลงเนื้อหา และต้องอ้างอิงถึงเจ้าของเอกสารทุกครั้งที่มีการนำไปใช้

โดยประมาณว่าศูนย์กลางการเกิด การรวมตัวจะอยู่ที่บริเวณ E_i ซึ่งจะให้ประสิทธิภาพสูงสุด สำหรับรอยต่อ $p^+ - n$ บริเวณประจุค้างจะอยู่ในเนื้อสารกึ่งตัวนำชนิดเอ็น ความกว้างของบริเวณประจุค้าง x_d และบริเวณ x_i ซึ่งจะมีอัตราการเกิดพาหะสูงสุดจะแสดง ได้ดังความสัมพันธ์

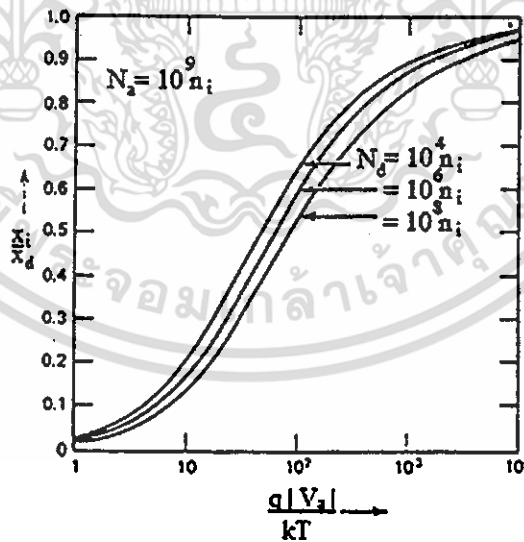
$$x_d = \left[\frac{2 \epsilon_s}{q N_d} (\phi_i - V_a) \right]^{\frac{1}{2}}$$

$$= \left[\frac{2 \epsilon_s kT}{q^2 N_d} \left(\ln \left(\frac{N_d N_a}{n_i^2} \right) - \frac{q V_a}{kT} \right) \right]^{\frac{1}{2}} \quad (2.70)$$

และ

$$x_i = \left(\frac{2 \epsilon_s kT}{q^2 N_a} \right)^{\frac{1}{2}} \left[\left(\ln \left(\frac{N_d}{n_i} \right) - \frac{q V_a}{kT} \right)^{\frac{1}{2}} - \left(\ln \frac{N_d}{n_i} \right)^{\frac{1}{2}} \right] \quad (2.71)$$

ซึ่ง V_a คือแรงดันไบอัส ($V_a < 0$) ในกรณีไบอัสย้อนกลับ) ทั้ง x_d และ x_i จะขึ้นกับรากที่สองของแรงดันไบอัสย้อนกลับ ความแตกต่างระหว่าง x_d และ x_i จะมีค่าน้อยลง เมื่อแรงดันย้อนกลับมีค่ามาก รูปที่ 2.21 อัตราส่วนของ x_i/x_d ที่เป็นฟังก์ชันกับแรงดันย้อนกลับที่ความหนาแน่นของอะตอมผู้ให้ค่าต่างๆของรอยต่อแบบชั้นบันไดด้านเดียว $p^+ - n$



ภาพที่ 2.21 อัตราส่วนของ x_i/x_d เป็นฟังก์ชันกับแรงดันย้อนกลับที่ความหนาแน่นของอะตอมผู้ให้ค่าต่างๆของรอยต่อ $p^+ - n$

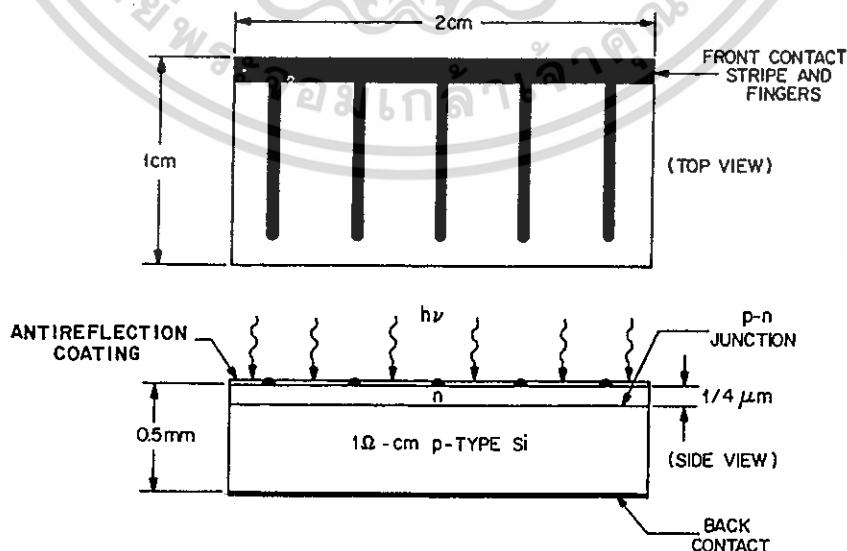
2.12 เซลล์แสงอาทิตย์ชนิดรอยต่อพี-เอ็น (p-n junction solar cell) (Sze, 1981; ยุทธ, 2530; จูตินัย, 2544, จูตินัย, 2552)

เซลล์แสงอาทิตย์ชนิดรอยต่อพี-เอ็นของซิลิกอน มีความสำคัญต่อเซลล์แสงอาทิตย์ทุกชนิด ทั้งในดาวเทียม อวกาศหรือบนพื้นดิน เซลล์แสงอาทิตย์ชนิดแผ่นบางๆ (flat-plate solar cell) ทำมาจากซิลิกอน มีช่วงอายุการใช้งานที่ยาวนาน ซึ่งในเซลล์แสงอาทิตย์ที่ติดตั้งนั้นจำเป็นต้องมีประสิทธิภาพสูง และมีความน่าเชื่อถือได้ ตัวอย่างเช่น ไม่เกิดความเสื่อมคุณภาพได้ง่ายเมื่อมีการแผ่รังสีอนุภาคที่มีพลังงานสูงจากภายนอก นอกจากประสิทธิภาพและความน่าเชื่อถือแล้วจึงต้องคำนึงถึงราคาด้วยเพื่อที่จะได้แข่งขันกับแหล่งพลังงานอื่นๆ

เซลล์แสงอาทิตย์ชนิดแผ่นบางๆจำเป็นต้องลดราคาการผลิตให้มากขึ้นเท่าที่จะเป็นไปได้และในขณะเดียวกันต้องมีประสิทธิภาพอย่างน้อยที่สุด 10 เปอร์เซ็นต์ จึงมีการใช้เทคนิคเอ็ดจ์-ดีไฟน์ฟิล์ม-เฟด-โกรท (edge-defined film-fed growth : EFG), กระบวนการริบบอนทูริบบอน (ribbon to ribbon) และกระบวนการเดนไดรต์-เวบ (dendrite-web) การใช้ผลึกพหุพันธ์ของ ซิลิกอนบนเซรามิกส์หรือบนซิลิกอนเกรดดลูงแร่ (metallurgical-grade silicon) เป็นการช่วยลดราคาแผ่นฐานรองรับ เซลล์แสงอาทิตย์ชนิดฟิล์มบางแคดเมียมซัลไฟด์และเซลล์แสงอาทิตย์ชนิดฟิล์มบางอะมอร์ฟัสซิลิกอนเป็นสิ่งสำคัญสำหรับเซลล์แสงอาทิตย์ชนิดแผ่นบางๆ

2.12.1 การตอบสนองต่อแสง (spectral response)

โครงสร้างของเซลล์แสงอาทิตย์แสดงดังรูปที่ 2.22 ประกอบด้วย รอยต่อพี-เอ็นชนิดชั้น ด้านบนสุดเป็นขั้วสัมผัสที่ผิวหน้า (front contact) แบบสไตรป์ (stripe) และฟิงเกอร์ (finger) มีชั้นด้านการสะท้อนแสงเคลือบอยู่ และด้านล่างสุดเป็นขั้วสัมผัสด้านหลัง (back contact)



ภาพที่ 2.22 เซลล์แสงอาทิตย์ชนิดรอยต่อพี-เอ็นของซิลิกอน

เอกสารนี้เป็นเอกสารที่สงวนไว้สำหรับการใช้งานเพื่อการศึกษาเท่านั้น ไม่นิยมนำไปใช้ประโยชน์ด้านการค้า ไม่ว่ากรณีใดๆทั้งสิ้น อีกทั้งห้ามมิให้ดัดแปลงเนื้อหา และต้องอ้างอิงถึงเจ้าของเอกสารทุกครั้งที่มีการนำไปใช้

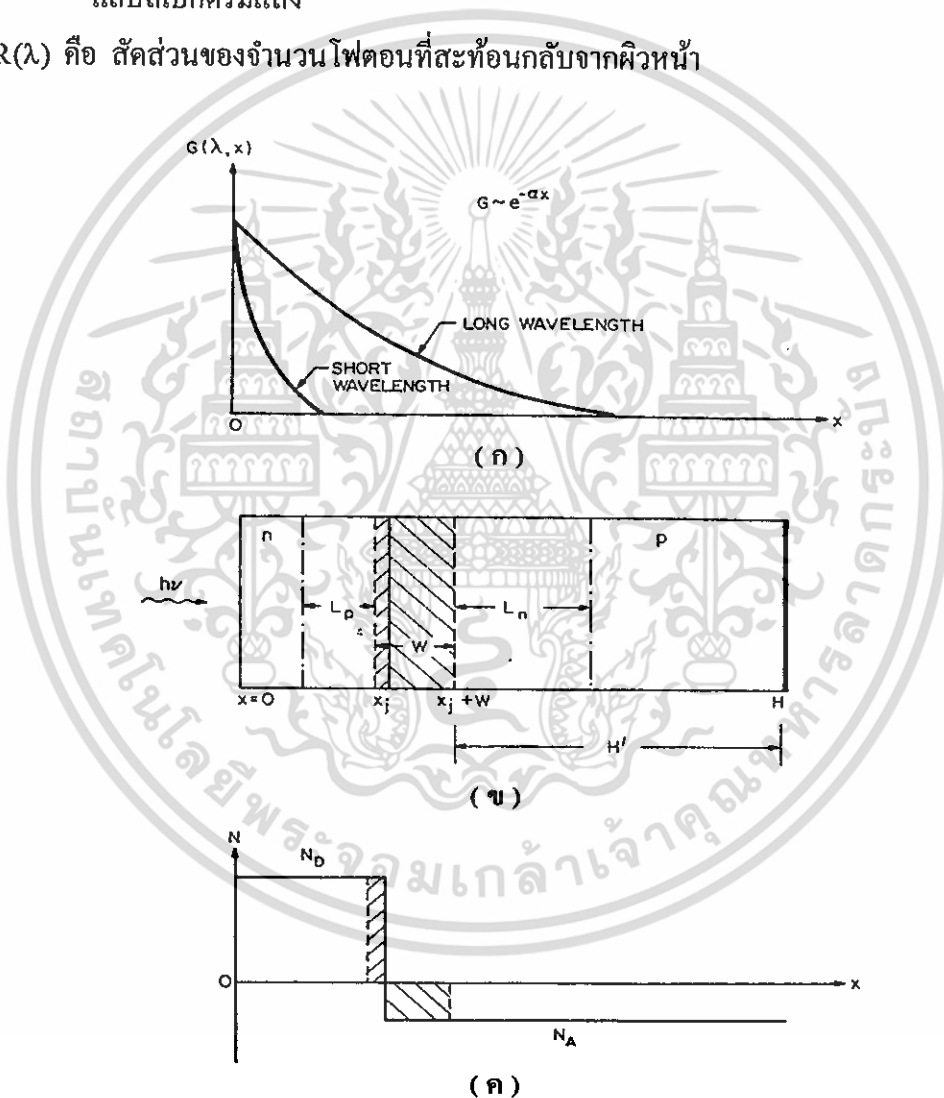
เมื่อแสงความยาวคลื่นเดียว (λ) ตกกระทบบนชั้นสัมผัสด้านหน้าของเซลล์แสงอาทิตย์ ทำให้เกิดกระแสจากแสงและการตอบสนองต่อแสงเกิดขึ้น อัตราการเกิดคู่อิเล็กตรอน-โฮล ที่ระยะทาง x จากผิวด้านบน ดังรูปที่ 2.23 แสดงดังสมการที่ (2.72)

$$G(\lambda, x) = \alpha(\lambda)F(\lambda)[1 - R(\lambda)]\exp[-\alpha(\lambda)x] \quad (2.72)$$

เมื่อ $\alpha(\lambda)$ คือ สัมประสิทธิ์การดูดกลืนแสง

$F(\lambda)$ คือ จำนวนโฟตอนที่ตกกระทบบนต่อตารางเซนติเมตรต่อวินาทีต่อหนึ่งหน่วยความกว้างแถบสเปกตรัมแสง

$R(\lambda)$ คือ สัดส่วนของจำนวนโฟตอนที่สะท้อนกลับจากผิวหน้า



ภาพที่ 2.23 ก. อัตราการเกิดคู่อิเล็กตรอน-โฮล เป็นฟังก์ชันของระยะทางจากบริเวณผิวรอยต่อของสารกึ่งตัวนำสำหรับความยาวคลื่นแสงสั้นและยาว

ข. มิติของเซลล์แสงอาทิตย์และความกว้างของการแพร่พาหะข้างน้อย

ค. ความเข้มข้นของอะตอมของสารเจือที่บริเวณผิวรอยต่อของเซลล์แสงอาทิตย์

เอกสารนี้เป็นเอกสารที่สงวนไว้สำหรับการใช้งานเพื่อการศึกษาเท่านั้น ไม่อนุญาตให้นำไปใช้ประโยชน์ด้านการค้า ไม่ว่ากรณีใดๆทั้งสิ้น อีกทั้งห้ามมิให้ดัดแปลงเนื้อหา และต้องอ้างอิงถึงเจ้าของเอกสารทุกครั้งที่มีการนำไปใช้

ในกรณีที่ฉีดกระแสเข้าไปน้อย ในระบบ 1 มิติ ในสภาวะสมดุลเชิงความร้อน ดังสมการที่

(2.73) และ (2.74)

สำหรับอิเล็กตรอนในสารกึ่งตัวนำชนิดเอ็น

$$G_n - \frac{n_p - n_{p0}}{\tau_n} + \frac{1}{q} \frac{dJ_n}{dx} = 0 \quad (2.73)$$

สำหรับโฮลในสารกึ่งตัวนำชนิดพี

$$G_p - \frac{p_n - p_{n0}}{\tau_p} - \frac{1}{q} \frac{dJ_p}{dx} = 0 \quad (2.74)$$

ความหนาแน่นของกระแส ดังสมการที่ (2.75) และ (2.76)

$$J_n = q\mu_n n_p \xi + qD_n \frac{dn_p}{dx} \quad (2.75)$$

$$J_p = q\mu_p p_n \xi - qD_p \frac{dp_n}{dx} \quad (2.76)$$

เมื่อ J_n คือ ความหนาแน่นของกระแสอิเล็กตรอนตรงบริเวณรอยต่อของเขตปลอดพาหะกับฐานของสารกึ่งตัวนำชนิดพี

J_p คือ ความหนาแน่นของกระแสโฮลตรงบริเวณรอยต่อของเขตปลอดพาหะกับผิวหน้าของสารกึ่งตัวนำชนิดเอ็น

เมื่อมีการเจืออย่างคงที่ในแต่ละด้านของเซลล์แสงอาทิตย์ชนิดรอยต่อพี-เอ็น ดังรูปที่ 2.23 (ข) และ 2.23 (ค) เมื่อไม่มีสนามไฟฟ้าภายนอกเขตปลอดพาหะ (depletion region) ในกรณีที่เซลล์แสงอาทิตย์มีรอยต่อแบบเอ็น-พีโดยมีสารกึ่งตัวนำชนิดเอ็นอยู่ด้านหน้ารับแสงและสารกึ่งตัวนำชนิดพีเป็นฐานด้านล่าง จากสมการที่ (2.72), (2.74) และ (2.76) เขียนใหม่ ได้ดังสมการที่ (2.74)

$$D_p \frac{d^2 p_n}{dx^2} + \alpha F(1-R) \exp(-\alpha x) - \frac{p_n - p_{n0}}{\tau_p} = 0 \quad (2.77)$$

สามารถเขียนในรูปทั่วไปได้ ดังสมการที่ (2.78)

$$p_n - p_{n0} = A \cosh(x/L_p) + B \sinh(x/L_p) - \frac{\alpha F(1-R)\tau_p}{\alpha^2 L_p^2 - 1} \exp(-\alpha x) \quad (2.78)$$

เมื่อ $L_p = (D_p \tau_p)^{1/2}$ คือ ค่าความยาวแพร่ มีเงื่อนไขของขอบเขต 2 ข้อ บริเวณพื้นผิว จะมีความเร็วของการรวมตัว (S_p) ดังสมการที่ (2.79)

เอกสารนี้เป็นเอกสารที่สงวนไว้สำหรับการใช้งานเพื่อการศึกษาเท่านั้น ไม่อนุญาตให้นำไปใช้ประโยชน์ด้านการค้า ไม่ว่ากรณีใดๆทั้งสิ้น อีกทั้งห้ามมิให้ดัดแปลงเนื้อหา และต้องอ้างอิงถึงเจ้าของเอกสารทุกครั้งที่มีการนำไปใช้

$$D_p \frac{d(p_n - p_{no})}{dx} = S_p (p_n - p_{no}) \quad \text{เมื่อ } x = 0 \quad (2.79)$$

บริเวณขอบของเขตปลอดพาหะ เมื่อความหนาแน่นของพาหะที่เพิ่มขึ้นมีค่าน้อยมากเนื่องจากสนามไฟฟ้าในเขตปลอดพาหะ ดังสมการที่ (2.80)

$$p_n - p_{no} \cong 0 \quad \text{ที่ } x = x_j \quad (2.80)$$

และความหนาแน่นของโฮล คือ

$$p_n - p_{no} = [\alpha F(1-R)\tau_p / (\alpha^2 L_p^2 - 1)] \times \left[\frac{\left(\frac{S_p L_p}{D_p} + \alpha L_p \right) \sinh\left(\frac{x_i - x}{L_p}\right) + e^{-\alpha x_j} \left(\frac{S_p L_p}{D_p} \sinh\frac{x}{L_p} + \cosh\frac{x}{L_p} \right)}{(S_p L_p / D_p) \sinh(x_j / L_p) + \cosh(x_j / L_p)} e^{-\alpha x} \right] \quad (2.81)$$

ความหนาแน่นของกระแสจากแสงของโฮลที่ขอบของเขตปลอดพาหะ คือ

$$J_p = -qD_p \left(\frac{dD_n}{dx} \right)_{x_j} = [qF(1-R)\alpha L_p / (\alpha^2 L_p^2 - 1)] \times \left[\frac{\left(\frac{S_p L_p}{D_p} + \alpha L_p \right) - e^{-\alpha x_j} \left(\frac{S_p L_p}{D_p} \cosh\frac{x_j}{L_p} + \sinh\frac{x_j}{L_p} \right)}{(S_p L_p / D_p) \sinh(x_j / L_p) + \cosh(x_j / L_p)} - \alpha L_p e^{-\alpha x_j} \right] \quad (2.82)$$

กระแสจากแสงได้จากบริเวณชั้นด้านหน้าของเซลล์แสงอาทิตย์ที่ความยาวคลื่นค่าหนึ่ง โดยตั้งสมมุติฐานว่าบริเวณนี้มีช่วงชีวิต สภาพเคลื่อนที่ได้และระดับการเจือมีค่าคงที่ การหากระแสจากแสงของอิเล็กตรอนมีการรวมตัวกันที่ฐานของเซลล์แสงอาทิตย์ จากสมการที่ (2.72), (2.73), และ (2.75) จะได้ว่า

$$n_p - n_{po} \cong 0 \quad \text{ที่ } x = x_i + W \quad (2.83)$$

$$S_n (n_p - n_{po}) = -D_n dn_p / dx \quad \text{ที่ } x = H \quad (2.84)$$

เมื่อ W คือ ความกว้างของเขตปลอดพาหะ และ H คือ ความกว้างของเซลล์แสงอาทิตย์ทั้งหมด

จากสมการที่ (2.83) ความหนาแน่นของพาหะข้างน้อยที่เพิ่มขึ้นมีค่าเข้าใกล้ศูนย์ที่บริเวณขอบของเขตปลอดพาหะ ส่วนสมการที่ (2.84) แสดงว่าการรวมตัวของพาหะอิสระที่ผิวด้านหลังจะเกิดที่ชั่ว

เอกสารนี้เป็นเอกสารที่สงวนไว้สำหรับการใช้งานเพื่อการศึกษาเท่านั้น ไม่อนุญาตให้นำไปใช้ประโยชน์ด้านการค้า ไม่ว่ากรณีใดๆทั้งสิ้น อีกทั้งห้ามมิให้ดัดแปลงเนื้อหา และต้องอ้างอิงถึงเจ้าของเอกสารทุกครั้งที่มีการนำไปใช้

โอห์มมิก ใช้เงื่อนไขขอบเขตนี้ จะให้ความหนาแน่นของอิเล็กตรอนในฐานะที่เป็นสารกึ่งตัวนำชนิดพีซึ่งมีการเชื่อมมาเสมอ คือ

$$n_p - n_{po} = \frac{\alpha F(1-R)\tau_n}{\alpha^2 L^2 - 1} \exp[-\alpha(x_j + W)] \left[\cosh\left(\frac{x - x_j - W}{L_n}\right) - e^{-\alpha(x - x_j - W)} \right] \\ - \frac{(S_n L_n / D_n) [\cosh(H'/L_n) - \exp(-\alpha H')] + \sinh(H'/L_n) + \alpha L_n e^{-\alpha H'}}{(S_n L_n / D_n) \sinh(H'/L_n)} \\ \times \sinh\left(\frac{x - x_j - W}{L_n}\right) \quad (2.85)$$

และความหนาแน่นกระแสจากแสงเนื่องจากอิเล็กตรอนที่ได้จากขอบของเขตปลอดพาหะ

$x = x_j + W$ คือ

$$J_n = qD_n \left(\frac{dn_p}{dx} \right)_{x_j + W} = \frac{qF(1-R)\alpha L_n}{\alpha^2 L_n^2 - 1} \exp[-\alpha(x_j + W)] \times \left\{ \alpha L_n - \frac{(S_n L_n / D_n) [\cosh(H'/L_n) - \exp(-\alpha H')] + \sinh(H'/L_n) + \alpha L_n \exp(-\alpha H')}{(S_n L_n / D_n) \sinh(H'/L_n) + \cosh(H'/L_n)} \right\} \quad (2.86)$$

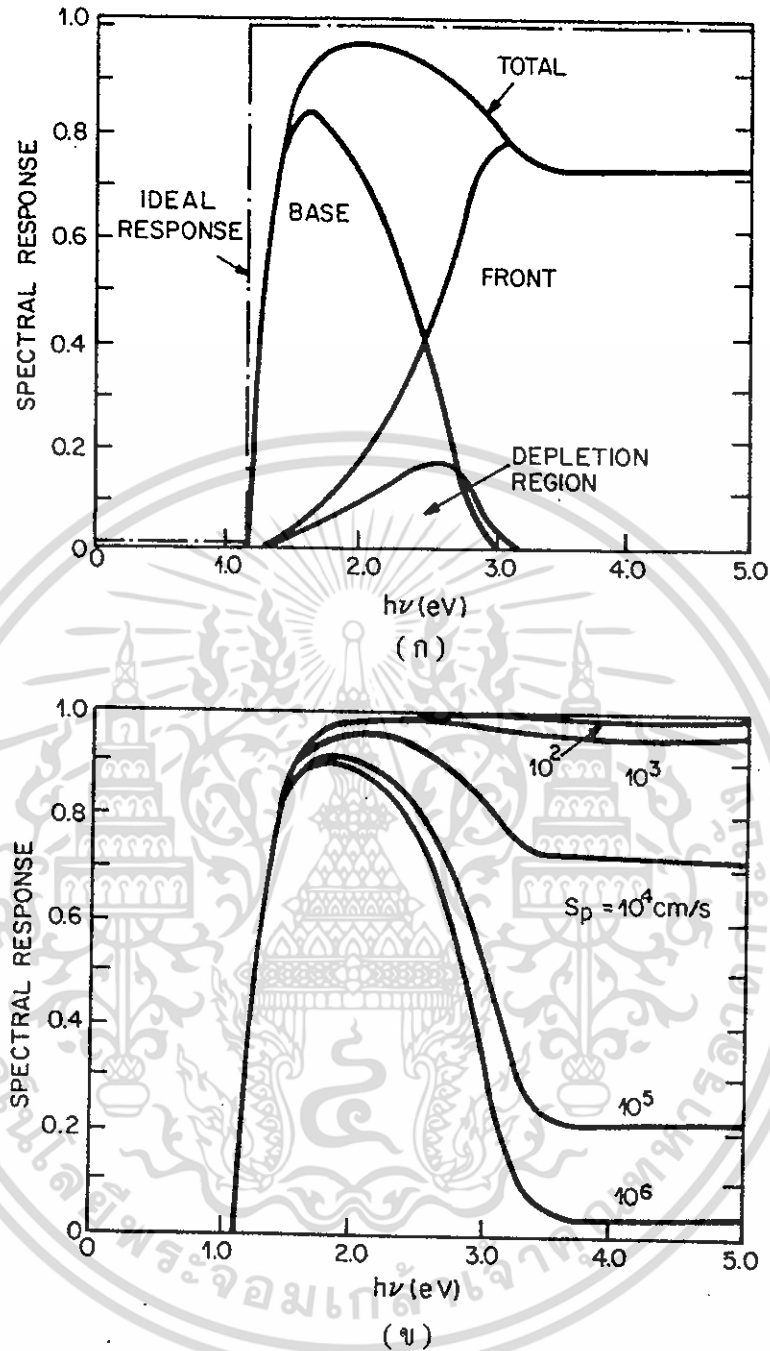
เมื่อ H' คือ บริเวณที่เป็นกลางในชั้นฐานของสารกึ่งตัวนำชนิดพี ดังรูป 2.23(ข) สมการที่ (2.86) มีสมมุติฐานว่ามีช่วงชีวิต สภาพเคลื่อนที่ได้และระดับการเชื่อมมีค่าคงที่ ถ้าถึงเหล่านี้เป็นฟังก์ชันของระยะทาง จำเป็นต้องนำมาวิเคราะห์เชิงตัวเลข

การเกิดกระแสจากแสงสามารถเกิดภายในเขตปลอดพาหะได้ ในขอบเขตนี้สนามไฟฟ้ามีค่าสูงที่จะเร่งพาหะให้ออกไปจากเขตปลอดพาหะได้ก่อนที่จะเกิดการรวมตัวของพาหะ กระแสจากแสงต่อหนึ่งหน่วยความกว้างแถบสเปกตรัมแสงเท่ากับจำนวน โฟตอนที่ถูกดูดกลืน

$$J_{dr} = qF(1-R)\exp(-\alpha x_j) [1 - \exp(-\alpha W)] \quad (2.87)$$

กระแสรวมที่ความยาวคลื่นหนึ่ง เกิดจากผลรวมของสมการที่ (2.82), (2.86) และ (2.87)

$$J(\lambda) = J_p(\lambda) + J_n(\lambda) + J_{dr}(\lambda) \quad (2.88)$$



- ภาพที่ 2.24 ก. ผลจากการคำนวณการตอบสนองต่อแสงของเซลล์แสงอาทิตย์แบบที่เป็นรอยต่อชนิดเอ็น-พีของสารกึ่งตัวนำซิลิกอน โดยแสดงการแจกแจง 3 บริเวณ (เส้นประแทนด้วยการตอบสนองในเชิงอุดมคติ)
- ข. ผลจากการคำนวณการตอบสนองต่อแสงของเซลล์แสงอาทิตย์แบบที่เป็นรอยต่อชนิดเอ็น-พีของสารกึ่งตัวนำซิลิกอนที่มีอัตรากรรมรวมตัวของพาหะที่บริเวณผิวรอยต่อต่างกัน

เอกสารนี้เป็นเอกสารที่สงวนไว้สำหรับการใช้งานเพื่อการศึกษาเท่านั้น ไม่อนุญาตให้นำไปใช้ประโยชน์ด้านการค้า ไม่ว่าจะกรณีใดๆทั้งสิ้น อีกทั้งห้ามมิให้ดัดแปลงเนื้อหา และต้องอ้างอิงถึงเจ้าของเอกสารทุกครั้งที่มีการนำไปใช้

การตอบสนองต่อแสง (spectral response :SR) เท่ากับผลรวมของการตอบสนองต่อแสงภายนอกเป็น qF หรือผลรวมของการตอบสนองต่อแสงภายในเป็น $qF(1-R)$ ดังสมการที่ (2.89)

$$SR(\lambda) = \frac{1}{qF(\lambda)[1-R(\lambda)]} [J_p(\lambda) + J_n(\lambda) + J_{dr}(\lambda)] \quad (2.89)$$

การตอบสนองต่อแสงภายในเชิงอุณหพลศาสตร์สำหรับสารกึ่งตัวนำซึ่งมีช่องว่างแถบพลังงาน E_g เป็นฟังก์ชันแบบขั้นบันไดมีค่าศูนย์เมื่อ $h\nu < E_g$ และเป็นหนึ่งเมื่อ $h\nu \geq E_g$ (เส้นประดังรูปที่ 2.24 (ก)) สำหรับการตอบสนองต่อแสงของเซลล์แสงอาทิตย์ที่ทำจากซิลิกอนมีสารกึ่งตัวนำชนิดเอ็นเคลื่อนบนที่แสดงดังรูปที่ 2.24 (ก) โดยแบ่งบริเวณออกเป็น 3 ส่วน พารามิเตอร์ที่สำคัญ คือ

$N_D = 5 \times 10^{19}$ ต่อลูกบาศก์เซนติเมตร, $N_A = 1.5 \times 10^{16}$ ต่อลูกบาศก์เซนติเมตร, $\tau_p = 0.4$ ไมโครวินาที, $\tau_n = 10$ ไมโครวินาที, $x_j = 0.5$ ไมโครเมตร, $H = 450$ ไมโครเมตร
 $S_p(\text{front}) = 10^4$ เซนติเมตรต่อวินาที, $S_n(\text{back}) = \infty$

เมื่อโฟตอนมีพลังงานต่ำ พหุส่วนใหญ่เกิดขึ้นบริเวณฐานเนื่องจากซิลิกอนมีสัมประสิทธิ์การดูดกลืนต่ำ เมื่อพลังงานโฟตอนมากกว่า 2.5 อิเล็กตรอนโวลต์ พลังงานโฟตอนสูงกว่า 3.5 อิเล็กตรอนโวลต์ สัมประสิทธิ์การดูดกลืนสูงมากกว่า 10^6 ต่อเซนติเมตร การตอบสนองต่อแสงจะเกิดขึ้นบริเวณผิวหน้า แต่การรวมตัวของพาหะที่ผิวมีค่าสูงจึงส่งผลกระทบต่อ การตอบสนองต่อแสง เนื่องจากจะไปลดจำนวนพาหะบริเวณผิวหน้าซึ่งเกิดจากโฟตอนที่มีพลังงานสูง การตอบสนองต่อแสง เมื่อ $\alpha L_p \gg 1$ และ $\alpha x_j \gg 1$ จากสมการที่ (2.82) กระแสจากแสงผิวด้านหน้า เท่ากับ

$$SR = \frac{1 + S_p / \alpha D_p}{(S_p L_p / D_p) \sinh(x_j / L_p) + \cosh(x_j / L_p)} \quad (2.90)$$

อัตราการรวมตัวบริเวณผิวหน้า (S_p) มีผลกระทบต่อ การตอบสนองต่อแสงที่พลังงานโฟตอนมีค่าสูง แสดงดังรูปที่ 2.24 (ข) เมื่อ S_p แปรค่าจาก 10^2 เป็น 10^6 เซนติเมตรต่อวินาที จากสมการที่ (2.90.90) แสดงว่าสำหรับค่า S_p หนึ่งๆ ถ้าต้องการให้ การตอบสนองต่อแสงดีขึ้นจะต้องเพิ่มความยาวแห่งการแพร่ (L_p) โดยทั่วไปการตอบสนองต่อแสงที่ดีนั้นตลอดช่วงความยาวคลื่น จะต้องเพิ่มทั้ง L_n และ L_p แต่ลดค่า S_n และ S_p

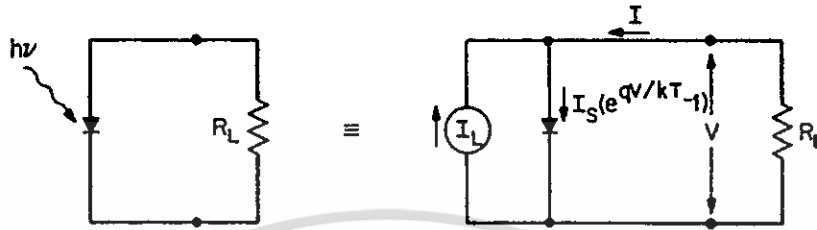
เมื่อทราบค่าการตอบสนองต่อแสงแล้ว สามารถหาค่าความหนาแน่นของกระแสจากแสงจากการแจกแจงของเซลล์แสงอาทิตย์ ($F(\lambda)$) ดังนี้

$$J_L = q \int_0^{\lambda_m} F(\lambda) [1 - R(\lambda)] SR(\lambda) d\lambda \quad (2.91)$$

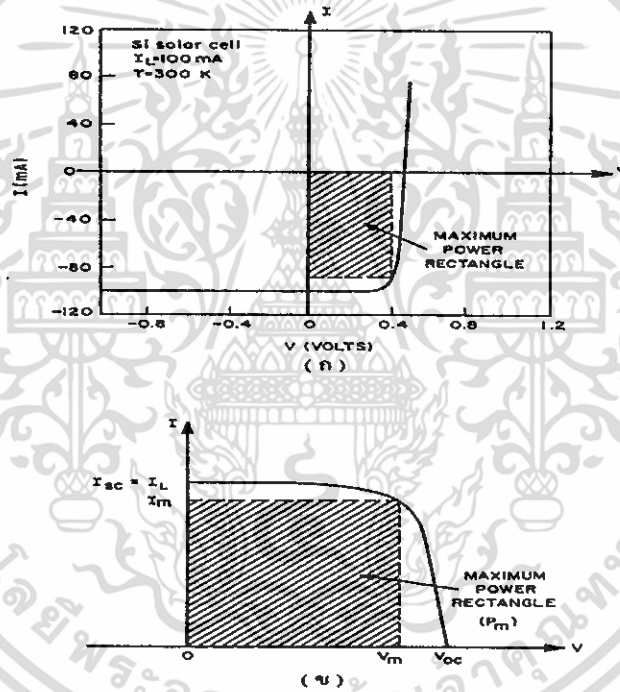
เมื่อ λ_m คือ ความยาวคลื่นสูงสุดของสารกึ่งตัวนำที่มีค่าช่องว่างแถบพลังงานนั้นๆ เอกสารนี้เป็นเอกสารที่สงวนไว้สำหรับการใช้งานเพื่อการศึกษาเท่านั้น ไม่อนุญาตให้นำไปใช้ประโยชน์ด้านการค้า ไม่ว่ากรณีใดๆทั้งสิ้น อีกทั้งห้ามมิให้ดัดแปลงเนื้อหา และต้องอ้างอิงถึงเจ้าของเอกสารทุกครั้งที่มีการนำไปใช้

ถ้าต้องการให้ J_L มากๆ จะต้องลดค่า $R(\lambda)$ และเพิ่มค่า $SR(\lambda)$ ตลอดช่วงความยาวคลื่น $0 < \lambda < \lambda_m$ ความหนาแน่นของกระแสจากแสงในอุณหภูมิต้นั้น จะต้องมามีค่า $R(\lambda)=0$ และ $SR=1$

2.12.2 ลักษณะเฉพาะกระแส-แรงดันไฟฟ้า



รูปที่ 2.25 วงจรสมมูลในอุณหภูมิต้นของเซลล์แสงอาทิตย์



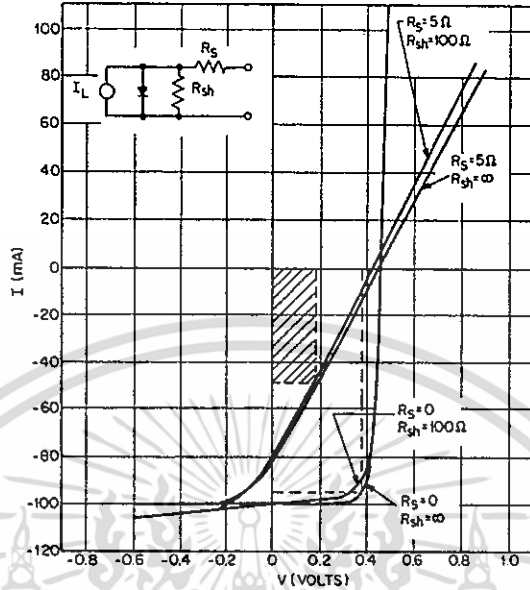
ภาพที่ 2.26 ก. ลักษณะเฉพาะของกระแส-แรงดันของเซลล์แสงอาทิตย์ขณะที่มีการฉายแสง
 ข. ภาพกลับหัวของรูป 2.26 (ก)

สำหรับเซลล์แสงอาทิตย์ในทางปฏิบัตินี้จะพิจารณาวงจรสมมูลในอุณหภูมิต้นรูปที่ 2.26 ประกอบด้วยความต้านทานอนุกรมจากการสูญเสียของโอห์มมิก และความต้านทานชั้นที่จากกระแสรั่วไหล วงจรสมมูลแสดงดังรูปที่ 2.27 ถ้ากระแสไดโอดเป็นดังสมการที่ (2.92) ลักษณะเฉพาะกระแส-แรงดันไฟฟ้าหาได้จากสมการที่ (2.93)

$$I = I_s(e^{qV/kT} - 1) - I_L \tag{2.92}$$

เอกสารนี้เป็นเอกสารที่สงวนไว้สำหรับการใช้งานเพื่อการศึกษาเท่านั้น ไม่นุญาตให้นำไปใช้ประโยชน์ด้านการค้า ไม่ว่ากรณีใดๆทั้งสิ้น อีกทั้งห้ามมิให้ดัดแปลงเนื้อหา และต้องอ้างอิงถึงเจ้าของเอกสารทุกครั้งที่มีการนำไปใช้

$$\ln\left(\frac{I+I_L}{I_s} - \frac{V-IR_s}{I_s R_{sh}} + 1\right) = \frac{q}{kT}(V-IR_s) \tag{2.93}$$



ภาพที่ 2.27 แสดงลักษณะเฉพาะกระแส-แรงดันไฟฟ้าของเซลล์แสงอาทิตย์ประกอบด้วยความต้านทานอนุกรมและความต้านทานขนั้

จากสมการที่ (2.93) ถ้ากำหนดให้ $R_s = 0,5$ โอห์ม และ $R_{sh} = 0, \infty$ โอห์ม สามารถเขียนกราฟได้ดังรูปที่ 2.27 ซึ่งพารามิเตอร์ I_s , I_L และ T ยังเหมือนกับรูปที่ 2.25 จะพบว่าความต้านทานขนั้ที่มีค่าต่ำกว่า 100 โอห์มนั้นจะไม่ทำให้กำลังเอาต์พุทของเซลล์แสงอาทิตย์นั้นเปลี่ยนแปลง ส่วนความต้านทานอนุกรมเท่ากับ 5 โอห์มจะทำให้กำลังเอาต์พุทของเซลล์แสงอาทิตย์ลดลงถึง 30 เปอร์เซ็นต์เมื่อเทียบกับกำลังเอาต์พุทของเซลล์แสงอาทิตย์ที่มีความต้านทานอนุกรมเท่ากับศูนย์ ($R_s=0$) ดังนั้นเราสามารถที่จะละพารามิเตอร์ R_{sh} ได้แล้ว กระแสขาออกและกำลังเอาต์พุท ได้จาก

$$I = I_s \left\{ \exp\left[\frac{q(V-IR_s)}{kT}\right] - 1 \right\} - I_L \tag{2.94}$$

$$P = |IV| = I \left[\frac{kT}{q} \ln\left(\frac{I+I_L}{I_s} + 1\right) + IR_s \right] \tag{2.95}$$

จากความสัมพันธ์กำลังเอาต์พุทสูงสุดที่ได้ คือ 1, 0.77, 0.57, 0.27 หรือ 0.14 สำหรับ R_s เท่ากับ 0, 1, 2, 5 หรือ 10 โอห์ม ตามลำดับ ค่าความต้านทานของเซลล์แสงอาทิตย์จะขึ้นกับความลึกของรอยต่อ ความเข้มข้นของสารเจือในสารกึ่งตัวนำชนิดพีและชนิดเอ็น และการทำขั้วไฟฟ้าโอห์มมิก จากรูปที่ 2.26 และ 2.27 สามารถคำนวณหาค่าฟิลล์แฟคเตอร์ (fill factor : FF) ได้จาก

$$FF = \frac{I_m V_m}{I_L V_{oc}} \tag{2.96}$$

เอกสารนี้เป็นเอกสารที่สงวนไว้สำหรับการใช้งานเพื่อการศึกษาเท่านั้น ไม่อนุญาตให้นำไปใช้ประโยชน์ด้านการค้าไม่ว่ากรณีใดๆทั้งสิ้น อีกทั้งห้ามมิให้ดัดแปลงเนื้อหา และต้องอ้างอิงถึงเจ้าของเอกสารทุกครั้งที่มีการนำไปใช้

ประสิทธิภาพของเซลล์แสงอาทิตย์สามารถหาได้จาก

$$\eta = \frac{I_m V_m}{P_{in}} = \frac{FF \cdot I_L V_{OC}}{P_{in}} \quad (2.97)$$

ในเซลล์แสงอาทิตย์จะเกิดกระแสการรวมตัวของพาหะขึ้น ในบริเวณพร่องพาหะ เป็น

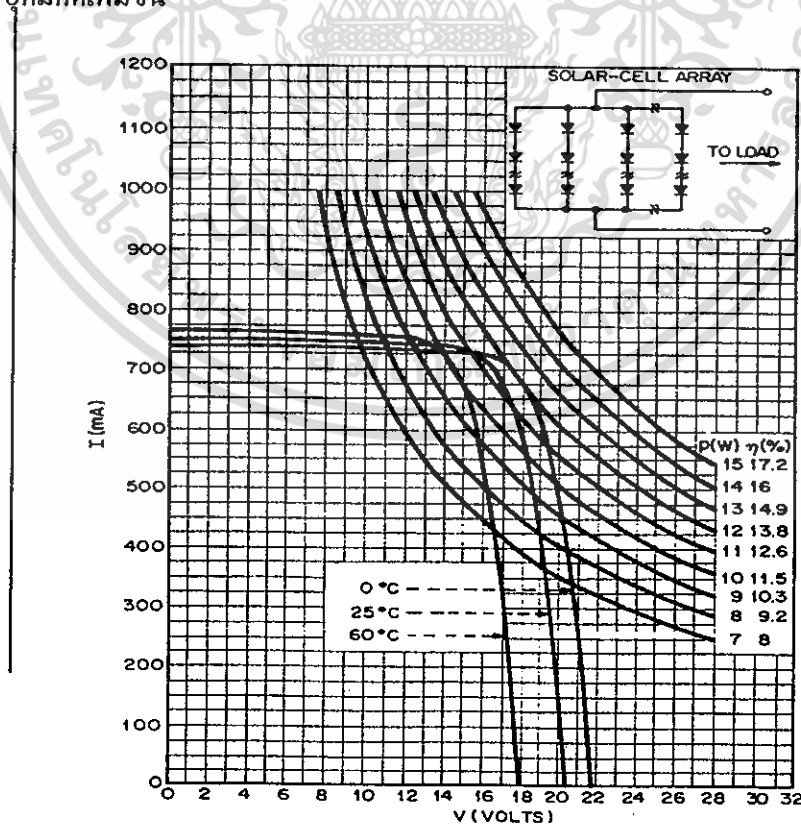
$$I_{rec} = I_s \left[\exp\left(\frac{qV}{2kT}\right) - 1 \right] \quad (2.98)$$

โดย

$$\frac{I_s}{A} = \frac{qn_i W}{\sqrt{\tau_p \tau_n}} \quad (2.99)$$

ประสิทธิภาพสำหรับในกรณีที่กระแสการรวมตัวของพาหะมีค่าน้อยกว่ากรณีกระแสในอุดมคติ เนื่องจาก V_{oc} และค่าฟิลล์แฟกเตอร์ลดลง สำหรับเซลล์แสงอาทิตย์ซิลิกอนที่อุณหภูมิ 300 เคลวิน กระแสการรวมตัวของพาหะจะทำให้ประสิทธิภาพของเซลล์แสงอาทิตย์ลดลงถึง 25 เปอร์เซ็นต์

สำหรับเซลล์แสงอาทิตย์ที่มีทั้งกระแสแพร่และกระแสที่เกิดจากการรวมตัวของพาหะ หรือเซลล์แสงอาทิตย์มีข้อบกพร่องประจุมาก กระแสไฟฟ้าภายใต้ไบแอสตรงอาจจะแสดงในรูปของเอ็กซ์โพเนนเชียลที่ขึ้นกับแรงดันคือ $\exp(qV/nkT)$ เมื่อ n คือแฟกเตอร์ในอุดมคติ โดยปกติประสิทธิภาพจะลดลงเมื่อค่าแฟกเตอร์อุดมคติเพิ่มขึ้น



ภาพที่ 2.28 แสดงลักษณะเฉพาะของกระแส-แรงดันไฟฟ้าของโมดูลของเซลล์แสงอาทิตย์

เอกสารนี้เป็นเอกสารที่สงวนลิขสิทธิ์สำหรับการใช้งานเพื่อการศึกษาเท่านั้น ไม่อนุญาตให้นำไปเผยแพร่หรือใช้งานทางการค้า
ไม่ว่ากรณีใดๆทั้งสิ้น อีกทั้งห้ามมิให้ดัดแปลงเนื้อหา และต้องอ้างอิงถึงเจ้าของเอกสารทุกครั้งที่มีการนำไปใช้

เซลล์แสงอาทิตย์ซิลิกอนที่มีพื้นที่ 2 ตารางเซนติเมตรจะมีค่าแรงดันวงจรเปิด (V_{oc}) เท่ากับ 0.5 ถึง 0.6 โวลต์และมีกระแสลัดวงจรเท่ากับ 30 ถึง 60 มิลลิแอมป์ ซึ่งเซลล์แสงอาทิตย์สามารถต่อกันได้ทั้งแบบอนุกรมและขนาน ตัวอย่างการต่อเซลล์แสงอาทิตย์แสดงดังรูปที่ 2.28 ที่อุณหภูมิ 60 องศาเซลเซียส จะให้กำลังประมาณ 10 วัตต์ มีประสิทธิภาพ 11.5 เปอร์เซ็นต์ ภายใต้เงื่อนไข AM1 ($\square 100$ มิลลิวัตต์ต่อตารางเซนติเมตร) ซึ่งกราฟของกำลังจะแสดงโดยเส้นสัมพันธ์กับกราฟกระแส-แรงดันไฟฟ้า ที่จุดที่มีกำลังสูงสุดจะสอดคล้องกับค่าแรงดันไฟฟ้าสูงสุด (V_m) และกระแสไฟฟ้าสูงสุด (I_m) สำหรับเซลล์แสงอาทิตย์ที่มีการต่อดังรูปที่ 2.28 นี้จะมีค่าแรงดันไฟฟ้าสูงสุดเท่ากับ 14 โวลต์ และกระแสไฟฟ้าสูงสุดเท่ากับ 720 มิลลิแอมป์ และในกรณีที่อุณหภูมิค่ากำลังเอาต์พุตกับประสิทธิภาพของเซลล์แสงอาทิตย์นั้นจะมีค่าลดลง

2.13 หลักการสปีดเตอร์ริง (งามนิคย์, 2558; สุรสิงห์, 2545)

ดีซีแมกนีตรอนสปีดเตอร์ริง คือ วิธีการเคลือบฟิล์มบางในระบบสุญญากาศ โดยอาศัยพื้นฐานทางด้านฟิสิกส์ของพลาสมาเพื่อให้เกิดกระบวนการสปีดเตอร์ริงขึ้นมา ดังนั้นจึงเป็นสิ่งสำคัญในการทำ ความเข้าใจในฟิสิกส์ของพลาสมา วิธีการเคลือบฟิล์มบางที่เรียกว่าสปีดเตอร์ริงและหลักการที่เกี่ยวกับหัวดีซีแมกนีตรอนสปีดเตอร์ริง ซึ่งจะได้อธิบายในส่วนที่มีความสอดคล้องกับงานวิจัยนี้

2.13.1 โกลวดิสชาร์จ

สถานะพลาสมาเกิดขึ้นได้โดยการทำให้อะตอมของก๊าซที่อยู่ในสภาวะที่เป็นกลางทางไฟฟ้าเกิดการแตกตัวเป็นไอออน ซึ่งสามารถทำได้โดยอาศัยการชนด้วยอิเล็กตรอนที่มีพลังงานสูง โดยอะตอมที่ได้รับพลังงานที่เพียงพอจะทำให้อิเล็กตรอนหลุดออกมาจากอะตอม เรียกว่าการแตกตัวเป็นไอออน ซึ่งพลังงานที่มีค่าน้อยที่สุดที่ทำให้อิเล็กตรอนตัวนอกสุดหลุดออกมาได้ คือ พลังงานการแตกตัวเป็นไอออน โดยการแตกตัวเป็นไอออนเป็นกระบวนการสำคัญในการสร้างพลาสมาของระบบดีซีแมกนีตรอนสปีดเตอร์ริง สำหรับในกรณีของโลหะที่ได้รับพลังงานแล้วทำให้อิเล็กตรอนหลุดออกมาจากผิวของโลหะ เรียกว่าการปลดปล่อยอิเล็กตรอนซึ่งพลังงานที่มีค่าน้อยที่สุดที่ทำให้อิเล็กตรอนหลุดออกมาได้ คือ ค่าฟังก์ชันงาน

อะตอมใดๆ เมื่อถูกชนด้วยอะตอมที่เป็นกลาง ไอออนหรืออิเล็กตรอนจะเกิดการแลกเปลี่ยนของพลังงานระหว่างกัน ในกรณีที่อนุภาคที่เคลื่อนที่เข้าชนอะตอมคืออิเล็กตรอน และทำให้อะตอมที่ถูกชนเกิดการแตกตัวเป็นไอออน เรียกว่า การแตกตัวเป็นไอออนเนื่องจากการชนด้วยอิเล็กตรอน โดยที่อิเล็กตรอนจะต้องมีพลังงานจลน์มากกว่าหรือเท่ากับพลังงานการแตกตัวเป็นไอออนของอะตอม ดังสมการ

เอกสารนี้เป็นเอกสารที่สงวนไว้สำหรับการใช้งานเพื่อการศึกษาเท่านั้น ไม่อนุญาตให้นำไปใช้ประโยชน์ด้านการค้า ไม่ว่ากรณีใดๆทั้งสิ้น อีกทั้งห้ามมิให้ดัดแปลงเนื้อหา และต้องอ้างอิงถึงเจ้าของเอกสารทุกครั้งที่มีการนำไปใช้

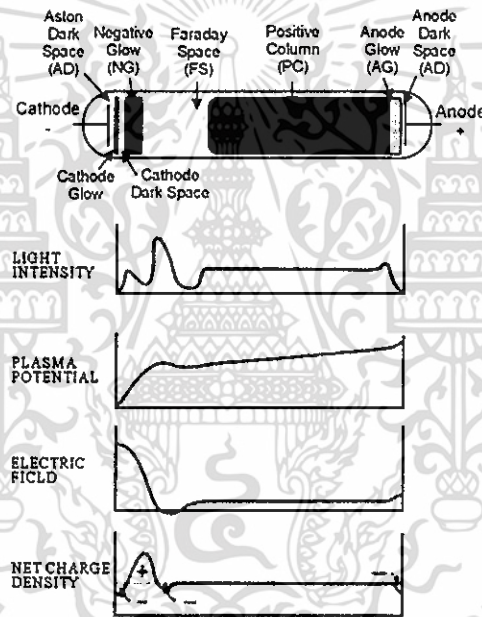
$$\frac{1}{2}mv^2 \geq W_i \quad (2.100)$$

โดย W_i คือ พลังงานการแตกตัวเป็นไอออน

m คือ มวลของอิเล็กตรอน

v คือ ความเร็วของอิเล็กตรอน

การโคลดิสชาร์จก็คือการเรืองแสงของพลาสมา การโคลดิสชาร์จทำให้เกิดขึ้นมาได้ โดยการจ่ายความต่างศักย์ระหว่างขั้วอิเล็กโทรดในสภาวะความดันต่ำที่มีก๊าซกระจายอยู่ภายในภาชนะสุญญากาศศักย์ไฟฟ้าจะตกลงอย่างรวดเร็วในบริเวณใกล้ขั้วคาโทดและมีค่าเปลี่ยนแปลงอย่างช้าๆ ในพลาสมา และเปลี่ยนแปลงอีกครั้งในบริเวณใกล้ขั้วแอโนดดังแสดงในภาพที่ 2.28



ภาพที่ 2.29 โครงสร้างของการโคลดิสชาร์จ

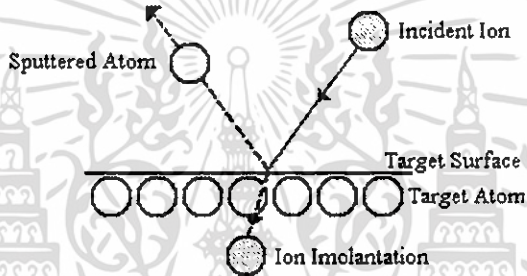
สนามไฟฟ้าในระบบจะถูกควบคุม ไปจนถึงชีท (sheath) ของแต่ละขั้วไฟฟ้า ซึ่งชีทก็คือความหนาแน่นของบริเวณที่แยกพลาสมาออกจากขั้วไฟฟ้า อาณาเขตของชีทจะผลึกอิเล็กตรอนที่พยายามเคลื่อนที่ไปยังแต่ละขั้วอิเล็กโทรด อิเล็กตรอนที่เกิดขึ้นที่ขั้วคาโทดจะถูกเร่งให้เกิดการเคลื่อนที่ตามทิศทางของสนามไฟฟ้าและเกิดการชนกับอนุภาคตัวอื่นและมีการแลกเปลี่ยนพลังงาน และจะหยุดลงเนื่องจากการแพร่กระจายและการรวมตัว การโคลดที่ทำให้การเรืองแสงเกิดขึ้นมาได้เนื่องจากอิเล็กตรอนมีพลังงานมากพอที่จะให้กำเนิดแสงที่สามารถมองเห็นได้ด้วยการชนแล้วทำให้เกิดการแตกตัวเป็นไอออนอิเล็กตรอนจะถูกเร่งด้วยสนามไฟฟ้าและมีการสะสมพลังงานและเกิดการชนกับอะตอมอื่นแล้วเกิดการแตกตัวเป็นไอออนโดยกระบวนการจะเกิดขึ้นอย่างต่อเนื่อง อิเล็กตรอนจะมีจำนวนเพิ่มขึ้นจากการปลดปล่อยออกมาจากขั้วคาโทดซึ่งเป็นสิ่งที่สำคัญมากในการรักษาการโคลดิสชาร์จให้สามารถมีอยู่ต่อไป

เอกสารนี้เป็นเอกสารที่จัดทำขึ้นเพื่อใช้ในการเรียนการสอนเท่านั้น ไม่สามารถนำออกจำหน่ายหรือทำซ้ำโดยไม่ได้รับอนุญาตจากเจ้าของเอกสารทุกครั้งที่มีการนำไปใช้

ได้ ลักษณะที่สำคัญหลายๆ อย่างของ โกลด์ดิซซาร์จ แสดงให้เห็น ในรูปที่ 2.29 การเรืองแสงในสถานะ สุญญากาศแสดงลักษณะการจัดเรียงบริเวณที่เกิดการเรืองแสงระหว่างขั้วอิเล็กโทรตรงกลมภายใน ภาชนะสุญญากาศที่มีการเชื่อมต่อกับแหล่งกำเนิดไฟฟ้ากระแสตรง พอลการดิซซาร์จด้วยไฟฟ้ากระแสตรง ถูกทำให้เกิดขึ้นและถ้าการ โกลด์ดิซซาร์จสามารถรักษาไว้ได้ก็จะปรากฏบริเวณการเรืองแสงและบริเวณ มือในตำแหน่งที่แตกต่างกัน

2.13.2 สเปคเตอริง

สเปคเตอริงเป็นปรากฏการณ์ที่สำคัญอีกอย่างหนึ่งในการเกิดพลาสมาเย็น ซึ่งเป็นเหตุการณ์ที่ ะตอมที่ผิวเป้าถูกทำให้หลุดออกมาพร้อมกับมีการปลดปล่อยอิเล็กตรอนทุติยภูมิออกมาด้วย เนื่องจากการระดมยิงของอนุภาคพลังงานสูงที่ถูกเร่งให้เคลื่อนที่เข้าชนเป้าดังแสดงในภาพที่ 2.30



ภาพที่ 2.30 การเกิดสเปคเตอริงที่ผิวเป้า

2.13.2.1 ยี่ลต์การสเปคเตอริง (sputtering yields)

ยี่ลต์ของการสเปคเตอริงนิยามด้วยปริมาณอะตอมที่ถูกสเปคเตอริงให้หลุดออกมาจาก ผิวเป้าต่อปริมาณ ไอออนที่เคลื่อนที่เข้าชน ดังแสดงในสมการที่ (2.101) ซึ่งขึ้นอยู่กับพลังงานของไอออน ที่ตกกระทบและอัตราส่วนระหว่างมวลของไอออนที่ตกกระทบกับอะตอมที่ถูกสเปคเตอริง

$$\text{ยี่ลต์ของการสเปคเตอริง} = \frac{\text{อะตอมที่หลุดออกจากผิวเป้า}}{\text{ไอออนที่ชนเป้า}} \quad (2.101)$$

การสเปคเตอริงแสดงถึงลักษณะเฉพาะ โดยพลังงานขีดเริ่ม (threshold energy) ซึ่ง ขึ้นอยู่กับไอออนที่เคลื่อนที่เข้าชนอะตอมที่ผิวเป้า ในตารางที่ 2.1 แสดงให้เห็นถึงค่าพลังงานขีดเริ่มของ ธาตุชนิดต่างๆ และค่ายี่ลต์ของการสเปคเตอริงของธาตุชนิดต่างๆ ที่ถูกระดมยิงด้วยไอออนของอาร์กอนที่มีพลังงานแตกต่างกัน โดยขีดเริ่มของการสเปคเตอริง (sputtering threshold) จะอยู่ในช่วง 10-40 อิเล็กตรอน โวลต์ และที่พลังงานไอออนของอาร์กอนสูงกว่าพลังงานขีดเริ่ม ยี่ลต์ของการสเปคเตอริงจะ เพิ่มขึ้นตามพลังงานของไอออนของอาร์กอน

ตารางที่ 2.1 แสดงค่าพลังงานขีดเริ่มและค่าyieldของธาตุชนิดต่างๆ

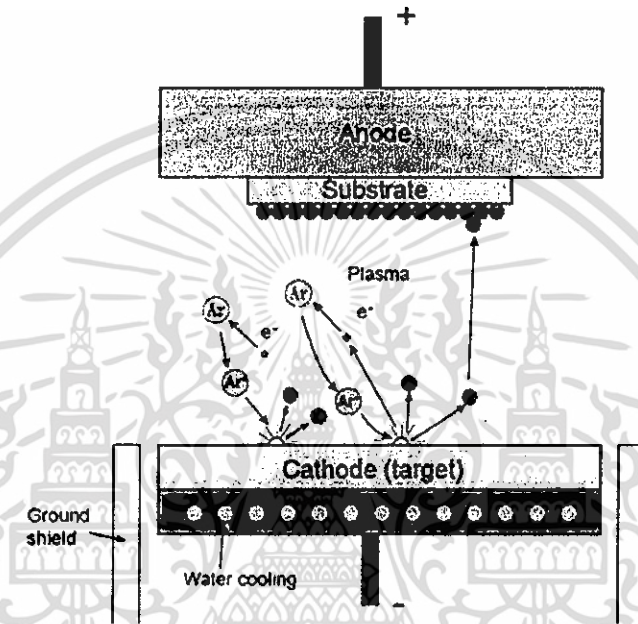
Elements	Threshold (eV)	Ar ⁺ energy (eV)				
		60	100	200	300	600
Ag	15	0.22	0.63	1.58	2.20	3.40
Al	13		0.11	0.35	0.65	1.24
Au	20		0.32	1.07	1.65	2.43
Be	15		0.074	0.18	0.28	0.80
Cr	22		0.30	0.67	0.87	1.30
Cu	17	0.10	0.48	1.10	1.59	2.30
Fe	20	0.064	0.20	0.53	0.76	1.26
Ge	25		0.22	0.50	0.74	1.22
Mo	24	0.027	0.13	0.40	0.58	0.93
Nb	25	0.017	0.068	0.25	0.40	0.65
Ni	21	0.067	0.28	0.66	0.95	1.52
Pd	20		0.42	1.00	1.41	2.39
Pt	25	0.032	0.20	0.63	0.95	1.56
Re	35		0.10	0.37	0.56	0.91
Si			0.07	0.18	0.31	0.53
Ta	26	0.01	0.10	0.28	0.41	0.62
Ti	20		0.081	0.22	0.33	0.58
V	23	0.03	0.11	0.31	0.41	0.70
W	33	0.008	0.068	0.29	0.40	0.62
Zr	22	0.027	0.12	0.28	0.41	0.75

2.13.2.2 ดีซีโคโอดสปัตเตอร์ริง

ในระบบดีซีโคโอดสปัตเตอร์ริงจะประกอบไปด้วยขั้วคาโทดและขั้วแอโนดวางอยู่ในระบบสุญญากาศภายใต้ความดันและศักย์ไฟฟ้าที่เหมาะสม โดยเป้าจะติดตั้งไว้ที่ด้านหน้าของขั้วคาโทดและแผ่นรองรับหรือชิ้นงานที่ต้องการเคลือบสารจะถูกวางอยู่ที่ขั้วแอโนด ภายในภาชนะสุญญากาศจะเต็มไปด้วยก๊าซที่ใช้ในการสปัตเตอร์ริง โดยการดีสชาร์จจะถูกสร้างขึ้นมาระหว่างขั้วคาโทดและขั้วแอโนด โดยอาศัยการสร้างสนามไฟฟ้าช่วยในการเร่งอิเล็กตรอนให้เคลื่อนที่เข้าชนอะตอมของก๊าซที่ใช้ในการสปัตเตอร์ริงและเกิดการแตกตัวเป็นไอออน โดยไอออนของก๊าซที่ใช้ในการสปัตเตอร์ริงจะถูกเร่งด้วย

เอกสารนี้เป็นเอกสารที่สงวนไว้สำหรับการใช้งานเพื่อการศึกษาเท่านั้น ไม่อนุญาตให้นำไปใช้ประโยชน์ด้านการค้า ไม่ว่าจะกรณีใดๆทั้งสิ้น อีกทั้งห้ามมิให้ดัดแปลงเนื้อหา และต้องอ้างอิงถึงเจ้าของเอกสารทุกครั้งที่มีการนำไปใช้

สนามไฟฟ้าไปยังขั้วคาโทดและพุ่งเข้าชนอะตอมที่ผิวเป้าให้หลุดออกมาและเคลือบเป็นฟิล์มบางที่แผ่นรองรับหรือชิ้นงานที่เราต้องการเคลือบพร้อมกับมีการปลดปล่อยอิเล็กตรอนทุติยภูมิออกมาด้วย ดังแสดงในภาพที่ 2.31 ซึ่งอิเล็กตรอนเหล่านี้มีผลทำให้การโคลดิสชาร์จยังคงเกิดขึ้นได้อย่างต่อเนื่อง เพราะวาอิเล็กตรอนจะถูกเร่งให้เคลื่อนที่เข้าสู่บริเวณที่เกิดพลาสมาและทำให้เกิดการชนกับอะตอมของก๊าซที่ใช้ในการสปัตเตอริง และเกิดการแตกตัวเป็นไอออนบวกเพิ่มขึ้นมาก่อนที่อิเล็กตรอนเหล่านี้จะเคลื่อนที่ไปอยู่ที่ขั้วอโนด



ภาพที่ 2.31 การสปัตเตอริงโดยคีมิกนีตรอนสปัตเตอริง

2.13.2.3 คีมิกนีตรอนสปัตเตอริง

การกำเนิดพลาสมาในวิธีคีมิกนีตรอนสปัตเตอริงเกิดจากการใช้สนามไฟฟ้าเร่งอิเล็กตรอนให้เข้าชนอะตอมของก๊าซที่ใช้ในการสปัตเตอริงให้เกิดการแตกตัวเป็นไอออนบวกและอิเล็กตรอน โดยไอออนบวกจะถูกเร่งด้วยสนามไฟฟ้าให้เคลื่อนที่เข้าชนอะตอมที่ผิวเป้าให้หลุดออกมาและมีการปลดปล่อยอิเล็กตรอนทุติยภูมิออกมาภายหลังจากการชนของไอออนบวกที่ผิวเป้า ดังนั้นถ้าสามารถกักเก็บอิเล็กตรอนไว้ที่หน้าผิวเป้าและเพิ่มระยะทางการเคลื่อนที่ของอิเล็กตรอนให้เพิ่มขึ้นก็จะเป็นการเพิ่มโอกาสในการชนกับอะตอมของก๊าซที่ใช้ในการสปัตเตอริงให้เกิดการแตกตัวเป็นไอออนบวกมากขึ้น และถูกเร่งด้วยสนามไฟฟ้าให้เคลื่อนที่เข้าชนเป้ามากขึ้น ผลคือทำให้อัตราการสปัตเตอริงสูงขึ้น ทั้งนี้การกักเก็บอิเล็กตรอนและการเพิ่มระยะทางการเคลื่อนที่ของอิเล็กตรอนให้เพิ่มขึ้นนั้นสามารถทำได้โดยการใส่สนามแม่เหล็กในทิศทางที่เหมาะสมให้กับระบบคีมิกนีตรอนสปัตเตอริง ทั้งนี้เมื่อนุภาคที่มีประจุไฟฟ้า q เคลื่อนที่ด้วยความเร็ว v_{\perp} ในทิศทางตั้งฉากกับสนามไฟฟ้า B จะเกิดแรงกระทำกับอนุภาคนั้นซึ่งมีค่า

$$F = Bqv_{\perp} \quad (2.102)$$

เอกสารนี้เป็นเอกสารที่สงวนไว้สำหรับการใช้งานเพื่อการศึกษาเท่านั้น ไม่อนุญาตให้นำไปใช้ประโยชน์ด้านการค้า ไม่ว่ากรณีใดๆทั้งสิ้น อีกทั้งห้ามมิให้ดัดแปลงเนื้อหา และต้องอ้างอิงถึงเจ้าของเอกสารทุกครั้งที่มีการนำไปใช้

โดยแรงที่กระทำกับอนุภาคมีทิศทางตั้งฉากกับสนามแม่เหล็กและความเร็วของการเคลื่อนที่ ซึ่งจะมีผลทำให้ประจุไฟฟ้าที่มีมวล m เกิดการเคลื่อนที่เป็นวงกลม โดยที่

$$F_B = F_C \quad (2.103)$$

โดย F_B คือ แรงเนื่องจากสนามแม่เหล็ก

F_C คือ แรงสู่ศูนย์กลางของการเคลื่อนที่
จะได้ว่า

$$qv_{\perp}B = \frac{mv_{\perp}^2}{r} \quad (2.104)$$

โดยจะได้รัศมีของการเคลื่อนที่

$$r = mv_{\perp}/Bq \quad (2.105)$$

โดยเรียกรัศมีของประจุไฟฟ้าที่มีการเคลื่อนที่เป็นวงกลมว่ารัศมีไซโคลตรอน (cyclotron radius) หรือรัศมีลาร์มอร์ (Larmor radius) โดยอิเล็กตรอนจะได้รับผลกระทบจากแรงเนื่องจากแม่เหล็กนี้ แต่สำหรับไอออนซึ่งมีมวลมากจะได้รับผลกระทบของแรงเนื่องจากสนามแม่เหล็กนี้น้อยและจาก $v = \omega r$ จะได้ความเร็วเชิงมุมของการเคลื่อนที่ของอนุภาคเป็น

$$\omega = \frac{|q|B}{m} \quad (2.106)$$

และเมื่อพิจารณาอิเล็กตรอนที่หลุดออกมาจากขั้วคาโทดแล้วเคลื่อนที่ภายใต้อิทธิพลของสนามไฟฟ้าและสนามแม่เหล็กตามขวางที่มีทิศทางตั้งฉากกัน จากสมการของลอเรนซ์

$$m \frac{d\vec{v}}{dt} = e(\vec{E} + \vec{v} \times \vec{B}) \quad (2.107)$$

โดย e = ประจุของอิเล็กตรอน

m = มวลของอิเล็กตรอน

\vec{v} = ความเร็วของอิเล็กตรอน

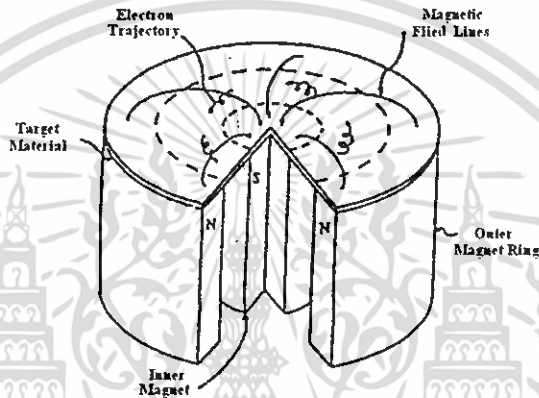
\vec{E} = สนามไฟฟ้า

\vec{B} = สนามแม่เหล็ก

ด้วยอิทธิพลของสนามไฟฟ้าและสนามแม่เหล็กตามขวางที่มีทิศทางตั้งฉากกันจะทำให้อิเล็กตรอนถูกกักเก็บไว้ที่บริเวณผิวเป้าและมีการเคลื่อนที่เป็นรูปเกลียววงกลม ด้วยความเร็วเชิงมุม

เอกสารนี้เป็นเอกสารที่สงวนไว้สำหรับการใช้งานเพื่อการศึกษาเท่านั้น ไม่อนุญาตให้นำไปใช้ประโยชน์ด้านการค้าไม่ว่ากรณีใดๆทั้งสิ้น อีกทั้งห้ามมิให้ดัดแปลงเนื้อหา และต้องอ้างอิงถึงเจ้าของเอกสารทุกครั้งที่มีการนำไปใช้

$\omega = eB/m$ ไปในเส้นทางเลื่อนลอยของสนามไฟฟ้าและสนามแม่เหล็กตามขวางที่มีทิศทางตั้งฉากกัน ($\vec{E} \times \vec{B}$ drift path) ที่เกิดขึ้นและจุดศูนย์กลางของการเคลื่อนที่เป็นวงกลมแบบเลื่อนลอยในทิศทางของสนามไฟฟ้าและสนามแม่เหล็กตามขวางที่มีทิศทางตั้งฉากกันด้วยความเร็ว E/B ถูกแสดงในภาพที่ 2.32 การเคลื่อนที่ของอิเล็กตรอนแบบนี้จะเพิ่มโอกาสในการชนกันระหว่างอิเล็กตรอนกับโมเลกุลของก๊าซและเกิดกระบวนการแตกตัวเป็นไอออนบวกสูงขึ้นบริเวณผิวเป้าและไอออนบวกที่เกิดขึ้นจะถูกเร่งให้เคลื่อนที่ชนเป้ามากขึ้น ซึ่งจะเป็นผลทำให้อัตราการสปีดเตอรังมีค่าสูงขึ้นเมื่อเปรียบเทียบกับวิธีดีซีโคโอดสปีดเตอรัง ส่งผลให้วิธีดีซีแมกนีตรอนสปีดเตอรังเป็นวิธีที่ใช้ในการเคลือบฟิล์มบางกันอย่างแพร่หลายในงานวิจัยและในงานอุตสาหกรรม



ภาพที่ 2.32 การเคลื่อนที่เป็นเกลียววงกลมของอิเล็กตรอนที่ถูกกักเก็บไว้ที่ผิวเป้าในเส้นทางเลื่อนลอยของสนามไฟฟ้าและสนามแม่เหล็กตามขวางที่มีทิศทางตั้งฉากกัน

และจากความเร็ว v ที่เกิดขึ้นโดยการเร่งจากสนามไฟฟ้าที่สม่ำเสมอที่เกิดจากการจ่ายความต่างศักย์ให้กับขั้วอิเล็กโทรด จะได้ว่า

$$\frac{1}{2}mv^2 = |q|V \quad (2.108)$$

จะได้ว่า

$$v = \sqrt{\frac{2|q|V}{m}} \quad (2.109)$$

แทนค่า (2.108) ลงใน (2.105) จะได้ว่า

$$r = \frac{1}{B} \sqrt{\frac{2mv}{|q|}} \quad (2.110)$$

โดยจะได้รัศมีของอนุภาคเคลื่อนที่ภายใต้อิทธิพลของแรงลอเรนซ์ในกรณีของอิเล็กตรอน จะได้ว่า

$$r = 0.33 \times 10^{-5} \frac{\sqrt{v}}{B} \quad (2.111)$$

เอกสารนี้เป็นเอกสารที่สงวนไว้สำหรับการใช้งานเพื่อการศึกษาเท่านั้น ไม่อนุญาตให้นำไปใช้ประโยชน์ด้านการค้า ไม่ว่ากรณีใดๆทั้งสิ้น อีกทั้งห้ามมิให้ดัดแปลงเนื้อหา และต้องอ้างอิงถึงเจ้าของเอกสารทุกครั้งที่มีการนำไปใช้

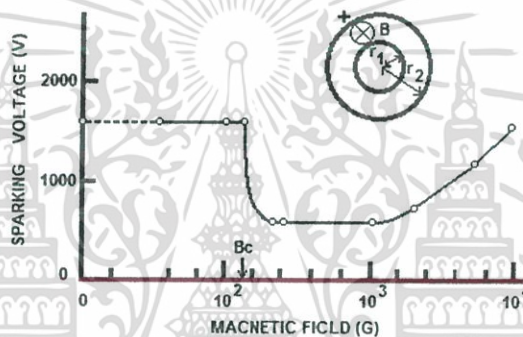
และสามารถวิเคราะห์ผลของสนามแม่เหล็กที่มีต่อการดิสราร์จ ซึ่งพิจารณาได้จากสนามแม่เหล็กที่ตำแหน่งยุติผล (cut-off magnetic field; B_c) โดยสนามแม่เหล็กจะมีผลต่อการดิสราร์จเมื่อความเข้มของสนามแม่เหล็กมีค่ามากกว่าสนามแม่เหล็กที่ตำแหน่งยุติผล ซึ่งแสดงได้ดังสมการที่ 2.112

$$B_c = \frac{1}{L} \sqrt{\frac{2mv_c}{e}} \quad \text{สำหรับขั้วอิเล็กโทรมอเตอร์} \quad (2.112)$$

โดย v_c คือ ความต่างศักย์ที่จ่ายระหว่างขั้วอิเล็กโทรมอเตอร์

L คือ ระยะห่างระหว่างขั้วอิเล็กโทรมอเตอร์

2.13.2.4 สนามแม่เหล็กที่มีผลต่อการดิสราร์จ



ภาพที่ 2.33 ความต่างศักย์ของการดิสราร์จกับสนามแม่เหล็กที่วัดในขั้วอิเล็กโทรมอเตอร์โคแอคเซียลทรงกระบอก

ในภาพที่ 2.33 แสดงผลของสนามแม่เหล็กตามขวางกับความต่างศักย์ของการดิสราร์จที่วัดในขั้วอิเล็กโทรมอเตอร์โคแอคเซียลทรงกระบอกซึ่งทำจากทองแดง โดยมีรัศมีภายใน 5 มิลลิเมตร และรัศมีภายนอก 15 มิลลิเมตร ที่ความดัน 40 มิลลิทอร์ โดยสนามแม่เหล็กที่มีค่าต่ำกว่าสนามแม่เหล็กที่ยุติผล (cut-off magnetic field; B_c) อิเล็กตรอนในบริเวณขั้วคาโทดจะไปถึงขั้วแอโนดโดยปราศจากการเคลื่อนที่เป็นรูปเกลียวกลมระหว่างขั้วอิเล็กโทรมอเตอร์ เนื่องจากรัศมีของการเคลื่อนที่เป็นเกลียววงกลมมีค่ามากกว่าระยะห่างระหว่างขั้วอิเล็กโทรมอเตอร์และเมื่อสนามแม่เหล็กมีค่ามากกว่าสนามแม่เหล็กที่ตำแหน่งยุติผล ความต่างศักย์ของการดิสราร์จจะลดลงอย่างฉับพลัน ซึ่งเป็นผลจากการเพิ่มขึ้นของการชนระหว่างอิเล็กตรอนกับอะตอมที่เป็นกลางและการเกิดการแตกตัวเป็นไอออนเพิ่มสูงขึ้น และเมื่อสนามแม่เหล็กมีค่าสูงมากๆ ความต่างศักย์ของการดิสราร์จจะมีค่าเพิ่มขึ้นตามสนามแม่เหล็ก ซึ่งถูกทำให้เกิดขึ้นโดยการเพิ่มขึ้นของการสูญเสียพลังงานของอิเล็กตรอนที่ผ่านพ้นการชนอย่างต่อเนื่อง

เอกสารนี้เป็นเอกสารที่สงวนไว้สำหรับการใช้งานเพื่อการศึกษาเท่านั้น ไม่อนุญาตให้นำไปใช้ประโยชน์ด้านการค้า ไม่ว่าจะกรณีใดๆทั้งสิ้น อีกทั้งห้ามมิให้ดัดแปลงเนื้อหา และต้องอ้างอิงถึงเจ้าของเอกสารทุกครั้งที่มีการนำไปใช้

2.14 องค์ประกอบที่สำคัญของหัวคิซีแมกนีตรอนสเปคเตอรัง (งามนิตย์, 2558; สุรสิงห์, 2545)

สำหรับการออกแบบสร้างหัวแมกนีตรอนให้สามารถใช้ในการสเปคเตอรังได้อย่างมีประสิทธิภาพนั้น ควรจะคำนึงถึงองค์ประกอบที่สำคัญ ดังต่อไปนี้

2.14.1 วัสดุที่ใช้สร้างหัวคิซีแมกนีตรอน

ในการสร้างหัวคิซีแมกนีตรอนขนาดเล็กนั้น วัสดุที่เลือกใช้ควรจะมีคุณสมบัติดังต่อไปนี้

1. เป็นวัสดุที่มีความแข็งแรงทนทานเหมาะสมกับการสร้างชิ้นงานขนาดเล็ก สามารถกลึงขึ้นรูปได้ดังต้องการ และเชื่อมประกอบได้โดยไม่เกิดการร้าวซึม
2. เป็นวัสดุที่มีการยึดเกาะของก๊าซต่ำ สามารถไล่ก๊าซบนผิววัสดุภายในระบบสุญญากาศได้โดยง่าย
3. เป็นวัสดุที่มีความทนทานต่อการกัดกร่อนที่เกิดจากสารเคมี
4. เป็นวัสดุที่มีการนำไฟฟ้าที่ดี
5. เป็นวัสดุที่มีการนำความร้อนที่ดี
6. เป็นวัสดุที่มีคุณสมบัติไม่เป็นสารแม่เหล็ก เพราะจะไปกักกั้นสนามแม่เหล็กที่ผิวเป้าให้มีค่าน้อยลง

2.14.2 การให้ความเย็นที่เป้า

พลังงานที่จ่ายเข้าไปในกระบวนการสเปคเตอรังจะทำให้ไอออนบวกที่เคลื่อนที่เข้าชนผิวเป้าหมายมีพลังงานค่อนข้างสูง ซึ่งส่วนใหญ่จะเปลี่ยนแปลงไปอยู่ในรูปของพลังงานความร้อนที่เป้าและความร้อนที่เกิดขึ้นที่ผิวเป้าในขณะที่เกิดการสเปคเตอรังอาจจะมีค่าสูงกว่าปกติ และสามารถนำไปสู่ความเสียหายของการเชื่อมต่อระหว่างเป้าและแผ่นหลังที่เป็นขั้วไฟฟ้า เป้า และโอรัง เป็นต้น ความร้อนที่มากเกินไปสามารถหลีกเลี่ยงได้โดยการให้ความเย็นกับเป้าด้วยน้ำหรือของเหลวที่เหมาะสมอื่นๆ และควรระวังในการร้าวซึมออกมาของน้ำ

2.14.3 การควบคุมให้เกิดการสเปคเตอรังเฉพาะผิวเป้า

บริเวณของเป้าจะถูกล้อมรอบด้วยกำแพงบริเวณมืด (dark space shield) ซึ่งเรียกกันโดยทั่วไปว่ากราวด์ชิลด์ (ground shields) ประโยชน์ของกราวด์ชิลด์ก็คือควบคุมให้การระดมยิงของไอออนและการสเปคเตอรังเกิดที่เป้าเท่านั้น มิฉะนั้นแผ่นหลังของเป้าและตัวยึดเป้าอาจจะถูกสเปคเตอรังออกมาด้วย และก่อให้เกิดความไม่บริสุทธิ์ของฟิล์มที่เคลือบ ในการจัดวางการระดมยิงของบริเวณที่ถูกป้องกันระยะห่างระหว่างเป้าและกราวด์ชิลด์ต้องมีค่าน้อยกว่าความหนาของบริเวณมืด (dark space thickness) เพื่อไม่ให้เกิดการโคล์วคิซซาร์จในพื้นที่ว่างนี้ ในบางโอกาสพบว่าตำแหน่งที่เป็นขอบคมและสิ่งสกปรกเอกสารนี้เป็นเอกสารที่สงวนไว้สำหรับการใช้งานเพื่อการศึกษาเท่านั้น ไม่นุญาตให้นำไปใช้ประโยชน์ด้านการค้าไม่ว่ากรณีใดๆทั้งสิ้น อีกทั้งห้ามมิให้ดัดแปลงเนื้อหา และต้องอ้างอิงถึงเจ้าของเอกสารทุกครั้งที่มีการนำไปใช้

ชั้นเล็กจะทำให้เกิดการโก่งตัวของดิซชาร์จเฉพาะที่หรือการอาร์คเฉพาะที่ โดยเฉพาะอย่างยิ่งกับการดิซชาร์จด้วยไฟฟ้ากระแสตรงนั้นขอบที่คมหรือสิ่งสกปรกเล็กๆ ต้องกำจัดออกไปเสียก่อน และเนื่องจากความหนาของบริเวณมีดจะมีค่าลดลงตามความดันที่เพิ่มขึ้น ดังนั้นระยะห่างระหว่างเป่าและกรวดที่จัดตั้งไว้จะมีค่าอยู่ในขีดจำกัดของความดันสูงสุดของระบบ และภายใต้การจัดวางของสนามแม่เหล็กที่ตั้งฉากกับสนามไฟฟ้า ความหนาของบริเวณมีดจะลดลง ซึ่งแสดงให้เห็นว่าการจัดวางของสนามแม่เหล็กเป็นการเพิ่มอย่างสม่ำเสมอของความดันก๊าซในบริเวณดิซชาร์จ ดังแสดงในความสัมพันธ์ในสมการที่ 2.113

ผลของสนามแม่เหล็กกับความดันยังผล (P_c) แสดงโดย

$$P_c/P \cong [1 + (\omega\tau)^2]^{1/2} \quad (2.113)$$

โดย ω คือ ความถี่ของการเคลื่อนที่เป็นเกลียววงกลมของอิเล็กตรอน

τ คือ เวลาปลอดการชนเฉลี่ย (mean free time)

P คือ ความดันของก๊าซที่ใช้ในการดิซชาร์จ

โดย

$$\omega = eB/m \text{ และ } \tau = \lambda_0/p[2(e/m)V_0]^{1/2}$$

จะได้ว่า

$$\omega\tau \cong \lambda_0 B(e/m)^{1/2} / \sqrt{2} pV_0^{1/2} \quad (2.114)$$

โดย λ_0 คือ ระยะทางปลอดการชนเฉลี่ยของอิเล็กตรอนที่ความดัน 1 ทอร์

B คือ ความเข้มข้นของสนามแม่เหล็ก

e/m คือ ค่าประจุมวลของอิเล็กตรอน

V_0 คือ ความต่างศักย์ที่ใช้เร่งอิเล็กตรอน

และความหนาของบริเวณมีดจะมีค่าลดลงอย่างรวดเร็วเป็นฟังก์ชันกับความต่างศักย์ของการดิซชาร์จที่เพิ่มขึ้น ซึ่งการแปรผันแบบยกไปเนนเซียลของความหนาของบริเวณมีดกับความต่างศักย์ของการดิซชาร์จขึ้นอยู่กับความดันของระบบสุญญากาศ

ความหนาของบริเวณมีดและความต่างศักย์ของการดิซชาร์จมีความสัมพันธ์กันดังแสดงในสมการที่ 2.115

$$d = cV^{-m} \quad (2.115)$$

โดย c คือ ค่าคงที่

m คือ เลขยกกำลังระหว่าง -3 และ -6

เอกสารนี้เป็นเอกสารที่สงวนไว้สำหรับการใช้งานเพื่อการศึกษาเท่านั้น ไม่อนุญาตให้นำไปใช้ประโยชน์ด้านการค้าไม่ว่ากรณีใดๆทั้งสิ้น อีกทั้งห้ามมิให้ดัดแปลงเนื้อหา และต้องอ้างอิงถึงเจ้าของเอกสารทุกครั้งที่มีการนำไปใช้

ความหนาของบริเวณมีด กระแส และความต่างศักย์ถือตามกฎของไฮลด์ ซึ่งอยู่ในความสัมพันธ์

$$I \propto \frac{V^{\frac{3}{2}}}{d^2} \quad (2.116)$$

เมื่อการขึ้นกับความต่างศักย์ของบริเวณมีดถูกแทนลงในสมการ (2.97) จะได้ความสัมพันธ์

$$I \propto kV^n \quad (2.117)$$

โดย k คือ ค่าคงที่ของความสัมพันธ์

n คือ ตัวเลขที่แสดงความสามารถในการกักอิเล็กตรอน โดยสนามแม่เหล็ก

2.14.4 ลักษณะของสนามแม่เหล็ก

สนามแม่เหล็กในระบบดีซีแมกนีตรอนสเป็คเตอรืงนั้นจะมีผลต่อลักษณะของพลาสมาที่เกิดขึ้นซึ่งจะสอดคล้องกับอัตราการเคลือบฟิล์มบางและคุณสมบัติทางด้านฟิสิกส์ของฟิล์มบางที่เคลือบ โดยสามารถแบ่งลักษณะของสนามแม่เหล็กที่บริเวณผิวเป้าออกเป็น 3 ประเภท ดังนี้

1. แม่เหล็กตรงกลางมีความเข้มข้นของสนามแม่เหล็กเท่ากับแม่เหล็กด้านนอก โดยเส้นแรงแม่เหล็กทั้งหมดจะเชื่อมปิดระหว่างแม่เหล็กตรงกลางกับแม่เหล็กด้านนอกที่บริเวณผิวเป้า ซึ่งมีชื่อเรียกว่า แมกนีตรอนแบบสมมาตร (balanced magnetron) หรือแมกนีตรอนแบบสามัญ (conventional magnetron)
2. แม่เหล็กตรงกลางมีความเข้มข้นของสนามแม่เหล็กมากกว่าแม่เหล็กด้านนอก โดยเส้นแรงแม่เหล็กส่วนหนึ่งจะเชื่อมปิดระหว่างแม่เหล็กตรงกลางกับแม่เหล็กด้านนอก และเส้นแรงแม่เหล็กส่วนที่เหลือจะมีทิศทางไปยังผนังของภาชนะสุญญากาศ ซึ่งมีชื่อเรียกว่า แมกนีตรอนแบบไม่สมมาตรประเภทที่ 1 (unbalanced magnetron type 1)
3. แม่เหล็กตรงกลางมีความเข้มข้นของสนามแม่เหล็กน้อยกว่าแม่เหล็กด้านนอก โดยเส้นแรงแม่เหล็กส่วนหนึ่งจะเชื่อมปิดระหว่างแม่เหล็กตรงกลางกับแม่เหล็กด้านนอก และเส้นแรงแม่เหล็กส่วนที่เหลือจะมีทิศทางไปยังแผ่นรองรับ ซึ่งมีชื่อเรียกว่า แมกนีตรอนแบบไม่สมมาตรประเภทที่ 2 (unbalanced magnetron type 2)

ในกรณีคิสซาร์จของระบบดีซีแมกนีตรอนที่แม่เหล็กตรงกลางมีความเข้มข้นของสนามแม่เหล็กเท่ากับแม่เหล็กด้านนอก โดยสนามแม่เหล็กที่ใส่เข้าไปจะทำหน้าที่กักเก็บอิเล็กตรอนไว้ที่หน้าผิวเป้าและอิเล็กตรอนเหล่านี้จะมีการเคลื่อนที่เป็นรูปเกลียววงกลมในเส้นทางเลื่อนลอยของสนามไฟฟ้าและสนามแม่เหล็กตามขวางที่มีทิศทางตั้งฉากกันด้วยแรงลอเรนซ์ ซึ่งนำไปสู่โอกาสในการชนกับอะตอมที่

เอกสารนี้เป็นเอกสารที่สงวนไว้สำหรับการใช้งานเพื่อการศึกษาเท่านั้น ไม่อนุญาตให้นำไปใช้ประโยชน์ด้านการค้าไม่ว่ากรณีใดๆทั้งสิ้น อีกทั้งห้ามมิให้ดัดแปลงเนื้อหา และต้องอ้างอิงถึงเจ้าของเอกสารทุกครั้งที่มีการนำไปใช้

เป็นกลางและเกิดกระบวนการแตกตัวเป็นไอออนบวกสูงขึ้น โดยไอออนบวกที่ถูกสร้างขึ้นจากกระบวนการแตกตัวจะไม่ถูกกักโดยสนามแม่เหล็กและจะถูกเร่งโดยสนามไฟฟ้าไปยังเป้าที่ขั้วคาโทดและเคลื่อนที่เข้าชนกับอะตอมที่ผิวเป้าทำให้เกิดการสปีดเตอริงของเป้าและมีการปลดปล่อยอิเล็กตรอนทุติยภูมิออกมาด้วย โดยอิเล็กตรอนทุติยภูมิเหล่านี้จะถูกเร่งกลับเข้าไปยังการคิสราร์จ และอิเล็กตรอนส่วนใหญ่จะถูกกักไว้ในเส้นทางเลือนลอยของสนามไฟฟ้าและสนามแม่เหล็กตามขวางที่มีทิศทางตั้งฉากกัน ซึ่งเป็นผลให้เกิดการแตกตัวในปริมาณสูงขึ้นก่อนที่จะสูญเสียไป โดยจะทำให้พลาสมามีความหนาแน่นสูงในบริเวณผิวเป้า และจากการที่พลาสมามีความหนาแน่นสูงในบริเวณผิวเป้านั้น พิล์มบางที่ปลูกบนแผ่นรองรับในตำแหน่งภายในบริเวณนี้จะถูกควบคุมโดยการระดมยิงของไอออนซึ่งส่งผลกระทบต่ออย่างมาต่อโครงสร้างและคุณสมบัติของฟิล์มบางที่ทำการปลูก สำหรับแผ่นรองรับที่วางอยู่นอกบริเวณนี้จะวางอยู่ในบริเวณที่ความหนาแน่นของพลาสมาต่ำ เป็นผลให้กระแสไอออนที่แผ่นรองรับมีค่าน้อยกว่า 1 มิลลิแอมป์ต่อตารางเซนติเมตร ซึ่งไม่เพียงพอที่จะปรับปรุงหรือเปลี่ยนแปลงโครงสร้างของฟิล์ม ดังนั้นจึงเป็นการยากที่จะเคลือบฟิล์มให้หนาแน่นเต็มที่ในบริเวณกว้างหรือมีส่วนประกอบที่สมบูรณ์ในการใช้แมกนีตรอนแบบสมมาตร

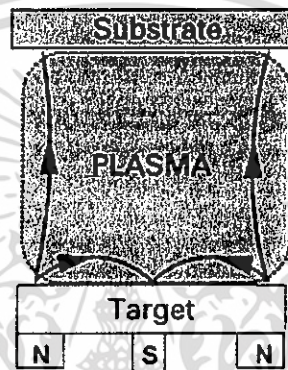


ภาพที่ 2.34 ลักษณะของแมกนีตรอนแบบสมมาตร

สำหรับในกรณีแม่เหล็กตรงกลางมีความเข้มของสนามแม่เหล็กน้อยกว่าแม่เหล็กด้านนอก ในกรณีนี้เส้นแรงแม่เหล็กส่วนหนึ่งจะเชื่อมปิดระหว่างแม่เหล็กตรงกลางและแม่เหล็กด้านนอก และเส้นแรงแม่เหล็กส่วนที่เหลือจะมีทิศทางไปยังแผ่นรองรับ โดยอิเล็กตรอนทุติยภูมิส่วนหนึ่งที่มีพลังงานสูงที่ไม่ถูกกักเก็บไว้ในเส้นทางเลือนลอยของสนามไฟฟ้าและสนามแม่เหล็กตามขวางที่มีทิศทางตั้งฉากกันจะเคลื่อนที่เป็นเกลียววงกลมตามเส้นแรงแม่เหล็กที่มีทิศทางไปยังแผ่นรองรับและเกิดการชนกับอะตอมที่เป็นกลางแล้วเกิดการแตกตัวเป็นไอออนในบริเวณผิวหน้าของแผ่นฐานรองรับ จึงเกิดไอออนบวกเพิ่มขึ้นบริเวณแผ่นรองรับ ซึ่งเป็นผลให้พลาสมาจะถูกกักเก็บไว้ได้น้อยลงในบริเวณผิวเป้าแต่จะมีขนาดเพิ่มขึ้นโดยมีทิศทางไปยังแผ่นรองรับ ซึ่งเป็นผลให้กระแสไอออนมีค่าสูง โดยได้รับจากพลาสมาที่เกิดขึ้นโดยวิน โควส์และซาวิไวด์ และกลุ่มนักวิจัยที่ทำการวิจัยเกี่ยวกับเรื่องนี้ได้แสดงให้เห็นต่อมาว่าที่แผ่นรองรับมีความหนาแน่นของกระแสไอออน 5 มิลลิแอมป์ต่อตารางเมตรและมากกว่านั้น ซึ่งอยู่ในระดับที่มีปริมาณสูงกว่ากรณีแมกนีตรอนแบบสมมาตร และเป็นการแสดงให้เห็นว่าแมกนีตรอนแบบไม่สมมาตร

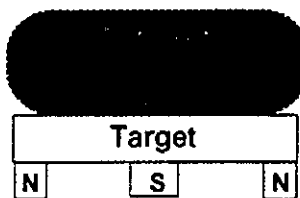
เอกสารนี้เป็นเอกสารที่สงวนไว้สำหรับการใช้งานเพื่อการศึกษาเท่านั้น ไม่อนุญาตให้นำไปใช้ประโยชน์ด้านการค้า ไม่ว่ากรณีใดๆทั้งสิ้น อีกทั้งห้ามมิให้ดัดแปลงเนื้อหา และต้องอ้างอิงถึงเจ้าของเอกสารทุกครั้งที่มีการนำไปใช้

ประเภทที่ 1 เป็นแหล่งกำเนิดไอออนที่มีประสิทธิภาพมากและเป็นที่ยอมรับกันอย่างกว้างขวางในการเคลือบฟิล์ม โดยวิธีสปัตเตอร์ และนอกจากนี้กระแสไอออนที่แผ่นรองรับยังเป็นสัดส่วนโดยตรงกับกระแสที่เป้า และอัตราการเคลือบเป็นสัดส่วนโดยตรงกับกระแสที่เป้า ผลลัพธ์ก็คืออัตราส่วนของไอออนต่ออะตอมที่แผ่นรองรับยังมีค่าคงที่ตามอัตราการเคลือบที่เพิ่มขึ้น และการเคลือบฟิล์มที่หนาแน่นโดยมีค่ากระแสไอออนต่อพื้นที่สูง ซึ่งมีค่ามากกว่า 2 มิลลิแอมป์ต่อตารางเซนติเมตร ของพลังงานไอออนที่ค่อนข้างต่ำ โดยมีค่าน้อยกว่า 100 อิเล็กตรอน โวลต์ เป็นที่พึงปรารถนา โดยปราศจากการนำไปสู่ความเค้นที่มากกว่าปกติ (excessive stress) และความเค้นภายใน (intrinsic stress) ซึ่งทำได้โดย แมกนีตรอนแบบไม่สมมาตรประเภทที่ 1



ภาพที่ 2.35 ลักษณะของแมกนีตรอนแบบไม่สมมาตรประเภทที่ 1

สำหรับในกรณีแม่เหล็กตรงกลางมีความเข้มของสนามแม่เหล็กมากกว่าแม่เหล็กด้านนอก ในกรณีนี้เส้นแรงแม่เหล็กส่วนหนึ่งจะเชื่อมปิดระหว่างแม่เหล็กตรงกลางและแม่เหล็กด้านนอก และเส้นแรงแม่เหล็กส่วนที่เหลือจะมีทิศทางไปยังแผ่นผนังของภาชนะสุญญากาศ ซึ่งทิศทางของอิเล็กตรอนและพลาสมาจะห่างไปจากแผ่นรองรับ เป็นผลให้ความหนาแน่นของพลาสมาในบริเวณแผ่นรองรับมีค่าต่ำซึ่งน้อยกว่า 1 มิลลิแอมป์ต่อตารางเซนติเมตร การออกแบบในลักษณะนี้จะไม่เป็นที่นิยมใช้ เพราะการให้ผลของกระแสไอออนต่ำที่แผ่นรองรับ



ภาพที่ 2.36 แสดงลักษณะของแมกนีตรอนแบบไม่สมมาตรประเภทที่ 2

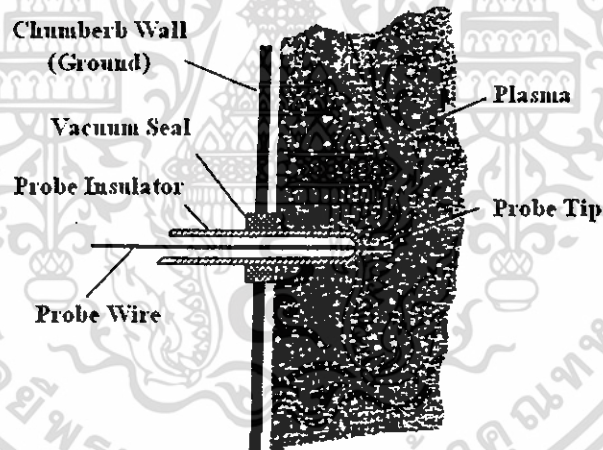
เอกสารนี้เป็นเอกสารที่สงวนไว้สำหรับการใช้งานเพื่อการศึกษาเท่านั้น ไม่อนุญาตให้นำไปใช้ประโยชน์ด้านการค้า ไม่ว่ากรณีใดๆทั้งสิ้น อีกทั้งห้ามมิให้ดัดแปลงเนื้อหา และต้องอ้างอิงถึงเจ้าของเอกสารทุกครั้งที่มีการนำไปใช้

2.15 คุณสมบัติทางพลาสมา (งามนิตย์, 2558; สุรสิงห์, 2545)

2.15.1 หัววัดลางมัวร์

หัววัดลางมัวร์เป็นขั้วไฟฟ้าที่ทำจากโลหะที่ปกคลุมด้วยฉนวน ยกเว้นที่ปลายหัววัดที่สัมผัสกับพลาสมา หัววัดทำมาจากโลหะที่มีจุดหลอมเหลวสูงคั่งเช่น ทังสเตน โมลิบดีนัม หรือแพททินัม โดยจะใช้หัววัดลางมัวร์ในการวิเคราะห์พลาสมา ซึ่งเหมาะสำหรับการวิเคราะห์พารามิเตอร์ของพลาสมาเย็น โดยใช้ในการตรวจสอบความหนาแน่นของพลาสมา (n) อุณหภูมิของอิเล็กตรอน (T_e) ศักย์ของพลาสมา (V_p) และศักย์ลอย (floating potential; V_f)

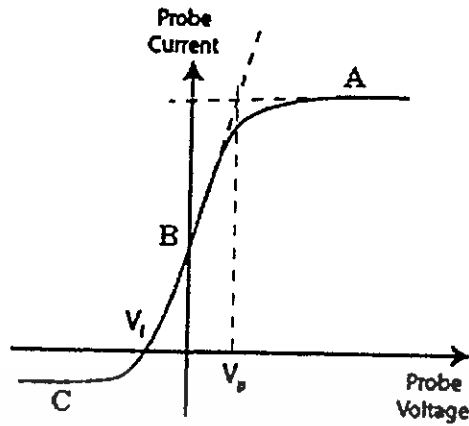
ในการใช้หัววัดลางมัวร์จะดำเนินโดยการจ่ายความต่างศักย์ที่สามารถปรับค่าได้จากภายนอกให้กับหัววัดที่ปลายอีกด้านหนึ่งถูกสอดเข้าไปในพลาสมา ดังแสดงในภาพที่ 2.37 เมื่อปลายของหัววัดสัมผัสกับพลาสมาจะแสดงให้เห็นถึงลักษณะเฉพาะของกระแสและความต่างศักย์ที่เกิดการเปลี่ยนแปลงขึ้นที่หัววัดดังแสดงในภาพที่ 2.38 ซึ่งนำมาใช้วิเคราะห์ตัวแปรของพลาสมา สำหรับความต่างศักย์ที่จ่ายให้กับหัววัดจะมีลักษณะค่อเนื่องคล้ายรูปร่างฟันปลา (saw tooth-shaped) ในกรณีหัววัดเดี่ยวลางมัวร์ความต่างศักย์ที่จ่ายให้กับหัววัดจะเทียบกับผนังของภาชนะสุญญากาศ



ภาพที่ 2.37 หัววัดเดี่ยวลางมัวร์ที่สอดเข้าไปในพลาสมา

2.17.2 ลักษณะเฉพาะของกระแสและความต่างศักย์

ในการใช้หัววัดเดี่ยวลางมัวร์วิเคราะห์พารามิเตอร์ของพลาสมา จะจ่ายความต่างศักย์ให้กับหัววัด โดยที่ปลายอีกด้านหนึ่งของหัววัดสัมผัสกับพลาสมา ลักษณะเฉพาะของกระแสและความต่างศักย์ที่หัววัดจะถูกแสดงออกมา ซึ่งมีลักษณะดังแสดงในภาพที่ 2.38



ภาพที่ 2.38 แผนภาพลักษณะเฉพาะของกระแสกับความต่างศักย์

เมื่อความต่างศักย์ของหัววัดมีค่าเท่ากับกับศักย์ของพลาสมาที่ตำแหน่ง V_p ซึ่งไม่มีสนามไฟฟ้าอยู่รอบๆ หัววัด ตำแหน่งนี้จึงไม่เกิดพลาสมาซีท อิเล็กตรอนและไอออนจะเคลื่อนย้ายไปยังหัววัด โดยกระแสอิเล็กตรอนจะสะสมที่หัววัดมากกว่ากระแสของไอออนที่ตำแหน่ง V_p กระแสจะมีค่า

$$I_p = \frac{1}{4} e A n_c \left(\frac{8kT_c}{\pi m_c} \right)^{\frac{1}{2}} \quad (2.118)$$

เมื่อความต่างศักย์ของหัววัดมีค่าเพิ่มขึ้นมากกว่าตำแหน่ง V_p ในบริเวณ A จะเข้าสู่บริเวณกระแสอิเล็กตรอนอิมิตัว (I_{sc})

เมื่อความต่างศักย์ของหัววัดมีค่าลดต่ำกว่าตำแหน่ง V_p ในบริเวณ B อิเล็กตรอนจะถูกผลักออกจากหัววัดเพิ่มขึ้น มีเพียงแต่ไอเล็กตรอนที่มีพลังงานเพียงพอที่จะสามารถเคลื่อนที่ไปยังหัววัด กระแสอิเล็กตรอนจะมีค่า

$$I_c = e A n_c \left(\frac{kT_c}{2\pi m_c} \right)^{\frac{1}{2}} \exp\left(\frac{-e(V_p - V)}{kT_c} \right) \quad (2.119)$$

เมื่อความต่างศักย์ของหัววัดลดลงจนมาอยู่ที่ตำแหน่งของศักย์ลอย (V_p) กระแสอิเล็กตรอนและกระแสไอออนที่หัววัดจะมีค่าเท่ากัน และกระแสรวมที่หัววัดมีค่าเป็นศูนย์

เมื่อความต่างศักย์ของหัววัดมีค่าต่ำกว่าตำแหน่ง V_p ในบริเวณนี้จะมีสนามไฟฟ้าอยู่รอบๆ หัววัดและจะสร้างพลาสมาซีทขึ้นมา อิเล็กตรอนจะถูกผลักออกไปจากหัววัดส่วนไอออนซึ่งเคลื่อนที่แบบสุ่มผ่านขอบซีทจะถูกสะสมไว้ที่หัววัด และเข้าสู่บริเวณกระแสไอออนอิมิตัว (I_{is}) ในบริเวณ C โดยกระแสไอออนจะมีค่า

$$I_i = -\frac{1}{2} e A n_i \left(\frac{kT_c}{m_i} \right)^{\frac{1}{2}} \quad (2.120)$$

เอกสารนี้เป็นเอกสารที่สงวนไว้สำหรับการใช้งานเพื่อการศึกษาเท่านั้น ไม่อนุญาตให้นำไปใช้ประโยชน์ด้านการค้า ไม่ว่ากรณีใดๆทั้งสิ้น อีกทั้งห้ามมิให้ดัดแปลงเนื้อหา และต้องอ้างอิงถึงเจ้าของเอกสารทุกครั้งที่มีการนำไปใช้

2.15.2.1 อุณหภูมิอิเล็กตรอน (T_e)

เมื่อหาอัตราการเปลี่ยนแปลงลอการิทึมของกระแสอิเล็กตรอนในสมการที่ (2.117) ก็จะสามารถทำการวิเคราะห์หาค่าออกมาได้ดังนี้

$$\frac{d \ln I_e}{dV} = \frac{e}{kT_e} \quad (2.121)$$

หรือจะหาค่า จากการรวมสมการที่ (2.119) สำหรับกระแสอิเล็กตรอนและสมการที่ (2.120) สำหรับกระแสไอออน ซึ่งจะได้ว่า

$$I = -\frac{1}{2} e A n_i \left(\frac{kT_e}{m_i} \right)^{\frac{1}{2}} + \frac{1}{4} e A n_e \left(\frac{8kT_e}{\pi m_e} \right)^{\frac{1}{2}} \exp\left(\frac{-e(V_p - V)}{kT_e} \right) \quad (2.122)$$

จากการแจกแจงความเร็วอิเล็กตรอนของแมกเวลล์-โบลซ์มันน์ ค่า $n_i = n_e = n$ จะได้ว่า

$$I = \frac{1}{2} e A n \left(\frac{kT_e}{m_i} \right)^{\frac{1}{2}} \left[-1 + \left(\frac{2m_i}{\pi m_e} \right)^{\frac{1}{2}} \exp\left(\frac{-e(V_p - V)}{kT_e} \right) \right] \quad (2.123)$$

ที่ตำแหน่ง V_f กระแสที่หัววัดจะมีค่าเป็นศูนย์ ($I=0$)

$$I=0 = \frac{1}{2} e A n \left(\frac{kT_e}{m_i} \right)^{\frac{1}{2}} \left[-1 + \left(\frac{2m_i}{\pi m_e} \right)^{\frac{1}{2}} \exp\left(\frac{e(V_f - V_p)}{kT_e} \right) \right] \quad (2.124)$$

จะได้ว่า

$$\frac{kT_e}{e} = \frac{2(V_p - V_f)}{\ln\left(\frac{2m_i}{\pi m_e} \right)} \quad (2.125)$$

หน่วยของ kT_e/e คือโวลต์ ดังนั้น สามารถหา kT_e ได้ในหน่วยอิเล็กตรอน โวลต์

2.15.2.2 ความหนาแน่นพลาสมา

ความหนาแน่นของอิเล็กตรอน (n_e) และความหนาแน่นของไอออน (n_i) ที่อยู่ในสถานะเป็นกลางทางไฟฟ้าของพลาสมา จะมีค่าเท่ากับ $n_e \approx n_i \approx n_p$ โดย n_p คือความหนาแน่นของพลาสมา (n_p) โดยสามารถหาค่าความหนาแน่นพลาสมาได้จากสมการ

เอกสารนี้เป็นเอกสารที่สงวนไว้สำหรับการใช้งานเพื่อการศึกษาเท่านั้น ไม่อนุญาตให้นำไปใช้ประโยชน์ด้านการค้า ไม่ว่ากรณีใดๆทั้งสิ้น อีกทั้งห้ามมิให้ดัดแปลงเนื้อหา และต้องอ้างอิงถึงเจ้าของเอกสารทุกครั้งที่มีการนำไปใช้

$$n_p = \frac{I_{is}}{0.6Ae} \left(\frac{m_i}{kT_c} \right)^{\frac{1}{2}} \quad (2.126)$$

โดย A คือ พื้นที่ของหัววัดที่สัมผัสกับพลาสมา

I_{is} คือ กระแสไอออนอิมิต์

m_i คือ มวลของไอออน

2.15.2.3 ผลของสนามแม่เหล็ก

ลักษณะเฉพาะของกระแสกับความต่างศักย์ที่ได้จากหัววัดอยู่ในกรณีที่มีการเคลื่อนที่ของอนุภาคในพลาสมาถูกควบคุมด้วยสนามไฟฟ้าเพียงอย่างเดียว ถ้าสนามแม่เหล็กถูกนำเข้ามาในพลาสมา อิเล็กตรอนและไอออนจะไม่เคลื่อนที่เป็นเส้นตรงตามทิศทางของสนามไฟฟ้า แต่จะเคลื่อนที่เป็นวงกลมเนื่องจากอิทธิพลของสนามแม่เหล็ก โดยการเคลื่อนที่เป็นวงกลมรอบเส้นแรงแม่เหล็กด้วยรัศมีลาร์มอร์ $r = mv_{\perp}/eB$ เป็นผลให้การเคลื่อนที่ของอนุภาคข้ามผ่านเส้นแรงแม่เหล็ก จะถูกควบคุมอย่างรุนแรง ในขณะที่การเคลื่อนที่ตามเส้นแรงแม่เหล็กแทบจะไม่มีผลกระทบ โดยผลรวมของสนามแม่เหล็กสามารถละลายได้ในกรณีที่ $r \gg a$ เมื่อ a คือ ขนาดของหัววัด

เนื่องจากรัศมีลาร์มอร์ของอิเล็กตรอนมีค่าน้อยกว่าของไอออนด้วยอัตราส่วนของ m_e/m_i ดังนั้นอิเล็กตรอนจะได้รับผลกระทบจากสนามแม่เหล็กมากกว่าไอออน เพราะว่าโดยทั่วไป $r_{Li} > a$ กระแสไอออนอิมิต์แทบจะไม่ได้รับผลกระทบจากสนามแม่เหล็ก แต่ในทางกลับกัน กระแสอิเล็กตรอนอิมิต์ที่ถูกวัดโดยหัววัดที่ขนานกับสนามแม่เหล็กมีค่าลดลงอย่างมาก และกระแสอิเล็กตรอนอิมิต์ที่วัดโดยหัววัดที่ตั้งฉากกับสนามแม่เหล็ก กระแสอิเล็กตรอนอิมิต์จะได้รับผลกระทบน้อยมาก

บทที่ 3

วิธีการดำเนินงานวิจัย

ในงานวิจัยนี้มีจุดประสงค์ที่จะศึกษาสมบัติของสิ่งประดิษฐ์รอยต่อวิวิธพันธุ์ของฟิล์มบางของสารกึ่งตัวนำ n-CdS/p-CuO ซึ่งเตรียมโดยการเคลือบฟิล์มบางของสารกึ่งตัวนำ CuO โดยวิธีรีแอคทีฟดีซีแมกนีตรอนสเปคเตอรिंग ลงบนฟิล์มบางของสารกึ่งตัวนำ CdS ซึ่งได้เคลือบไว้บนแผ่นฐานรองรับที่เป็นกระจก FTO ดังนั้นจึงต้องเริ่มต้นจากการหาเงื่อนไขการเตรียมฟิล์มบางของสารกึ่งตัวนำ CdS เพื่อเคลือบบนแผ่นฐานรองรับที่เป็นกระจกสไลด์โดยวิธีระเหยสารเคมีด้วยความร้อนภายในระบบสุญญากาศ และหาเงื่อนไขการเตรียมฟิล์มบางของสารกึ่งตัวนำ CuO เพื่อเคลือบบนแผ่นฐานรองรับที่เป็นกระจกสไลด์โดยวิธีรีแอคทีฟดีซีแมกนีตรอนสเปคเตอรिंग จากนั้นจึงศึกษาสมบัติต่างๆ ทางฟิสิกส์ของฟิล์มบางของสารกึ่งตัวนำ CuO และ CdS ซึ่งได้แก่การศึกษาโครงสร้างผลึกด้วยวิธีการเลี้ยวเบนของรังสีเอกซ์ ศึกษาการส่งผ่านแสงด้วยเครื่องสเปกโตรโฟโตมิเตอร์และศึกษาสมบัติทางไฟฟ้าโดยการวัดความต้านทานแผ่นและปรากฏการณ์ฮอลล์ เมื่อได้เงื่อนไขการเตรียมฟิล์มบาง CdS และ CuO ที่เหมาะสมแล้วจึงนำเงื่อนไขเหล่านี้ไปประดิษฐ์เป็นรอยต่อวิวิธพันธุ์ของฟิล์มบางของสารกึ่งตัวนำ n-CdS/p-CuO ต่อไป

3.1 วิธีการทดลองและเครื่องมือการวิจัย (งามนิศย์, 2545; ฐิตินัย, 2546; ฐิตินัย, 2549; ฐิตินัย, 2550; งามนิศย์, 2558; งามนิศย์, 2551)

3.1.1 อุปกรณ์ที่ใช้ในการเตรียมแผ่นฐานรองรับที่เป็นกระจกสไลด์

- สารตั้งต้นที่ใช้ประกอบไปด้วย

อะซีโตน (CH_3COOH)

เอทานอล ($\text{C}_2\text{H}_5\text{OH}$)

น้ำปอดคประจุ (DI water)

- แผ่นกระจกสไลด์ 12 x 25 มิลลิเมตร

- ปีกเกอร์ขนาด 200 มิลลิเมตร

- อ่างอัลตราโซนิก

3.1.2 อุปกรณ์ที่ใช้ในการเตรียมฟิล์มบางของสารกึ่งตัวนำของ CuO ที่เตรียมโดยวิธีรีแอคทีฟดีซีแมกนีตรอนสเปคเตอรिंग

ซีแมกนีตรอนสเปคเตอรिंग

- กระจกสไลด์ใช้เป็นแผ่นฐานรองรับฟิล์มบาง

- อะซีโตน (CH_3COOH)

- ถ้ำลิสำหรับการเข้คทำความสะอาด

- เป้าคอปเปอร์ (Cu)

เอกสารนี้เป็นเอกสารที่สงวนไว้สำหรับการใช้งานเพื่อการศึกษาเท่านั้น ไม่อนุญาตให้นำไปใช้ประโยชน์ด้านการค้า ไม่ว่ากรณีใดๆทั้งสิ้น อีกทั้งห้ามมิให้ดัดแปลงเนื้อหา และต้องอ้างอิงถึงเจ้าของเอกสารทุกครั้งที่มีการนำไปใช้

- เครื่องสเปกโตรมิเตอร์

3.1.3 อุปกรณ์ที่ใช้ในการศึกษาสมบัติทางด้านฟิสิกส์บางประการของฟิล์มบางที่เตรียมได้

3.1.3.1 อุปกรณ์ที่ใช้ในการตรวจสอบโครงสร้างผลึกของฟิล์มบางโดยการเลี้ยวเบนของรังสีเอกซ์

ในการศึกษาโครงสร้างของผลึกของฟิล์มบาง โดยการเลี้ยวเบนของรังสีเอกซ์ด้วยเครื่องเอกซ์เรย์ดิฟแฟร็กโตมิเตอร์ ยี่ห้อ Bruker รุ่น D8 Advance รังสีเอกซ์ย่าน Cu K_α มีความยาวคลื่น 1.5418 อังสตรอม ซึ่งใช้กระแส 30 มิลลิแอมแปร์และความต่างศักย์ 25 กิโลโวลต์



ภาพที่ 3.1 ภาพถ่ายเครื่องเอกซ์เรย์ดิฟแฟร็กโตมิเตอร์ ยี่ห้อ Bruker รุ่น D8 Advance

3.1.3.2 อุปกรณ์ที่ใช้ในการวัดการส่งผ่านทางแสงโดยใช้เครื่องสเปกโตรโฟโตมิเตอร์

ในการศึกษาการส่งผ่านแสงของฟิล์มบางที่เตรียมได้นั้นใช้เครื่องสเปกโตรโฟโตมิเตอร์ ยี่ห้อ Thermo electron corporation ($\text{He} \lambda \text{ ios } \alpha$) ความยาวคลื่นแสงในช่วง 200-1,000 นาโนเมตร

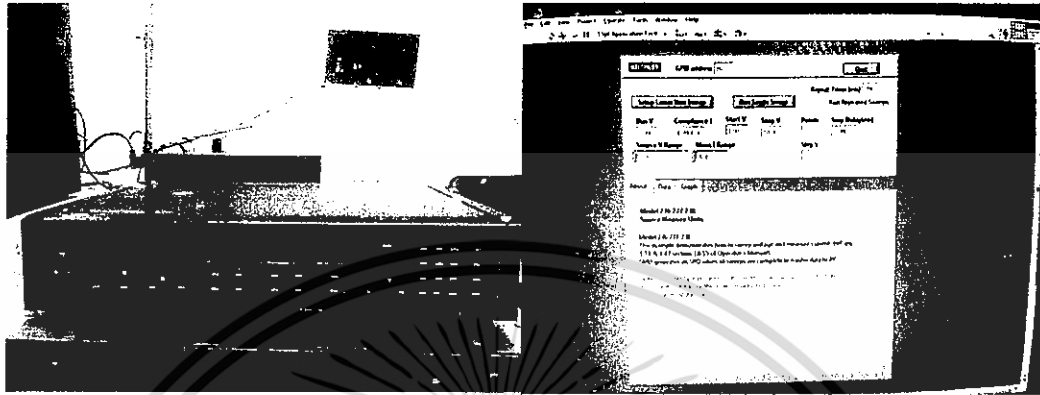


ภาพที่ 3.2 ภาพถ่ายเครื่อง UV-VIS ยี่ห้อ Thermo electron corporation รุ่น ($\text{He} \lambda \text{ ios } \alpha$)

เอกสารนี้เป็นเอกสารที่สงวนไว้สำหรับการใช้งานเพื่อการศึกษาเท่านั้น เมื่อนำไปใช้ประโยชน์ด้านการค้าไม่ว่ากรณีใดๆทั้งสิ้น อีกทั้งห้ามมิให้ดัดแปลงเนื้อหา และต้องอ้างอิงถึงเจ้าของเอกสารทุกครั้งที่มีการนำไปใช้

3.1.3.3 อุปกรณ์ที่ใช้ในการวัดค่าความต้านทานแผ่น

- อิเล็กทรอนิกส์ ยี่ห้อ Keithley รุ่น 236
- โปรแกรม Lab View



ภาพที่ 3.3 ภาพถ่ายอิเล็กทรอนิกส์ ยี่ห้อ Keithley รุ่น 236 และซอฟต์แวร์ที่ใช้วัดค่าความต้านทานแผ่น

3.1.3.4 อุปกรณ์ที่ใช้ในการวัดค่าสภาพนำไฟฟ้าเชิงแสง

- อิเล็กทรอนิกส์ ยี่ห้อ Keithley รุ่น 236
- หลอดฮาโลเจนชนิด ELH (120 โวลต์, 300 วัตต์)
- โปรแกรม Lab View

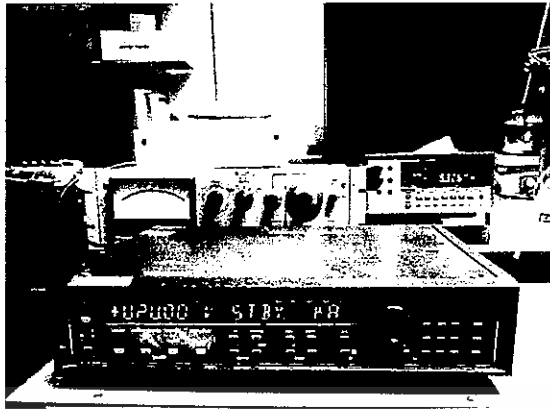


ภาพที่ 3.4 ภาพถ่ายอิเล็กทรอนิกส์ ยี่ห้อ Keithley รุ่น 236 และซอฟต์แวร์ที่ใช้วัดสภาพนำไฟฟ้าเชิงแสง

3.1.3.5 อุปกรณ์ที่ใช้ในการวัดปรากฏการณ์ฮอลล์

- อิเล็กทรอนิกส์ ยี่ห้อ Keithley รุ่น 236
- เครื่อง FLUKE 8808A (5-1/2 DIGIT MULTIMETER)
- สนามแม่เหล็ก 4,600 เกาส์
- อิเล็กทรอนิกส์ ยี่ห้อ Keithley รุ่น 610

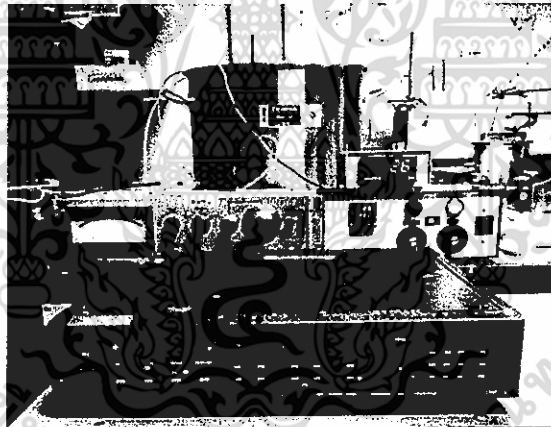
เอกสารนี้เป็นเอกสารที่สงวนไว้สำหรับการใช้งานเพื่อการศึกษาเท่านั้น ไม่อนุญาตให้นำไปใช้ประโยชน์ด้านการค้า ไม่ว่ากรณีใดๆทั้งสิ้น อีกทั้งห้ามมิให้ดัดแปลงเนื้อหา และต้องอ้างอิงถึงเจ้าของเอกสารทุกครั้งที่มีการนำไปใช้



ภาพที่ 3.5 ภาพถ่ายอุปกรณ์ที่ใช้วัดปรากฏการณ์ฮอลล์

3.1.3.6 อุปกรณ์ที่ใช้ในการวัดความต้านทานแผ่นที่อุณหภูมิสูง

- อิเล็กโตรมิเตอร์ ยี่ห้อ Keithley รุ่น 236
- อิเล็กโตรมิเตอร์ ยี่ห้อ Keithley รุ่น 610
- หม้อ ยี่ห้อ ZEBRA ขนาดเส้นผ่านศูนย์กลาง 40 เซนติเมตร และสูง 40 เซนติเมตร
- เครื่องวัดอุณหภูมิ



ภาพที่ 3.6 ภาพถ่ายอุปกรณ์ที่ใช้ในการวัดความต้านทานของฟิล์มบางที่อุณหภูมิสูงกว่าอุณหภูมิห้อง

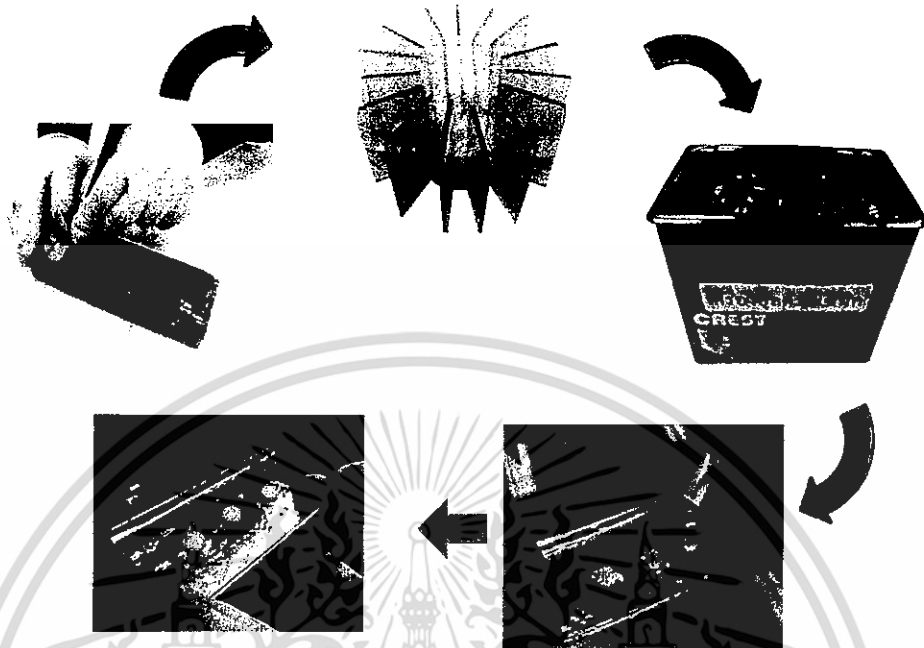
3.2 ขั้นตอนการเตรียมฟิล์มบางของสารกึ่งตัวนำของ CuO โดยวิธีรีแอ็คทีฟดีซีแมกนีตรอน สเป็คเตอริง

3.2.1 การเตรียมแผ่นฐานรองรับที่เป็นกระจกสไลด์

1. นำแผ่นกระจกสไลด์ไปทำความสะอาดด้วยน้ำยาล้างจาน
2. ล้างกระจกสไลด์ด้วยอะซิโตนในอ่างอัลตราโซนิกเป็นเวลา 10 นาทีจำนวน 1 ครั้ง
3. ล้างกระจกสไลด์ด้วยเอทานอลในอ่างอัลตราโซนิกเป็นเวลา 10 นาทีจำนวน 1 ครั้ง
4. ล้างแผ่นกระจกสไลด์ในน้ำปอดคประจุในอ่างอัลตราโซนิกเป็นเวลา 10 นาทีจำนวน 3 ครั้งเป่าให้แห้ง

เอกสารนี้เป็นเอกสารที่สงวนไว้สำหรับการใช้งานเพื่อการศึกษาเท่านั้น ไม่อนุญาตให้นำไปใช้ประโยชน์ด้านการค้า ไม่ว่าจะกรณีใดๆทั้งสิ้น อีกทั้งห้ามมิให้ดัดแปลงเนื้อหา และต้องอ้างอิงถึงเจ้าของเอกสารทุกครั้งที่มีการนำไปใช้

5. นำแผ่นกระจกสไลด์ไปอบในเตาที่มีอุณหภูมิประมาณ 95 องศาเซลเซียส เป็นเวลา 30 นาที



ภาพที่ 3.7 ขั้นตอนการเตรียมแผ่นฐานรองรับที่เป็นกระจกสไลด์

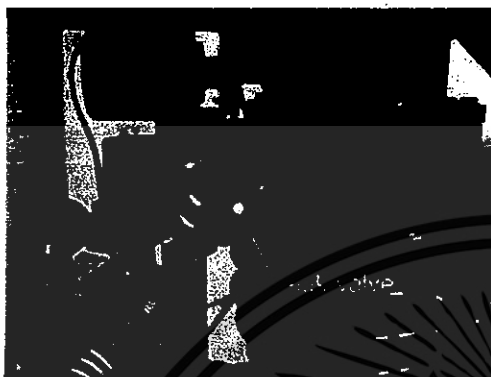
3.2.2 การเตรียมฟิล์มบางของโลหะคอปเปอร์โดยวิธีดีซีแมกนีตรอนสปัตเตอริง (งามนิศย์, 2558)

ในการเตรียมฟิล์มบางของโลหะคอปเปอร์โดยวิธีดีซีแมกนีตรอนสปัตเตอริงมีขั้นตอนดังนี้

1. ที่ผู้ทำความเย็นของระบบน้ำหล่อเย็น ดึงสวิตช์ปั๊มคอมเพรสเซอร์ (compressor) ขึ้น เพื่อทำความเย็นของน้ำรอเอาไว้ แต่ยังไม่ต้องดึงสวิตช์ปั๊มน้ำ (WATER PUMP) ขึ้น
2. ชั่งมวลของแผ่นรองรับ เพื่อใช้คำนวณหาความหนาของฟิล์มบางและอัตราการเคลือบ (ทำในกรณีที่ต้องการคำนวณความหนาของฟิล์มและอัตราการเคลือบฟิล์ม หากไม่ต้องการสามารถข้ามขั้นตอนนี้ไปได้)
3. ขัดผิวหน้าเป้าให้เรียบด้วยกระดาษทรายเบอร์ละเอียด เพื่อลดปัญหาการอาร์ค
4. ทำความสะอาดหัวแมกนีตรอนเพื่อป้องกันเศษผงที่ติดอยู่ระหว่างหัวแมกนีตรอนและกราวด์ชิลด์ (โลหะทรงกระบอกมีรูตรงกลางซึ่งครอบหัวแมกนีตรอนและเป้าอยู่) และสาเหตุอื่นที่จะทำให้เกิดการอาร์คขึ้นได้
5. ดัดตั้งเป้าคอปเปอร์เข้ากับหัวแมกนีตรอน จากนั้นครอบด้วยกราวด์ชิลด์แล้วปรับระยะห่างระหว่างชัตเตอร์และกราน์วชิลด์ประมาณ 3 เซนติเมตร ยกฝาบนห้องสุญญากาศปิดเข้ากับตัวห้องสุญญากาศให้เรียบร้อย

เอกสารนี้เป็นเอกสารที่สงวนไว้สำหรับการใช้งานเพื่อการศึกษาเท่านั้น ไม่อนุญาตให้นำไปใช้ประโยชน์ด้านการค้า ไม่ว่ากรณีใดๆทั้งสิ้น อีกทั้งห้ามมิให้ดัดแปลงเนื้อหา และต้องอ้างอิงถึงเจ้าของเอกสารทุกครั้งที่มีการนำไปใช้

6. ปรับระยะระหว่างฐานรองและเป้าตามที่ต้องการ วางหน้ากากลงบนแท่งยึด วางชิ้นสารตัวอย่างที่ต้องการเคลือบฟิล์มลงบนหน้ากาก ปิดฝาหน้าห้องสุญญากาศพร้อมกับหมุนน็อตทางปลายยึดให้แน่น
7. ปิดวาล์วปล่อยอากาศเข้า (leak valve)



ภาพแสดง leak valve

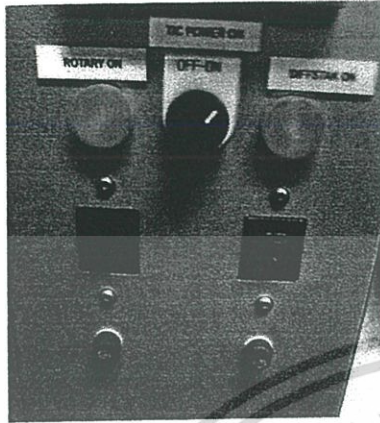


ภาพแสดงคัมมิงค์ shutter ที่อยู่ใน

8. ปิดชัตเตอร์ (กันบั้งคัมมิงค์อยู่ทางด้านบนห้องสุญญากาศ) เพื่อบังเป้าเอาไว้ก่อน
9. ปิดสวิทช์ตรงตำแหน่ง TIC POWER ON ไปที่ตำแหน่ง ON เพื่อเปิดการทำงานมาตรวัดความดัน
10. โยกสวิทช์ตรงตำแหน่ง ROTARY ON ขึ้น เพื่อเปิดการทำงานของปั๊มกล โรตารี (Rotary pump)
11. ทำการเปิดวาล์วหลัง (Backing valve) โดยปรับคันโยกวาล์วไปที่ตำแหน่ง Backing (ดันออกจากตัว) เพื่อสูบอากาศออกจากปั๊มไอฟุ้งกระจาย (Oil diffusion pump) จากนั้นรอประมาณ 5 นาที
12. หลังจากนั้นปิดวาล์วหลังและเปิดวาล์วหยาบ (Roughing valve) โดยโยกวาล์วไปที่ตำแหน่ง roughing (ดึงเข้าหาตัว) เพื่อสูบอากาศออกจากห้องสุญญากาศ จนความดันภายในมีค่าประมาณ 3×10^{-2} ทอร์ (*roughing valve) เป็นการปั๊มอากาศแบบหยาบ ลดความดันในห้องสุญญากาศด้วยปั๊มกล โรตารีอย่างเดียวสำหรับ Backing valve (back up) เป็นการปั๊มอากาศแบบละเอียด ลดความดันในห้องสุญญากาศด้วยปั๊มกล โรตารีและปั๊มไอฟุ้งกระจายไปพร้อมกัน)
13. ปิดวาล์วหยาบและเปิดวาล์วหลังโดยปรับตำแหน่งวาล์วไปที่ backing เพื่อสูบอากาศออกจากห้องสุญญากาศผ่านทางปั๊มไอฟุ้งกระจาย เปิดสวิทช์ WATER PUMP ON ขึ้น เพื่อเริ่มจ่ายน้ำเย็นเพื่อระบายความร้อน จากนั้น โยกสวิทช์ DIFFSTAK ON ขึ้น เพื่อจ่ายไฟให้กับขดลวดความร้อนของปั๊มไอฟุ้งกระจายเพื่อคัมมน้ำมันให้ร้อน ใช้เวลา

เอกสารนี้เป็นเอกสารที่สงวนไว้สำหรับการใช้งานเพื่อการศึกษาเท่านั้น ไม่อนุญาตให้นำไปใช้ประโยชน์ด้านการค้า ไม่ว่าจะกรณีใดๆทั้งสิ้น อีกทั้งห้ามมิให้ดัดแปลงเนื้อหา และต้องอ้างอิงถึงเจ้าของเอกสารทุกครั้งที่มีการนำไปใช้

ประมาณ 15 นาที (จะใช้ไอน้ำมันร้อนไปกวาดเอาโมเลกุลของอากาศออกจากภายในห้องสุญญากาศ)



ภาพแสดงตำแหน่งสวิตช์ ROTARY ON (สำหรับเปิดปั๊มพอลโรตารี) TIC POWER ON (สำหรับเปิดมาตรวัดความดัน) และ DIFFSTAK ON (สำหรับเปิดปั๊มไอฟุ้งกระจาย)



ภาพแสดงการปรับตำแหน่ง backing (หากโยกมาข้างหน้าจะเป็นตำแหน่ง roughing)

14. เมื่อครบ 15 นาที ปรับคันโยกของวาล์วผีเสื้อ (butterfly valve) ไปที่ตำแหน่งเปิด (open) (ดันคันโยกออกจากตัวจนสุด) หากดันคันโยกออกจากตัวตำแหน่งของวาล์วผีเสื้อคือเปิด แต่ถ้าดึงเข้าหาตัวคือปิด



ภาพแสดง butterfly valve ในตำแหน่ง open



ภาพแสดง speedy valve

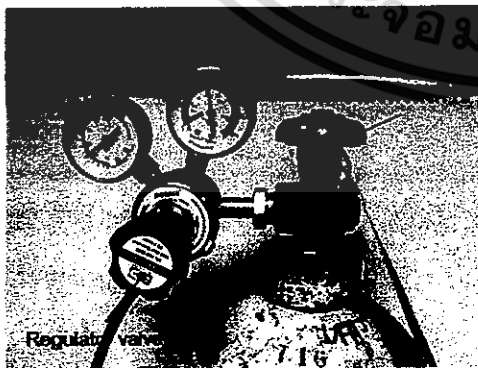
15. เมื่อความดันในห้องสุญญากาศมีค่าอยู่ที่ประมาณ 3×10^{-5} ทอร์ หรือต่ำกว่า จึงเริ่มป้อนก๊าซอาร์กอนเข้าสู่ห้องสุญญากาศ

- พิรามิเกจ (pirani gauge) เป็นมาตรวัดความดันบรรยากาศต่ำ ช่วงการทำงานอยู่ที่ความดันบรรยากาศต่ำถึง 10^{-3} ทอร์
- เพนนิงเกจ (penning gauge) เป็นมาตรวัดความดันต่ำช่วงการทำงานเริ่มจาก 10^{-3} – 10^{-6} ทอร์

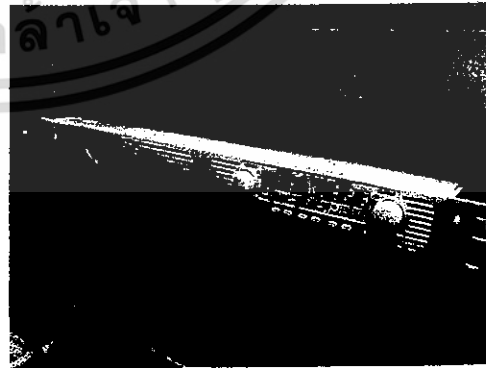
เอกสารนี้เป็นเอกสารที่สงวนไว้สำหรับการใช้งานเพื่อการศึกษาเท่านั้น ไม่อนุญาตให้นำไปใช้ประโยชน์ด้านการค้า ไม่ว่าจะกรณีใดๆทั้งสิ้น อีกทั้งห้ามมิให้ดัดแปลงเนื้อหา และต้องอ้างอิงถึงเจ้าของเอกสารทุกครั้งที่มีการนำไปใช้

16. การป้อนก๊าซอาร์กอนในช่วงแรกทำเพื่อต้องการให้มีก๊าซอาร์กอนในห้องสุญญากาศให้มากที่สุดและใช้ก๊าซอาร์กอนเข้าไปแทนที่โมเลกุลของอากาศที่ยังเหลืออยู่โดยจะทำการป้อนก๊าซแล้วสูบออกจำนวน 3 ครั้ง เรียกกระบวนการนี้ว่า การฟลัชด้วยอาร์กอนมีขั้นตอนดังนี้

- เปิดวาล์วที่หัวถังก๊าซ เปิดวาล์วเรกูเลเตอร์ (Regulator) เปิดสปีดวาล์ว (speedy valve) และเปิดวาล์วเข็ม (needle valve) สำหรับวาล์วเข็มให้เปิดขึ้นนิดหน่อยก็พอในช่วงแรก หมุนทวนเข็มนาฬิกา คือ เปิด (หมุนตามเข็มนาฬิกา คือ ปิด) เพื่อป้อนก๊าซอาร์กอนเข้าสู่ห้องสุญญากาศจนได้ความดันภายในเท่ากับ 6.5 ทอร์ แล้วรอประมาณ 3 นาที
- ปิดสปีดวาล์วแล้วก๊าซภายในห้องสุญญากาศจะถูกสูบออกไปจนความดันลดลงเป็น 3×10^{-5} ทอร์ (สูบอาร์กอนครั้งที่ 1)
- เปิดสปีดวาล์วเพื่อป้อนก๊าซอาร์กอนอีกครั้งจนได้ความดันเท่ากับ 6.5 ทอร์ แล้วรอประมาณ 3 นาที
- ปิดสปีดวาล์วเพื่อสูบก๊าซภายในอีกครั้งจนความดันลดลงเป็น 3×10^{-5} ทอร์ (สูบอาร์กอนครั้งที่ 2)
- เปิดสปีดวาล์วเพื่อป้อนก๊าซอาร์กอนอีกครั้งจนได้ความดันเท่ากับ 6.5 ทอร์ แล้วรอประมาณ 3 นาที
- ปิดสปีดวาล์วเพื่อสูบก๊าซภายในอีกครั้งจนความดันลดลงถึง 3×10^{-5} ทอร์ (สูบอาร์กอนครั้งที่ 3) เสร็จขั้นตอนการฟลัชด้วยอาร์กอน เมื่อสิ้นสุดขั้นตอนนี้จะประมาณได้ว่าภายในห้องสุญญากาศมีเพียงโมเลกุลของก๊าซอาร์กอนเท่านั้น ขั้นตอนต่อไปเป็นการเริ่มจุดพลาสมาขึ้นมา
- เปิดสปีดวาล์วเพื่อป้อนก๊าซอาร์กอนอีกครั้ง โดยควบคุมการป้อนก๊าซผ่านวาล์วเข็มจนความดันภายในมีค่าประมาณ 2×10^{-3} ทอร์



ภาพแสดง Regulator valve และวาล์วหัวถังก๊าซ



ภาพแสดง power supply

17. เปิดสวิตซ์ที่แหล่งจ่ายไฟฟ้ากระแสตรงแรงดันสูง

เอกสารนี้เป็นเอกสารที่สงวนไว้สำหรับการใช้งานเพื่อการศึกษาเท่านั้น ไม่อนุญาตให้นำไปใช้ประโยชน์ด้านการค้า ไม่ว่าจะกรณีใดๆทั้งสิ้น อีกทั้งห้ามมิให้ดัดแปลงเนื้อหา และต้องอ้างอิงถึงเจ้าของเอกสารทุกครั้งที่มีการนำไปใช้

18. กดปุ่ม ON ที่ตัวแหล่งจ่ายไฟฟ้ากระแสตรงแรงดันสูง (ปุ่ม ON เป็นปุ่มสี่เหลี่ยมเล็กๆ อยู่ทางซ้ายมือสุดของเครื่อง)



ภาพแสดงตัวเครื่อง power supply

ปุ่ม ON เครื่องเริ่มทำงาน

19. หมุนปุ่มเพิ่มแรงดันไฟฟ้าไปเรื่อยๆ ช้าๆ จนกระทั่งพลาสมาติด (เมื่อพลาสมาติดจะเห็นเป็นแสงสีน้ำเงินอยู่ในห้องสูญญากาศ) ช่วงที่พลาสมาติดในครั้งแรกชัตเตอร์จะต้องปิดอยู่ เพราะเป็นช่วงที่พลาสมามีสถานะยังไม่เหมาะสมสำหรับการเคลือบฟิล์มบางลงบน



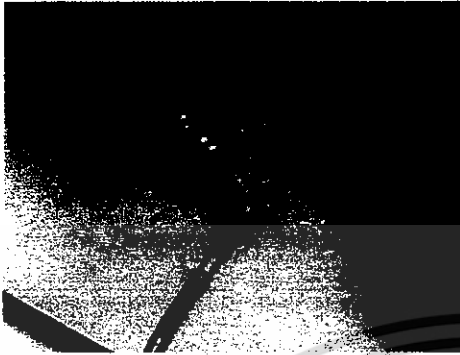
ภาพแสดงพลาสมาที่ติดในครั้งแรก

ฐานรอง เช่น แรงดันไฟฟ้ายังไม่อยู่ในช่วงที่ต้องการ ความดันก๊าซยังไม่นิ่ง และผิวหน้าของเป่ายังไม่สะอาดพอ หากเคลือบลงบนฐานรองที่วางไว้จะส่งผลให้ฟิล์มที่ได้มีคุณภาพไม่ดี มีสีออกไปทางสีดำ มีความต้านทานสูง ดังนั้นเมื่อพลาสมาติดในครั้งแรกจึงต้องนำชัตเตอร์มาบังไว้ก่อน เมื่อพลาสมามีพลังงานและสถานะที่เหมาะสมจึงเปิดชัตเตอร์ออก แล้วทำการเคลือบฟิล์มต่อไป

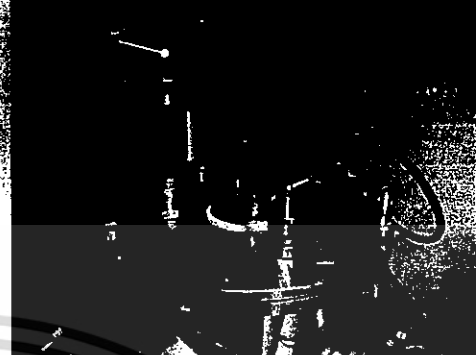
20. เมื่อพลาสมาติดให้ปรับเพิ่มแรงดันไฟฟ้าขึ้นตามที่ต้องการ ซึ่งโดยทั่วไปให้อยู่ในช่วง 350-500 โวลต์ แปรตามค่าสปีดเทอริงยิลด์ของวัสดุแต่ละชนิด (สำหรับเป่าที่เป็นคอปเปอร์จะอยู่ที่ 360-370 โวลต์) จากนั้นปรับความดันก๊าซให้คงที่อยู่ในระดับ 3.6×10^{-3} ทอร์ หรือตามที่ต้องการแรงดันไฟฟ้าหากมากไปจะไม่ส่งผลดีต่อฟิล์มบางที่เคลือบบนฐานรอง เนื่องจากอะตอมของเป่าบางส่วนชนกันเองจนกระเจิงออกไปตกนอกฐานรอง ส่วนกระแสที่แปรไปตามปริมาณของพลาสมาโดยอัตโนมัติ ค่ากระแสที่เครื่อง

เอกสารนี้เป็นเอกสารที่สงวนไว้สำหรับการใช้งานเพื่อการศึกษาเท่านั้น ไม่อนุญาตให้นำไปใช้ประโยชน์ด้านการค้า ไม่ว่ากรณีใดๆทั้งสิ้น อีกทั้งห้ามมิให้ดัดแปลงเนื้อหา และต้องอ้างอิงถึงเจ้าของเอกสารทุกครั้งที่มีการนำไปใช้

แหล่งจ่ายไฟฟ้ากระแสตรงแรงดันสูงอ่านได้นั้นบอกถึงอัตราการเคลือบฟิล์มที่เคลือบลงบนฐานรองว่ามากหรือน้อย



ภาพแสดงวาล์วเข็ม (needle valve) ใช้สำหรับปรับความดันของก๊าซอาร์กอนภายใน chamber แบบลวดเย็บ เมื่อเริ่มเคลือบฟิล์ม จะปรับความดันผ่านวาล์วตัวนี้เพียงวาล์วตัวเดียวเท่านั้น



ภาพแสดงท่อก๊าซ Ar และท่อนำหล่อเย็นสำหรับ target

21. เมื่อความดันก๊าซและแรงดันไฟฟ้าอยู่ที่ค่าที่ต้องการจึงจับเวลาไปอีก 15 นาที เพื่อให้เกิดการสputtering จนกระทั่งผิวหน้าของเป้าสะอาด เรียกขั้นตอนนี้ว่า การเตรียมตัวสputtering (pre sputtering) หลังจากนั้นหมุนเปิดชัตเตอร์ออกเพื่อเริ่มการเคลือบฟิล์มตามเวลาที่ต้องการ ซึ่งต้องจดค่าต่างๆ ที่ใช้เอาไว้สำหรับเป็นตัวเลขอ้างอิง ตัวอย่างเช่น การเคลือบฟิล์มบางทองแดงจะใช้ค่าต่างๆ ดังนี้



ภาพแสดงการเริ่มเคลือบฟิล์ม

แรงดันไฟฟ้า: 360-370 โวลต์

กระแส: 0.08 - 0.09 แอมแปร์

ความดันที่พลาสมาคงสภาพอยู่ได้ 3.6×10^{-3} ทอร์

ระยะระหว่างเป้ากับฐานรองรับ 8-10 เซนติเมตร

เวลาในการเคลือบฟิล์มโลหะคอปเปอร์ประมาณ 6 นาที

22. ในระหว่างการเคลือบฟิล์มจะต้องพยายามปรับค่าแรงดันไฟฟ้า และความดันก๊าซในห้องสุญญากาศให้คงที่ (ปรับความดันก๊าซอาร์กอนผ่านวาล์วเข็มเท่านั้น) เมื่อเคลือบฟิล์มจนได้ความหนาตามเวลาที่ต้องการแล้ว ให้หมุนชัตเตอร์มาที่ตำแหน่งปิดเพื่อบัง

เอกสารนี้เป็นเอกสารที่สงวนไว้สำหรับการใช้งานเพื่อการศึกษาเท่านั้น ไม่อนุญาตให้นำไปใช้ประโยชน์ด้านการค้าไม่ว่ากรณีใดๆทั้งสิ้น อีกทั้งห้ามมิให้ดัดแปลงเนื้อหา และต้องอ้างอิงถึงเจ้าของเอกสารทุกครั้งที่มีการนำไปใช้

- การเคลือบฟิล์ม หมุนลดแรงดันไฟฟ้าลงจนสุด กดปุ่มสี่เหลี่ยมเล็กทางซ้ายของเครื่อง เพื่อหยุดการทำงานของแหล่งจ่ายไฟฟ้ากระแสตรงแรงดันสูงแล้วกดปิดสวิทช์สี่ค่า
23. หยุดการป้อนก๊าซอาร์กอนโดยปิดสปีดวาล์วตามด้วยเรกูเลเตอร์วาล์ว (กดพร้อมกับหมุนเข้า คือ เปิด หมุนออก คือ ปิด) และสุดท้ายให้ปิดวาล์วหัวถังก๊าซ
 24. ปิดวาล์วผีเสื้อ (ดึงคัน โยกเข้าหาตัว)
 25. โยกสวิทช์ตรงตำแหน่ง DIFFSTAK ON ลง เพื่อหยุดการจ่ายไฟให้กับขดลวดความร้อนที่ปั๊มไอฟุ้งกระจาย
 26. ปิดสวิทช์ตรงตำแหน่ง TIC POWER ON ไปที่ตำแหน่ง OFF เพื่อปิดมาตรวัดความดันทั้งหมด
 27. รอประมาณ 20 นาที เพื่อให้ฐานรองมีอุณหภูมิเย็นลง จากนั้นหมุนน็อตหางปลาที่ฝาหน้าห้องสุญญากาศออกให้หมดเหลือไว้แต่น็อตตัวที่เป็นมือจับ (ที่ต้องถอดออกก่อนเนื่องจากว่าเมื่อเปิดลิควาล์ว (leak valve) เพื่อปล่อยอากาศเข้าห้องสุญญากาศ ฝาน้ำจะถูกดันออก หากไม่ถอดน็อตหางปลาออกก่อนเกลียวน็อตจะถูกดันจนแน่นทำให้หมุนน็อตออกยากในภายหลัง) หมุนเปิดลิควาล์วเพื่อปล่อยอากาศเข้าห้องสุญญากาศอย่างช้าๆ แล้วจะได้ยินเสียงอากาศไหลเข้าห้องสุญญากาศสักครู่หนึ่งฝาน้ำจะเค็งออกมาเอง (เสียงคังปึก)
 28. เปิดฝาน้ำออก นำตัวอย่างที่เคลือบเสร็จแล้วออกมาซึ่งมวลแผ่นรองรับหลังการเคลือบ (ทำเมื่อต้องการหาอัตราการเคลือบฟิล์ม) เช็ดทำความสะอาดภายในและฝาน้ำ จากนั้นปิดให้เรียบร้อยสำหรับการทำงานครั้งต่อไป
 29. หลังจากสับสวิทช์ (DIFFSTAK ON) ลงแล้ว 20 นาที จึงปิดปั๊ม โรตารี

3.2.3 วิธีการทำรีแอคทีฟดีซีแมกนีตรอนสเปคเตอรिंग

ในกรณีที่ต้องการจะทำรีแอคทีฟดีซีแมกนีตรอนสเปคเตอรिंगเพื่อให้ได้ฟิล์มคอปเปอร์ออกไซด์ให้ดำเนินการดังต่อไปนี้

1. เมื่อสร้างสภาพโกลด์สซาร์จได้แล้ว จึงทำการปล่อยก๊าซออกซิเจนเข้าสู่ห้องสุญญากาศอย่างช้าๆ โดยอาศัยเครื่องควบคุมการไหลมวลก๊าซยี่ห้อ AALBORG รอกนกระทั่งความดันภายในห้องสุญญากาศอยู่ในระดับ 10^{-3} ทอร์ แล้วจึงเปิดชัตเตอร์เพื่อให้เกิดฟิล์มบางเคลือบบนแผ่นฐานรองรับ
2. บางครั้งจำเป็นต้องปรับอัตราการไหลของก๊าซอาร์กอนด้วยเพื่อให้ความดันภายในห้องสุญญากาศอยู่ในระดับที่ต้องการ ดังนั้นจึงต้องเพิ่มแรงดันไฟฟ้าด้วยเช่นกัน เพื่อให้ได้พลาสมาที่ยาวคลุมแผ่นฐานรองรับ

เอกสารนี้เป็นเอกสารที่สงวนไว้สำหรับการใช้งานเพื่อการศึกษาเท่านั้น ไม่อนุญาตให้นำไปใช้ประโยชน์ด้านการค้าไม่ว่ากรณีใดๆทั้งสิ้น อีกทั้งห้ามมิให้ดัดแปลงเนื้อหา และต้องอ้างอิงถึงเจ้าของเอกสารทุกครั้งที่มีการนำไปใช้

3. เวลาในการทำสปีดเตอร์ต้องไม่ต่ำกว่า 20 นาที ถ้าใช้เวลาน้อยฟิล์มจะบางเกินไป ความต้านทานไฟฟ้าของฟิล์มบางจะสูงถึงเมกะ โอห์มซึ่งเป็นที่ไม่ต้องการ



เอกสารนี้เป็นเอกสารที่สงวนไว้สำหรับการใช้งานเพื่อการศึกษาเท่านั้น ไม่อนุญาตให้นำไปใช้ประโยชน์ด้านการค้า ไม่ว่าจะกรณีใดๆทั้งสิ้น อีกทั้งห้ามมิให้ดัดแปลงเนื้อหา และต้องอ้างอิงถึงเจ้าของเอกสารทุกครั้งที่มีการนำไปใช้

บทที่ 4

ผลการวิจัยและอภิปรายผล

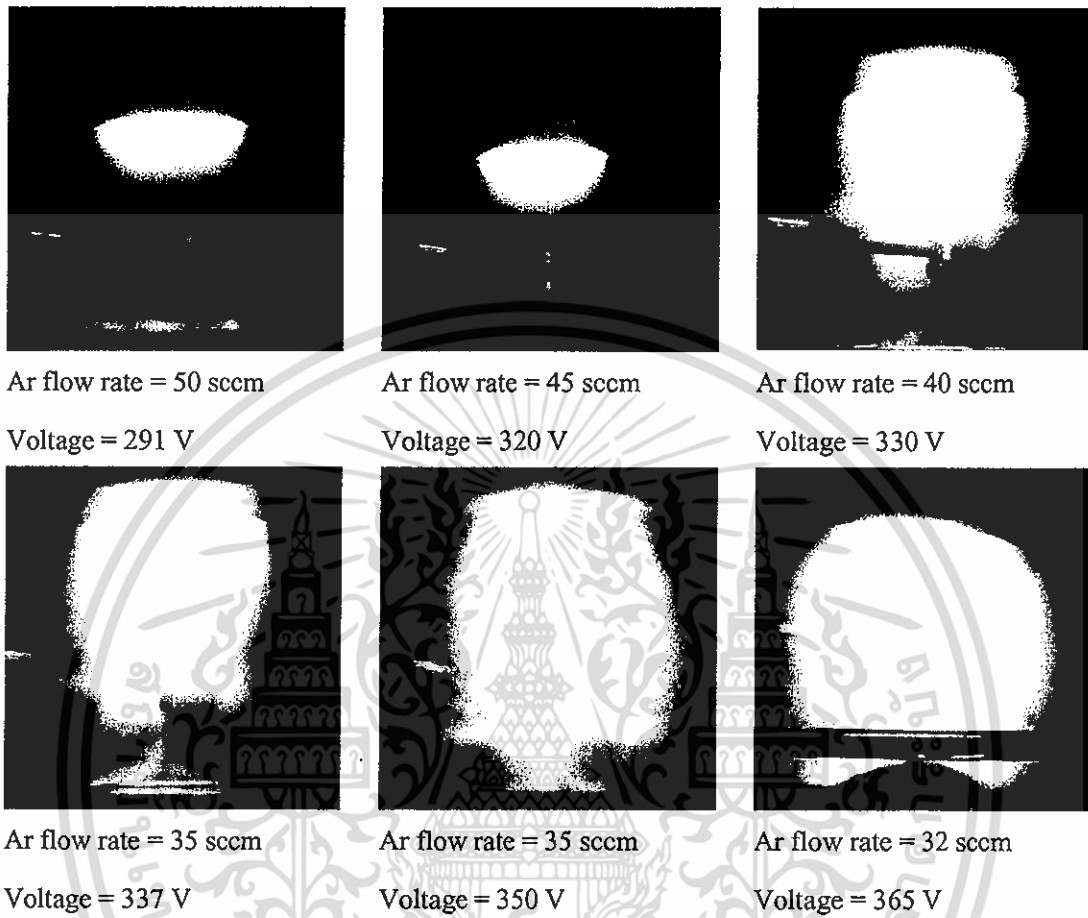
ในงานวิจัยนี้เป็นการศึกษาสมบัติของสิ่งประดิษฐ์รอยต่อวิวิธพันธุ์ของฟิล์มบางของสารกึ่งตัวนำ n-CdS/p-CuO ซึ่งเตรียมโดยการเคลือบฟิล์มบางของสารกึ่งตัวนำ CuO โดยวิธีรีแอ็คทีฟดีซีแมกนีตรอน สเป็คเตอริง ลงบนฟิล์มบางของสารกึ่งตัวนำ CdS ซึ่งได้เคลือบไว้บนแผ่นฐานรองรับที่เป็นกระจก FTO นำสิ่งประดิษฐ์รอยต่อแบบพี-เอ็นมาทำการศึกษาสมบัติทางไฟฟ้า โดยการวัดค่าความต้านทานระหว่าง กระแสไฟฟ้ากับแรงดันไฟฟ้าที่อุณหภูมิห้องและที่อุณหภูมิต่ำในช่วง 10 - 300 เคลวิน และวัดความต้านทานระหว่างค่าความจุไฟฟ้ากับความถี่ในช่วง 20 เฮิรตซ์ ถึง 2 เมกกะเฮิรตซ์ ที่อุณหภูมิในช่วง 25 - 60 องศาเซลเซียส เพื่อศึกษาพฤติกรรมของกัปดักพาหะที่บริเวณผิวเชื่อมต่อของรอยต่อวิวิธพันธุ์ของฟิล์มบางของสารกึ่งตัวนำ n-CdS กับ p-CuO

4.1 ผลของอัตราการไหลของก๊าซอาร์กอนและแรงดันไฟฟ้าระหว่างขั้วอิเล็กโทรดที่มีต่อการไกลดิสชาร์จ

ห้องสุญญากาศที่ใช้เคลือบฟิล์มบางคอปเปอร์ออกไซด์มีรูปร่างเป็นทรงกระบอก เส้นผ่านศูนย์กลางเท่ากับ 25 เซนติเมตร และสูง 30 เซนติเมตร ติดตั้งเป่าทองแดงความบริสุทธิ์สูง (99.99%) เส้นผ่านศูนย์กลาง 5.0 เซนติเมตร ที่ขั้วแคโทด พร้อมภาคจ่ายไฟฟ้ากระแสตรงแรงดันไฟฟ้าสูงสุด 630 โวลต์ การเคลือบจะใช้ก๊าซอาร์กอนความบริสุทธิ์สูง (99.999%) เป็นก๊าซสปัตเตอร์และก๊าซออกซิเจนความบริสุทธิ์สูง (99.999%) เป็นก๊าซไวปฏิกิริยา ปัมสุญญากาศประกอบไปด้วยปั๊มเพอร์โวนาแมนและปั๊มกลโรตารี การจ่ายก๊าซในกระบวนการเคลือบจะควบคุมด้วยเครื่องควบคุมอัตราการไหลมวลก๊าซ (mass flow meter) ยี่ห้อ AALBORG กำหนดให้ระยะห่างระหว่างเป่าสารเคลือบกับแผ่นฐานรองรับเท่ากับ 9 เซนติเมตร ความดันพื้นฐานเท่ากับ 3.0×10^{-5} ทอร์ เริ่มทำการทดลองโดยการให้อัตราการไหลของก๊าซอาร์กอนเท่ากับ 50 ลูกบาศก์เซนติเมตร ความดันของห้องสุญญากาศที่อ่านได้จากเกจพิรานี (Pirani gauge) ในที่นี้จะเรียกว่าความดันตัวบน อ่านได้เท่ากับ 2.3×10^{-1} ทอร์ ส่วนความดันที่อ่านได้จากเกจเพนนิ่ง (Penning gauge) ซึ่งในที่นี้จะเรียกว่าความดันตัวล่าง อ่านได้เท่ากับ 3.0×10^{-3} ทอร์ ทำการเพิ่มแรงดันไฟฟ้าอย่างช้าๆ จนถึง 237 โวลต์ การไกลดิสชาร์จจึงเกิดขึ้น แรงดันไฟฟ้าที่เริ่มทำให้เกิดการดิสชาร์จนี้จะเรียกว่า แรงดันพังทลายทาวน์เซนด์ (Townsend breakdown voltage) การเรืองแสงของพลาสมาให้สีม่วง เมื่อทำการลดอัตราการไหลของก๊าซอาร์กอนลงไปอีก พบว่าถ้าพลาสมาจะริ้วเล็กกลง ดังนั้นจึงต้องเพิ่มแรงดันไฟฟ้าดิสชาร์จเพื่อทำให้ลำพลาสมาพุ่งโตขึ้นและการไกลดิสชาร์จจะคงตัวอยู่ได้ การลดอัตราการไหลของก๊าซอาร์กอนลงก็จะส่งผลให้ความดันภายในห้องสุญญากาศลดลงไปด้วย เมื่อเพิ่มแรงดันไฟฟ้าดิสชาร์จต่อไปอีก สีของการไกลดิสชาร์จจะเป็นสีม่วงที่เข้มขึ้นเรื่อยๆ จนเป็นสีม่วงอมน้ำเงิน อีกทั้งขนาดของการไกลดิสชาร์จจะใหญ่ขึ้นและสว่างมากขึ้น (ลำพลาสมาจะโตขึ้นและ

เอกสารนี้เป็นเอกสารที่สงวนไว้สำหรับการใช้งานเพื่อการศึกษาเท่านั้น ไม่อนุญาตให้นำไปใช้ประโยชน์ด้านการค้า ไม่ว่ากรณีใดๆทั้งสิ้น อีกทั้งห้ามมิให้ดัดแปลงเนื้อหา และต้องอ้างอิงถึงเจ้าของเอกสารทุกครั้งที่มีการนำไปใช้

ยี่ดออกมากขึ้น) ดังแสดงในภาพที่ 4.1 กระแสติสซาร์จจะเพิ่มขึ้นตามแรงดันไฟฟ้า โกลวติสซาร์จที่เพิ่มขึ้นดังแสดงในตารางที่ 4.1



ภาพที่ 4.1 ภาพถ่ายของการ โกลวติสซาร์จเมื่อมีการเปลี่ยนแปลงอัตราการไหลของก๊าซอาร์กอนเข้าห้องสุญญากาศ

เอกสารนี้เป็นเอกสารที่สงวนไว้สำหรับการใช้งานเพื่อการศึกษาเท่านั้น ไม่อนุญาตให้นำไปใช้ประโยชน์ด้านการค้าไม่ว่ากรณีใดๆทั้งสิ้น อีกทั้งห้ามมิให้ดัดแปลงเนื้อหา และต้องอ้างอิงถึงเจ้าของเอกสารทุกครั้งที่มีการนำไปใช้

ตารางที่ 4.1 ค่าพารามิเตอร์ต่างๆ ของการเตรียมฟิล์มบางคอปเปอร์ด้วยวิธีดีซีแมกนีตรอนสเป็คเตอริง

Flow Rate (sccm)	Pressure (torr)	Voltage (V)	Current (A)	Characteristics
50	ควับน = 2.3×10^{-1} คว่ำล่าง = 3.0×10^{-3}	237.2	0.013	แรงดันพังทะลายทาวน์เซนต์ ซึ่งก็คือแรงดันที่จุดคิดพลาสมา
	ควับน = 2.3×10^{-1} คว่ำล่าง = 3.0×10^{-3}	253.9	0.024	พลาสมาสีม่วง
	ควับน = 2.3×10^{-1} คว่ำล่าง = 2.8×10^{-3}	291.0	0.052	พลาสมาสีม่วงเข้ม
	ควับน = 2.4×10^{-1} คว่ำล่าง = 2.9×10^{-3}	300.0	0.059	พลาสมาสีม่วงอมน้ำเงิน
	ควับน = 2.3×10^{-1} คว่ำล่าง = 2.9×10^{-3}	310.0	0.067	พลาสมาสีม่วงอมน้ำเงินมากขึ้น
45	ควับน = 2.0×10^{-1} คว่ำล่าง = 2.1×10^{-3}	320.0	0.068	-
	ควับน = 2.0×10^{-1} คว่ำล่าง = 1.7×10^{-3}	330.0	0.070	-
40	ควับน = 1.7×10^{-1} คว่ำล่าง = 1.4×10^{-3}	330.0	0.065	-
35	ควับน = 1.6×10^{-1} คว่ำล่าง = 1.4×10^{-3}	337.0	0.069	พลาสมาสีน้ำเงินเข้มใหญ่ขึ้น
30	ควับน = 1.4×10^{-1} คว่ำล่าง = 1.2×10^{-3}	340.0	0.071	พลาสมาสีม่วงลดลง
	ควับน = 1.3×10^{-1} คว่ำล่าง = 1.1×10^{-3}	350.0	0.075	พลาสมาสีม่วงอมน้ำเงินลดลง แสงสว่างมากขึ้น
32	ควับน = 1.4×10^{-1} คว่ำล่าง = 9.8×10^{-4}	360.0	0.085	เพิ่มอาร์กอนจาก 30 sccm เป็น 32 sccm พลาสมาสีม่วงอมน้ำเงิน สว่างมากขึ้น
	ควับน = 1.5×10^{-1} คว่ำล่าง = 8.2×10^{-4}	360.0	0.081	-
	ควับน = 1.4×10^{-1} คว่ำล่าง = 7.5×10^{-4}	360.0	0.080	-
	ควับน = 1.5×10^{-1} คว่ำล่าง = 7.2×10^{-4}	360.0	0.080	-
	ควับน = 1.4×10^{-1} คว่ำล่าง = 9.2×10^{-4}	363.0	0.082	พลาสมาสีม่วงสว่างมากขึ้น
	ควับน = 1.4×10^{-1} คว่ำล่าง = 9.2×10^{-4}	365.0	0.085	พลาสมาสว่างมากขึ้น

เอกสารนี้เป็นเอกสารที่สงวนไว้สำหรับการใช้งานเพื่อการศึกษาเท่านั้น ไม่อนุญาตให้นำไปใช้ประโยชน์ด้านการค้า ไม่ว่าจะกรณีใดๆทั้งสิ้น อีกทั้งห้ามมิให้ดัดแปลงเนื้อหา และต้องอ้างอิงถึงเจ้าของเอกสารทุกครั้งที่มีการนำไปใช้

4.2 ผลการเตรียมฟิล์มบางคอปเปอร์ออกไซด์โดยวิธีรีแอคทีฟดีซีแมกนีตรอนสเปคเตอริง

จากการทดลองเตรียมฟิล์มบางคอปเปอร์โดยวิธีดีซีแมกนีตรอนสเปคเตอริง พบว่าเมื่ออัตราการไหลของก๊าซอาร์กอนเท่ากับ 50 ลูกบาศก์เซนติเมตรต่อนาที ต้องใช้แรงดันพังทลายทาวน์เซนต์ประมาณ 237 โวลต์ การโคลดิสชาร์จจึงจะปรากฏขึ้น เป้าหมายต่อไปคือการสร้างสภาวะโคลดิสชาร์จให้คงตัวอยู่ได้ที่อัตราการไหลของก๊าซมีค่าต่ำสุด วิธีการคือทำการลดอัตราการไหลของก๊าซอาร์กอนลง ในขณะที่เดียวกันก็ต้องเพิ่มแรงดันไฟฟ้าดิสชาร์จด้วย พบว่าเมื่อลดอัตราการไหลของก๊าซอาร์กอนลงมาเหลือ 32 ลูกบาศก์เซนติเมตรต่อนาทีที่ต้องปรับแรงดันไฟฟ้าดิสชาร์จขึ้นไปเป็น 360 โวลต์ ความดันตัวบนและตัวล่างเท่ากับ 4.7×10^{-3} และ 1.1×10^{-4} ทอร์ ทำการสเปคเตอร์ 20 นาที จะให้ฟิล์มบางที่มีคุณภาพดีที่สุด จากการทำการทดลองซ้ำหลายครั้งพบว่าความดันตัวบนควรจะอยู่ในช่วง $4.7-7.0 \times 10^{-3}$ ทอร์ จึงจะได้ฟิล์มคอปเปอร์ที่มีคุณภาพดี

สำหรับการเตรียมฟิล์มบางคอปเปอร์ออกไซด์โดยวิธีรีแอคทีฟดีซีแมกนีตรอนสเปคเตอริง จะเริ่มจากการให้อัตราการไหลของก๊าซอาร์กอนเท่ากับ 35 ลูกบาศก์เซนติเมตรต่อนาที ป้อนแรงดันไฟฟ้าอย่างช้าๆ ให้กับขั้วค่าโทรด จนกระทั่งถึง 290 โวลต์ สภาวะโคลดิสชาร์จจึงเกิดขึ้น จากนั้นจึงปล่อยก๊าซออกซิเจนให้ไหลเข้าสู่ห้องสุญญากาศด้วยอัตราการไหล 1 ลูกบาศก์เซนติเมตรต่อนาที ความดันในห้องสุญญากาศจะเพิ่มขึ้นเล็กน้อย ดังนั้นจึงทำการลดอัตราการไหลของก๊าซอาร์กอนลงเหลือ 31.5 ลูกบาศก์เซนติเมตรต่อนาที ขณะเดียวกันก็เพิ่มแรงดันไฟฟ้าดิสชาร์จขึ้นเป็น 360 โวลต์ จะได้ความดันตัวบนของห้องสุญญากาศเท่ากับ 8.5×10^{-3} ทอร์ ตามต้องการ จากนั้นจะทำการเตรียมฟิล์มบางคอปเปอร์ออกไซด์ด้วยอัตราการไหลของก๊าซออกซิเจนค่าต่างๆ ตั้งแต่ 0.5 ถึง 20 ลูกบาศก์เซนติเมตรต่อนาที เงื่อนไขการเตรียมฟิล์มบางคอปเปอร์ออกไซด์โดยวิธีรีแอคทีฟดีซีแมกนีตรอนสเปคเตอริง จะแสดงดังตารางที่ 4.2 ส่วนรูปที่ 4.2 จะแสดงภาพถ่ายของฟิล์มบางคอปเปอร์ออกไซด์ที่เตรียมได้ที่อัตราการไหลของก๊าซออกซิเจนค่าต่างๆ อัตราการไหลของก๊าซออกซิเจนที่เพิ่มขึ้นจะส่งผลทำให้ความดันตัวบนของห้องสุญญากาศเพิ่มขึ้น ดังนั้นจำเป็นต้องลดอัตราการไหลของก๊าซอาร์กอนลงเพื่อให้ความดันของห้องสุญญากาศไม่สูงกว่า 10^{-3} ทอร์ ฟิล์มบางที่เตรียมได้จึงจะมีสีน้ำตาลเข้ม

ตารางที่ 4.2 เงื่อนไขการเตรียมฟิล์มบางคอปเปอร์ออกไซด์โดยวิธีรีแอคทีฟดีซีแมกนีตรอนสเป็คเตอริง

#	Flow Rate (sccm)		Pressure (torr)	Voltage (V)	Current (A)	Power (W)	Sputtering time (min)	Sheet Resistance (Ω /sq)	Film Characteristic
	Ar	O ₂							
1	31.5	1.0	ตัวบน = 2.2×10^{-2} ตัวล่าง = 2.5×10^{-4}	360.0	0.060	21.60	20	2.0×10^5	ฟิล์มสีน้ำตาล เหลือง ไม่ทึบแสง ส่องผ่านได้
2	27.0	1.0	ตัวบน = 8.5×10^{-3} ตัวล่าง = 1.6×10^{-4}	360.0	0.041	14.76	25	83.3	ฟิล์มสีน้ำตาล เหลือง ไม่ทึบแสง ส่องผ่านได้
3	25.0	0.5	ตัวบน = 7.0×10^{-3} ตัวล่าง = 1.5×10^{-4}	370.0	0.045	16.65	20	18.7	ฟิล์มสีน้ำตาลอม เหลือง ไม่ทึบ แสง แสงส่อง ผ่านได้ (เข้มกว่า 1 กับ 2 นิดหน่อย)
4	22.0	1.0	ตัวบน = 5.7×10^{-3} ตัวล่าง = 1.3×10^{-4}	385.0	0.045	17.33	30	88.0	ฟิล์มสีน้ำตาล แดง
5	22.0	2.0	ตัวบน = 5.2×10^{-3} ตัวล่าง = 1.3×10^{-4}	385.0	0.040	15.40	40	94.8	ฟิล์มน้ำตาลแดง เข้ม ไม่ทึบแสง
6	22.0	3.0	ตัวบน = 5.5×10^{-3} ตัวล่าง = 1.3×10^{-4}	385.1	0.040	15.40	40	130.0	ฟิล์มน้ำตาลแดง ไม่ทึบแสง
7	22.0	4.0	ตัวบน = 6.1×10^{-3} ตัวล่าง = 1.3×10^{-4}	385.0	0.042	16.17	30	1.1×10^4	ฟิล์มสีน้ำตาล อ่อนอมเหลือง ไม่ทึบแสง
8	22.0	5.0	ตัวบน = 5.9×10^{-3} ตัวล่าง = 1.3×10^{-4}	390	0.045	17.55	15	7.1×10^4	ฟิล์มสีน้ำตาลเข้ม ไม่ทึบแสง
9	22.0	5.0	ตัวบน = 6.1×10^{-3} ตัวล่าง = 1.4×10^{-4}	390.1	0.045	17.55	30	2.4×10^4	ฟิล์มสีน้ำตาลเข้ม อมเหลือง ไม่ทึบ แสง
10	22.0	6.0	ตัวบน = 6.4×10^{-3} ตัวล่าง = 1.3×10^{-4}	390.0	0.050	19.50	30	3.7×10^4	ฟิล์มสีน้ำตาลแก่ เข้ม
11	13.0	8.0	ตัวบน = 5.6×10^{-3} ตัวล่าง = 1.4×10^{-4}	410.0	0.048	19.68	30	6.3×10^5	ฟิล์มสีน้ำตาลเข้ม ออกดำเล็กน้อย
12	20.0	10.0	ตัวบน = 1.3×10^{-2} ตัวล่าง = 1.4×10^{-4}	390.0	0.062	24.18	30	1.7×10^4	ฟิล์มสีน้ำตาล
13	17.0	10.0	ตัวบน = 7.5×10^{-3} ตัวล่าง = 1.2×10^{-4}	390.1	0.054	21.06	30	2.9×10^4	ฟิล์มสีน้ำตาลเข้ม

เอกสารนี้เป็นเอกสารทงสวนเวสาศหรบการเซงานเพอการศกษาแทนัน เมอนุญดาตเหนาไปเซบระยชนดานการคา

ไม่ว่ากรณีใดๆทั้งสิ้น อีกทั้งห้ามมิให้ดัดแปลงเนื้อหา และต้องอ้างอิงถึงเจ้าของเอกสารทุกครั้งที่มีการนำไปใช้

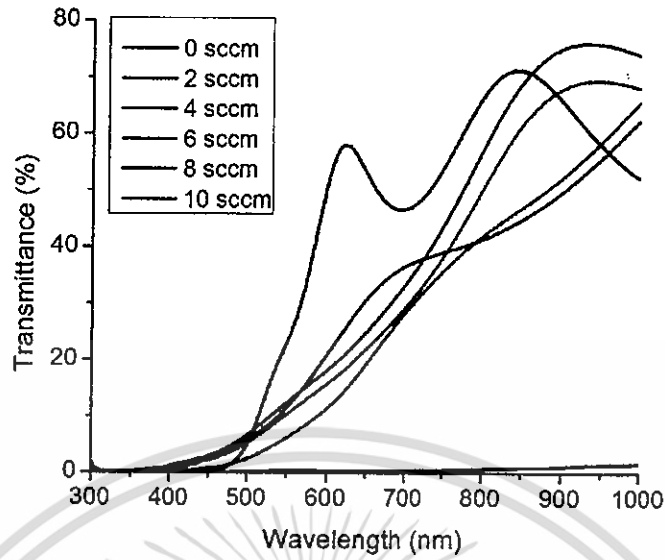
ตารางที่ 4.2 (ต่อ) แสดงถึงเงื่อนไขการเตรียมฟิล์มบางคอปเปอร์ออกไซด์โดยวิธีรีแอคทีฟดีซีแมกนี

ตรอนสปีดเตรียม

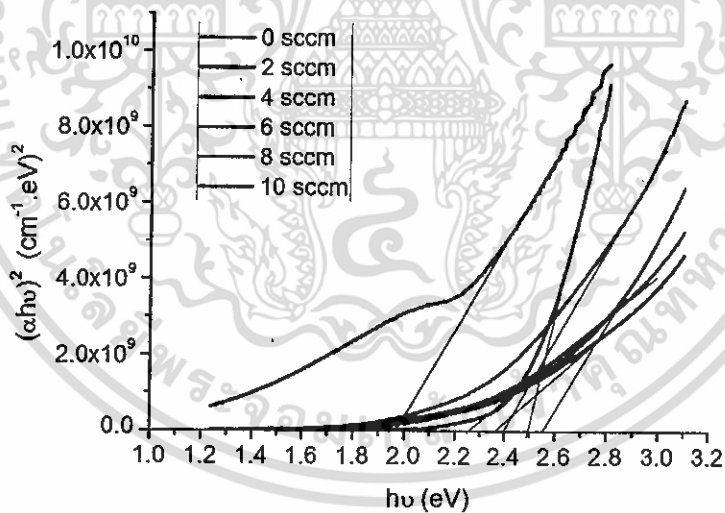
14	22.0	10.0	ตัวบน = 5.7×10^{-3} ตัวล่าง = 9.7×10^{-5}	410.0	0.057	23.37	30	70.0	ฟิล์มสีน้ำตาลเข้ม ออกดำ
15	13.0	15.0	ตัวบน = 5.6×10^{-3} ตัวล่าง = 1.1×10^{-4}	410.0	0.048	19.68	30	19.9	ฟิล์มสีน้ำตาล เหลืองไม่ทึบแสง
16	22.0	18.0	ตัวบน = 7.0×10^{-3} ตัวล่าง = 9.4×10^{-5}	400.0	0.074	29.6	30	313.0	ฟิล์มสีน้ำตาล เหลืองไม่ทึบแสง
17	7.5	20.0	ตัวบน = 8.7×10^{-3} ตัวล่าง = 9.2×10^{-5}	380.0	0.073	27.74	30	5.1×10^3	ฟิล์มสีน้ำตาล เหลืองไม่ทึบแสง
18	8.0	15.0	ตัวบน = 6.5×10^{-3} ตัวล่าง = 1.1×10^{-4}	400.0	0.060	24.00	30	15.0	ฟิล์มสีน้ำตาล เหลืองไม่ทึบแสง



ภาพที่ 4.2 ภาพถ่ายของฟิล์มบางคอปเปอร์ออกไซด์ที่เตรียมได้โดยวิธีรีแอคทีฟดีซีแมกนีตรอนสปีดเตรียมที่อัตราการไหลของก๊าซออกซิเจนค่าต่างๆ



ภาพที่ 4.3 กราฟแสดงความสัมพันธ์ระหว่างสัมประสิทธิ์การส่งผ่านแสงกับความยาวคลื่นของฟิล์มบางคอปเปอร์ออกไซด์ที่เตรียมได้โดยวิธีรีแอคทีฟดีซีแมกนีตรอนสปีดเตอริงที่อัตราการไหลของก๊าซออกซิเจนค่าต่างๆ

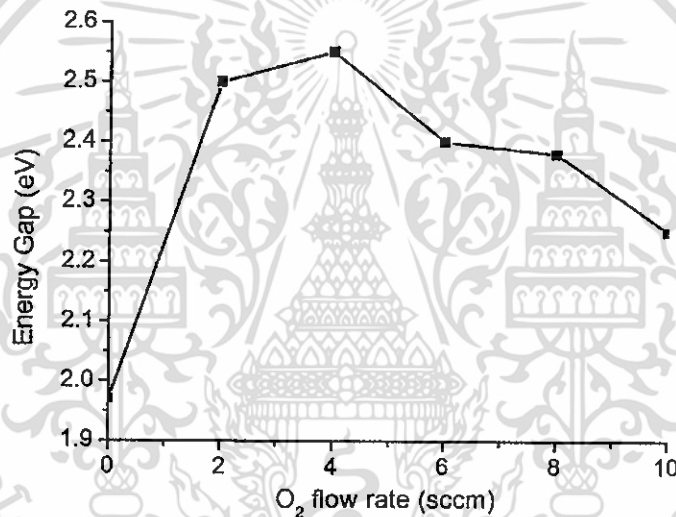


ภาพที่ 4.4 กราฟแสดงความสัมพันธ์ระหว่างค่า $(\alpha h\nu)^2$ กับ $h\nu$ ของฟิล์มบางคอปเปอร์ออกไซด์ที่เตรียมได้โดยวิธีรีแอคทีฟดีซีแมกนีตรอนสปีดเตอริงที่อัตราการไหลของก๊าซออกซิเจนค่าต่างๆ

เอกสารนี้เป็นเอกสารที่สงวนไว้สำหรับการใช้งานเพื่อการศึกษาเท่านั้น ไม่อนุญาตให้นำไปใช้ประโยชน์ด้านการค้า ไม่ว่าจะกรณีใดๆทั้งสิ้น อีกทั้งห้ามมิให้ดัดแปลงเนื้อหา และต้องอ้างอิงถึงเจ้าของเอกสารทุกครั้งที่มีการนำไปใช้

ตารางที่ 4.3 ค่าช่องว่างแถบพลังงานของฟิล์มบางคอปเปอร์ออกไซด์ที่เตรียมได้โดยวิธีรีแอ็คทีฟดีซี แมกนีตรอนสปีดเตอริงที่อัตราการไหลของก๊าซออกซิเจนค่าต่างๆ

O ₂ flow rate (sccm)	E _g (eV)
0	1.97
2	2.50
4	2.55
6	2.40
8	2.38
10	2.25

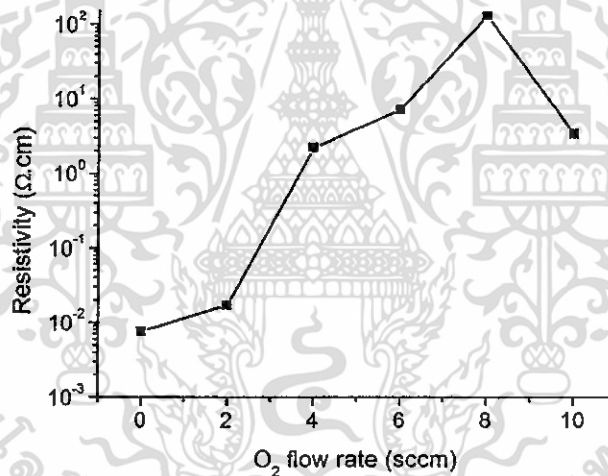


ภาพที่ 4.5 กราฟแสดงความสัมพันธ์ระหว่างช่องว่างพลังงานกับอัตราการไหลของก๊าซออกซิเจนค่าต่างๆ

จากการทดสอบชนิดการนำไฟฟ้าของฟิล์มบางคอปเปอร์ออกไซด์ที่เตรียมได้โดยวิธีรีแอ็คทีฟดีซี (hot probe) พบว่าชนิดการนำไฟฟ้าเป็นแบบพี (p-type) ค่าความต้านทานแผ่นจะแสดงดังตารางที่ 4.3 ส่วนภาพที่ 4.6 แสดงสภาพต้านทานไฟฟ้าของฟิล์มบางคอปเปอร์ออกไซด์ที่เปลี่ยนไปตามอัตราการไหลของก๊าซออกซิเจน

ตารางที่ 4.4 ความต้านทานแผ่นและสภาพต้านทานไฟฟ้าของฟิล์มบางคอปเปอร์ออกไซด์ซึ่งเตรียมโดยวิธีรีแอคทีฟดีซีแมกนีตรอนสปัตเตอริง ที่อัตราการไหลของก๊าซออกซิเจนค่าต่างๆ

Ar : O ₂ Flow Rate (sccm)	Sheet Resistance (Ω /sq)	Resistivity (Ω .cm)
31.5 : 0	38.00	7.6×10^{-3}
22 : 2	94.6	1.7×10^{-2}
22 : 4	1.1×10^4	2.2
22 : 6	3.7×10^4	7.2
13 : 8	6.5×10^5	1.3×10^2
12 : 10	1.7×10^4	3.4

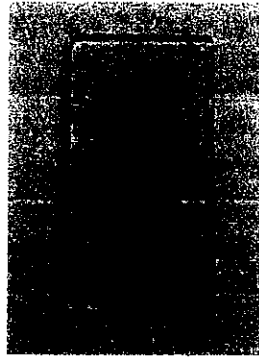


ภาพที่ 4.6 ค่าสภาพต้านทานไฟฟ้าของฟิล์มบางคอปเปอร์ออกไซด์ซึ่งเตรียมโดยวิธีรีแอคทีฟดีซีแมกนีตรอนสปัตเตอริงที่อัตราการไหลของก๊าซออกซิเจนค่าต่างๆ

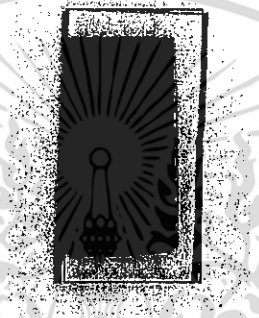
4.3 ลักษณะของฟิล์มบางที่เคลือบอยู่บนแผ่นฐานรองรับที่เป็นกระจกสไลด์ของสารกึ่งตัวนำ CdS และ CuO และสิ่งประดิษฐ์รอยต่อวิวิธพันธุ์ของฟิล์มบางของสารกึ่งตัวนำ n-CdS/p-CuO ซึ่งเตรียมโดยวิธีรีแอคทีฟดีซีแมกนีตรอนสปัตเตอริง

ลักษณะผิวหน้าของฟิล์มบางของสารกึ่งตัวนำ CdS ที่เคลือบอยู่บนแผ่นฐานรองรับที่เป็นแผ่นกระจก FTO จะปรากฏดังภาพที่ 4.7 พบว่าฟิล์มบาง CdS มีสีเหลืองส้มเป็นมันวาวยึดติดกับแผ่นกระจก FTO ได้ดี ส่วนฟิล์มบางของสารกึ่งตัวนำ CuO ซึ่งเตรียมโดยวิธีรีแอคทีฟดีซีแมกนีตรอนสปัตเตอริงนั้น มีน้ำตาเคลือบบนฟิล์มบางของสารกึ่งตัวนำ CdS จะแสดงดังภาพที่ 4.8

เอกสารนี้เป็นเอกสารที่สงวนไว้สำหรับการใช้งานเพื่อการศึกษาเท่านั้น ไม่นิยมนำไปใช้ประโยชน์ด้านการค้า ไม่ว่ากรณีใดๆทั้งสิ้น อีกทั้งห้ามมิให้ดัดแปลงเนื้อหา และต้องอ้างอิงถึงเจ้าของเอกสารทุกครั้งที่มีการนำไปใช้



ภาพที่ 4.7 फिल्मบางของสารกึ่งตัวนำ CdS ที่เคลือบลงบนแผ่นฐานรองรับที่เป็นกระจก FTO ซึ่งเตรียมโดยวิธีการระเหยสารเคมีด้วยความร้อนในระบบสุญญากาศ

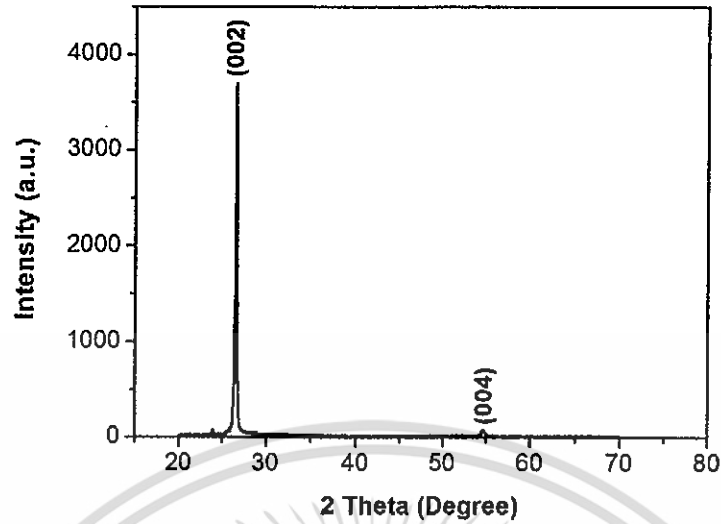


ภาพที่ 4.8 फिल्मบางของสารกึ่งตัวนำ CuO ที่เคลือบลงบนแผ่นฐานรองรับที่เป็นฟิล์มบางของสารกึ่งตัวนำ CdS ซึ่งเตรียมโดยวิธีรีแอคทีฟดีซีแมกนีตรอนสปีดเตอร์ริง

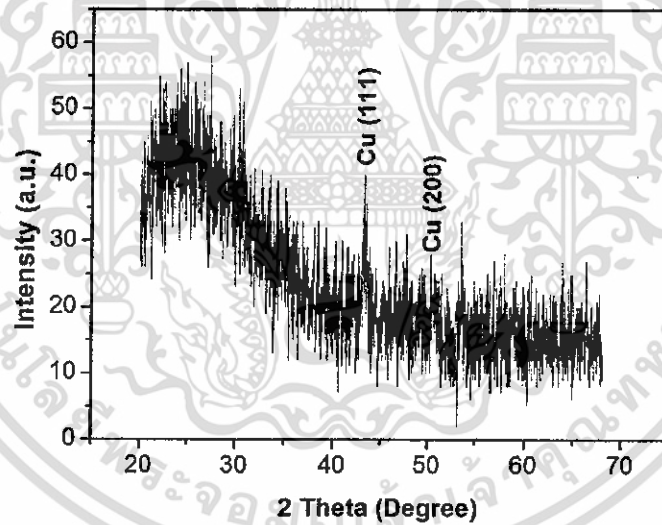
4.4 การศึกษาสมบัติทางฟิสิกส์ของสิ่งประดิษฐ์รอยต่อวิวิธพันธุ์ของฟิล์มบางของสารกึ่งตัวนำ n-CdS/p-CuO ซึ่งเตรียมโดยวิธีรีแอคทีฟดีซีแมกนีตรอนสปีดเตอร์ริง

4.4.1 ผลการศึกษาโครงสร้างของผลึกเชิงจุลภาคด้วยวิธีการเลี้ยวเบนรังสีเอกซ์ของสิ่งประดิษฐ์รอยต่อวิวิธพันธุ์ของฟิล์มบางของสารกึ่งตัวนำ n-CdS/p-CuO ที่เคลือบบนแผ่นฐานรองรับที่เป็นกระจก FTO ซึ่งเตรียมโดยวิธีรีแอคทีฟดีซีแมกนีตรอนสปีดเตอร์ริง

ภาพที่ 4.9 แสดงสเปกตรัมการเลี้ยวเบนของรังสีเอกซ์ของฟิล์มบางของสารกึ่งตัวนำ CdS ที่เคลือบอยู่บนแผ่นฐานรองรับที่เป็นกระจกสไลด์ซึ่งเตรียมโดยวิธีการระเหยสารเคมีด้วยความร้อนในระบบสุญญากาศ พบว่าระนาบการเลี้ยวเบนคือ (002) และ (004) ซึ่งเป็นระนาบของโครงผลึกแบบเฮกซะโกนัล ส่วนภาพที่ 4.10 แสดงสเปกตรัมการเลี้ยวเบนของรังสีเอกซ์ของฟิล์มบางของสารกึ่งตัวนำ CuO ที่เคลือบอยู่บนแผ่นฐานรองรับที่เป็นกระจกสไลด์ซึ่งเตรียมโดยวิธีรีแอคทีฟดีซีแมกนีตรอนสปีดเตอร์ริง



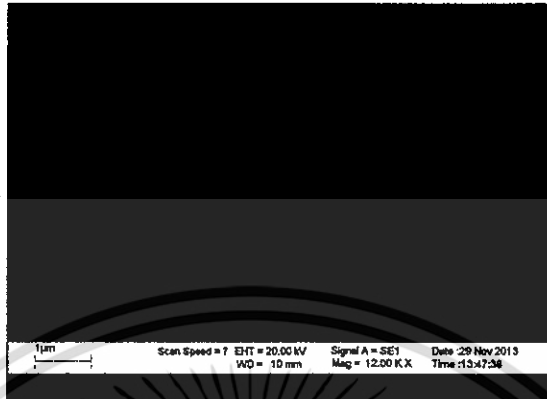
ภาพที่ 4.9 พิกัดความเข้มการเลี้ยวเบนของรังสีเอกซ์ของฟิล์มบางของสารกึ่งตัวนำ CdS ที่เคลือบอยู่บนแผ่นฐานรองรับที่เป็นกระจกสไลด์ซึ่งเตรียมโดยวิธีการระเหยสารเคมีด้วยความร้อนในระบบสุญญากาศ



ภาพที่ 4.10 พิกัดความเข้มการเลี้ยวเบนของรังสีเอกซ์ของฟิล์มบางของสารกึ่งตัวนำ CuO ที่เคลือบอยู่บนแผ่นฐานรองรับที่เป็นกระจกสไลด์ซึ่งเตรียมโดยวิธีรีแอ็คทีฟฟิล์มเคมีตรอนสปีดเตอริง

เอกสารนี้เป็นเอกสารที่สงวนไว้สำหรับการใช้งานเพื่อการศึกษาเท่านั้น ไม่อนุญาตให้นำไปใช้ประโยชน์ด้านการค้า ไม่ว่าจะกรณีใดๆทั้งสิ้น อีกทั้งห้ามมิให้ดัดแปลงเนื้อหา และต้องอ้างอิงถึงเจ้าของเอกสารทุกครั้งที่มีการนำไปใช้

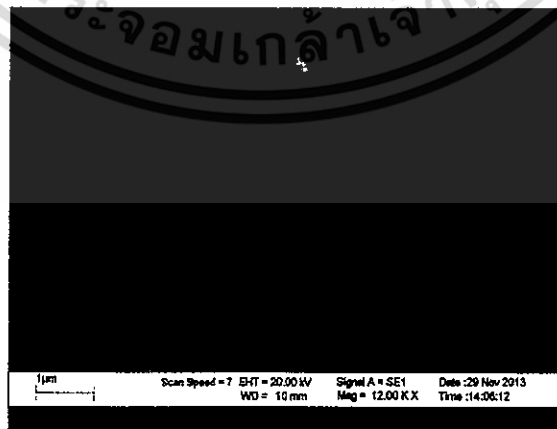
4.4.2 ผลการศึกษาโครงสร้างผลึกเชิงมหภาคด้วยกล้องจุลทรรศน์อิเล็กตรอนแบบส่องกราดของ สิ่งประดิษฐ์รอยต่อวิวิธพันธุ์ของฟิล์มบางของสารกึ่งตัวนำ n-CdS/p-CuO ที่เคลือบบน แผ่นฐานรองรับที่เป็นกระจก FTO ซึ่งเตรียมโดยวิธีรีแอคทีฟดีซีแมกนีตรอนสเปคเตอรืง



ภาพที่ 4.11 ภาพถ่ายบริเวณผิวหน้าของฟิล์มบางของสารกึ่งตัวนำ CdS ที่เคลือบอยู่บนแผ่นฐานรองรับที่เป็นกระจกสไลด์ซึ่งถ่ายด้วยกล้องจุลทรรศน์อิเล็กตรอนแบบส่องกราด



ภาพที่ 4.12 ภาพถ่ายบริเวณผิวหน้าของฟิล์มบางของสารกึ่งตัวนำ CuO ที่เคลือบอยู่บนแผ่นฐานรองรับที่เป็นกระจกสไลด์ซึ่งถ่ายด้วยกล้องจุลทรรศน์อิเล็กตรอนแบบส่องกราด

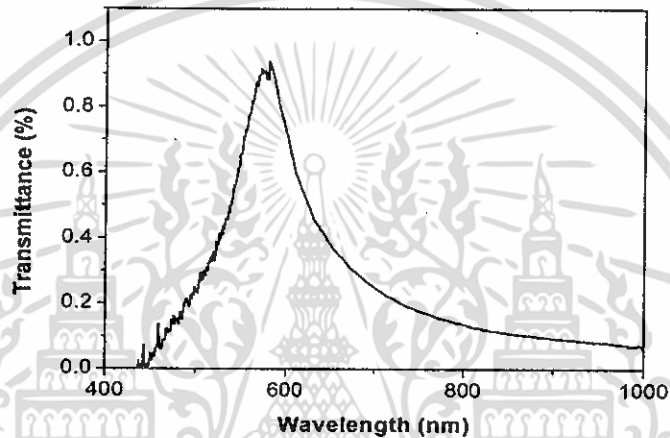


ภาพที่ 4.13 ภาพถ่ายบริเวณผิวหน้าของฟิล์มบางของสารกึ่งตัวนำ CuO ที่เคลือบอยู่บนฟิล์มบางของสารกึ่งตัวนำ CdS ซึ่งถ่ายด้วยกล้องจุลทรรศน์อิเล็กตรอนแบบส่องกราด

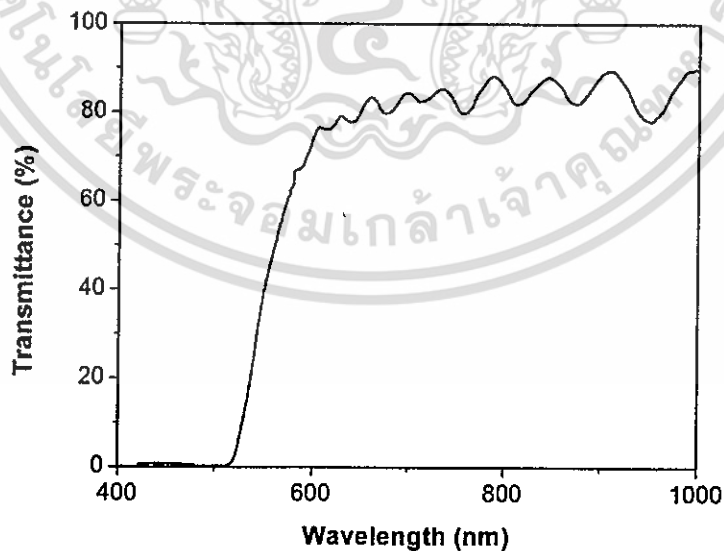
เอกสารนี้เป็นเอกสารที่สงวนไว้สำหรับการใช้งานเพื่อการศึกษาเท่านั้น ไม่อนุญาตให้นำไปใช้ประโยชน์ด้านการค้า ไม่ว่าจะกรณีใดๆทั้งสิ้น อีกทั้งห้ามมิให้ดัดแปลงเนื้อหา และต้องอ้างอิงถึงเจ้าของเอกสารทุกครั้งที่มีการนำไปใช้

4.4.3 ผลการศึกษาการส่งผ่านแสงของสิ่งประดิษฐ์รอยต่อวิวิธพันธุ์ของฟิล์มบางของสารกึ่งตัวนำ n-CdS/p-CuO ที่เคลือบบนแผ่นฐานรองรับที่เป็นกระจก FTO ซึ่งเตรียมโดยวิธีรีแอ็คทีฟดีซีแมกนีตรอนสเป็คเตอริง

จากการศึกษาสเปกตรัมการส่งผ่านแสงของสิ่งประดิษฐ์รอยต่อวิวิธพันธุ์ของฟิล์มบางของสารกึ่งตัวนำ n-CdS/p-CuO ที่เคลือบอยู่บนแผ่นฐานรองรับที่เป็นกระจก FTO ซึ่งเตรียมโดยวิธีรีแอ็คทีฟดีซีแมกนีตรอนสเป็คเตอริง พบว่าขอบการดูดกลืนจะปรากฏที่ความยาวคลื่นประมาณ 550 และ 580 นาโนเมตร ซึ่งสอดคล้องกับค่าช่องว่างแถบพลังงานของฟิล์มบางของสารกึ่งตัวนำ CdS และ CuO ตามลำดับ

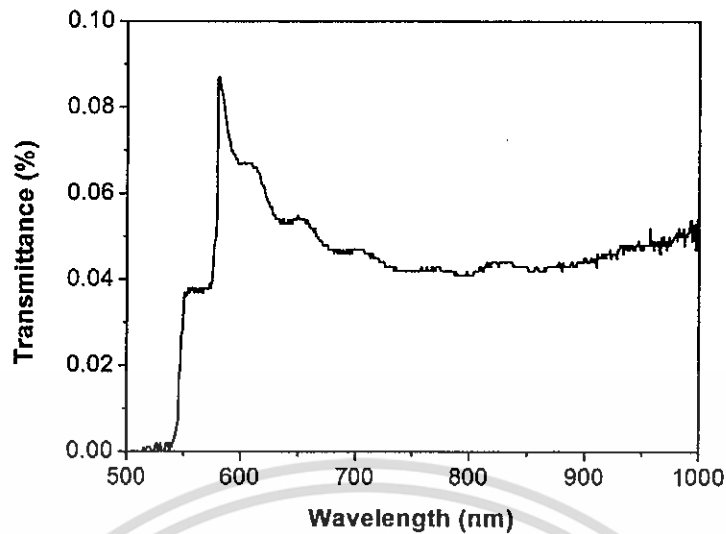


ภาพที่ 4.14 กราฟความสัมพันธ์ระหว่างค่าเปอร์เซ็นต์การส่งผ่านแสงกับความยาวคลื่นแสงของฟิล์มบางของสารกึ่งตัวนำ Cu_2O พิจารณาที่ความยาวคลื่น 400-1000 นาโนเมตร



ภาพที่ 4.15 กราฟความสัมพันธ์ระหว่างค่าเปอร์เซ็นต์การส่งผ่านแสงกับความยาวคลื่นแสงของฟิล์มบางของสารกึ่งตัวนำ CdS พิจารณาที่ความยาวคลื่น 400-1000 นาโนเมตร

เอกสารนี้เป็นเอกสารที่สงวนไว้สำหรับการใช้งานเพื่อการศึกษาเท่านั้น ไม่อนุญาตให้นำไปใช้ประโยชน์ด้านการค้าไม่ว่ากรณีใดๆทั้งสิ้น อีกทั้งห้ามมิให้ดัดแปลงเนื้อหา และต้องอ้างอิงถึงเจ้าของเอกสารทุกครั้งที่มีการนำไปใช้



ภาพที่ 4.16 กราฟความสัมพัทธ์ระหว่างค่าเปอร์เซ็นต์การส่งผ่านแสงกับความยาวคลื่นแสง ของสิ่งประดิษฐ์รอยต่อวิวิธพันธุ์ของฟิล์มบางของสารกึ่งตัวนำ n-CdS/p-CuO พิจารณาที่ความยาวคลื่น 500-1000 นาโนเมตร

4.5 การศึกษาสมบัติทางไฟฟ้าของสิ่งประดิษฐ์รอยต่อวิวิธพันธุ์ของฟิล์มบางของสารกึ่งตัวนำ n-CdS/p-CuO ที่เคลือบบนแผ่นฐานรองรับที่เป็นกระจก FTO ซึ่งเตรียมโดยวิธีแอ็คทีฟดีซีแมกนีตรอนสปัตเตอริง

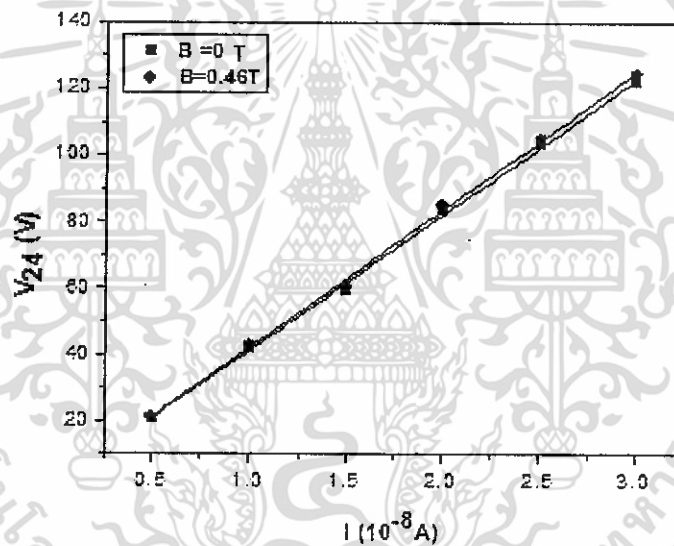
การศึกษาศสมบัติทางไฟฟ้าของสิ่งประดิษฐ์รอยต่อวิวิธพันธุ์ของสารกึ่งตัวนำ n-CdS/p-CuO ซึ่งเตรียมโดยวิธีแอ็คทีฟดีซีแมกนีตรอนสปัตเตอริง กระทำโดยการวัดค่าความสัมพัทธ์ระหว่างกระแสไฟฟ้ากับแรงดันไฟฟ้า ที่อุณหภูมิห้องและที่อุณหภูมิต่ำในช่วงอุณหภูมิ 10–300 เคลวิน ตลอดจนการศึกษาค่าความสัมพัทธ์ระหว่างค่าความจุไฟฟ้ากับความถี่ และวัดค่าอิมพีแดนซ์ที่อุณหภูมิในช่วงอุณหภูมิ 25-60 องศาเซลเซียส เพื่อใช้ในการคำนวณหาค่าพารามิเตอร์ที่สำคัญต่างๆ

4.5.1 ผลการศึกษาศสมบัติทางไฟฟ้าโดยการวัดปรากฏการณ์ฮอลล์ของฟิล์มบางของสารกึ่งตัวนำ CuO ซึ่งเตรียมโดยวิธีแอ็คทีฟดีซีแมกนีตรอนสปัตเตอริง

ผลการศึกษาศสมบัติทางไฟฟ้าโดยการวัดปรากฏการณ์ฮอลล์ (Hall effect) เมื่อทำการวัดที่อุณหภูมิห้อง ของฟิล์มบางของสารกึ่งตัวนำ CuO จะแสดงในตารางที่ 4.5 รูปที่ 4.17 และ รูปที่ 4.18

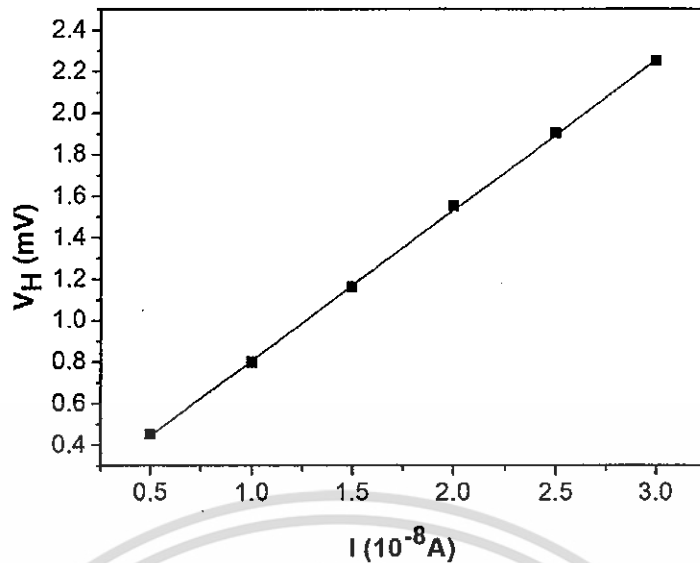
ตารางที่ 4.5 ผลการวัดปรากฏการณ์ของฮอลล์ของฟิล์มบางของสารกึ่งตัวนำ CuO ซึ่งเตรียมโดยวิธีรีแอ็คทีฟที่ฟิล์มซีแมกนีตรอนสปัตเตอร์ริง

Temperature (C°)	Current (I) (10 ⁻⁸ A)	V ₂₄ (B=0 T)	V ₂₄ ' (B=4600 G)	V _H (mV)
300°	0.5	20.95	21.4	0.45
	1.0	42.00	42.8	0.80
	1.5	59.24	60.4	1.16
	2.0	83.55	85.1	1.55
	2.5	103.10	105.0	1.90
	3.0	122.35	124.6	2.25



ภาพที่ 4.17 ความสัมพันธ์ระหว่างความต่างศักย์ (V₂₄) กับ กระแสไฟฟ้า (I) ของปรากฏการณ์ฮอลล์ ภายใต้สนามแม่เหล็กและไม่มีสนามแม่เหล็กของฟิล์มบางของสารกึ่งตัวนำ CuO

เอกสารนี้เป็นเอกสารที่สงวนไว้สำหรับการใช้งานเพื่อการศึกษาเท่านั้น ไม่อนุญาตให้นำไปใช้ประโยชน์ด้านการค้า ไม่ว่าจะกรณีใดๆทั้งสิ้น อีกทั้งห้ามมิให้ดัดแปลงเนื้อหา และต้องอ้างอิงถึงเจ้าของเอกสารทุกครั้งที่มีการนำไปใช้



ภาพที่ 4.18 ความสัมพันธ์ระหว่างความต่างศักย์ไฟฟ้า (V_H) กับกระแสไฟฟ้า (I) ของปรากฏการณ์ฮอลล์ ภายใต้สนามแม่เหล็ก และไม่มีสนามเหล็กของฟิล์มบางของสารกึ่งตัวนำ CuO

จากการศึกษาสมบัติทางไฟฟ้าโดยปรากฏการณ์ฮอลล์ (Hall effect) ของฟิล์มบางของสารกึ่งตัวนำ CuO สามารถคำนวณหาค่าพารามิเตอร์ต่างๆ ได้ ดังนี้

ค่าสภาพต้านทานไฟฟ้า สามารถคำนวณได้โดย

$$\rho = \frac{10^7 \times 0.4 \times 5 \times 10^{-5}}{0.4} = 500 \text{ โอห์ม-เซนติเมตร}$$

ค่าสัมประสิทธิ์ของฮอลล์ สามารถคำนวณได้โดย

$$R_H = 10^6 \left(\frac{V_H}{I} \right) \frac{d}{B} = 10^6 \left(0.7251 \times \frac{10^{-3}}{10^{-8}} \right) \left(\frac{5 \times 10^{-5}}{4600} \right)$$

$$R_H = 7.88 \times 10^2 \text{ ลูกบาศก์เซนติเมตรต่อคูโลมบ์}$$

จากค่าสัมประสิทธิ์ของฮอลล์สามารถนำมาคำนวณหาความหนาแน่นของพาหะ ได้ดังนี้

$$n = \frac{1}{qR_H} = \frac{1}{1.6 \times 10^{-19} (7.88 \times 10^2)}$$

$$n = 7.93 \times 10^{15} \text{ ต่อลูกบาศก์เซนติเมตร}$$

และจากค่าสัมประสิทธิ์ของฮอลล์และค่าสภาพนำไฟฟ้าสามารถนำมาคำนวณหาความคล่องตัวของพาหะ ได้ดังนี้

$$\mu_H = \frac{R_H}{\rho} = \frac{7.88 \times 10^2}{500}$$

$$\mu_H = 1.58 \text{ ตารางเซนติเมตรต่อ(โวลต์-วินาที)}$$

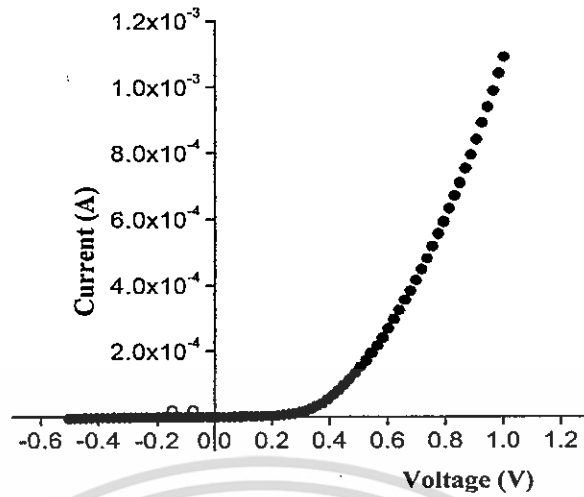
และจากค่าศักย์ไฟฟ้าของฮอลล์ยืนยันได้ว่าฟิล์มบางของสารกึ่งตัวนำ CuO มีชนิดการนำไฟฟ้าเป็นแบบพี (p-type)

เอกสารนี้เป็นเอกสารที่สงวนไว้สำหรับการใช้งานเพื่อการศึกษาเท่านั้น ไม่อนุญาตให้นำไปใช้ประโยชน์ด้านการค้า ไม่ว่าจะกรณีใดๆทั้งสิ้น อีกทั้งห้ามมิให้ดัดแปลงเนื้อหา และต้องอ้างอิงถึงเจ้าของเอกสารทุกครั้งที่มีการนำไปใช้

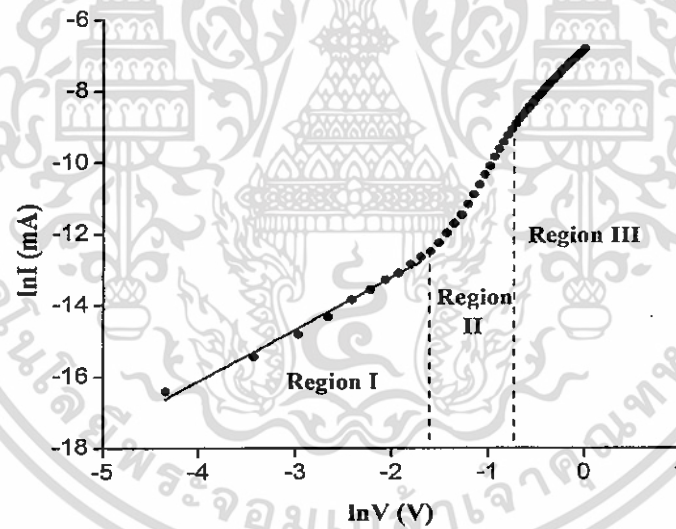
4.5.2 ผลการศึกษาความสัมพันธ์ระหว่างค่ากระแสไฟฟ้ากับแรงดันไฟฟ้าของสิ่งประดิษฐ์รอยต่อวิวิธพันธุ์ของสารกึ่งตัวนำ n-CdS/p-CuO ที่เคลือบบนแผ่นฐานรองรับที่เป็นกระจก FTO ซึ่งเตรียม โดยวิธีรีแอคทีฟดีซีแมกนีตรอนสเปคเตอรริงเมื่อทำการวัดที่อุณหภูมิห้อง

ผลการศึกษาสมบัติทางไฟฟ้าของรอยต่อวิวิธพันธุ์ของสารกึ่งตัวนำ n-CdS/p-CuO โดยการวัดความสัมพันธ์ระหว่างค่ากระแสไฟฟ้ากับแรงดันไฟฟ้าในช่วง -0.5 ถึง 1.0 โวลต์ เมื่อทำการวัดที่อุณหภูมิห้องดังปรากฏในภาพที่ 4.19 พบว่ามีการเรียงกระแสไฟฟ้าทางเดียวเหมือน ไดโอด โดยมีค่าแรงดันขีดเริ่ม (threshold voltage) อยู่ที่ 0.5 โวลต์ แต่เนื่องจากค่าความหนาแน่นของพาหะอิสระของฟิล์มบางของสารกึ่งตัวนำ CuO และของฟิล์มบางของสารกึ่งตัวนำ CdS อยู่ในระดับ 10^{16} และ 10^{13} ต่อลูกบาศก์เซนติเมตร ตามลำดับ ดังนั้นจะประมาณได้ว่ารอยต่อวิวิธพันธุ์ของฟิล์มบางของสารกึ่งตัวนำ n-CdS/p-CuO เป็นแบบรอยต่อ $p^+ - n$ ซึ่งกลไกการนำกระแสจะอธิบายได้เช่นเดียวกับรอยต่อชนิดที่ 1 โดยบริเวณพร่องพาหะอิสระตรงบริเวณรอยต่อเกือบทั้งหมดจะปรากฏอยู่ตรงเนื้อของฟิล์มบางของสารกึ่งตัวนำ CdS

กลไกของกระแสไฟฟ้าที่ไหลข้ามกำแพงศักย์ตรงบริเวณรอยต่อวิวิธพันธุ์ของฟิล์มบางของสารกึ่งตัวนำ n-CdS/p-CuO ที่ช่วงแรงดันไฟฟ้า -0.5 ถึง 1.0 โวลต์ พิจารณาจากความสัมพันธ์ระหว่าง $\ln I$ กับ $\ln V$ ของรอยต่อวิวิธพันธุ์ของฟิล์มบางของสารกึ่งตัวนำ n-CdS/p-CuO ที่อุณหภูมิห้องพบว่า ที่แรงดันไฟฟ้าน้อยกว่า 0.15 โวลต์ เป็นกลไกการนำกระแสไฟฟ้าเป็นไปตามกฎของโอห์ม ส่วนที่ช่วงแรงดันไฟฟ้า 0.15 ถึง 0.45 โวลต์ เป็นกลไกการนำกระแสไฟฟ้าเป็นไปตามกลไกเทอร์มิออนิกอิมิสชัน และช่วงแรงดันไฟฟ้ามากกว่า 0.45 โวลต์ เป็นกลไกการนำกระแสไฟฟ้าชนิดกระแสถูกจำกัดโดยประจุค้างที่เกิดจากกักประจุในเนื้อสารที่มีการแจกแจงแบบเอกซ์โพเนนเชียล ดังภาพที่ 4.20 เมื่อเขียนกราฟความสัมพันธ์ระหว่าง $\ln I$ กับ V ดังภาพที่ 4.21 เพื่อหาค่าแฟกเตอร์อุดมคติและค่ากระแส ไฟฟ้าอิ่มตัวย้อนกลับ การหาค่าความต้านทานอนุกรมด้วยวิธีของชวงนั้น จะเขียนกราฟแสดงความสัมพันธ์ระหว่าง $dV/d\ln I$ กับ I ดังภาพที่ 4.22 ซึ่งจากกราฟนี้จะได้อ่าแฟกเตอร์อุดมคติและค่าความต้านทานอนุกรม และจากกราฟความสัมพันธ์ระหว่าง $H(I)$ กับ I ดังภาพที่ 4.23 จะได้อ่าค่าความสูงกำแพงศักย์ที่แรงดัน ไบแอสเป็นศูนย์ สำหรับค่ากระแสไฟฟ้าอิ่มตัวย้อนกลับ ค่าแฟกเตอร์อุดมคติ ค่าความสูงกำแพงศักย์ และค่าความต้านทานไฟฟ้าอนุกรมที่ได้จากกลไกเทอร์มิออนิกอิมิสชัน และวิธีของชวงจะแสดง ในตารางที่ 4.6

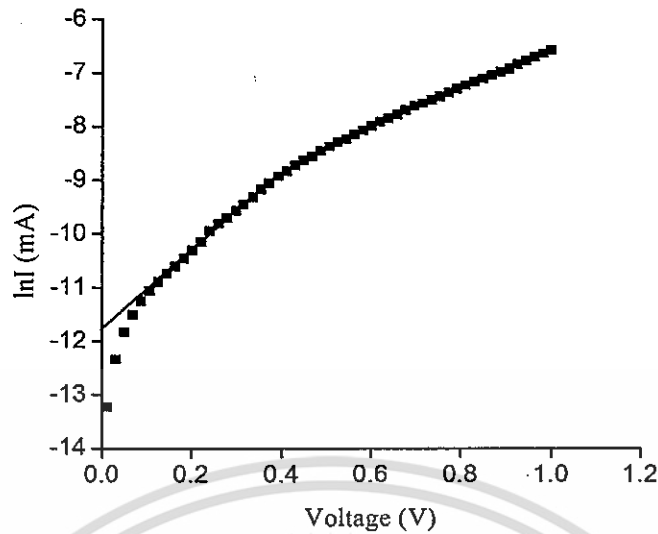


ภาพที่ 4.19 กราฟความสัมพันธ์ระหว่างค่ากระแสไฟฟ้ากับแรงดันไฟฟ้าเมื่อทำการวัดที่อุณหภูมิห้องของรอยต่อวิวิธพันธุ์ของฟิล์มบางของสารกึ่งตัวนำ n-CdS/p-CuO ซึ่งเตรียมโดยวิธีรีแอคทีฟดีซีแมกนีตรอนสปีดเตอร์ริง



ภาพที่ 4.20 กราฟที่ใช้ในการอธิบายกลไกการนำกระแสไฟฟ้าแต่ละช่วงแรงดันไฟฟ้าเมื่อทำการวัดที่อุณหภูมิห้องของรอยต่อวิวิธพันธุ์ของฟิล์มบางของสารกึ่งตัวนำ n-CdS/p-CuO ซึ่งเตรียมโดยวิธีรีแอคทีฟดีซีแมกนีตรอนสปีดเตอร์ริง

เอกสารนี้เป็นเอกสารที่สงวนไว้สำหรับการใช้งานเพื่อการศึกษาเท่านั้น ไม่อนุญาตให้นำไปใช้ประโยชน์ด้านการค้าไม่ว่ากรณีใดๆทั้งสิ้น อีกทั้งห้ามมิให้ดัดแปลงเนื้อหา และต้องอ้างอิงถึงเจ้าของเอกสารทุกครั้งที่มีการนำไปใช้



ภาพที่ 4.21 กราฟความสัมพันธ์ระหว่าง $\ln I$ กับ V เมื่อทำการวัดที่อุณหภูมิห้องของรอยต่อวิวิธพันธุ์ของฟิล์มบางของสารกึ่งตัวนำ $n\text{-CdS}/p\text{-CuO}$ ซึ่งเตรียมโดยวิธีรีแอ็คทีฟดีซีแมกนีตรอนสเป็คเตอรริง

จากรูป 4.20 จะเห็นได้ว่ากลไกการนำกระแสไฟฟ้าของสิ่งประดิษฐ์รอยต่อวิวิธพันธุ์ของฟิล์มบางของสารกึ่งตัวนำ $n\text{-CdS}/p\text{-CuO}$ แบ่งออกเป็น 3 บริเวณอย่างชัดเจนกล่าวคือ บริเวณที่ 1 จะอยู่ในช่วงแรงดัน -0.5 ถึง 0.15 โวลต์ ซึ่งกลไกการนำไฟฟ้าจะเป็นไปตามกฎของโอห์ม บริเวณที่ 2 จะอยู่ในช่วงแรงดัน 0.15 ถึง 0.45 โวลต์ ซึ่งกลไกการนำไฟฟ้าจะเป็นแบบเทอร์มิออนิกอิมิสชัน ส่วนบริเวณที่ 3 จะอยู่ในช่วงแรงดัน 0.45 ถึง 1.0 โวลต์ ซึ่งกลไกการนำไฟฟ้าจะเป็นแบบกระแสถูกจำกัดโดยประจุค้าง

จากภาพที่ 4.21 คือกราฟความสัมพันธ์ค่าลอการิทึมของกระแสและแรงดันไฟฟ้าเพื่อใช้ในการคำนวณหาค่ากระแสอิ่มตัวย้อนกลับ (I_s) และค่าแฟกเตอร์ในอุดมคติ (n) โดยอาศัยกราฟเส้นตรงช่วงที่มีการนำกระแสที่เป็นกลไกแบบเทอร์มิออนิกอิมิสชันดังสมการ

$$I = I_s \left[\exp\left(\frac{qV}{nkT}\right) - 1 \right] \quad (4.1)$$

เมื่อ I_s คือ กระแสไฟฟ้าอิ่มตัวย้อนกลับมีค่าเท่ากับ

$$I_s = AA^* T^2 \exp\left(-\frac{q\Phi_{B0}}{kT}\right) - 1 \quad (4.2)$$

เขียนกราฟความสัมพันธ์ระหว่าง $\ln I$ กับ V เพื่อหาค่ากระแสไฟฟ้าอิ่มตัวย้อนกลับได้จากการลากเส้นตรงผ่านบริเวณกราฟที่เป็นกลไกเทอร์มิออนิกอิมิสชันตัดแกน $\ln I$ โดยจุดตัดมีค่าเท่ากับ $\ln I_s$ และความ

ชั้นของกราฟเท่ากับ $\frac{q}{nkT}$ ซึ่งสามารถนำมาคำนวณหาแฟกเตอร์อุณหภูมิตติ (n) ได้จากสมการที่ (4.2) จะได้ว่าค่าความสูงของกำแพงศักย์คือ

$$\Phi_{B0} = -\frac{kT}{q} \ln\left(\frac{AA^*T^2}{I_s}\right) \quad (4.3)$$

ความสูงกำแพงศักย์ Φ_{B0} ของสมการที่ (4.3) จะเป็นค่าในขณะแรงดันไบแอสเป็นศูนย์ที่อุณหภูมิใดๆ และ A^* เท่ากับ 19.8 แอมแปร์ต่อตารางเซนติเมตรต่อเคลวินยกกำลังสอง

นอกจากนี้ยังสามารถที่จะหาแฟกเตอร์อุณหภูมิตติ (n) ของไดโอดที่ขึ้นกับแรงดันไบแอสโดยอาศัยความสัมพันธ์ดังนี้

$$n = \frac{q}{kT} \frac{dV}{d(\ln I)} \quad (4.4)$$

ในความเป็นจริงแล้วถึงประดิษฐ์รอยต่อวิวิธพันธุ์ของฟิล์มบางของสารกึ่งตัวนำ n-CdS/p-CuO มักจะมีความต้านทานไฟฟ้าอนุกรม (R_s) เกิดขึ้นเสมอ ซึ่งเป็นผลเนื่องมาจากความต้านทานของเนื้อสารและขั้วไฟฟ้าด้านหลัง จึงต้องทำการวัดค่ากระแสไฟฟ้าในช่วงแรงดันสูงๆ (Region III) เพื่อให้ความต้านทานอนุกรมนั้นแสดงผลออกมา ดังนั้นความสัมพันธ์ระหว่างกระแสไฟฟ้ากับแรงดันไฟฟ้าของรอยต่อวิวิธพันธุ์ของฟิล์มบางของสารกึ่งตัวนำ n-CdS/p-CuO ที่มีความต้านทานไฟฟ้าอนุกรมมาเกี่ยวข้องจะเป็น

$$I = I_s \left\{ \exp\left(\frac{q}{nkT}(V - IR_s)\right) - 1 \right\} \quad (4.5)$$

เมื่อ กระแสไฟฟ้าอิ่มตัวย้อนกลับ คือ

$$I_s = AA^*T^2 \exp\left(-\frac{q\Phi_{B0}}{kT}\right) \quad (4.6)$$

อาจเขียนสมการที่ (4.5) อีกรูปหนึ่งได้เป็น

$$I = I_s \left\{ \exp\left(\frac{q}{nkT}(V - IR_s)\right) [1 - \exp(-qV/kT)] \right\} \quad (4.7)$$

วิธีการหาค่าความต้านทานไฟฟ้าอนุกรมของขวง (Cheung's Method) พิจารณาในช่วงแรงดันไบแอสไปข้างหน้าโดยการแทนสมการที่ (4.6) ลงในสมการที่ (4.5) แล้วจะได้ว่า

$$V = IR_s + n\Phi_B + \frac{nkT}{q} \ln\left(\frac{I}{AA^*T^2}\right) \quad (4.8)$$

เอกสารนี้เป็นเอกสารที่สงวนไว้สำหรับการใช้งานเพื่อการศึกษาเท่านั้น ไม่นุญาตให้นำไปใช้ประโยชน์ด้านการค้าไม่ว่ากรณีใดๆทั้งสิ้น อีกทั้งห้ามมิให้ดัดแปลงเนื้อหา และต้องอ้างอิงถึงเจ้าของเอกสารทุกครั้งที่มีการนำไปใช้

หาอนุพันธ์ของ V เทียบกับ $\ln I$ เพื่อหาค่าความต้านทานอนุกรม จากสมการที่ (4.8) จัดรูปใหม่ได้เป็น

$$\frac{dV}{d(\ln I)} = \frac{nkT}{q} + IR_s \quad (4.9)$$

ซึ่งจะสอดคล้องกับกราฟเส้นตรงจากกราฟความสัมพันธ์ระหว่าง $dV/d(\ln I)$ กับ I ดังภาพที่ 4.22 โดยความชันของกราฟนั้นคือค่าความต้านทานอนุกรมของวงจร (R_s) และจุดตัดแกน $dV/d(\ln I)$ มีค่าเท่ากับ nkT/q

ส่วนการหาความสูงของกำแพงศักย์นั้นจะหาได้โดยการจัดรูปของสมการที่ (4.8) ให้อยู่ในรูปฟังก์ชันของ $H(I)$ ดังนี้

$$H(I) = V - n \left(\frac{kT}{q} \right) \ln \left(\frac{I}{AA^* T^2} \right) \quad (4.10)$$

แล้วสมการที่ (4.10) จะกลายเป็น

$$H(I) = n\Phi_B + IR_s \quad (4.11)$$

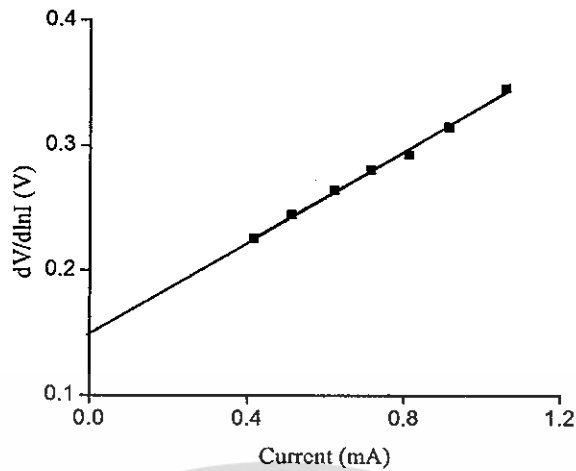
เมื่อทำการคำนวณค่า $H(I)$ จากข้อมูลของกระแสไฟฟ้าและแรงดันไฟฟ้าแล้วนำมาวาดกราฟความสัมพันธ์ระหว่าง $H(I)$ กับ I ก็จะได้ผลดังภาพที่ 4.23 โดยจะคำนวณหาค่าความสูงของกำแพงศักย์ได้จากจุดตัดแกนตั้ง ($n\Phi_B$) ของกราฟความสัมพันธ์ดังกล่าวแล้ว นอกจากนี้ความชันของกราฟที่เขียนขึ้นในรูปของฟังก์ชัน $H(I)$ นั่นก็คือค่าความต้านทานอนุกรมเช่นเดียวกับความสัมพันธ์ในสมการที่ (4.9) ซึ่งจะส่งผลให้ค่าความต้านทานอนุกรมที่ได้นั้นมีค่าใกล้เคียงกัน

กลไกการนำไฟฟ้าชนิดกระแสถูกจำกัดโดยประจุค้าง (SCLC) มักจะเขียนความสัมพันธ์ระหว่างกระแสไฟฟ้า-แรงดันไฟฟ้า ดังนี้คือ

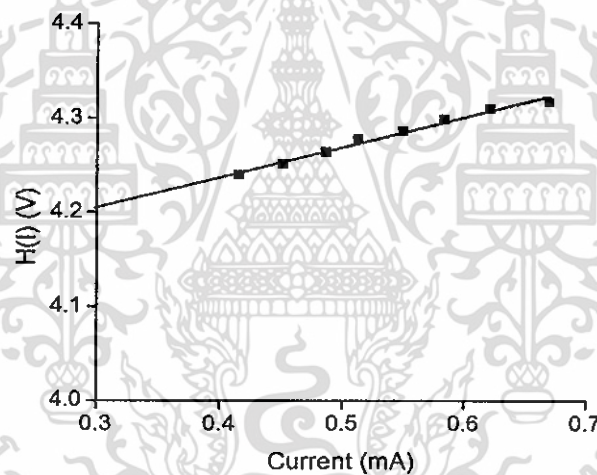
$$I = kV^m \quad (4.12)$$

$$\ln I = m \ln V + \ln k \quad (4.13)$$

เมื่อ m คือความชันของกราฟ ถ้า m มีค่าเท่ากับ 1.5 กลไกการนำไฟฟ้าชนิดกระแสถูกจำกัดโดยประจุค้างจะเป็นไปตามกฎของ ไซด์-แลงมัวร์ (Child-Langmuir's law) แต่ถ้า m เท่ากับ 2 จะเป็นไปตามกฎของมอตต์-เกอร์นีย์ (Mott-Gurney's law) แต่ถ้า $m > 2$ จะหมายถึงว่ากับดักประจุมีระดับพลังงานต่อเนื่องและมีการแจกแจงแบบเอกซ์โพเนนเชียล ซึ่งจากผลการทดลองได้ค่า m เท่ากับ 2.03 แสดงว่ากับดักประจุเป็นไปตามกฎของมอตต์-เกอร์นีย์



ภาพที่ 4.22 กราฟความสัมพันธ์ระหว่าง $dV/d(\ln I)$ กับ I เมื่อทำการวัดที่อุณหภูมิห้องของสิ่งประดิษฐ์รอยต่อวิวิธพันธุ์ของฟิล์มบางของสารกึ่งตัวนำ n-CdS/p-CuO ซึ่งเตรียมโดยวิธีรีแอ็คทีฟคิซีแมกนีตรอนสเป็คเตอริง



ภาพที่ 4.23 กราฟความสัมพันธ์ระหว่าง $H(I)$ กับ I เมื่อทำการวัดที่อุณหภูมิห้องของสิ่งประดิษฐ์รอยต่อวิวิธพันธุ์ของฟิล์มบางของสารกึ่งตัวนำ n-CdS/p-CuO ซึ่งเตรียมโดยวิธีรีแอ็คทีฟคิซีแมกนีตรอนสเป็คเตอริง

เอกสารนี้เป็นเอกสารที่สงวนไว้สำหรับการใช้งานเพื่อการศึกษาเท่านั้น ไม่อนุญาตให้นำไปใช้ประโยชน์ด้านการค้า ไม่ว่าจะกรณีใดๆทั้งสิ้น อีกทั้งห้ามมิให้ดัดแปลงเนื้อหา และต้องอ้างอิงถึงเจ้าของเอกสารทุกครั้งที่มีการนำไปใช้

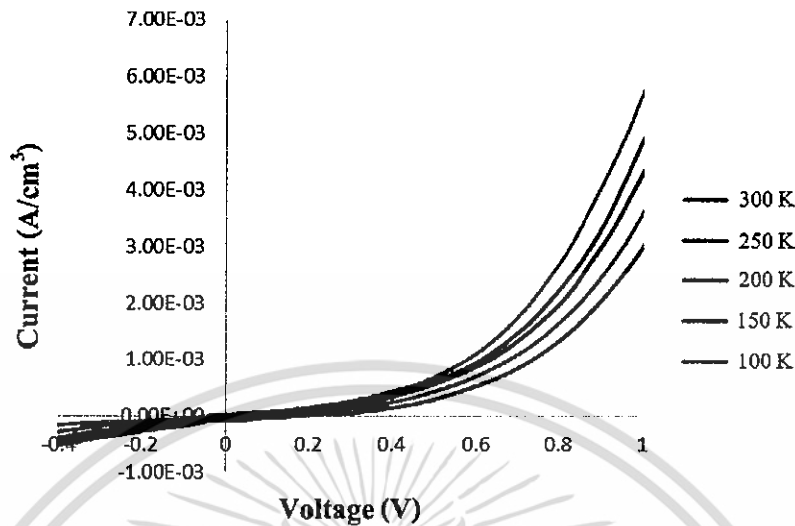
ตารางที่ 4.6 ค่ากระแสไฟฟ้าอิ่มตัวย้อนกลับ (I_s) ค่าแฟกเตอร์อุดมคติ (n) ค่าความสูงของกำแพงศักย์ในขณะไบแอสเป็นศูนย์ (ϕ_{B0}) และค่าความต้านทานอนุกรม (R_s) ที่ได้จากการคำนวณโดยใช้กลไกเทอร์มियोเนกิมิสชัน และวิธีของชวง เมื่อทำการวัดที่อุณหภูมิห้องของสิ่งประดิษฐ์รอยต่อวิวิธพันธุ์ของฟิล์มบางของสารกึ่งตัวนำ n-CdS/p-CuO ซึ่งเตรียมโดยวิธีรีแอคทีฟพีดีซีแมกนีตรอนสเปคเตอริง

Sample	Saturation Current I_s (A)	Ideality Factor n		Barrier Height Φ_{B0} (eV)		Series Resistance R_s (Ω)	
		TE	Cheung	TE	Cheung	Cheung	Cheung
		I-V	$[dV/d(\ln I)]^{-1}$	I-V	H(I)-I	H(I)-I	$[dV/d(\ln I)]^{-1}$
CdS/CuO	7.41×10^{-4}	5.19	5.79	0.534	0.709	0.31	0.18

4.5.3 ผลการศึกษาความสัมพันธ์ระหว่างค่ากระแสไฟฟ้ากับแรงดันไฟฟ้าของสิ่งประดิษฐ์รอยต่อวิวิธพันธุ์ของฟิล์มบางของสารกึ่งตัวนำ n-CdS/p-CuO ที่เคลือบบนแผ่นฐานรองรับที่เป็นกระจก FTO ซึ่งเตรียมโดยวิธีรีแอคทีฟพีดีซีแมกนีตรอนสเปคเตอริงเมื่อทำการวัดที่อุณหภูมิห้องในช่วงอุณหภูมิ 10-300 เคลวิน

ผลการศึกษาสมบัติทางไฟฟ้าของสิ่งประดิษฐ์รอยต่อวิวิธพันธุ์ของฟิล์มบางของสารกึ่งตัวนำ n-CdS/p-CuO โดยวัดค่าความสัมพันธ์ระหว่างค่ากระแสไฟฟ้ากับแรงดันไฟฟ้าช่วง -0.5 ถึง 1.0 โวลต์ เมื่อทำการวัดที่อุณหภูมิห้องในช่วงอุณหภูมิ 10 ถึง 300 เคลวิน พบว่าที่แรงดันไฟฟ้าเท่ากัน กระแสไฟฟ้าที่ไหลข้ามกำแพงศักย์ตรงบริเวณรอยต่อมีค่าลดลงตามอุณหภูมิที่ลดลง แสดงดังภาพที่ 4.24 และค่าแรงดันขีดเริ่มของไดโอดมีค่ามากขึ้นเมื่ออุณหภูมิลดลงจาก 0.5 เป็น 0.4 โวลต์ การศึกษากลไกของกระแสไฟฟ้าที่ไหลข้ามกำแพงศักย์ตรงบริเวณรอยต่อวิวิธพันธุ์ของฟิล์มบางของสารกึ่งตัวนำ n-CdS/p-CuO ที่ช่วงแรงดันไฟฟ้า -0.5 ถึง 1.0 โวลต์ ที่อุณหภูมิห้อง พบว่าที่แรงดันไฟฟ้าน้อยกว่า 0.15 โวลต์ เป็นกลไกการนำไฟฟ้าที่เป็นไปตามกฎของโอห์ม ส่วนช่วงแรงดันไฟฟ้า 0.15 ถึง 0.45 โวลต์เป็นกลไกการนำกระแสไฟฟ้าเป็นไปตามกลไกเทอร์มियोเนกิมิสชัน และที่แรงดันไฟฟ้าบริเวณมากกว่า 0.45 โวลต์ จะเป็นกลไกการนำไฟฟ้าชนิดกระแสถูกจำกัดโดยประจุค้างที่เกิดจากกับดักประจุในเนื้อสารที่มี การแจกแจงแบบเอกซ์โพเนนเชียล เมื่อเขียนกราฟความสัมพันธ์ระหว่าง $\ln I$ กับ V เพื่อหาค่าแฟกเตอร์อุดมคติและค่ากระแสไฟฟ้าอิ่มตัวย้อนกลับ แล้วนำไปใช้เป็นตัวเริ่มต้นในการจำลองข้อมูล เพื่อเทียบกับผลจากการวัดค่าความสัมพันธ์ระหว่าง กระแสไฟฟ้ากับแรงดันไฟฟ้าในช่วงการไหลของกระแสไฟฟ้าข้ามรอยต่อวิวิธพันธุ์ของฟิล์มบางของสารกึ่งตัวนำ n-CdS/p-CuO ที่เป็นกลไกเทอร์มियोเนกิมิสชันเพื่อใช้ช่วยหาค่ากระแสไฟฟ้าอิ่มตัวย้อนกลับ และ แฟกเตอร์อุดมคติให้ถูกต้องยิ่งขึ้น การหาค่าความต้านทานไฟฟ้าอนุกรมจะใช้วิธีของชวง โดยค่ากระแสไฟฟ้าอิ่มตัวย้อนกลับ ค่าแฟกเตอร์อุดมคติ ค่าความสูงของกำแพง

ศักย์ และค่าความต้านทานไฟฟ้าอนุกรมที่อุณหภูมิต่ำในช่วง 10 ถึง 300 เคลวิน ที่คำนวณได้จากกลไกเทอร์มิออนิกอิมิตชันและวิธีของชวง แสดงในตารางที่ 4.7



ภาพที่ 4.24 กราฟความสัมพันธ์ระหว่างค่ากระแสไฟฟ้ากับแรงดันไฟฟ้าเมื่อทำการวัดที่อุณหภูมิต่ำในช่วงอุณหภูมิ 10-300 เคลวิน ของรอยต่อวิวิธพันธุ์ของฟิล์มบางของสารกึ่งตัวนำ n-CdS/p-CuO ซึ่งเตรียมโดยวิธีรีแอคทีฟดีซีแมกนีตรอนสปีดเตอริง

ตารางที่ 4.7 ค่ากระแสไฟฟ้าอิ่มตัวย้อนกลับ ค่าแฟกเตอร์อุดมคติ ค่าความสูงของกำแพงศักย์และค่าความต้านทานไฟฟ้าอนุกรม ที่ได้จากการคำนวณโดยใช้กลไกเทอร์มิออนิกอิมิตชัน และวิธีของชวง เมื่อทำการวัดที่อุณหภูมิต่ำในช่วงอุณหภูมิ 10 ถึง 300 เคลวิน ของสิ่งประดิษฐ์รอยต่อวิวิธพันธุ์ของฟิล์มบางของสารกึ่งตัวนำ n-CdS/p-CuO ที่เคลือบบนแผ่นฐานรองรับที่เป็นกระจก FTO ซึ่งเตรียมโดยวิธีรีแอคทีฟดีซีแมกนีตรอนสปีดเตอริง

Temperature (K)	Saturation Current (I_s) (A)	Ideality Factor (n)		Barrier Height (eV)		Series Resistance (Ω)	
		TE	Cheung	TE	Cheung	Cheung	Cheung
		I-V	$dV/d(\ln I)-I$	I-V	$H(I)-I$	$H(I)-I$	$dV/d(\ln I)-I$
10	1.99E-04	94.03	89.61	0.375	0.381	6.98	5.07
20	2.18E-04	51.17	63.38	0.376	0.386	5.73	4.20
40	2.32E-04	24.16	23.12	0.385	0.401	4.41	3.32
60	2.49E-04	17.92	13.86	0.401	0.410	3.70	2.83

เอกสารนี้เป็นเอกสารที่สงวนไว้สำหรับการใช้งานเพื่อการศึกษาเท่านั้น ไม่อนุญาตให้นำไปใช้ประโยชน์ด้านการค้าไม่ว่ากรณีใดๆทั้งสิ้น อีกทั้งห้ามมิให้ดัดแปลงเนื้อหา และต้องอ้างอิงถึงเจ้าของเอกสารทุกครั้งที่มีการนำไปใช้

ตารางที่ 4.7 (ต่อ) ค่ากระแสไฟฟ้าอิมตัวย้อนกลับ ค่าแฟกเตอร์อุคมคติ ค่าความสูงของกำแพงศักย์และค่าความต้านทานไฟฟ้าอนุกรม ที่ได้จากการคำนวณ โดยใช้กลไกเทอร์มิออนิกอิมิตชันและวิธีของชวง เมื่อทำการวัดที่อุณหภูมิค่าในช่วงอุณหภูมิ 10 ถึง 300 เคลวิน ของสิ่งประดิษฐ์รอยต่อวิวิธพันธุ์ของฟิล์มบางของสารกึ่งตัวนำ n-CdS/p-CuO ที่เคลือบบนแผ่นฐานรองรับที่เป็นกระจก FTO ซึ่งเตรียมโดยวิธีรีแอ็คทีฟดีซีแมกนีตรอนสปีดเตอริง

80	2.67E-04	14.24	11.01	0.408	0.415	3.25	2.56
100	2.77E-04	11.95	9.35	0.418	0.426	2.99	2.39
120	2.96E-04	10.91	8.05	0.429	0.435	2.83	2.23
140	3.07E-04	10.13	7.79	0.435	0.447	2.70	2.11
160	3.12E-04	9.61	7.27	0.446	0.453	2.35	1.84
180	3.19E-04	9.35	6.75	0.458	0.468	2.06	1.52
200	3.23E-04	8.05	6.75	0.464	0.475	1.70	1.24
220	3.31E-04	7.53	6.49	0.475	0.483	1.57	1.08
240	3.37E-04	7.27	5.97	0.490	0.498	1.38	0.81
260	3.76E-04	6.75	5.71	0.495	0.503	1.06	0.47
280	4.19E-04	5.71	5.19	0.504	0.514	0.87	0.30
300	5.08E-04	5.19	4.15	0.520	0.534	0.31	0.18

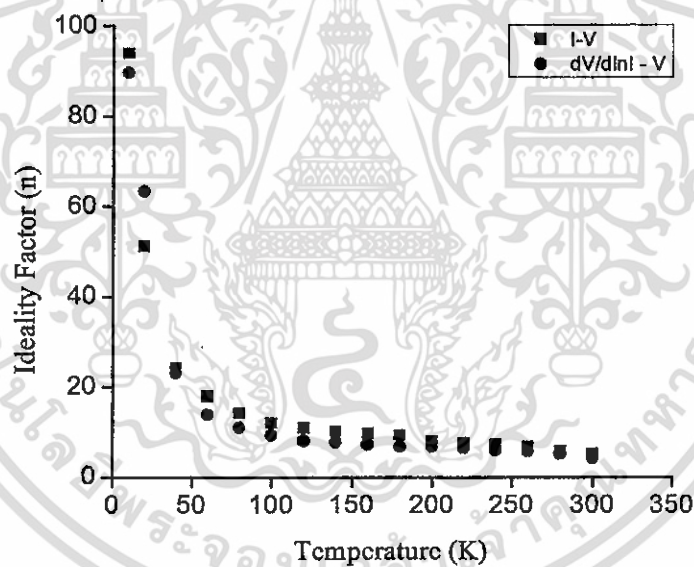
จากผลการทดลองพบว่ากระแสไฟฟ้าอิมตัวย้อนกลับมีค่าน้อยลงตามอุณหภูมิที่ลดลง ส่วนค่าแฟกเตอร์อุคมคติที่ได้จากกลไกเทอร์มิออนิกอิมิตชันและวิธีของชวงมีค่ามากขึ้น เมื่ออุณหภูมิลดลงและมีลักษณะไม่เป็นเชิงเส้น แสดงดังภาพที่ 4.25

ค่าความสูงกำแพงศักย์ที่คำนวณได้จากกลไกเทอร์มิออนิกอิมิตชันและวิธีของชวงมีค่าน้อยลงตามอุณหภูมิที่ลดลงเหมือนกัน แสดงดังภาพที่ 4.27 ส่วนค่าความสูงกำแพงศักย์ที่ได้จากวิธีของชวงมีค่าใกล้เคียงกับกลไกเทอร์มิออนิกอิมิตชัน

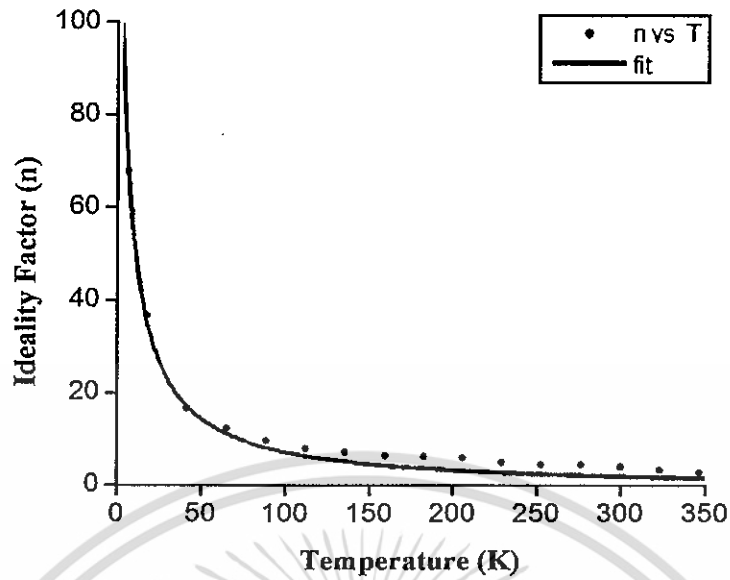
การที่ค่าแฟกเตอร์อุคมคติและค่าความสูงกำแพงศักย์ที่มีค่าเปลี่ยนแปลงตามอุณหภูมิเนื่องจากได้ใช้การวัดกระแสไฟฟ้าที่ไหลข้ามกำแพงศักย์ชอตต์กิมาคำนวณหาค่าตัวแปรเหล่านี้ ดังนั้นค่าของตัวแปรจะขึ้นอยู่กับปริมาณของกระแสไฟฟ้าที่วัดได้ที่อุณหภูมิสูงจะมีพลังงานความร้อนไปกระตุ้น

ให้พาหะอิสระให้มีระดับพลังงานสูงและมีจำนวนมากขึ้น เมื่อมีการให้แรงดันไบอัสไปหน้าหรือพลังงาน กระตุ้นจากภายนอกเพียงเล็กน้อย พาหะอิสระที่มีระดับพลังงานสูงเหล่านี้ก็สามารถข้ามกำแพงศักย์ที่มีค่า สูงได้ ดังนั้นจะได้ค่ากำแพงศักย์ที่มากและค่าแฟกเตอร์อุดมคติที่เข้าใกล้หนึ่ง แต่ที่อุณหภูมิระดับ พลังงานของพาหะอิสระมีค่าน้อยจึงจำเป็นต้องใช้แรงดันไฟฟ้าเพิ่มขึ้นเพื่อจะข้ามกำแพงศักย์ ซึ่งกำแพง ศักย์ที่สามารถข้ามได้นั้นก็เป็นกำแพงศักย์ที่มีค่าน้อยเนื่องจากไม่มีพลังงานเพียงพอที่จะข้ามกำแพงศักย์ที่ มีค่าสูงได้ ดังนั้นที่อุณหภูมิต่ำจึงมีค่าความสูงของกำแพงศักย์น้อยและค่าแฟกเตอร์อุดมคติจะมีค่ามากที่สุด อุณหภูมิสูงพาหะอิสระที่สามารถข้ามกำแพงศักย์ที่มีค่าต่ำก็ยังมีอยู่ แต่เนื่องจากมีปริมาณน้อยเมื่อเทียบกับ ปริมาณพาหะอิสระที่มีระดับพลังงานที่สามารถข้ามกำแพงศักย์ที่มีค่าสูงได้

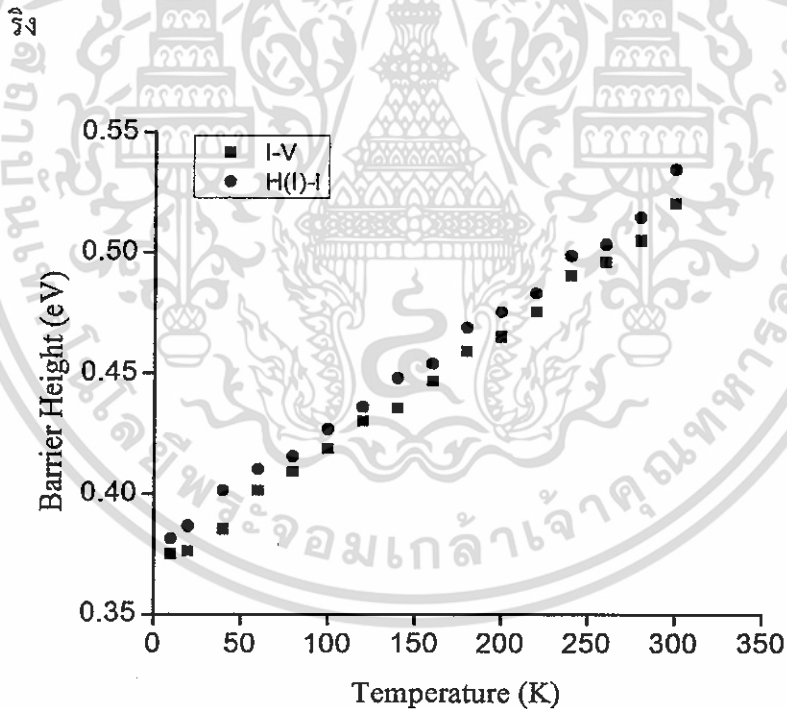
ค่าความต้านทานไฟฟ้าอนุกรมที่คำนวณได้จากวิธีของชวง พบว่ามีค่าลดลงเมื่ออุณหภูมิ เพิ่มขึ้น ดังภาพที่ 4.28 การที่ค่าความต้านทานไฟฟ้าอนุกรมเพิ่มขึ้นเมื่ออุณหภูมิลดลงนั้น มีสาเหตุมาจากการ ที่ความหนาแน่นของพาหะอิสระลดลง ซึ่งเกิดจากการที่กับดักพาหะได้จับพาหะอิสระเอาไว้ที่บริเวณ ศิวรอยต่อและการที่พาหะอิสระมีพลังงานน้อยลงเมื่ออุณหภูมิลดลงจึงทำให้พาหะอิสระอยู่กับที่ (freeze-out - carrier) การที่จะให้พาหะอิสระเคลื่อนที่ข้ามรอยต่อ $p^+ - n$ ได้นั้นจำเป็นต้องให้แรงดันไฟฟ้าเพิ่มขึ้น



ภาพที่ 4.25 กราฟความสัมพันธ์ระหว่างค่าแฟกเตอร์อุดมคติกับอุณหภูมิที่คำนวณได้จากกลไกเทอร์มิอ นิกอิมีสชันและวิธีของชวงที่เป็นความสัมพันธ์ระหว่าง $dV/d(\ln I)$ กับ T เมื่อทำการวัดที่ อุณหภูมิค่าในช่วงอุณหภูมิ 10-300 เคลวิน ของสิ่งประดิษฐ์รอยต่อวิวิธพันธุ์ของฟิล์มบางของ สารกึ่งตัวนำ $n\text{-CdS}/p\text{-CuO}$ ซึ่งเตรียม โดยวิธีรีแอ็คทีฟดีซี แมกนีตรอนสเป็คเตอริง

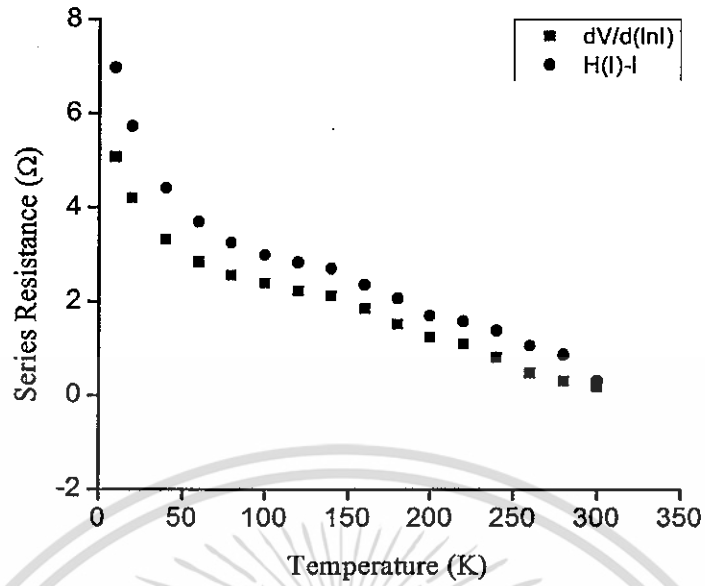


ภาพที่ 4.26 การหาค่า E_{00} โดยการพล็อตกราฟความสัมพันธ์ระหว่างค่าแฟกเตอร์อุดมคติกับอุณหภูมิ เมื่อทำการวัดที่อุณหภูมิต่ำในช่วงอุณหภูมิ 10-300 เคลวิน ของสิ่งประดิษฐ์รอยต่อวิวิธพันธุ์ของฟิล์มบางของสารกึ่งตัวนำ n-CdS/p-CuO ซึ่งเตรียมโดยวิธีรีแอ็คทีฟที่ฟิล์มซีแมกนีตรอนสปัตเตอร์

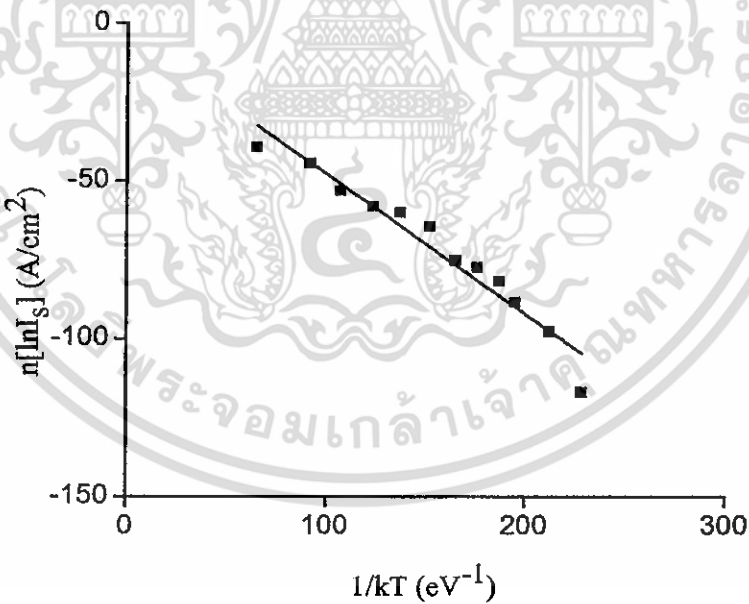


ภาพที่ 4.27 กราฟความสัมพันธ์ระหว่างค่าความสูงกำแพงศักย์กับอุณหภูมิที่คำนวณได้จากกลไกเทอร์มิโอนิกอิมิสชันและวิธีของชวงเมื่อทำการวัดที่อุณหภูมิต่ำในช่วงอุณหภูมิ 10-300 เคลวิน ของสิ่งประดิษฐ์รอยต่อวิวิธพันธุ์ของฟิล์มบางของสารกึ่งตัวนำ n-CdS/p-CuO ซึ่งเตรียมโดยวิธีรีแอ็คทีฟที่ฟิล์มซีแมกนีตรอนสปัตเตอร์จริง

เอกสารนี้เป็นเอกสารที่สงวนไว้สำหรับการใช้งานเพื่อการศึกษาเท่านั้น ไม่อนุญาตให้นำไปใช้ประโยชน์ด้านการค้า ไม่ว่าจะกรณีใดๆทั้งสิ้น อีกทั้งห้ามมิให้ดัดแปลงเนื้อหา และต้องอ้างอิงถึงเจ้าของเอกสารทุกครั้งที่มีการนำไปใช้



ภาพที่ 4.28 กราฟความสัมพันธ์ระหว่างค่าความต้านทานไฟฟ้าอนุกรมกับอุณหภูมิที่ได้จากวิธีของชวงเมื่อทำการวัดที่อุณหภูมิต่ำในช่วงอุณหภูมิ 10-300 เคลวิน ของสิ่งประดิษฐ์รอยต่อวิวิธพันธุ์ของฟิล์มบางของสารกึ่งตัวนำ n-CdS/p-CuO ซึ่งเตรียมโดยวิธีรีแอ็คทีฟดีซีแมกนีตรอนสเป็คเตอริง



ภาพที่ 4.29 กราฟอาร์เรเนียสของ $n[\ln I_s]$ เมื่อทำการวัดที่อุณหภูมิต่ำในช่วงอุณหภูมิ 10-300 เคลวิน ของสิ่งประดิษฐ์รอยต่อวิวิธพันธุ์ของฟิล์มบางของสารกึ่งตัวนำ n-CdS/p-CuO ซึ่งเตรียมโดยวิธีรีแอ็คทีฟดีซีแมกนีตรอนสเป็คเตอริง

เอกสารนี้เป็นเอกสารที่สงวนไว้สำหรับการใช้งานเพื่อการศึกษาเท่านั้น ไม่อนุญาตให้นำไปใช้ประโยชน์ด้านการค้า ไม่ว่ากรณีใดๆทั้งสิ้น อีกทั้งห้ามมิให้ดัดแปลงเนื้อหา และต้องอ้างอิงถึงเจ้าของเอกสารทุกครั้งที่มีการนำไปใช้

จากค่าความชันของกราฟในภาพที่ 4.29 สามารถคำนวณหาค่าพลังงานกระตุ้นของรอยต่อได้จาก สมการที่ (4.14)

$$n \ln(J_0) = -E_a \left(\frac{1}{kT} \right) \quad (4.14)$$

พลังงานกระตุ้น E_a หาได้จากความชันของภาพที่ 4.26

ดังนั้น

$$\text{ความชัน} = E_a$$

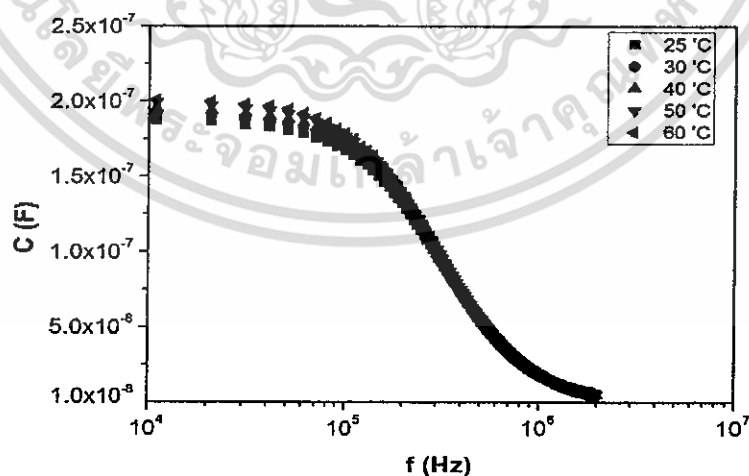
จะได้

$$E_a = 0.4431 \text{ อิเล็กตรอน โวลต์}$$

จากผลการทดลองพบว่ากระแสไฟฟ้าอิมพัลส์ย้อนกลับมีค่าเพิ่มขึ้นตามอุณหภูมิที่เพิ่มขึ้น ส่วนค่าแฟกเตอร์อุดมคติที่ได้จากกลไกเทอร์มิโอนิกอิมพัลส์ และวิธีของชวงมีค่าลดลง เมื่ออุณหภูมิเพิ่มขึ้น และมีลักษณะไม่เป็นเชิงเส้น แสดงดังภาพที่ 4.29 และเมื่อนำกราฟความสัมพันธ์ไปเทียบเคียงกับสมการที่ (4.14) เพื่อหาค่าลักษณะเฉพาะของพลังงานการชุกคูโมงค์ทะลุผ่านกำแพงศักย์ (E_{00}) พบว่ามีค่าเท่ากับ 0.4431 อิเล็กตรอน โวลต์

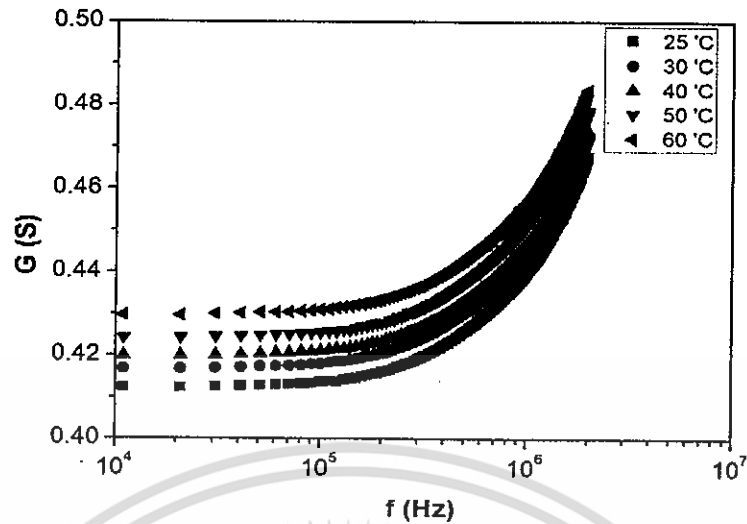
4.5.4 การศึกษาสมบัติทางไฟฟ้ากระแสลับในช่วงความถี่ 10 กิโลเฮิร์ตซ์ถึง 2 เมกะเฮิร์ตซ์ ของสิ่งประดิษฐ์รอยต่อวิวิธพันธุ์ของฟิล์มบางของสารกึ่งตัวนำ n-CdS/p-CuO ที่เคลือบบนแผ่นฐานรองรับที่เป็นกระจก FTO ซึ่งเตรียม โดยวิธีรีแอ็คทีฟดีซีแมกนีตรอนสเป็คเตอรริง

ผลการศึกษาอิมพีแดนซ์สเปกโตรสโคปี เมื่อทำการวัดที่อุณหภูมิในช่วง 25 ถึง 60 องศาเซลเซียส ของสิ่งประดิษฐ์รอยต่อวิวิธพันธุ์ของฟิล์มบางของสารกึ่งตัวนำ n-CdS/p-CuO

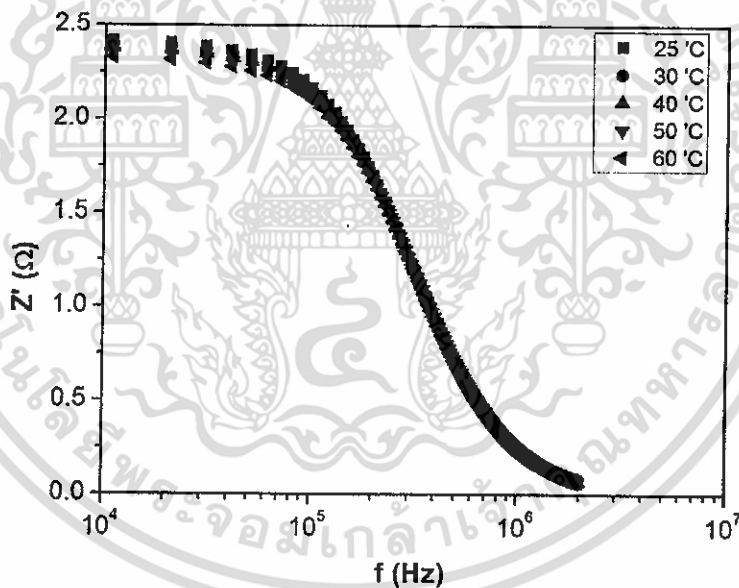


ภาพที่ 4.30 กราฟความสัมพันธ์ระหว่างค่าความจุไฟฟ้ากับความถี่ที่อุณหภูมิในช่วง 25 ถึง 60 องศาเซลเซียส ของสิ่งประดิษฐ์รอยต่อวิวิธพันธุ์ของฟิล์มบางของสารกึ่งตัวนำ n-CdS/p-CuO ซึ่งเตรียม โดยวิธีรีแอ็คทีฟดีซีแมกนีตรอนสเป็คเตอรริง

เอกสารนี้เป็นเอกสารที่สงวนไว้สำหรับการใช้งานเพื่อการศึกษาเท่านั้น ไม่อนุญาตให้นำไปใช้ประโยชน์ด้านการค้า ไม่ว่ากรณีใดๆทั้งสิ้น อีกทั้งห้ามมิให้ดัดแปลงเนื้อหา และต้องอ้างอิงถึงเจ้าของเอกสารทุกครั้งที่มีการนำไปใช้

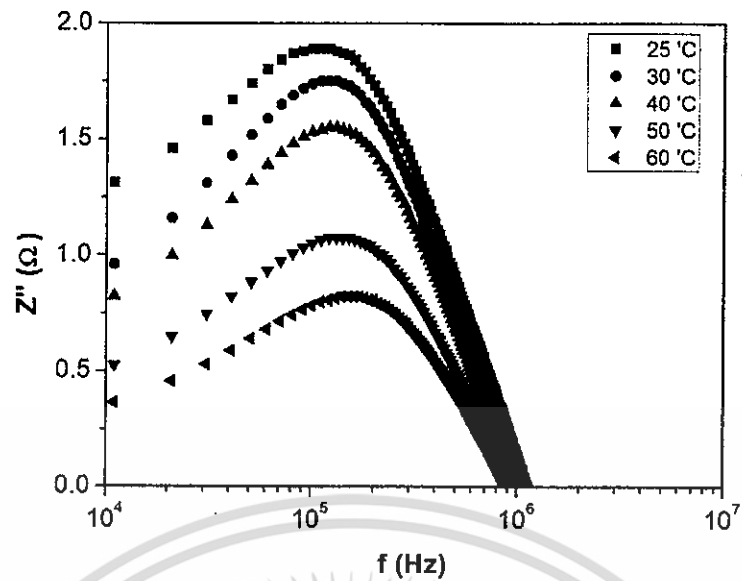


ภาพที่ 4.31 กราฟความสัมพันธ์ระหว่างค่าความนำไฟฟ้ากับความถี่ที่อุณหภูมิในช่วง 25 ถึง 60 องศาเซลเซียส ของสิ่งประดิษฐ์รอยต่ออวิวิหพันธ์ของฟิล์มบางของสารกึ่งตัวนำ n-CdS/p-CuO ซึ่งเตรียมโดยวิธีรีแอ็คทีฟดิซีแมกนีตรอนสปีดเตอร์ริง

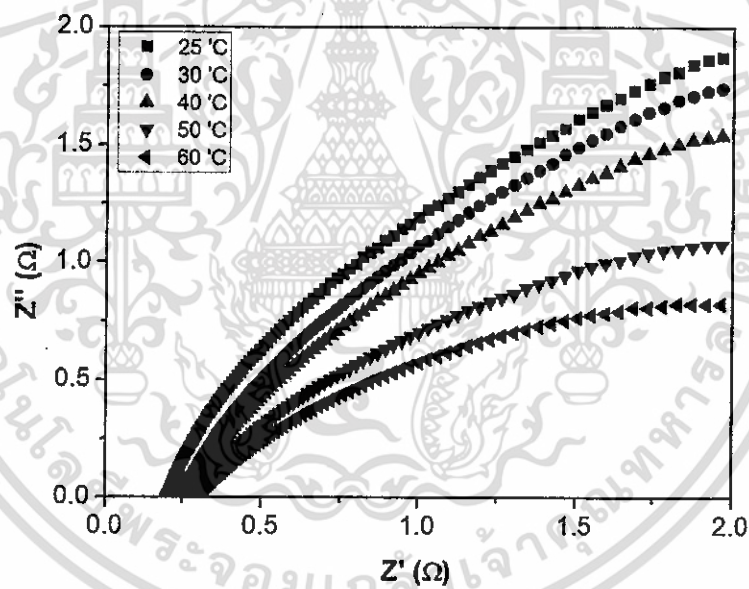


ภาพที่ 4.32 กราฟความสัมพันธ์ระหว่างค่าจำนวนจริงของอิมพีแดนซ์เชิงซ้อนกับความถี่ที่อุณหภูมิในช่วง 25 ถึง 60 องศาเซลเซียส ของสิ่งประดิษฐ์รอยต่ออวิวิหพันธ์ของฟิล์มบางของสารกึ่งตัวนำ n-CdS/p-CuO ซึ่งเตรียมโดยวิธีรีแอ็คทีฟดิซีแมกนีตรอนสปีดเตอร์ริง

เอกสารนี้เป็นเอกสารที่สงวนไว้สำหรับการใช้งานเพื่อการศึกษาเท่านั้น ไม่อนุญาตให้นำไปใช้ประโยชน์ด้านการค้า ไม่ว่ากรณีใดๆทั้งสิ้น อีกทั้งห้ามมิให้ดัดแปลงเนื้อหา และต้องอ้างอิงถึงเจ้าของเอกสารทุกครั้งที่มีการนำไปใช้

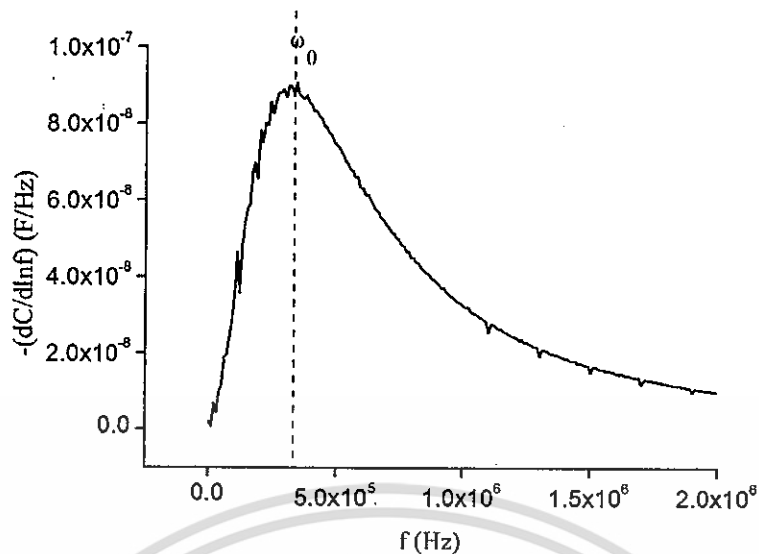


ภาพที่ 4.33 กราฟความสัมพันธ์ระหว่างค่าจินตภาพของอิมพีแดนซ์กับความถี่ที่อุณหภูมิในช่วง 25 ถึง 60 องศาเซลเซียส ของสิ่งประดิษฐ์รอยต่อวิวิธพันธุ์ของฟิล์มบางของสารกึ่งตัวนำ n-CdS/p-CuO ซึ่งเตรียมโดยวิธีรีแอ็คทีฟดีซีแมกนีตรอนสปีดเตอร์ริง

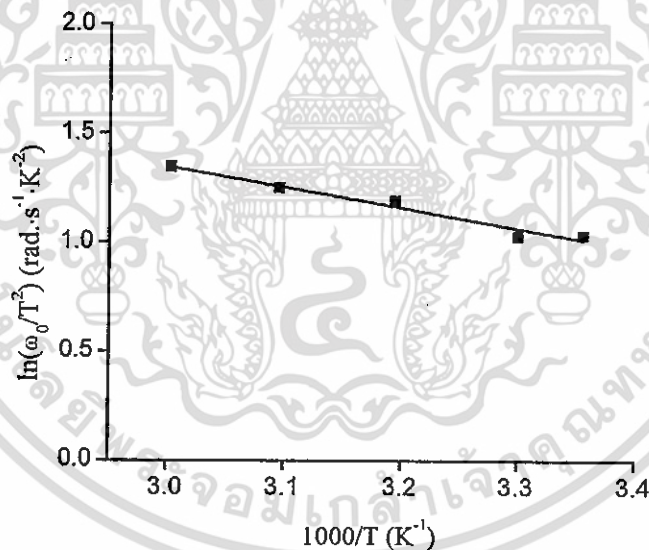


ภาพที่ 4.34 กราฟความสัมพันธ์ของค่าอิมพีแดนซ์เชิงซ้อนที่อุณหภูมิในช่วง 25 ถึง 60 องศาเซลเซียส ของสิ่งประดิษฐ์รอยต่อวิวิธพันธุ์ของฟิล์มบางของสารกึ่งตัวนำ n-CdS/p-CuO ซึ่งเตรียมโดยวิธีรีแอ็คทีฟดีซีแมกนีตรอนสปีดเตอร์ริง

เอกสารนี้เป็นเอกสารที่สงวนไว้สำหรับการใช้งานเพื่อการศึกษาเท่านั้น ไม่อนุญาตให้นำไปใช้ประโยชน์ด้านการค้า ไม่ว่ากรณีใดๆทั้งสิ้น อีกทั้งห้ามมิให้ดัดแปลงเนื้อหา และต้องอ้างอิงถึงเจ้าของเอกสารทุกครั้งที่มีการนำไปใช้

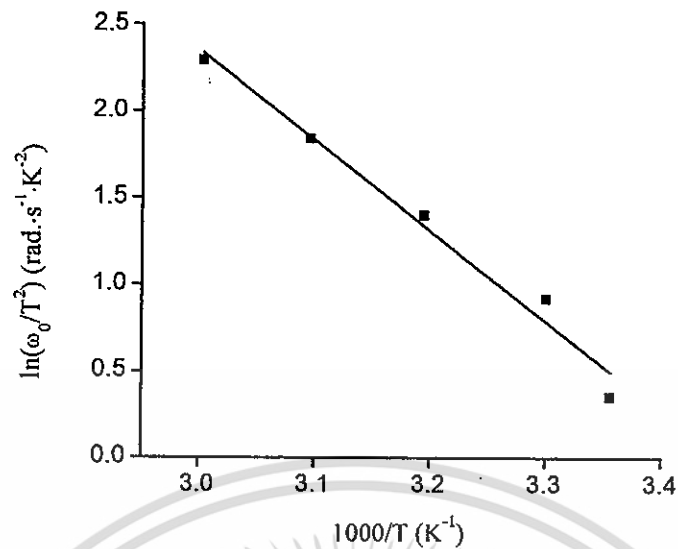


ภาพที่ 4.35 กราฟความสัมพันธ์ระหว่าง $-dC/d\ln f$ กับ f เพื่อหาค่า ω_0 ที่อุณหภูมิ 25 องศาเซลเซียส ของสิ่งประดิษฐ์รอยต่อวิวิธพันธุ์ของฟิล์มบางของสารกึ่งตัวนำ n-CdS/p-CuO ซึ่งเตรียมโดยวิธีรีแอ็คทีฟดีซีแมกนีตรอนสเป็คเตอรืง

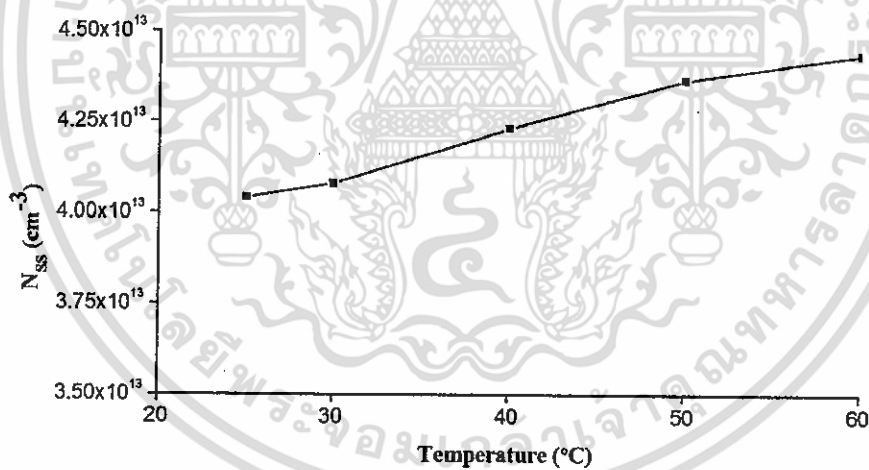


ภาพที่ 4.36 กราฟความสัมพันธ์ระหว่างค่า $\ln(\omega_0/T^2)$ กับ $(1000/T)$ ที่ได้จากการหาค่า ω_0 ของกราฟความสัมพันธ์ของ $-dC/d\ln f$ กับความถี่เมื่อทำการวัดในช่วงอุณหภูมิ 25 ถึง 60 องศาเซลเซียส ของสิ่งประดิษฐ์รอยต่อวิวิธพันธุ์ของฟิล์มบางของสารกึ่งตัวนำ n-CdS/p-CuO ซึ่งเตรียมโดยวิธีรีแอ็คทีฟดีซีแมกนีตรอนสเป็คเตอรืง

เอกสารนี้เป็นเอกสารที่สงวนไว้สำหรับการใช้งานเพื่อการศึกษาเท่านั้น ไม่อนุญาตให้นำไปใช้ประโยชน์ด้านการค้า ไม่ว่ากรณีใดๆทั้งสิ้น อีกทั้งห้ามมิให้ดัดแปลงเนื้อหา และต้องอ้างอิงถึงเจ้าของเอกสารทุกครั้งที่มีการนำไปใช้



ภาพที่ 4.37 กราฟความสัมพันธ์ระหว่างค่า $\ln(\omega_0/T^2)$ กับ $(1000/T)$ ที่ได้จากการหาค่า ω_0 ของอิมพีแดนซ์เชิงซ้อนในช่วงอุณหภูมิ 25 ถึง 60 องศาเซลเซียส ของสิ่งประดิษฐ์รอยต่อวิวิธพันธุ์ของฟิล์มบางของสารกึ่งตัวนำ n-CdS/p-CuO ซึ่งเตรียมโดยวิธีรีแอ็คทีฟดีซีแมกนีตรอนสเป็คเตอรัง



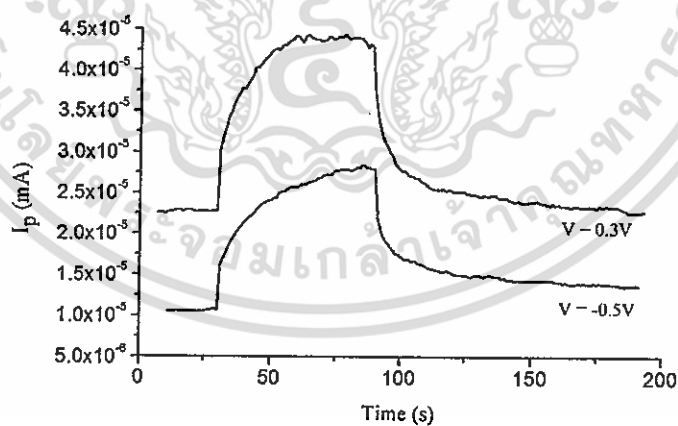
ภาพที่ 4.38 กราฟความสัมพันธ์ระหว่างค่าความหนาแน่นของสถานะผิวเชื่อมต่อกับช่วงอุณหภูมิในช่วง 25 ถึง 60 องศาเซลเซียสของสิ่งประดิษฐ์รอยต่อวิวิธพันธุ์ของฟิล์มบางของสารกึ่งตัวนำ n-CdS/p-CuO ซึ่งเตรียมโดยวิธีรีแอ็คทีฟดีซีแมกนีตรอนสเป็คเตอรัง

จากกราฟความสัมพันธ์ $\ln(\omega_0/T^2)$ กับ $(1000/T)$ สามารถคำนวณหาค่าพลังงานกระตุ้น (E_g) และพารามิเตอร์ต่างๆ ได้ดังตารางที่ 4.8

ตารางที่ 4.8 ค่าความถี่เฉพาะ พลังงานกระตุ้น และตัวแปรต่างๆ ที่คำนวณได้จากสองวิธีของสิ่งประดิษฐ์ รอยต่อวิวิธพันธุ์ของฟิล์มบางของสารกึ่งตัวนำ n-CdS/p-CuO ซึ่งเตรียมโดยวิธีรีแอ็คทีฟที่ฟิสิกส์ซีแมกนีตรอนสเป็คเตอริง

Method	T (°C)	ω_0 (rad/s)	E_a (eV)	ξ_0 (s ⁻¹ K ⁻²)	σ_T (cm ⁻²)
(-dC/dlnf)-f	25	340,830	0.082	66.6	2.6×10^{-24}
	30	320,840			
	40	320,840			
	50	290,855			
	60	310,845			
Z'-Z''	25	100,950	0.466	1.16×10^6	4.54×10^{-18}
	30	110,945			
	40	510,745			
	50	120,940			
	60	110,045			

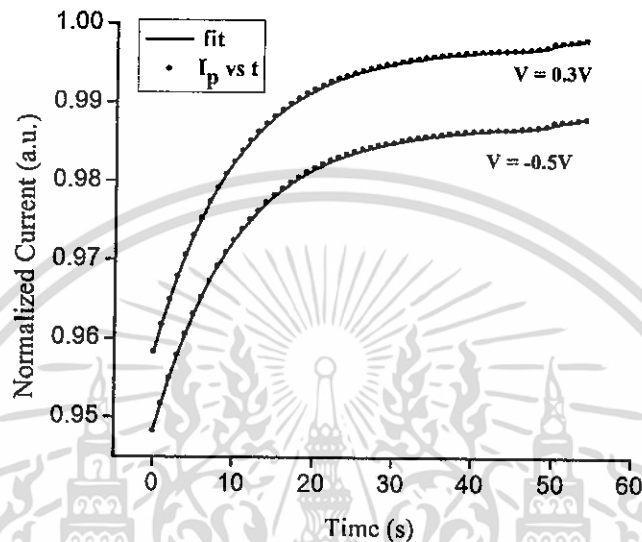
4.5.5 ผลการศึกษาสภาพนำไฟฟ้าเชิงแสงของสิ่งประดิษฐ์รอยต่อวิวิธพันธุ์ของฟิล์มบางของสารกึ่งตัวนำ n-CdS/p-CuO ที่เคลือบบนแผ่นฐานรองรับที่เป็นกระจก FTO ซึ่งเตรียมโดยวิธีรีแอ็คทีฟที่ฟิสิกส์ซีแมกนีตรอนสเป็คเตอริง



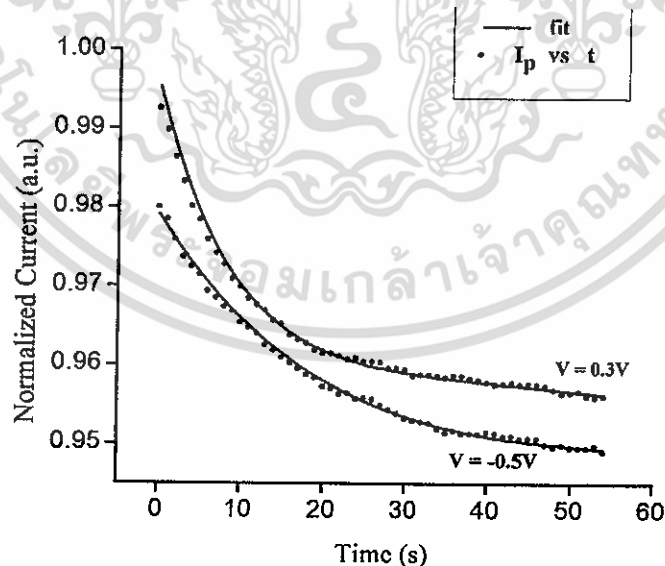
ภาพที่ 4.39 กราฟความสัมพันธ์ระหว่างกระแสไฟโตกับเวลาภายใต้แรงดันไบอัส -0.5 กับ 0.3 โวลต์ของสิ่งประดิษฐ์รอยต่อวิวิธพันธุ์ของฟิล์มบางของสารกึ่งตัวนำ n-CdS/p-CuO ซึ่งเตรียมโดยวิธีรีแอ็คทีฟที่ฟิสิกส์ซีแมกนีตรอนสเป็คเตอริง

จากกราฟในรูปที่ 4.39 เมื่อนำไปหาความสัมพันธ์ระหว่าง $\ln I_p$ กับ t ของสภาพนำไฟฟ้าเชิงแสงทั้งช่วงกระแสขาขึ้นและช่วงกระแสขาลงทำให้ทราบค่าช่วงชีวิตพาหะได้ จากนั้นจึงนำค่าช่วงเอกสารนี้เป็นเอกสารที่สงวนไว้สำหรับการใช้งานเพื่อการศึกษาเท่านั้น ไม่นอนุญาตให้นำไปใช้ประโยชน์ด้านการค้าไม่ว่ากรณีใดๆทั้งสิ้น อีกทั้งห้ามมิให้ดัดแปลงเนื้อหา และต้องอ้างอิงถึงเจ้าของเอกสารทุกครั้งที่มีการนำไปใช้

ชีวิตพหุนี้ไปเป็นค่าเริ่มต้นในการพิตกราฟโดยใช้มัลติเพิลเอ็กซ์โพเนนเชียลฟังก์ชัน เพื่อหาค่าพารามิเตอร์ต่างๆ ดังแสดงในตารางที่ 4.9 และพล็อตกราฟความสัมพันธ์ระหว่างกระแสออร์มัลไลซ์กับเวลาของกระแสไฟโตขาขึ้นและขาลงจะแสดง ดังภาพที่ 4.41 และภาพที่ 4.42 ตามลำดับ ส่วนตารางที่ 4.10 จะแสดงค่าความหนาแน่นของกัมตักพหุของสิ่งประดิษฐ์รอยต่อวิวิธพันธุ์ของฟิล์มบางของสารกึ่งตัวนำ n-CdS/p-CuO ในช่วงกระแสขาลง



ภาพที่ 4.40 กราฟความสัมพันธ์ระหว่างกระแสออร์มัลไลซ์ขาขึ้นกับเวลา ของสิ่งประดิษฐ์รอยต่อวิวิธพันธุ์ของฟิล์มบางของสารกึ่งตัวนำ n-CdS/p-CuO ซึ่งเตรียมโดยวิธีรีแอ็คทีฟดีซีแมกนีตรอนสปีดเตอริง



ภาพที่ 4.41 กราฟความสัมพันธ์ระหว่างกระแสออร์มัลไลซ์ขาลงกับเวลาของสิ่งประดิษฐ์รอยต่อวิวิธพันธุ์ของฟิล์มบางของสารกึ่งตัวนำ n-CdS/p-CuO ซึ่งเตรียมโดยวิธีรีแอ็คทีฟดีซีแมกนีตรอนสปีดเตอริง

เอกสารนี้เป็นเอกสารที่สงวนไว้สำหรับการใช้งานเพื่อการศึกษาเท่านั้น ไม่อนุญาตให้นำไปใช้ประโยชน์ด้านการค้าไม่ว่ากรณีใดๆทั้งสิ้น อีกทั้งห้ามมิให้ดัดแปลงเนื้อหา และต้องอ้างอิงถึงเจ้าของเอกสารทุกครั้งที่มีการนำไปใช้

ตารางที่ 4.9 ค่าพารามิเตอร์ต่างๆของสภาพนำไฟฟ้าเชิงแสงคือรีนของสิ่งประดิษฐ์รอยต่อวิวิธพันธุ์ของฟิล์มบางของสารกึ่งตัวนำ n-CdS/p-CuO ซึ่งเตรียมโดยวิธีแอ็คทีฟพีดีซีแมกนีตรอนสเป็คเตอรืงที่ได้จากการพีคกราฟให้เข้ากับฟังก์ชันมัลติเพิลเอกซ์โพเนนเชียล

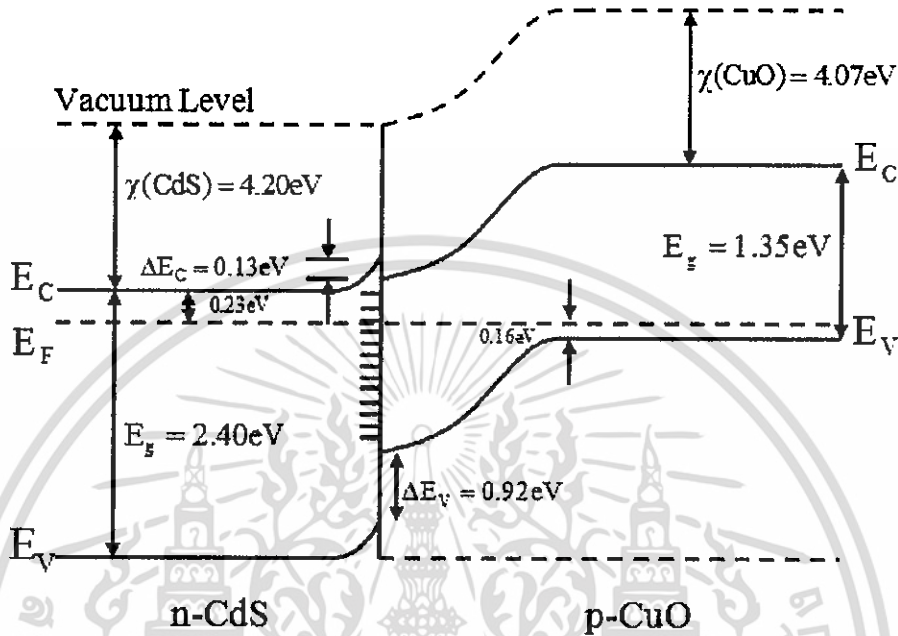
Rise Time (s)	Bias Voltage (V)		Decay Time (s)	Bias Voltage (V)	
	-0.5	0.3		-0.5	0.3
1 st Term	$A_1 = 5.06$ $\tau_{r1} = 42.03$ (s)	$A_1 = 4.52$ $\tau_{r1} = 38.05$ (s)	1 st Term	$A_1 = 0.15$ $\tau_{d1} = 42.90$ (s)	$A_1 = 0.05$ $\tau_{d1} = 50.45$ (s)
2 nd Term	$A_2 = -142.40$ $\tau_{r2} = 125.78$ (s)	$A_1 = 4.52$ $\tau_{r1} = 38.05$ (s)	2 nd Term	$A_2 = -1.01$ $\tau_{d2} = 268.10$ (s)	$A_2 = -0.04$ $\tau_{d2} = 423.73$ (s)
3 rd Term	$A_3 = 356.30$ $\tau_{r3} = 233.10$ (s)	$A_3 = 42.90$ $\tau_{r3} = 180.18$ (s)	3 rd Term	$A_3 = -6.13$ $\tau_{d3} = 900.90$ (s)	$A_3 = 0.03$ $\tau_{d3} = 578.03$ (s)
4 th Term	$A_4 = -3680$ $\tau_{r4} = 980.39$ (s) $\beta = 0.136$	$A_4 = -667.50$ $\tau_{r4} = 862.06$ (s) $\beta = 0.135$	4 th Term	$A_4 = 7.96$ $\tau_{d4} = 1156.07$ (s) $\beta = 0.700$	$A_4 = 0.94$ $\tau_{d4} = 2832.86$ (s) $\beta = 0.089$

ตารางที่ 4.10 ความหนาแน่นของกัมพัทธ์พหุชนิดต่างๆ ที่ได้จากการวัดสภาพนำไฟฟ้าเชิงแสงคือรีนของสิ่งประดิษฐ์รอยต่อวิวิธพันธุ์ของฟิล์มบางของสารกึ่งตัวนำ n-CdS/p-CuO ซึ่งเตรียมโดยวิธีแอ็คทีฟพีดีซีแมกนีตรอนสเป็คเตอรืง

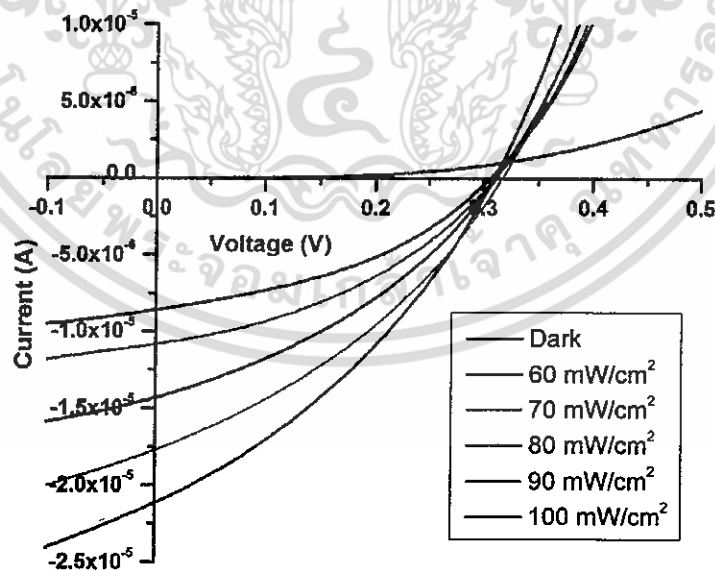
Sample Conditions			Bias Voltage (V)	
			-0.5	0.3
Decay Component	1 st Term	I_1 (A)	2.15E-05	3.48E-05
		τ_{r1} (s)	42.90	50.45
		σ_{r1} (cm ⁻²)	3.02E+13	8.16E+13
	2 nd Term	I_2 (A)	1.72E-05	2.72E-05
		τ_{r2} (s)	268.10	423.73
		σ_{r2} (cm ⁻²)	2.42E+13	6.38E+13
	3 rd Term	I_3 (A)	1.53E-05	2.65E-05
		τ_{r3} (s)	900.90	578.03
		σ_{r3} (cm ⁻²)	2.15E+13	6.21E+13
	4 th Term	I_4 (A)	1.50E-05	2.40E-05
		τ_{r4} (s)	1156.07	2832.86
		σ_{r4} (cm ⁻²)	2.11E+13	5.63E+13

เอกสารนี้เป็นเอกสารที่สงวนไว้สำหรับการใช้งานเพื่อการศึกษาเท่านั้น ไม่อนุญาตให้นำไปใช้ประโยชน์ด้านการค้าไม่ว่ากรณีใดๆทั้งสิ้น อีกทั้งห้ามมิให้ดัดแปลงเนื้อหา และต้องอ้างอิงถึงเจ้าของเอกสารทุกครั้งที่มีการนำไปใช้

จากข้อมูลการทดลองที่ผ่านมาทั้งหมด ได้แก่ ค่าช่องว่างแถบพลังงานของฟิล์มบางของสารกึ่งตัวนำ CdS และ CuO และพลังงานกระตุ้นของสิ่งประดิษฐ์รอยต่อวิวิธพันธุ์ของฟิล์มบางของสารกึ่งตัวนำ CdS/CuO สามารถนำมาเขียนโครงสร้างแถบพลังงานของสิ่งประดิษฐ์รอยต่อวิวิธพันธุ์ของฟิล์มบางของสารกึ่งตัวนำ n-CdS/p-CuO ได้ดังภาพที่ 4.42



ภาพที่ 4.42 แผนภาพแถบพลังงานของสิ่งประดิษฐ์รอยต่อวิวิธพันธุ์ของฟิล์มบางของสารกึ่งตัวนำ n-CdS/p-CuO



ภาพที่ 4.43 ความสัมพันธ์ระหว่างกระแสแรงดันไฟฟ้าของรอยต่อวิวิธพันธุ์ n-CdS/p-CuO ซึ่งเตรียมโดยวิธีแอ็ททิฟิตีซีแมกนีตรอนสปัตเตอริงเมื่อทำการวัดภายใต้การฉายแสงที่มีความเข้มค่าต่างๆ

เอกสารนี้เป็นเอกสารที่สงวนไว้สำหรับการใช้งานเพื่อการศึกษาเท่านั้น ไม่อนุญาตให้นำไปใช้ประโยชน์ด้านการค้า ไม่ว่าจะกรณีใดๆทั้งสิ้น อีกทั้งห้ามมิให้ดัดแปลงเนื้อหา และต้องอ้างอิงถึงเจ้าของเอกสารทุกครั้งที่มีการนำไปใช้

ตารางที่ 4.11 แสดงค่าพารามิเตอร์ต่างๆที่สำคัญของรอยต่อวิวิธพันธุ์ n-CdS/p-CuO เมื่อทำการวัด กระแส- แรงดันไฟฟ้าที่อุณหภูมิห้องภายใต้การฉายแสงด้วยควมเข้มค่าต่างๆ

Illumination Intensity (mW/cm^2)	I_{sc} (A)	V_{oc} (V)	F.F.	η (%)	R_s ($\times 10^4 \Omega$)	R_{sh} ($\times 10^4 \Omega$)
60	8.0×10^{-6}	0.30	0.20	2.67	1.10	8.89
70	1.2×10^{-5}	0.31	0.25	2.65	1.01	7.75
80	1.5×10^{-5}	0.32	0.26	3.24	0.87	5.89
90	1.8×10^{-5}	0.33	0.34	3.71	0.80	5.67
100	2.3×10^{-5}	0.32	0.36	4.22	0.77	3.68



เอกสารนี้เป็นเอกสารที่สงวนไว้สำหรับการใช้งานเพื่อการศึกษาเท่านั้น ไม่อนุญาตให้นำไปใช้ประโยชน์ด้านการค้า
ไม่ว่ากรณีใดๆทั้งสิ้น อีกทั้งห้ามมิให้ดัดแปลงเนื้อหา และต้องอ้างอิงถึงเจ้าของเอกสารทุกครั้งที่มีการนำไปใช้

บทที่ 5

สรุปผลวิจัยและข้อเสนอแนะ

ในบทนี้จะสรุปผลการดำเนินงานวิจัยตั้งแต่การเตรียมฟิล์มบาง CuO เคลือบบนกระจกสไลด์โดยวิธีรีแอคทีฟดีซีแมกนีตรอนสเป็คเตอริง และการเตรียมฟิล์มบาง CdS เคลือบบนกระจกสไลด์โดยวิธีการระเหยสารเคมีด้วยความร้อนในระบบสุญญากาศ จากนั้นจึงทำการวัดสมบัติทางฟิสิกส์ต่างๆของฟิล์มบาง CuO และ CdS ในขั้นสุดท้ายได้ทำการประดิษฐ์รอยต่อวิวิธพันธุ์ของฟิล์มบางของสารกึ่งตัวนำ n-CdS/p-CuO ที่เคลือบอยู่บนแผ่นฐานรองรับที่เป็นกระจก FTO ซึ่งเตรียมโดยวิธีรีแอคทีฟดีซีแมกนีตรอนสเป็คเตอริง และทำการศึกษาสมบัติทางไฟฟ้า-แสงของสิ่งประดิษฐ์รอยต่อวิวิธพันธุ์ของฟิล์มบางของสารกึ่งตัวนำ n-CdS/p-CuO ที่เตรียมได้ จากนั้นจึงวิเคราะห์และสรุปผลการทดลอง

5.1 สรุปผลการทดลองของการศึกษาถึงประติสัมพันธ์ของฟิล์มบางของสารกึ่งตัวนำ n-CdS/p-CuO ซึ่งเตรียมโดยวิธีรีแอคทีฟดีซีแมกนีตรอนสเป็คเตอริง

5.1.1 ฟิล์มบางของสารกึ่งตัวนำ CdS และ CuO ที่เคลือบอยู่บนแผ่นฐานรองรับที่เป็นกระจกสไลด์

ทำการเตรียมฟิล์มบางของสารกึ่งตัวนำ CuO เคลือบอยู่บนกระจกสไลด์โดยวิธีรีแอคทีฟดีซีแมกนีตรอนสเป็คเตอริง โดยกำหนดให้อัตราการไหลของก๊าซอาร์กอนและก๊าซออกซิเจนเท่ากับ 22 และ 10 ลูกบาศก์เซนติเมตรต่อนาทีตามลำดับ ป้อนแรงดันไฟฟ้าอย่างช้าๆ ให้กับขั้วค่าโทรด จนกระทั่งถึง 410 โวลต์ เป็นเวลา 20 นาที พบว่าลักษณะฟิล์มบางของสารกึ่งตัวนำ CuO ที่อยู่บนแผ่นฐานรองรับที่เป็นแผ่นกระจกสไลด์ ผิวหน้าของฟิล์มบางมีลักษณะความมันเงาสีน้ำตาลเข้ม โปร่งแสงยึดติดกับกระจกสไลด์ได้ดี ส่วนฟิล์มบางของสารกึ่งตัวนำ CdS นั้นเตรียมขึ้นโดยวิธีการระเหยสารเคมีด้วยความร้อนในระบบสุญญากาศ มีลักษณะเป็นสีเหลืองส้มเป็นมันวาว โปร่งแสง ยึดติดกับกระจกสไลด์ได้

การศึกษาโครงสร้างผลึกเชิงจุลภาคของฟิล์มบางของสารกึ่งตัวนำ CdS ที่เคลือบลงบนแผ่นฐานรองรับที่เป็นแผ่นกระจกสไลด์ด้วยสเป็คตรัมการเลี้ยวเบนของรังสีเอกซ์พบว่าระนาบเลี้ยวเบนเด่นชัดที่สุดที่มุม 26.55 องศา เมื่อนำระนาบการเลี้ยวเบนของรังสีเอกซ์ของฟิล์มบางมาเทียบกับไฟล์มาตรฐาน JCPDS No 15-770 พบว่าเป็นระนาบ (002) ของโครงสร้างผลึกแบบเฮกซะโกนัล สำหรับฟิล์มบางของสารกึ่งตัวนำ CuO ไม่ปรากฏพีคการเลี้ยวเบนรังสีเอกซ์ของระนาบผลึกของฟิล์มบางของสารกึ่งตัวนำ CuO แสดงว่าฟิล์มบางที่เตรียมได้เป็นอะมอร์ฟัส และมีเกรนเล็กมาก

สำหรับการประดิษฐ์รอยต่อวิวิธพันธุ์ของฟิล์มบางของสารกึ่งตัวนำ n-CdS/p-CuO จะเริ่มจากการเตรียมฟิล์มบาง CdS ให้เคลือบแผ่นฐานรองรับที่เป็นกระจก FTO โดยวิธีการระเหยสารเคมีด้วยความ

ร้อนในระบบสุญญากาศ จากนั้นจึงเคลือบฟิล์มบาง CuO ลงบน CdS โดยวิธีรีเอ็คทีฟดิซีแมกนีตรอน สเป็คเตอริ่งด้วยเงื่อนไขเหมือนกับกรณีฟิล์มบาง CuO เคลือบบนกระจกสไลด์

5.1.2 ผลการศึกษาสมบัติไฟฟ้าของสิ่งประดิษฐ์รอยต่อวิวิธพันธุ์ของฟิล์มบางของสารกึ่งตัวนำ n-CdS/p-CuO

ผลของความสัมพันธ์ระหว่างกระแสไฟฟ้ากับแรงดันไฟฟ้าช่วง -0.5 ถึง 1 โวลต์ ของรอยต่อวิวิธพันธุ์ของสารกึ่งตัวนำ n-CdS/p-CuO ที่อุณหภูมิห้องมีสมบัติการเรียงกระแสไฟฟ้า และค่าแรงดันจิกเริ่มอยู่ที่ 0.5 โวลต์ ค่ากระแสไฟฟ้าอิ่มตัวย้อนกลับ 7.41×10^6 แอมแปร์ ส่วนค่าแฟกเตอร์อุดมคติ ที่หาได้จากกลไกเทอร์มิออนิกอิมิสชันและวิธีของชวงมีค่าใกล้เคียงกันคือ 5.19 และ 5.79 ตามลำดับ ส่วนค่าความสูงของกำแพงศักย์และค่าความต้านทานไฟฟ้าอนุกรมที่หาได้จากกลไกเทอร์มิออนิกอิมิสชันกับวิธีของชวงมีค่าใกล้เคียงกันคือ 0.534 และ 0.709 อิเล็กตรอน โวลต์ 0.31 และ 0.18 โหม้ม ตามลำดับ

ผลของความสัมพันธ์ระหว่างกระแสไฟฟ้ากับแรงดันไฟฟ้าในช่วง 0 ถึง 1.0 โวลต์ ของสิ่งประดิษฐ์รอยต่อวิวิธพันธุ์ของฟิล์มบางของสารกึ่งตัวนำ n-CdS/p-CuO ที่อุณหภูมิต่ำในช่วงอุณหภูมิ 10 ถึง 300 เคลวิน พบว่ากระแสไฟฟ้าอิ่มตัวย้อนกลับมีค่าแปรตรงตามอุณหภูมิ ส่วนค่าแฟกเตอร์อุดมคติที่คำนวณได้จากกลไกเทอร์มิออนิกอิมิสชันและวิธีของชวง มีค่าลดลงอย่างรวดเร็วเมื่ออุณหภูมิเพิ่มขึ้น จากการหาค่าลักษณะเฉพาะของพลังงานการชุกดู โมเมนต์ทะลุผ่านกำแพงศักย์ (E_{00}) พบว่ามีค่าเท่ากับ 0.084 อิเล็กตรอน โวลต์ ค่าความสูงกำแพงศักย์ที่ได้จากกลไกเทอร์มิออนิกอิมิสชันและวิธีของชวง มีค่าแปรตรงตามอุณหภูมิ และค่าความสูงกำแพงศักย์ที่ได้จากวิธีของชวงใกล้เคียงกับกลไกเทอร์มิออนิกอิมิสชัน ค่าความต้านทานไฟฟ้าอนุกรมที่ได้จากวิธีของชวงมีแนวโน้มลดลงเมื่ออุณหภูมิเพิ่มขึ้น และวิธีของชวงที่มีความสัมพันธ์ $dV/d(\ln I) - I$ สามารถอธิบายความต้านทานไฟฟ้าอนุกรมได้ดีที่สุด

จากการทดสอบปรากฏการณ์โฟโตโวลตาอิกของรอยต่อวิวิธพันธุ์ของสารกึ่งตัวนำ n-CdS/p-CuO ที่อุณหภูมิห้องและความเข้มแสงอาทิตย์เท่ากับ 100 มิลลิวัตต์ต่อตารางเซนติเมตร พบว่าแรงดันเปิดวงจรเท่ากับ 0.32 โวลต์ กระแสลัดวงจรเท่ากับ 2.3×10^{-5} แอมแปร์ต่อตารางเซนติเมตร ฟิลแฟกเตอร์เท่ากับ 0.36 ประสิทธิภาพในการแปลงพลังงานแสงอาทิตย์เป็นพลังงานไฟฟ้าเท่ากับ 4.22 เปอร์เซ็นต์ แต่เมื่อความเข้มของแสงอาทิตย์เพิ่มขึ้น พบว่าพารามิเตอร์ทั้ง 4 ค่าดังกล่าวมีค่าเพิ่มขึ้นซึ่งสอดคล้องกับทฤษฎี

5.1.3 ผลการศึกษาค่าความจุไฟฟ้า-ความถี่เมื่อทำการวัดที่อุณหภูมิสูงในช่วงอุณหภูมิ 25-60 องศาเซลเซียส โดยใช้ความถี่ 10 กิโลเฮิร์ตซ์ ถึง 2 เมกะเฮิร์ตซ์ ของสิ่งประดิษฐ์รอยต่อวิวิธพันธุ์ของฟิล์มบางของสารกึ่งตัวนำ n-CdS/p-CuO

ผลการศึกษาค่าความจุไฟฟ้า-ความถี่เมื่อทำการวัดที่อุณหภูมิในช่วงอุณหภูมิ 25 - 60 องศาเซลเซียส โดยใช้ความถี่ 10 กิโลเฮิร์ตซ์ ถึง 2 เมกะเฮิร์ตซ์ ของสิ่งประดิษฐ์รอยต่อวิวิธพันธุ์ของฟิล์มบางของสารกึ่งตัวนำ n-CdS/p-CuO ซึ่งเราจะได้อ่านค่าความถี่เฉพาะ ω_0 ที่สอดคล้องกับจุดเปลี่ยนโค้งของกราฟ

เอกสารนี้เป็นเอกสารที่สงวนไว้สำหรับการใช้งานเพื่อการศึกษาเท่านั้น ไม่อนุญาตให้นำไปใช้ประโยชน์ด้านการค้า ไม่ว่ากรณีใดๆทั้งสิ้น อีกทั้งห้ามมิให้ดัดแปลงเนื้อหา และต้องอ้างอิงถึงเจ้าของเอกสารทุกครั้งที่มีการนำไปใช้

ความสัมพันธ์ระหว่างความจุไฟฟ้ากับความถี่ และ ω_0 มีค่าเพิ่มขึ้นตามอุณหภูมิที่เพิ่มขึ้น และยังสามารถคำนวณค่าพลังงานกระตุ้นได้ซึ่งมีค่าเท่ากับ 82 มิลลิอิเล็กตรอนโวลต์ และเราจึงได้ทำการวัดค่าความจุไฟฟ้า-ความถี่ ที่อุณหภูมิในช่วง 25 ถึง 60 องศาเซลเซียส ความหนาแน่นของกักพาหะมีค่าเท่ากับ 4.05×10^{13} ต่อตารางเซนติเมตรที่อุณหภูมิห้อง สามารถคำนวณได้จากกราฟวัดค่าความจุไฟฟ้า-ความถี่ ซึ่งความหนาแน่นของกักพาหะนี้ มีค่าเพิ่มขึ้นตามอุณหภูมิที่เพิ่มขึ้น

5.2 ประโยชน์ที่ได้รับ

ได้เรียนรู้ถึงวิธีการเตรียมฟิล์มบางของสารกึ่งตัวนำ CdS โดยวิธีการระเหยสารเคมีด้วยความร้อนในระบบสุญญากาศและวิธีการเตรียมฟิล์มบางของสารกึ่งตัวนำ CuO โดยวิธีรีแอ็คทีฟดีซีแมกนีตรอนสปีดเตอร์ริง ได้ศึกษาลักษณะของเกรนที่ได้จากภาพถ่ายกล้องอิเล็กตรอนแบบส่องกราดและได้ศึกษาสมบัติเชิงแสงโดยการวัดสเปกตรัมการส่งผ่านแสงของฟิล์มบางเพื่อคำนวณหาขนาดของช่องว่างแถบพลังงาน การประดิษฐ์รอยต่อวิวิธพันธุ์ของฟิล์มบางของสารกึ่งตัวนำ n-CdS/p-CuO ที่เคลือบอยู่บนแผ่นฐานรองรับที่เป็นกระจก FTO ซึ่งเตรียมโดยวิธีรีแอ็คทีฟดีซีแมกนีตรอนสปีดเตอร์ริง

ได้เรียนรู้วิธีการวัดคุณสมบัติต่างๆของสิ่งประดิษฐ์รอยต่อวิวิธพันธุ์ของฟิล์มบางของสารกึ่งตัวนำ n-CdS/p-CuO โดยได้ทำการวัดกระแสไฟฟ้า-แรงดันไฟฟ้า การวัดค่าอิมพีแดนซ์เชิงซ้อนและการวัดความจุไฟฟ้า-ความถี่ เพื่อใช้ในการหาค่าพารามิเตอร์ต่างๆ เช่น ค่าความสูงกำแพงศักย์ ค่าแฟกเตอร์อุคมคติ ค่าความหนาแน่นของกักพาหะ ค่าพลังงานกระตุ้น เป็นต้น ได้เซลล์แสงอาทิตย์ต้นแบบที่ให้ประสิทธิภาพในการแปลงพลังงานแสงอาทิตย์เป็นพลังงานไฟฟ้าเท่ากับ 4.22 เปอร์เซ็นต์ ซึ่งสิ่งนี้จะช่วยทำให้เราสามารถพัฒนาเซลล์แสงอาทิตย์ที่มีประสิทธิภาพสูงขึ้นไปได้อีกในอนาคต

5.3 ปัญหาและข้อเสนอแนะ

การเตรียมแผ่นฐานรองรับที่เป็นกระจกสไลด์ระวังอย่าให้ผิวหน้าเป็นรอยเพราะจะทำให้ฟิล์มบางที่เคลือบบนแผ่นฐานรองรับที่เป็นกระจกไม่สม่ำเสมอ หรือเคลือบไม่ติดทั้งแผ่นทำความสะอาดเป่าสปีดเตอร์ทุกครั้งก่อนใช้งานและทำการขัดผิวหน้าให้เรียบด้วยกระดาษทรายเบอร์ละเอียดเพื่อป้องกันการอาร์ค

การเคลือบฟิล์มบางของสารกึ่งตัวนำ CuO โดยวิธีรีแอ็คทีฟดีซีแมกนีตรอนสปีดเตอร์ริงควรสร้างสภาพโกลวดิสซาร์จขึ้นก่อน แล้วจึงปล่อยก๊าซออกซิเจนให้ไหลเข้าห้องสุญญากาศจุดประสงค์เพื่อไม่ให้ก๊าซออกซิเจนทำปฏิกิริยากับเป่าทองแดงโดยตรงซึ่งจะก่อให้เกิดเป็นชั้นออกไซด์เคลือบผิวหน้าเป่าทองแดงอันจะส่งผลให้การโกลวดิสซาร์จดับได้

การเตรียมฟิล์มบาง CdS ด้วยการระเหยสารเคมีขึ้นไปเคลือบยังแผ่นฐานรองรับควรเพิ่มกระแสไฟฟ้าอย่างช้าๆ เพื่อไม่ให้สารเคมีกระเด็นตกจากภาชนะระเหยสาร และยังช่วยควบคุมไม่ให้อัตราการเคลือบฟิล์มบางสูงเกินไป

เอกสารนี้เป็นเอกสารที่สงวนไว้สำหรับการใช้งานเพื่อการศึกษาเท่านั้น ไม่อนุญาตให้นำไปใช้ประโยชน์ด้านการค้า ไม่ว่ากรณีใดๆทั้งสิ้น อีกทั้งห้ามมิให้ดัดแปลงเนื้อหา และต้องอ้างอิงถึงเจ้าของเอกสารทุกครั้งที่มีการนำไปใช้

การวัดค่าต่างๆที่ความถี่ต่ำต้องมีระบบกันสัญญาณรบกวนที่ดีเพราะเวลาวัดค่าไฟฟ้ากระแสสลับที่ความถี่ต่ำจะมีสัญญาณรบกวนมากเกินไป
ควรจะทำกรวัดความจุไฟฟ้า-ความถี่ และอิมพีแดนซ์สเปกโตรสโคปีที่อุณหภูมิสูงกว่าอุณหภูมิห้อง เพื่อที่จะนำไปคำนวณหาค่าพลังงานกระตุ้นได้อย่างถูกต้อง



เอกสารนี้เป็นเอกสารที่สงวนไว้สำหรับการใช้งานเพื่อการศึกษาเท่านั้น ไม่อนุญาตให้นำไปใช้ประโยชน์ด้านการค้า
ไม่ว่ากรณีใดๆทั้งสิ้น อีกทั้งห้ามมิให้ดัดแปลงเนื้อหา และต้องอ้างอิงถึงเจ้าของเอกสารทุกครั้งที่มีการนำไปใช้

บทที่ 6

สรุปผลผลิตงานวิจัย

สรุปรายชื่อและรายละเอียดผลผลิตงานวิจัยที่ผลิตได้

6.1 ชื่อบทความวิจัย “Effect of Oxidation Temperature on the Properties of CuO Thin Films Prepared by Thermal Oxidation of Sputtered Cu Thin Films” ตีพิมพ์ใน Advanced Materials Research vol. 1098, 2015, pp. 6-11. โดยมีรายละเอียดดังนี้คือ

ABSTRACT

CuO thin films were obtained through thermal oxidation of dc magnetron sputtered metallic Cu films on glass substrates. Thermal oxidation process was performed in air at temperature ranging 300-500°C. From XRD patterns, CuO single phase of monoclinic structure was formed at oxidation temperature beyond 450°C whereas amorphous phase with very small grains was obtained at oxidation temperature below 450°C. The positive sign of the Hall coefficient confirmed the p-type conductivity in all studied films. From transmission spectra, direct band gap value is varied between 2.17 and 2.83eV. From the transient photoconductivity measurements, persistent photoconductivity (PPC) behavior was observed. The decay current data were better fitted with the multiple exponential functions resulting into five slow decay times. Density of trap states corresponding to its decay time was also evaluated from the decay current data.

Keywords: p-CuO/n-CdS heterojunction, I-V characteristics, C-V characteristics

INTRODUCTION

Oxides of copper are well-known to show p-type conductivity and have many advantages for catalysts and solar energy conversion application. Non-toxic, economic, abundant availability and relatively simple formation of oxide makes copper oxide as an interesting material [1]. Two common forms of copper oxide are cuprous oxide (Cu_2O) and cupric oxide (CuO). A meta-stable copper oxide, Cu_4O_3 , which is an intermediate compound between the previous two, has also reported [2]. Cu_2O and CuO belong to cubic and monoclinic structures with band gap of 2.1-2.6 eV and 1.9-2.1eV, respectively. The growth of high quality p-type CuO thin films is essential for fabricating p-n junction-based oxide devices, such as solar cells, light emitting diodes and transistors. The optical transmittance and electrical resistivity of the films are two critical parameters in evaluating the performance of

photovoltaic cells and electrochromic devices. In this paper, CuO thin films were obtained through thermal oxidation of dc magnetron sputtered metallic Cu films on glass substrates. The physical properties of the films were studied in order to find the possibility to use them in p-n junction low cost thin film solar cells.

EXPERIMENTAL

Copper thin films were grown on glass substrates by using dc magnetron sputtering from a home-made circular planar magnetron sputtering system. A circular planar magnetron of 60 mm diameter was used as the magnetron cathode. The magnetron target assembly was mounted on the top plate of the sputter chamber such that the sputtering could be done by sputtering down configuration. A continuously variable dc power supply of 630 V and 2.6 A was used as a power source for sputtering. A 60 mm diameter and 3 mm thick pure copper (99.99%) used as sputter target. Pure argon was used as sputter gas. The flow rate of argon was controlled by AALBORG mass flow controller. Before deposition of each batch, the target was sputtered in pure argon atmosphere for 5 min to remove oxide layer if any on the surface of target. The sputtering conditions maintained during the growth copper films are given in Table 1. The as-deposited copper thin films were oxidized in tubular furnace at temperature ranging from 300-500 °C in air for 60 min. The crystal structure of these films was checked by X-ray diffraction technique with a Brucker D 8 diffractometer using $\text{CuK}\alpha$ radiation. Surface morphology was examined by JEOL model JSM-6400 scanning electron microscope. Optical transmission measurements were performed with UV-VIS double beam spectrophotometer in the wavelength range of 220-1,000 nm. The band gap (E_g) of the transparent films was determined by using the equation $(\alpha h\nu)^2 = A(h\nu - E_g)$ where α is the absorption coefficient, A is a constant and $h\nu$ is the photon energy. Electrical properties of the films were evaluated by Hall effect and resistivity measurements in the van der Pauw configuration at room temperature.

Table 1 List of some conditions for preparing CuO thin films

Conditions	Parameters	Values
Sputtering	Target	Cu
	Argon flow rate (sccm)	15
	Target to substrate distance (cm)	10
	Bias voltage (V)	370
	Current (mA)	80
	Substrate temperature (°C)	25
	Working pressure (torr)	3.6×10^{-3}
	Sputtering time (min)	6
Oxidized in air	Temperature (°C)	300-500
	Time (min)	60

RESULTS AND DISCUSSION

Fig. 1 shows XRD patterns of CuO films as a function of oxidation temperature. XRD patterns of the films oxidized at temperature below 450°C show amorphous characteristics. In contrast, the XRD spectrum of the films oxidized at 500°C shows the well-resolved two diffraction peaks. These peaks correspond to the reflection of (-111) and (111) planes of standard JCPDS data card of CuO (JCPDS No. 80-1268). The crystallite size was calculated using Scherrer's formula, neglecting peak broadening due to residual stresses in the films, $L = 0.9\lambda / (\beta \cos\theta)$ where β is the broadening of diffraction line measured at half its maximum intensity in radian and λ is the wavelength of X-rays (0.1540 nm). The calculated value of L is about 15 nm. SEM images of CuO films obtained from oxidation temperature during 300-500°C were shown in Fig. 2. When the films were oxidized below 350°C, the morphology does not change much and shows better uniformity in free surface. However, oxidation temperatures higher than 350°C, small pores over the films were observed.

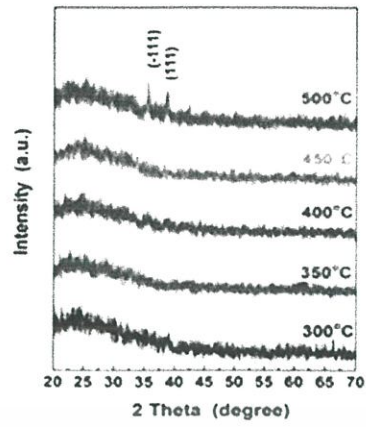


Fig. 1 XRD patterns of CuO films as a function of oxidation temperature.



Fig. 2 SEM images of CuO films obtained from oxidation temperature between 300-500°C.

เอกสารนี้เป็นเอกสารที่สงวนไว้สำหรับการใช้งานเพื่อการศึกษาเท่านั้น ไม่อนุญาตให้นำไปใช้ประโยชน์ด้านการค้า
ไม่ว่ากรณีใดๆทั้งสิ้น อีกทั้งห้ามมิให้ดัดแปลงเนื้อหา และต้องอ้างอิงถึงเจ้าของเอกสารทุกครั้งที่มีการนำไปใช้

Fig. 3 shows transmittance spectra of CuO films obtained from oxidation temperature during 300-500°C. From the transmittance spectra we have also calculated band gap of films with different oxidation temperatures. The absorption coefficient (α) is calculated using the equation $\alpha = (1/d)\ln(1/T)$ where T is transmittance and d is film thickness. The absorption coefficient (α) and the incident photon energy (hV) related by $(\alpha h\nu)^2 = A(h\nu - E_g)$ where A and E_g are constant and band gap values, respectively. The E_g can be determined by extrapolation of the linear portion of the curve to the photon energy axis. Fig. 4 shows the curve of $(\alpha h\nu)^2$ vs. photon energy (hV) of the films obtained from oxidation temperature at 500°C. Two allowed direct transition band gap were obviously observed. The smaller band gap value (E_{g1}) should correspond to the major CuO phase. The bigger band gap (E_{g2}) is possibly attributed to the parasitic phase of Cu_2O which cannot be observed by XRD due to too small amount of Cu_2O content in the bulk of films. The variation of E_{g1} and E_{g2} was shown in Fig. 5. The E_{g1} decreases from 2.41 to 2.17 eV with oxidation temperature increases from 300 to 400°C and then increases to 2.19 eV when oxidation temperature further increases to 500°C. The similar behavior is also observed in E_{g2} . These results indicate that E_{g1} and E_{g2} are sensitive to the oxidation temperature.

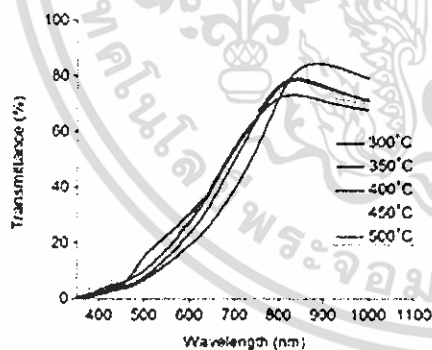


Fig. 3 Transmittance of CuO films obtained from oxidation temperature between 300-500°C.

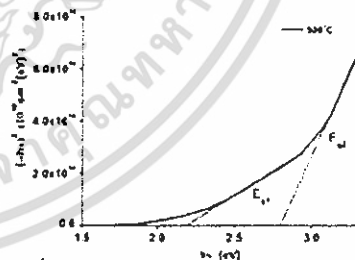


Fig. 4 $(\alpha h\nu)^2$ vs. $h\nu$ plot of CuO films obtained from oxidation temperature at 500°C.

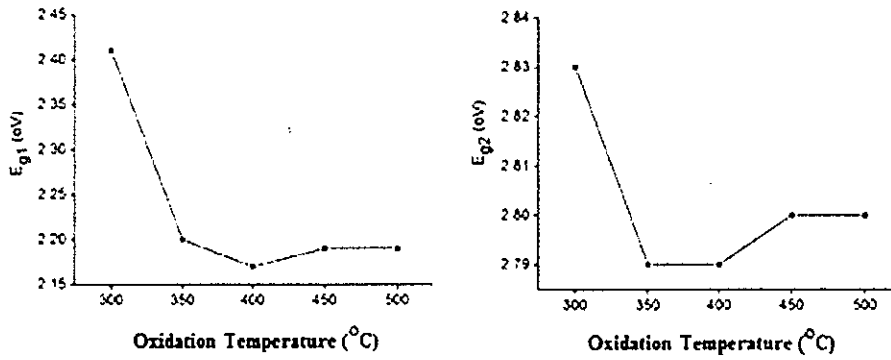


Fig. 5 Variation of band gap of CuO films as a function of oxidation temperature.

Electrical properties of the films were evaluated by Hall effect and resistivity measurements in the van der Pauw configuration. We found that all studied films are exhibited p-type conductivity. Variations of the resistivity, carrier concentration and mobility against oxidizing temperature are shown in Fig. 6. Carrier concentration (n) is derived from the relation $n=1/eR_{\text{H}}$ where R_{H} is the Hall coefficient and e is the absolute value of the electron charge. The carrier mobility (μ) is determined using the relation $1/ne\rho$ where ρ is resistivity. Resistivity of the films increases from 5.01×10^2 to attain maximum at $7.50 \times 10^3 \Omega \cdot \text{cm}$ with oxidation temperature increasing from 300 to 400°C , and decreases to $1.88 \times 10^3 \Omega \cdot \text{cm}$ when the oxidation temperature further increase to 500°C . The mobility initially decreases with an increase in oxidation temperature up to 400°C and then increases with an increase in oxidation temperature. The variation of carrier concentration shows the similar behavior to mobility. These results indicate that the resistivity, carrier concentration and mobility of the films are sensitive to the oxidation temperature.

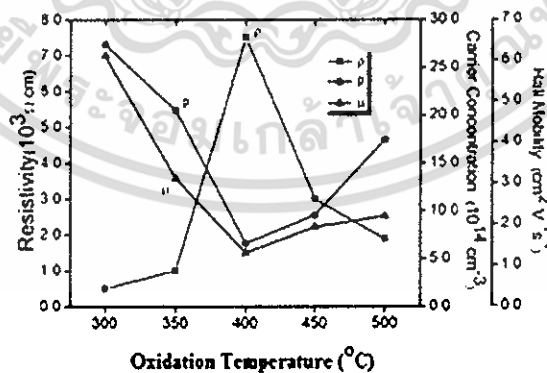


Fig. 6 Variations of the resistivity, carrier concentration and mobility against oxidation temperature.

เอกสารนี้เป็นเอกสารที่สงวนไว้สำหรับการใช้งานเพื่อการศึกษาเท่านั้น ไม่อนุญาตให้นำไปใช้ประโยชน์ด้านการค้า
ไม่ว่ากรณีใดๆทั้งสิ้น อีกทั้งห้ามมิให้ดัดแปลงเนื้อหา และต้องอ้างอิงถึงเจ้าของเอกสารทุกครั้งที่มีการนำไปใช้

The photocurrent response of the films oxidized at 500°C was measured by two probe method using halogen lamp as a light source. Two silver electrodes with area 0.05 cm² was made on the sample surface. The photocurrent response of the films oxidized at 500°C was shown in Fig. 7. The sample was connected to the experimental setup and maintained in darkness under a constant applied bias of 6 V to stabilize the current. After the stabilization period, the current was recorded in the following sequences: 30 s in darkness, 400 s under illumination and, finally, 400 s in the darkness. Under illumination, the current increases immediately because a lot of carriers were excited by light illumination. After the illumination period, the persistent photoconductivity (PPC) effect of the films oxidized at 500°C occurred in darkness. The decay of PPC in Fig. 7 can be described by multiple exponential functions [3,4] as

$$I = I_{dark} + (I_0 - I_{dark}) \sum_i \exp\left(-\frac{t}{\tau_i}\right)$$

where I_{dark} is the current measured in darkness, I_0 is the PPC buildup level near the moment of light excitation being removed, τ is the PPC decay time constant. The normalized decay current in darkness as shown in Fig. 8, which follows the illumination period, indicates the persistent of charge carrier traps in the films [5]. In Fig. 8 the dash line is the measured data and the solid line is the least squares fit data by the multiple exponential functions as described above. According to the function of fitting curve in Fig. 8 we calculated that the five τ values are 120.77, 208.33, 414.94, 884.96 and 1504.95 s. Method for calculating the trap densities corresponding to the PPC decay constant was reported in the literatures [6-8]. The corresponding trap densities are 1.38×10^{11} , 1.03×10^{11} , 7.90×10^{10} , 6.70×10^{10} and 5.89×10^{10} cm⁻².

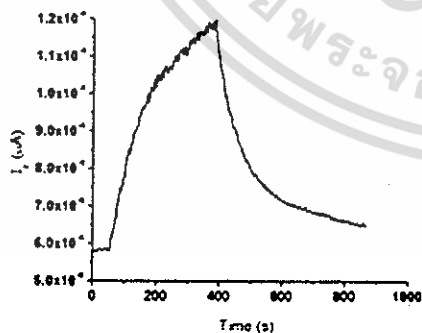


Fig. 7 Photocurrent response of CuO films obtained from oxidation temperature at 500°C.

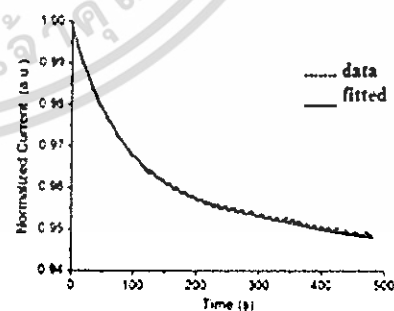


Fig. 8 Normalized decay time of CuO films obtained from oxidation temperature at 500°C.

SUMMARY

CuO thin films were obtained through oxidation of metallic Cu films deposited on glass substrates by dc magnetron sputtering method. It is shown that the CuO single phase of monoclinic structure was formed at oxidation temperature beyond 450°C where amorphous phase with very small grains, confirmed by SEM images, was obtained at oxidation temperature below 450°C. All studied films are p-type semiconductors with band gap of 2.17-2.83 eV. The photocurrent response of films oxidized at 500°C was measured by two probe using halogen lamp as a light source. The decay current data were better fitted with the multiple exponential functions. Five slow decay times and five trap densities values are 120.77, 208.33, 414.94, 884.96, 1504.95 s and 1.38×10^{11} , 1.03×10^{11} , 7.90×10^{10} , 6.70×10^{10} , $5.89 \times 10^{10} \text{ cm}^{-2}$, respectively.

ACKNOWLEDGEMENTS

This project was financially supported by KMITL under grant No. 2555-A118-0220.

REFERENCES

- [1] F. Gao, X.J. Liu, J.S. Zhang, M.Z. Song and N. Li: *J. Appl. Phys.* Vol. 111 (2012), pp. 084507-1-084507-3.
- [2] H. Zhu, J. Zhang, C. Li, F. Pan, T. Wang and B. Huang: *Thin Solid Films* Vol. 517 (2009), pp. 5700-5704.
- [3] F. Jaing, H. Shen, C. Gao, B. Liu, L. Lin and Z. Shen: *Appl. Surf. Sci.* Vol. 257 (2011), pp. 4901-4905.
- [4] H.K. Yadav, V. Sreenivas and V. Gupta: *App. Phys. Lett.* Vol. 96 (2010), pp. 23507-1-2230507-3.
- [5] N.R. Mathew, H.B.M. Anaya, M.A. Cortes-Jacome, C. Angeles-Chavez and J.A. Toledo-Antonio: *J. Electrochem. Soc.* Vol. 157 (2010), pp. H337-H341.
- [6] B.C. Huang and Y.J. Lin: *Appl. Phys. Lett.* Vol. 99 (2011), pp. 113301-1-113303-3.
- [7] Gu, M.G. Kanne, J.E. Doty and A. H. Firester: *Appl. Phys. Lett.* Vol. 87 (2005), pp. 243512-1-243512-3.
- [8] S.A. Studenikin, N. Gelego and M. Locivera: *J. Appl. Phys.* Vol. 83 (1998), pp 2104-2111.

6.2 ชื่อบทความวิจัยที่อยู่ระหว่างการดำเนินการ “Preparation of CuO Thin Films by Thermally Oxidized Metallic Cu Films for CdS/CuO Heterojunction Diode” ดังมีรายละเอียดดังนี้

ABSTRACT

Copper thin films were deposited on glass substrates using thermal evaporation in vacuum and then thermally oxidized in air at temperature ranging 100-500°C. XRD patterns show the formation of fine grain Cu₂O phase at 300°C and CuO phase at 400°C, respectively. Crystallinity and grain size were found to improve with increasing oxidation temperature. The energy gap of the samples evaluated from absorption measurements was found to be in between 2.10 and 2.23 eV. Important electrical parameters such as resistivity, carrier concentration and mobility of CuO thin films obtained from oxidation temperature 500°C are $8.53 \times 10^3 \Omega \cdot \text{cm}$, $7.60 \times 10^{13} \text{ cm}^{-3}$ and $6.22 \text{ cm}^2/\text{V} \cdot \text{s}$, respectively. The prototype of CdS/CuO thin film heterojunction diode was successfully prepared by thermal evaporation of CdS thin films on CuO thin films substrate in vacuum. The obtained device exhibits a good rectifying behavior from I-V characteristics. Various junction parameters such as barrier height, ideality factor and series resistance were calculated using I-V data and observed to be 5.190 eV, 0.520 and 3.87Ω , respectively. Impedance spectroscopy of the device was investigated at temperature of 25-60°C. The real and imaginary parts of the complex impedance are changed with the temperature and frequency. The experimental results suggest that the device could be possibly used a good candidate for photovoltaic devices with low thermal budget and low product cost.

Keywords: CuO thin films, thermal oxidation, CdS/CuO heterojunction, impedance spectroscopy

INTRODUCTION

Copper oxides are semiconducting materials that have a natural abundance of starting material Cu. They have been extensively studied because of their potential applications as solar cells, gas sensors, electrochemical sensors and batteries (Ooi et al. 2013; Valladares, 2012). Copper oxides are reported to be composed of two oxide phases, namely, cupric oxide (CuO) and cuprous oxide (Cu₂O) with p-type conductivity. The former has a narrow band gap of 1.21-1.51 eV absorbing throughout the visible spectrum with a monoclinic structure while the latter has a direct optical band gap range from 2.10-2.60 eV with a cubic structure (Cho et al., 2013). A meta-stable copper oxide, Cu₄O₃, which is an intermediate compound between the previous two, has also reported (Ooi et al., 2013). Numerous methods such as reactive sputtering, chemical vapor deposition, sol-gel, electro-deposition and thermal oxidation have been used to grow copper oxide thin films. In this work, we investigated the effect of

temperature of oxidation on the properties of copper oxide thin films prepared by oxidation of thermal vacuum evaporated Cu thin films. Structural, optical and electrical properties of the films were studied in order to find the possibility to use them in p-n junction. The formation of CdS/CuO heterojunction was elaborated by thermal evaporating CdS thin films on CuO thin films coated on ITO glass substrate. We investigated I-V and C-V characteristics of CdS/CuO heterojunction for evaluating some important parameters such as junction barrier height, ideality factor and series resistance values by using thermionic emission theory and Cheung's method. Moreover, impedance spectroscopy of the device was investigated at temperature range 25-60°C.

MATERIAL AND METHODS

Copper thin films were grown on glass substrates by thermal evaporation in vacuum better than 5×10^{-5} mbar. Prior to deposition, the glass substrates were cleaned in acetone, ethanol and de-ionized water, respectively. The starting material was metallic Cu pellets (99.99% purity). The film thickness about 200 nm was monitored by a quartz crystal thickness monitor (Edward type FTM 6). The thermal oxidation of Cu films was carried out in a muffle furnace at difference temperatures ranging 100-500°C for 60 min. The heating rate was maintained at 100°C/h. After oxidation, the samples were cooled down to room temperature naturally. The crystal structure of these films was checked by X-ray diffraction technique with a Brucker D 8 diffractometer using $\text{CuK}\alpha$ radiation. Surface morphology was examined by JEOL model JSM-6400 scanning electron microscope. Optical absorption measurements were performed with UV-VIS double beam spectrophotometer in the wavelength range of 220-800 nm. The band gap (E_g) of the transparent films was determined by using the equation $(\alpha h\nu)^2 = A'(h\nu - E_g)$ where α is the absorption coefficient, A' is a constant and $h\nu$ is the photon energy. Electrical properties of the films were evaluated by Hall effect and resistivity measurements in the van der Pauw configuration at room temperature. In order to fabricate CdS/CuO thin film heterojunction, Cu thin films deposited on ITO coated glass substrate and oxidized at 500°C for 60 min. CdS thin films were subsequently evaporated onto CuO films. Finally, ohmic contact was made of silver paste on the surface of CdS and on the surface of ITO. The I-V characteristic curves were measured by using a computer interfaced Keithley 236 current/voltage source at room temperature. Impedance spectroscopy was carried out by Agilent E4980A Precision LCR Meter with frequency range 10 kHz- 2 MHz and temperature range 25-60°C.

RESULTS AND DISCUSSION

Cu-O films characteristics

The XRD patterns of the as-grown and thermally oxidized Cu films at different temperatures ranging 100-500°C were shown in Figure 1. The as-grown Cu sample reveals a diffraction peak at 2θ equal to 43.50° corresponding to (111) diffraction plane of metallic Cu. Oxidation of Cu thin films at 100 and 200°C still shows purely (111) diffraction plane of metallic Cu phase with reduction in peak intensity. For the sample Cu films oxidized at 300°C, there is a weak diffraction peak at 36.46° which corresponds to the (111) plane of Cu₂O in agreement with the literature reported (Valladares et al., 2012). However, oxidation temperature at 400°C the (-111) diffraction plane of monoclinic CuO phase was occurred. For the films oxidized at 500°C the well- resolved two diffraction peaks at 2θ of 35.40° and 38.35° were observed. These peaks correspond to diffraction of (-111) and (111) planes of standard JCPDS data of CuO (JCPDS No. 80-1268). Figure 2 shows the SEM micrograph of Cu films oxidized at 500°C. The surface of the as-deposited Cu films is mostly smooth and uniform, while the surface particle size and surface roughness increase with the increase of thermal oxidation temperature.

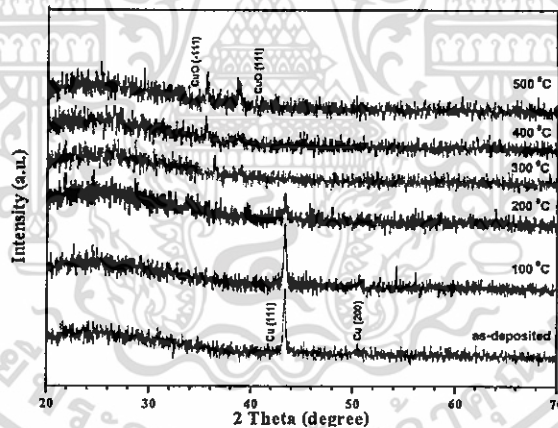


Figure 1. XRD patterns of Cu-O films.

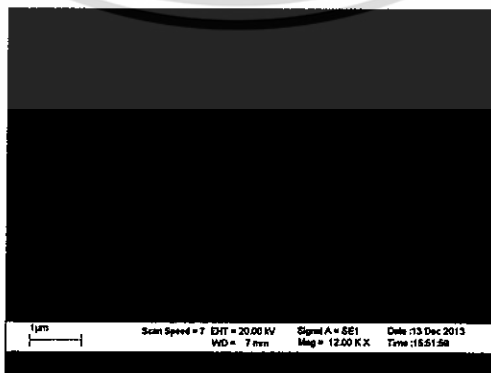


Figure 2. SEM micrograph of Cu-O films oxidized at 500°C.

เอกสารนี้เป็นเอกสารที่สงวนไว้สำหรับการใช้งานเพื่อการศึกษาเท่านั้น ไม่อนุญาตให้นำไปใช้ประโยชน์ด้านการค้า
ไม่ว่ากรณีใดๆทั้งสิ้น อีกทั้งห้ามมิให้ดัดแปลงเนื้อหา และต้องอ้างอิงถึงเจ้าของเอกสารทุกครั้งที่มีการนำไปใช้

Electrical properties of the films were evaluated by Hall effect and resistivity measurements in the van der Pauw configuration. We found that Cu films oxidized at 100-500°C are exhibited p-type conductivity. Variations of the resistivity(ρ), carrier concentration (p) and mobility(μ) against oxidation temperature are shown in Figure 3. Resistivity value of the as-deposited and the Cu films oxidized at 100°C is very low ($\sim 10^{-4} \Omega \cdot \text{cm}$). It suggests that the main phase of the films oxidized at 100°C is still metallic Cu which is good agreement with XRD results. In contrast, the films oxidized at temperature beyond 200°C show high resistivity in the order $10^3 \Omega \cdot \text{cm}$. The carrier concentration initially decreases with an increase in oxidation temperature up to 300°C and then increases with an increase in oxidation temperature. The mobility is gradually decreased from 31.28 to 6.22 $\text{cm}^2/\text{V}\cdot\text{s}$ when the oxidation temperature increases from 100 to 500°C.

Figure 4 shows the absorbance (A) as a function of wavelength for the films oxidized at different temperatures. As seen, the absorbance value decreases as the wavelength increases. The absorption coefficient (α) can be calculated by using the relation; $\alpha = 2.303A/d$, where A is the absorbance and d is the thickness of the sample. From optical absorbance measurements the $(\alpha h\nu)^2$ data was obtained and, following the method reported by Tauc, were plotted as a function of photon energy (h ν) to estimate the energy gap (E_g). Figure 5 displays the plot for Tauc's method to calculate the energy gap of the films oxidized at 300 °C. Variation of energy gap as a function of oxidation temperature is shown in Figure 6. The E_g value initially increases up to the maximum value 2.23 eV at oxidation temperature 300°C and then decrease to the minimum value 2.10 eV at oxidation temperature 500°C.

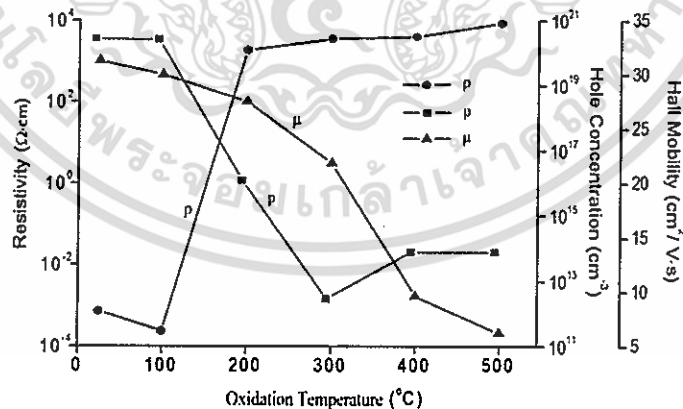


Figure 3. Variation of ρ , p and μ of Cu-O films.

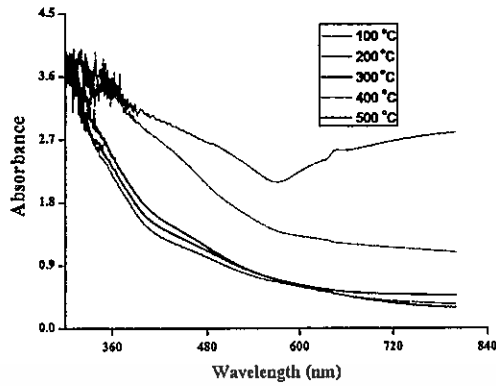


Figure 4. Absorption spectra of Cu-O films.

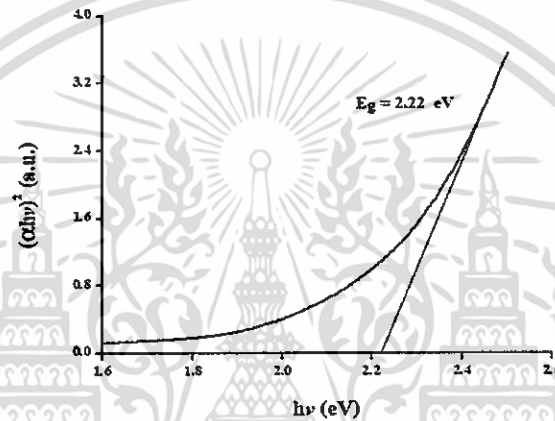


Figure 5. Plot of $(\alpha h\nu)^2$ vs. $h\nu$ of Cu-O films oxidized at 300°C.

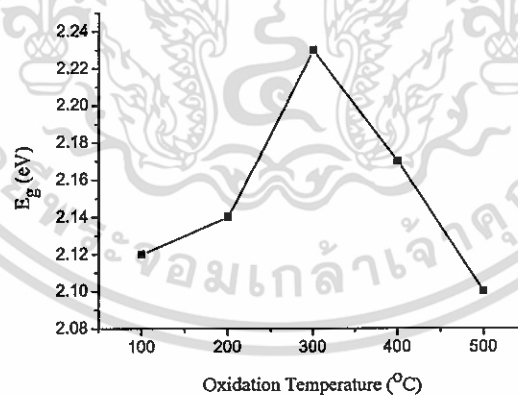


Figure 6. Variation of E_g with oxidation temperature.

Device characteristics

In the literature reviews, CdS compound has a higher resistivity than CuO and carrier concentration of CdS ($<10^{14} \text{ cm}^{-3}$) is lower than CuO ($>10^{16} \text{ cm}^{-3}$) about 3 order. Therefore, in the view of large different carrier concentration between CdS and CuO, it may be assumed that this heterojunction act as nearly a step junction. Therefore, it may assumed that the current through a diode

เอกสารนี้เป็นเอกสารที่สงวนไว้สำหรับการใช้งานเพื่อการศึกษาเท่านั้น ไม่นุญาตให้นำไปใช้ประโยชน์ด้านการค้า
ไม่ว่ากรณีใดๆทั้งสิ้น อีกทั้งห้ามมิให้ดัดแปลงเนื้อหา และต้องอ้างอิงถึงเจ้าของเอกสารทุกครั้งที่มีการนำไปใช้

at a forward bias V , based on the thermionic emission (TE) mechanism, is given by the relation (Rhoderick and Willam, 1988)

$$I = I_s \left\{ \exp\left(\frac{qV}{nkT}\right) [1 - \exp(-qV/kT)] \right\} \quad (1)$$

$$\text{and} \quad I_s = AA^*T^2 \exp(-q\phi_{B0}/kT) \quad (2)$$

where I_s is the saturation current derived from the straight line intercept of the semi-logarithmic I-V plot at $V=0$, V is forward bias voltage, T is the absolute temperature, q is the electronic charge, k is Boltzmann constant, A is the effective area, $A^* = 4\pi q m_e k^2 / h^3$ is the effective Richardson constant of $20 \text{ A}\cdot\text{cm}^{-2}\cdot\text{K}^{-2}$ for n-CdS, where $m^*=0.165m_0$ is the effective mass of the electrons, ϕ_{B0} is the apparent barrier height at zero bias voltage and n is the ideality factor. From Eq. (1), the ideality factor n which is given by

$$n = \left(\frac{q}{kT} \right) \left(\frac{dV}{d(\ln I)} \right) \quad (3)$$

The measured I-V plot of CdS/CuO diode at room temperature is shown in Figure 7. We have performed a least square fit of Eq. (1) to the linear part of the measured semi-logarithmic I-V plots (Figure 8) within bias voltage about 0.1-0.4 V. Once I_s is known, the zero bias barrier height (ϕ_{B0}) can also be computed with the help of Eq. (2). Using Eqs. (2) and (3), the experimental values of the ideality factor and the barrier height having 5.190 and 0.520 eV were determined. The observed high ideality factor suggests that the transport properties of the device could not be well defined by thermionic emission model. To better understand the mechanism that controls the transport properties of this heterojunction, $\ln I$ - $\ln V$ plot is presented in Figure 9. It is evident from $\ln I$ - $\ln V$ plot that forward bias characteristics show three regions. The first region ($V < 0.1 \text{ V}$) I-V characteristics comply with the linear ohmic behavior ($I \sim V$), which is mainly caused by thermally generated charge carriers (Tyaki et al., 2015). In the region II ($0.1 \leq V \leq 0.4 \text{ V}$) the current increases exponentially with bias voltage ($I \sim \exp \alpha V$). This is mainly to the recombination- tunneling mechanism (Aksoy and Cagar, 2012). At higher bias voltage (region III, $V > 0.4 \text{ V}$) the I-V characteristics follow a power law relation ($I \sim V^2$). The current flow through the junction is due to space- charge limited current (SCLC) conduction, dominated by a single energy trap level (Zeyada et al., 2015). This SCLC mechanism is a normal phenomenon in the wide band gap semiconductor (Tyaki, 2015).

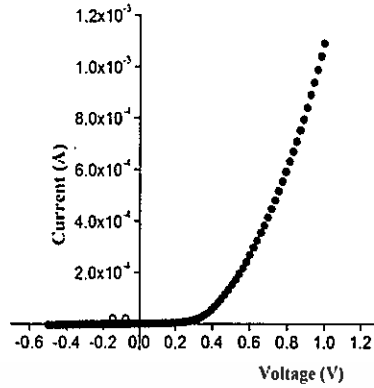


Figure 7. I-V plot of CdS/CuO diode.

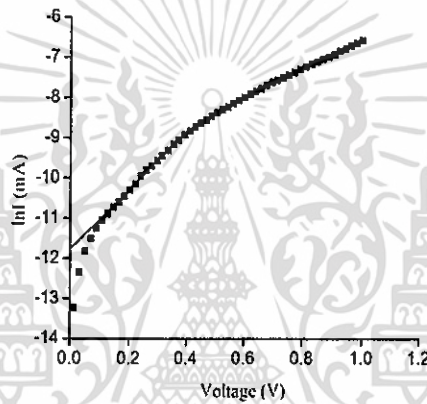


Figure 8. lnI-V plot of CdS/CuO diode.

The series resistance R_s is an important parameter in the electrical characteristics of diode. This parameter is significant in the downward curvature (non-linear region) of the forward bias I-V characteristics, but the other two parameters (n and ϕ_{B0}) are significant in both the linear and non-linear regions of the I-V characteristics. An efficient technique to determine R_s , n and ϕ_{B0} has been proposed by Cheung (Aksoy and Cagar, 2014). From Eq. (1) the following functions can be written as

$$\frac{dV}{d(\ln I)} = \frac{nkT}{q} + IR_s \quad (4)$$

$$H(I) = V - n \left(\frac{kT}{q} \right) \ln \left(\frac{I}{AA^*T^2} \right) \quad (5)$$

and $H(I)$ is given as follows;

$$H(I) = n\phi_{B0} + IR_s \quad (6)$$

เอกสารนี้เป็นเอกสารที่สงวนไว้สำหรับการใช้งานเพื่อการศึกษาเท่านั้น ไม่อนุญาตให้拿去ใช้ประโยชน์ด้านการค้า
ไม่ว่ากรณีใดๆทั้งสิ้น อีกทั้งห้ามมิให้ดัดแปลงเนื้อหา และต้องอ้างอิงถึงเจ้าของเอกสารทุกครั้งที่มีการนำไปใช้

where ϕ_{B0} is the barrier height obtained from data of downward curvature region in the forward bias I-V characteristics. Eq. (4) should give a straight line for the data of downward curvature region in the forward bias I-V characteristics. Thus, a plot of $dV/d(\ln I)$ -I will give R_s as the slope and nkT/q as the y-axis intercept as shown in Figure 10. The values of n and R_s have been calculated as 5.322 and 3.48Ω , respectively. This n value is slightly different obtaining from the forward bias $\ln I$ -V plot. This difference may be caused by the presence of series resistance and interface states (Barsoukov and Macdonald, 2005). Using the n value determined from Eq. (4) and the data of the downward curvature region in the forward bias I-V characteristics in Eq. (5), a plot of $H(I)$ -I will also lead to a straight line with the y-axis intercept equal to $n\phi_{B0}$. The slope of this plot also determines R_s , which can be used to check the consistency of this approach. From the Figure 11, the barrier height and series resistance of the device are calculated as 0.542 and 3.87Ω , respectively. Furthermore, the values of R_s obtained from $dV/d(\ln I)$ -I and $H(I)$ -I plots are in good agreement with each other. This case shows the consistency of Cheung's approach.

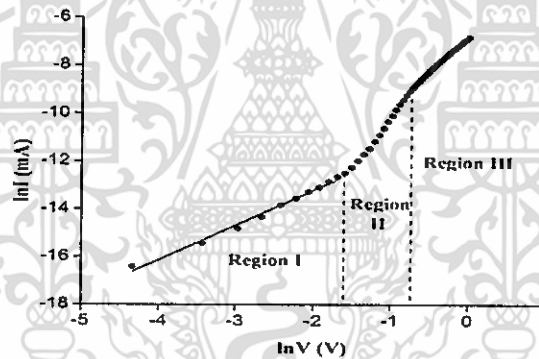


Figure 9. $\ln I$ - $\ln V$ plot of CdS/CuO diode.

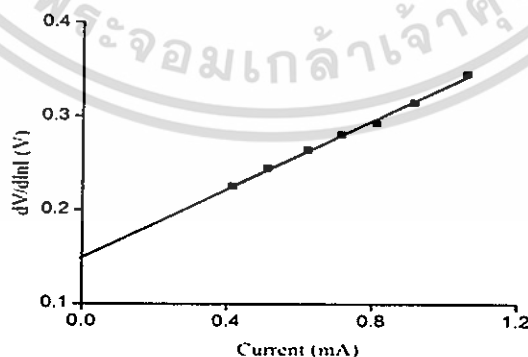


Figure 10. $dV/d(\ln I)$ -I plot of CdS/CuO diode.

เอกสารนี้เป็นเอกสารที่สงวนไว้สำหรับการใช้งานเพื่อการศึกษาเท่านั้น ไม่อนุญาตให้นำไปใช้ประโยชน์ด้านการค้า
ไม่ว่ากรณีใดๆทั้งสิ้น อีกทั้งห้ามมิให้ดัดแปลงเนื้อหา และต้องอ้างอิงถึงเจ้าของเอกสารทุกครั้งที่มีการนำไปใช้

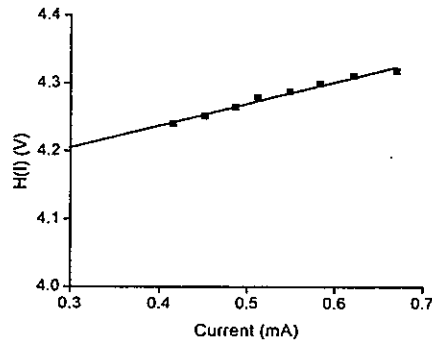


Figure 11. $H(I)$ - I plot of CdS/CuO diode.

Figure 12 shows the variation of the real part of complex impedance (Z') with frequency at different temperatures. With increasing temperature, the curves display monotonous decrease in value of Z' with frequency. The magnitude of Z' decreases whereas temperature increases. It may indicate the increase in the a.c. conductivity. The Z' values merge above 100 kHz at all temperatures. Figure 13 shows the variation of the imaginary part of complex impedance (Z'') with frequency at different temperatures. The peak frequency of the Z'' shifts to higher frequencies with increasing temperature. This may indicate that decreasing relaxation in the system. The relaxation frequency (ω_0) was calculated from the peak frequency of Z'' plot with the help of the relation $2\pi f_0 RC = \omega_0 RC = 1$ [9]. This frequency was found to increase with temperature indicating increasing loss in the sample. From the Arrhenius plot of $\ln(\omega_0/T^2)$ as shown in Figure 14, the activation energy around 0.466 eV of the deep traps occurring at CdS/CuO interface was subsequently calculated. The appearance of discrete trapping level is in consistence with the results observed in d.c. transport studies corresponding to SCLC conduction controlled by single energy trap level.

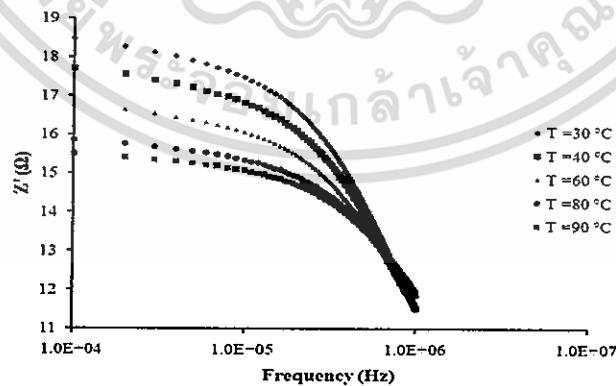


Figure12. Z' - f plot of CdS/CuO diode.

เอกสารนี้เป็นเอกสารที่สงวนไว้สำหรับการใช้งานเพื่อการศึกษาเท่านั้น ไม่อนุญาตให้นำไปใช้ประโยชน์ด้านการค้า
ไม่ว่ากรณีใดๆทั้งสิ้น อีกทั้งห้ามมิให้ดัดแปลงเนื้อหา และต้องอ้างอิงถึงเจ้าของเอกสารทุกครั้งที่มีการนำไปใช้

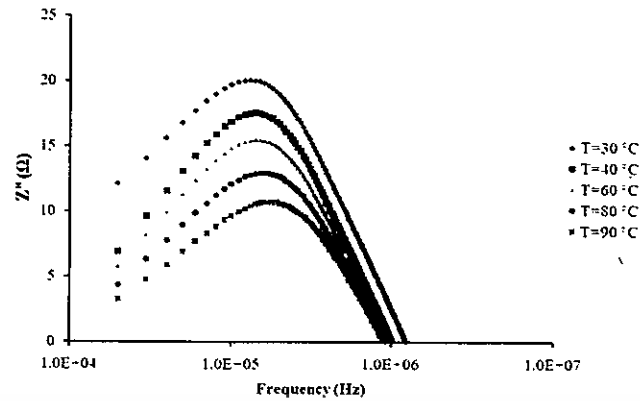


Figure 13. Z'' - f plot of CdS/CuO diode.

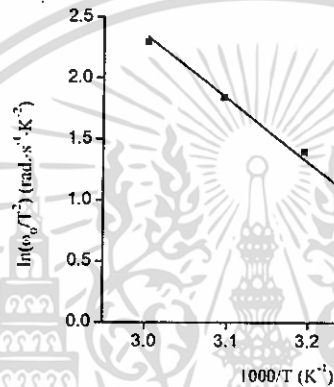


Figure 14. Arrhenius plot of $\ln(\omega_0/T^2)$.

CONCLUSION

Copper oxide thin films were successfully obtained through thermal oxidation process of Cu thin films, prepared by thermal evaporation in vacuum, at temperature beyond 200°C. From XRD patterns, a weak diffraction peak corresponding to (111) plane of Cu_2O phase was observed in the films oxidized at 300°C. For the films oxidized at 500°C, the well-resolved two diffraction peaks attributed to (-111) and (111) planes of CuO phase were appeared. From SEM micrographs, the surface particle size and surface roughness increase with the increase of thermal oxidation temperature. The dc electrical properties of the films were evaluated by Hall effect and resistivity measurements in the van der Pauw configuration at room temperature. The CdS/CuO heterojunction was successfully fabricated by thermal evaporation of CdS thin films on CuO thin films obtained by oxidation process at 500°C for 60min. The as-grown heterojunction shows a good rectifying behavior. The forward current transport is limited by three types of transport mechanisms namely Ohmic conduction, recombination-tunneling and space-charge limited current mechanisms depending on the applied forward bias voltage. Impedance spectroscopy of the device was investigated at temperature of 25-60°C. The real and

เอกสารนี้เป็นเอกสารที่สงวนไว้สำหรับการใช้งานเพื่อการศึกษาเท่านั้น ไม่อนุญาตให้นำไปใช้ประโยชน์ด้านการค้า
ไม่ว่ากรณีใดๆทั้งสิ้น อีกทั้งห้ามมิให้ดัดแปลงเนื้อหา และต้องอ้างอิงถึงเจ้าของเอกสารทุกครั้งที่มีการนำไปใช้

imaginary parts of the complex impedance are changed with the temperature and frequency. The experimental results suggest that the device could be used possibly a good candidate for photovoltaic devices with low thermal budget and low product cost.

ACKNOWLEDGMENTS

The authors would like to thank Assoc.Prof.Dr. T. Wongcharoen and Asst. Prof. Dr. C. Poo-Rakkiat for valuable discussions. This work was supported by King Mongkut's Institute of Technology Ladkrabang (grant number 2558A11802069/164817).

REFERENCES

- Aksoy S. and Y. Cagar. 2012. Effect of ambient temperature on electrical properties of nanostructure n-ZnO/p-Si heterojunction diode. *Superlattices and Microstructures* 51: 613-625. DOI 10.1016/j.spmi.2012.02.018.
- Aksoy, S. and Y. Cagar. 2014. Structural transformation of TiO₂ films with deposition temperature and electrical properties of nanostructure n-TiO₂/p-Si heterojunction diode. *Journal of Alloys and Compounds* 613: 330-337. DOI 10.1016/j.jallcom.2014.05.192.
- Barsoukov E. and J.R. Macdonald. 2005. *Impedance Spectroscopy: Theory, Experiment and Application*, 2nd Edn., John Wiley & Sons, Inc., New York.
- Cho, S. 2013. Optical and electrical properties of CuO thin films deposited at several growth temperatures by reactive rf magnetron sputtering. *Metals and Materials International* 19: 1327-1331. DOI 10.1007/s12540-013-6030-y.
- Ooi, P.K., S.S. Ng, M.J. Abdullah, H. Abu Hassan and Z. Hassan. 2013. Effect of oxygen percentage on the growth of copper oxide thin films by reactive radio frequency sputtering. *Materials Chemistry and Physics* 140: 243-248. DOI 10.1016/j.matchemphys.2013.03.028.
- Rhoderick, E.H. and R.H. William. 1988. *Metal-Semiconductor Contacts*. 2nd Edn., Oxford University Press.
- Tyagi M., H. Toman and V. Gupta. 2015. Trap assisted space charge conduction in p-NiO/n-ZnO heterojunction diode. *Material Research Bulletin* 66:123-131. DOI 10.1016/j.materresbull.2015.02.015.
- Valladares L.L.S., D.H. Salinas, D.A. Najarro, S.I. Khondake, T. Mitrelias, C.H.W. Barnes, J.A. Aguiar and Y. Majima. 2012. Crystallization and electrical resistivity of Cu₂O and CuO obtained by thermal oxidation of Cu thin films on SiO₂/Si substrates. *Thin Solid Films* 520: 6368-6371. DOI 10.1016/j.tsf.2012.06.043.

เอกสารนี้เป็นเอกสารที่สงวนไว้สำหรับการใช้งานเพื่อการศึกษาเท่านั้น ไม่อนุญาตให้นำไปใช้ประโยชน์ด้านการค้า
ไม่ว่ากรณีใดๆทั้งสิ้น อีกทั้งห้ามมิให้ดัดแปลงเนื้อหา และต้องอ้างอิงถึงเจ้าของเอกสารทุกครั้งที่มีการนำไปใช้

Zeyada H.M., M.M. El-Nahass, E.M. El-Menyawy and A.S. El-Sawah. 2015. Electrical and photovoltaic characteristics of indium phthaloyanine chloride/p-Si solar cell. *Synthetic Metals* 207: 46-53. DOI 10.1016/j.synthmet.2015.06.008.



เอกสารนี้เป็นเอกสารที่สงวนไว้สำหรับการใช้งานเพื่อการศึกษาเท่านั้น ไม่อนุญาตให้นำไปใช้ประโยชน์ด้านการค้า
ไม่ว่ากรณีใดๆทั้งสิ้น อีกทั้งห้ามมิให้ดัดแปลงเนื้อหา และต้องอ้างอิงถึงเจ้าของเอกสารทุกครั้งที่มีการนำไปใช้

เอกสารอ้างอิง

- Al- Kuhaili, M.F. 2008. Characterization of Copper Oxide Thin Films Deposited by the Thermal Evaporation of Cuprous Oxide (Cu_2O). *Vacuum*. 82, 623-629.
- Bugarinovic, N., Rajcic-Yujasinovic, M., Stevic, Z. and Grekulovi, V. 2011. Cuprous Oxide as an Active Material for Solar Cells in Solar Cells-New Aspects and Solution. Edited by Leonoid A. Kosyachenko: Intech Open Science Open Minds.
- Chabane, J., Zebbar, N., Lamri Zeggar, M., Aida, M.S., Kechouane, M. and Trari, M. 2015. Effects of CuO Film Thickness on Electrical Properties of CuO/ZnO and CuO/ZnS Heterojunctions. *Materials Science in Semiconductor Processing*. 40, 840-847.
- Cullity, B.D., 1956. *Elements of X-Ray Diffraction*, Addison-Wesley Publishing Company Inc.
- Escorcia-García, J., Becerra, D., Nair, M.T.S. and Nair, P.K. 2014. Heterojunction CdS/Sb₂S₃ Solar Cells Using Antimony Sulfide Thin Films Prepared by Thermal Evaporation. *Thin Solid Films*. 569, 28-34.
- Gaewdang, T. and Wongcharoen, Ng. 2015. Heterojunction Properties of p- CuO/n-CdS Diode. *Advanced Materials Research*, 1098, 1-5.
- Gaewdang, T., Wongcharoen, Ng. Ariyarit, A., Nopparuchikun, A., Wongcharoen, T. and Poo-Rakkiat, C. 2011. Temperature Dependence of Current-Voltage Characteristics of CdZnS/CuAlO₂ Heterojunction Diode. *SWU Journal*, 3, 12-22.
- Gao, F., Liu, X.J. Zhang, J.S., Song, M.Z. Li, N. 2012. Photovoltaic Properties of the p-CuO/n-Si Heterojunction Prepared Through Reactive Magnetron Sputtering. *J. Appl. Phys.* 111, 084507-1- 84507-4.
- Gevorkyan, V.A. , Reymers, A.E., Nersesyan, M.N. and Arzakantsyan, M.A. 2012. Characterization of Cu₂O Thin Films Prepared by Evaporation of CuO Powder. *J.Physics: Conference Series*, 350, 012027.
- Jayathilaka, C., Kapaklis, V. Siripala, W., Jayanetti, S. 2015. Improved Efficiency of Electrodeposited p-CuO/n-Cu₂O Heterojunction Solar Ccell. *Applied Physics Express*. 8(6), 065503.
- Jeong, S.S., Mittiga, A., Salza, E., Masci, A. and Passerini, S. 2008. Electrodeposited ZnO/Cu₂O Heterojunction Solar Cells. *Electrochimica Acta*. 53(5), 2226-2231.
- Kittel, C., 1971. *Introduction to Solid State Physics*, 4th Ed., New York: John, Wiley & Son.
- Kittel, C., 2005. *Introduction to Solid State Physics*. 8th Ed. United States of America : John Wiley&Sons Inc.

เอกสารนี้เป็นเอกสารที่สงวนไว้สำหรับการใช้งานเพื่อการศึกษาเท่านั้น ไม่อนุญาตให้นำไปใช้ประโยชน์ด้านการค้า ไม่ว่าจะกรณีใดๆทั้งสิ้น อีกทั้งห้ามมิให้ดัดแปลงเนื้อหา และต้องอ้างอิงถึงเจ้าของเอกสารทุกครั้งที่มีการนำไปใช้

- Korzavyi, P.A. and Johansson, B. 2011. Literature Review on the Properties of Cuprous Oxide Cu_2O and the Process of Copper Oxidation. Technical Report Submitted to Swedish Nuclear Fuel and Waste Management Co.
- Minami, T., Nishi, Y., Miyata, T. and Nomoto, J., 2011. High Efficiency Oxide Solar Cells With $\text{ZnO}/\text{Cu}_2\text{O}$ Heterojunction Fabricated on Thermally Oxidized CuO Sheets. *Appl. Phys. Express*, 4, 02301-062304.
- Moller, H.J., 1993. *Semiconductors for Solar Cells*. Artech House, Inc. 1993.
- Muller, R.S. and Kamins, T.I., *Device Electronics for Integrated Circuits*, 2nd Ed, John Wiley & Sons, Inc., Singapore, 1986.
- Nakashima, Y. and Ichimura, M. 2012. Electrochemical Deposition of $\text{Cu}_x\text{Sn}_y\text{S}_z\text{O}$ Thin Films and Their Application for Heterojunction Solar Cells. *Photovoltaic Materials and Devices*. 2012, Article ID 171432, 8 pages.
- Runyan, W.R., 1975. *Semiconductor Measurement and Instrumentation*, 3rd Ed, Mc. Graw-Hill, New York.
- Schroder D.K. 1975. *Semiconductor Material and Device Characterization*. John Wiley & Sons. Inc, New York.
- Singh, J., *Semiconductor Devices : An Introduction*, Mc. Graw-Hill International Editions", Singapore, 1994.
- Sze, S.M., 1981. *Physic of Semiconductor Devices*, 2nd Ed., John Wiley & Sons Inc., New York.
- Wijesundera, R.P. 2010. Fabrication of the $\text{CuO}/\text{Cu}_2\text{O}$ Heterojunction Using an Electrodeposition Technique for Solar Cell Applications. *Semicond. Sci. Technol.* 25, 045015-1-045015-5.
- Zainelabdin, A. Zaman, S. Amin, G. Nur, O. Willander, M. 2012. Optical and Current Transport Properties of CuO/ZnO Nanocoral p-n Heterostructure Hydrothermally Synthesized at Low Temperature. *Appl. Phys. A*, 108, 921-928.
- งามนิตย์ วงษ์เจริญ. 2531. การศึกษารอยต่อแบบโลหะ-ฉนวน-สารกึ่งตัวนำ ของคอปเปอร์อินเดียมไดซัลไฟด์. วิทยานิพนธ์ปริญญาโทบัณฑิต ภาควิชาฟิสิกส์ บัณฑิตวิทยาลัย จุฬาลงกรณ์มหาวิทยาลัย
- งามนิตย์ วงษ์เจริญ และฐิตินัย แก้วแดง. 2553. การประดิษฐ์ฟิล์มบาง CdO ที่เจือด้วย Al สำหรับขั้วไฟฟ้าโปร่งแสงของเซลล์แสงอาทิตย์. รายงานวิจัยเสนอต่อคณะวิทยาศาสตร์ สถาบันเทคโนโลยีพระจอมเกล้าเจ้าคุณทหารลาดกระบัง
- งามนิตย์ วงษ์เจริญ, ฐิตินัย แก้วแดง และทิพรัตน์ วงษ์เจริญ. 2556. ความไม่เป็นเชิงเส้นทางไฟฟ้าของเซรามิกของสารกึ่งตัวนำ In_xWO_3 ($0 \leq x \leq 0.05$) และการประยุกต์ รายงานวิจัยเสนอต่อคณะวิทยาศาสตร์ สถาบันเทคโนโลยีพระจอมเกล้าเจ้าคุณทหารลาดกระบัง

เอกสารนี้เป็นเอกสารที่สงวนไว้สำหรับการใช้งานเพื่อการศึกษาเท่านั้น ไม่อนุญาตให้นำไปใช้ประโยชน์ด้านการค้า ไม่ว่ากรณีใดๆทั้งสิ้น อีกทั้งห้ามมิให้ดัดแปลงเนื้อหา และต้องอ้างอิงถึงเจ้าของเอกสารทุกครั้งที่มีการนำไปใช้

- งามนิตย์ วงษ์เจริญ, ชูตินัย แก้วแดง และทิพรัตน์ วงษ์เจริญ. 2551. การเตรียมฟิล์มบาง CdTe โดยวิธีระเหิดในระยะประชิดเพื่อประดิษฐ์เป็นเซลล์แสงอาทิตย์. รายงานวิจัยเสนอต่อคณะวิทยาศาสตร์ สถาบันเทคโนโลยีพระจอมเกล้าเจ้าคุณทหารลาดกระบัง
- งามนิตย์ วงษ์เจริญ, ชูตินัย แก้วแดง และ ทิพรัตน์ วงษ์เจริญ. 2558. การเตรียมฟิล์มบาง CuO โดยวิธีปฏิกิริยาออกซิเดชันด้วยความร้อนของฟิล์มโลหะ Cu ที่ได้จากการสเป็คเตอรืงเพื่อประยุกต์ใช้ในเซลล์แสงอาทิตย์ รายงานวิจัยเสนอต่อคณะวิทยาศาสตร์ สถาบันเทคโนโลยีพระจอมเกล้าเจ้าคุณทหารลาดกระบัง
- งามนิตย์ วงษ์เจริญ, ชูตินัย แก้วแดง, ทิพรัตน์ วงษ์เจริญ และชัชสิงห์ ภูริรักษ์เกียรติ. 2543. การเตรียมและการศึกษาสมบัติของฟิล์มบาง $Cd_{1-x}Zn_xS$ เพื่อประดิษฐ์เป็นเซลล์แสงอาทิตย์. รายงานวิจัยเสนอต่อคณะวิทยาศาสตร์ สถาบันเทคโนโลยีพระจอมเกล้าเจ้าคุณทหารลาดกระบัง
- งามนิตย์ วงษ์เจริญ, ชูตินัย แก้วแดง, ทิพรัตน์ วงษ์เจริญ และชัชสิงห์ ภูริรักษ์เกียรติ. 2545. การเตรียมและการศึกษาสมบัติของฟิล์มบาง $Cd_{1-x}Zn_xS$ เพื่อประดิษฐ์เป็นเซลล์แสงอาทิตย์. รายงานวิจัยเสนอต่อคณะวิทยาศาสตร์ สถาบันเทคโนโลยีพระจอมเกล้าเจ้าคุณทหารลาดกระบัง
- ชูตินัย แก้วแดง. 2530. การเตรียมและศึกษาสมบัติของสารกึ่งตัวนำคอปเปอร์อินเดียมไดซัลไฟด์. วิทยานิพนธ์ วิทยาศาสตรมหาบัณฑิต จุฬาลงกรณ์มหาวิทยาลัย.
- ชูตินัย แก้วแดง. 2545. เอกสารประกอบการสอนวิชา ฟิสิกส์ของสิ่งประดิษฐ์สารกึ่งตัวนำ. ภาควิชาฟิสิกส์ คณะวิทยาศาสตร์ สถาบันเทคโนโลยีพระจอมเกล้าเจ้าคุณทหารลาดกระบัง
- ชูตินัย แก้วแดง และงามนิตย์ วงษ์เจริญ. 2544. เอกสารประกอบการสอนวิชา ฟิสิกส์และเทคโนโลยีของเซลล์แสงอาทิตย์. ภาควิชาฟิสิกส์ คณะวิทยาศาสตร์ สถาบันเทคโนโลยีพระจอมเกล้าเจ้าคุณทหารลาดกระบัง
- ชูตินัย แก้วแดง, งามนิตย์ วงษ์เจริญ และทิพรัตน์ วงษ์เจริญ. 2549. การประดิษฐ์ฟิล์มบางคีนุกออกไซด์ที่เจือด้วยอะตอมฟลูออรีนสำหรับเป็นขั้วไฟฟ้าโปร่งแสงของเซลล์แสงอาทิตย์. รายงานวิจัยเสนอต่อคณะวิทยาศาสตร์ สถาบันเทคโนโลยีพระจอมเกล้าเจ้าคุณทหารลาดกระบัง.
- ชูตินัย แก้วแดง และงามนิตย์ วงษ์เจริญ. 2551. การเตรียมฟิล์มบาง CdS โดยวิธีออบสารละลายเคมีภายใต้คลื่นไมโครเวฟเพื่อประดิษฐ์เป็นหน้าต่างรับแสงของเซลล์แสงอาทิตย์. รายงานวิจัยเสนอต่อคณะวิทยาศาสตร์ สถาบันเทคโนโลยีพระจอมเกล้าเจ้าคุณทหารลาดกระบัง.
- ชูตินัย แก้วแดง งามนิตย์ วงษ์เจริญ และ ทิพรัตน์ วงษ์เจริญ. 2552. การพัฒนาขั้วไฟฟ้าด้านหลังของเซลล์แสงอาทิตย์ชนิดฟิล์มบาง CdS/CdTe. รายงานวิจัยเสนอต่อคณะวิทยาศาสตร์ สถาบันเทคโนโลยีพระจอมเกล้าเจ้าคุณทหารลาดกระบัง
- ชูตินัย แก้วแดง, งามนิตย์ วงษ์เจริญ และทิพรัตน์ วงษ์เจริญ. 2554. การประดิษฐ์ขั้วไฟฟ้าด้านหลังชนิดใหม่ที่เหมาะสมกับเซลล์แสงอาทิตย์ชนิดฟิล์มบาง CdS/CdTe. รายงานวิจัยเสนอต่อคณะวิทยาศาสตร์ สถาบันเทคโนโลยีพระจอมเกล้าเจ้าคุณทหารลาดกระบัง

เอกสารนี้เป็นเอกสารที่สงวนไว้สำหรับการใช้งานเพื่อการศึกษาเท่านั้น ไม่อนุญาตให้นำไปใช้ประโยชน์ด้านการค้า ไม่ว่ากรณีใดๆทั้งสิ้น อีกทั้งห้ามมิให้ดัดแปลงเนื้อหา และต้องอ้างอิงถึงเจ้าของเอกสารทุกครั้งที่มีการนำไปใช้

ฐิตินัย แก้วแดง, งามนิตย์ วงษ์เจริญ และ ทิพรรัตน์ วงษ์เจริญ. 2557. การประดิษฐ์และการศึกษาสมบัติของเซลล์แสงอาทิตย์ชนิดฟิล์มบางรอยต่อวิวิธพันธุ์ CdS/CuO . รายงานวิจัยเสนอต่อคณะวิทยาศาสตร์ สถาบันเทคโนโลยีพระจอมเกล้าเจ้าคุณทหารลาดกระบัง

ฐิตินัย แก้วแดง, งามนิตย์ วงษ์เจริญ, ทิพรรัตน์ วงษ์เจริญ และ ชัยสิงห์ ภูริภักดิ์เกียรติ. 2545. การเตรียมและการศึกษาสมบัติของฟิล์มบาง $Cd_{1-x}Zn_xS$ ที่มี Zn เพื่อประดิษฐ์เซลล์แสงอาทิตย์. รายงานวิจัยเสนอต่อคณะวิทยาศาสตร์ สถาบันเทคโนโลยีพระจอมเกล้าเจ้าคุณทหารลาดกระบัง.

ฐิตินัย แก้วแดง, งามนิตย์ วงษ์เจริญ, ทิพรรัตน์ วงษ์เจริญ และ ชัยสิงห์ ภูริภักดิ์เกียรติ. 2546. การประดิษฐ์ฟิล์มบาง $Cd_{1-x}Zn_xS$ ที่มี Zn ในปริมาณสูงสำหรับเซลล์แสงอาทิตย์. รายงานวิจัยเสนอต่อคณะวิทยาศาสตร์ สถาบันเทคโนโลยีพระจอมเกล้าเจ้าคุณทหารลาดกระบัง.

ยุทธ อัครมาส. 2530. พิสูจน์ของระบบเซลล์สุริยะ สำนักพิมพ์แห่งจุฬาลงกรณ์มหาวิทยาลัย

สุรสิงห์ ไชยคุณ, นรินทร์ วิทิตอนันต์, สกฤต ศรีญาณลักษณ์ และจักรพันธ์ ถาวรธิดา. 2545. การ ออกแบบและการสร้างอันบาลานซ์ แมกนีตรอนคาโทด สำหรับระบบสปัตเตอริง. รายงานวิจัยเสนอต่อกองทุนต้นตรางรณ์ มหาวิทยาลัยบูรพา จังหวัดชลบุรี



เอกสารนี้เป็นเอกสารที่สงวนไว้สำหรับการใช้งานเพื่อการศึกษาเท่านั้น ไม่อนุญาตให้นำไปใช้ประโยชน์ด้านการค้า
ไม่ว่ากรณีใดๆทั้งสิ้น อีกทั้งห้ามมิให้ดัดแปลงเนื้อหา และต้องอ้างอิงถึงเจ้าของเอกสารทุกครั้งที่มีการนำไปใช้

ตารางไฟล์มาตรฐาน JCPDS ของสารประกอบ CdS

Pattern : 75-1546		Radiation = 1.540600		Quality : Calculated		
<p>Cd S</p> <p>Cadmium Sulfide</p>		2th	l	h	k	i
		26.505	100	1	1	1
<p>Lattice : Face-centered cubic Mol. weight = 144.47</p> <p>S.G. : F-43m (216) Volume [CD] = 197.14</p> <p>a = 5.82000 Dx = 4.868</p> <p>Z = 4 Mcor = 14.05</p> <p>ICSD COLLECTION CODE : 031075 TEST FROM ICSD : No R value given. TEST FROM ICSD : At least one TF missing.</p> <p>*Calculated from ICSD using POWD-12++, (1997) primary reference : *Z. Kristallogr., Kristallgeom., Kristallphys., Kristallchem., volume 62, page 260, (1925) : Ulrich, F., Zachariasen, W.</p> <p>Radiation : CuKα1 Filter : Not specified</p> <p>Lambda : 1.54060 d-sp : Calculated spacings</p>		30.699	22	2	0	0
		43.969	47	2	2	0
		52.076	33	3	1	1
		54.579	5	2	2	2
		63.932	6	4	0	0
		70.468	11	3	3	1
		72.585	5	4	2	0
		80.842	10	4	2	2
		86.902	7	5	1	1

เอกสารนี้เป็นเอกสารที่สงวนไว้สำหรับการใช้งานเพื่อการศึกษาเท่านั้น ไม่อนุญาตให้นำไปใช้ประโยชน์ด้านการค้า
 ไม่ว่ากรณีใดๆทั้งสิ้น อีกทั้งห้ามมิให้ดัดแปลงเนื้อหา และต้องอ้างอิงถึงเจ้าของเอกสารทุกครั้งที่มีการนำไปใช้

ตารางไฟล์มาตรฐาน JCPDS ของสารประกอบ CuO

Pattern : 80-1268		Radiation = 1.540600		Quality : Calculated		
CuO		2th	l	h	k	l
Copper Oxide		32.548	7	1	1	0
		35.466	37	0	0	2
		35.566	92	-1	1	1
		38.769	100	1	1	1
		38.974	29	2	0	0
		46.277	2	-1	1	2
		48.743	28	-2	0	2
		51.419	1	1	1	2
		53.534	10	0	2	0
		56.773	1	0	2	1
		58.376	14	2	0	2
		61.567	19	-1	1	3
		65.870	14	0	2	2
		68.292	14	-3	1	1
		67.987	9	1	1	3
		68.175	16	2	2	0
		68.951	<1	-2	2	1
		71.725	<1	-3	1	2
		72.498	6	3	1	1
		73.045	<1	2	2	1
		75.059	5	0	0	4
		75.298	8	-2	2	2
		79.812	<1	0	2	3
		80.191	2	-2	0	4
		82.397	4	-3	1	3
		83.184	4	2	2	2
		83.701	4	3	1	2
		83.701	4	4	0	0
		86.602	1	-4	0	2
		86.811	1	-2	2	3
		88.096	<1	1	1	4
		89.677	5	-1	3	1
Lattice : Monoclinic S.G. : C2/c (15) a = 4.68330 b = 3.42080 c = 5.12940 a/b = 1.36907 c/b = 1.49847 Mol. weight = 79.55 Volume [CD] = 81.03 Dx = 6.520 Beta = 99.57 Z = 4 Wcor = 4.00		ICSD COLLECTION CODE : 069094 TEMPERATURE FACTOR : ATF REMARKS FROM ICSD : REM TEM 11. REMARKS FROM ICSD : REM RVP.				
*Calculated from ICSD using POWD-12++, (1997) primary reference : *J. Solid State Chem., volume 89, page 184, (1990) : Brese, N.E., O'Keeffe, M., Ramakrishna, B.L., von Dreele, R.B.						
Radiation : CuK α 1 Lambda : 1.54060		Filter : Not specified d-sp : Calculated spacings				

เอกสารนี้เป็นเอกสารที่สงวนไว้สำหรับการใช้งานเพื่อการศึกษาเท่านั้น ไม่อนุญาตให้นำไปใช้ประโยชน์ด้านการค้า
ไม่ว่ากรณีใดๆทั้งสิ้น อีกทั้งห้ามมิให้ดัดแปลงเนื้อหา และต้องอ้างอิงถึงเจ้าของเอกสารทุกครั้งที่มีการนำไปใช้

Effect of Oxidation Temperature on the Properties of CuO Thin Films Prepared by Thermal Oxidation of Sputtered Cu Thin Films

Ngamnit Wongcharoen^a, Thitinai Gaewdang^b

Department of Physics, Faculty of Science, King Mongkut's Institute of Technology Ladkrabang, 1, Soi Chalalongkrung 1, Ladkrabang District, Bangkok 10520, Thailand.

^aemail: kwngamni@kmitl.ac.th, ^bemail: kgthitin@kmitl.ac.th

Keywords: CuO thin films, XRD, SEM, Persistent photoconductivity

Abstract. CuO thin films were obtained through thermal oxidation of dc magnetron sputtered metallic Cu films on glass substrates. Thermal oxidation process was performed in air at temperature ranging 300-500 °C. From XRD patterns, CuO single phase of monoclinic structure was formed at oxidation temperature beyond 450 °C whereas amorphous phase with very small grains was obtained at oxidation temperature below 450 °C. The positive sign of the Hall coefficient confirmed the p-type conductivity in all studied films. From transmission spectra, direct band gap value is varied between 2.17 and 2.83eV. From the transient photoconductivity measurements, persistent photoconductivity (PPC) behavior was observed. The decay current data were better fitted with the multiple exponential functions resulting into five slow decay times. Density of trap states corresponding to its decay time was also evaluated from the decay current data.

Introduction

Oxides of copper are well-known to show p-type conductivity and have many advantages for catalysts and solar energy conversion application. Non-toxic, economic, abundant availability and relatively simple formation of oxide makes copper oxide as an interesting material [1]. Two common forms of copper oxide are cuprous oxide (Cu₂O) and cupric oxide (CuO). A meta-stable copper oxide, Cu₄O₃, which is an intermediate compound between the previous two, has also reported [2]. Cu₂O and CuO belong to cubic and monoclinic structures with band gap of 2.1-2.6 eV and 1.9-2.1eV, respectively. The growth of high quality p-type CuO thin films is essential for fabricating p-n junction-based oxide devices, such as solar cells, light emitting diodes and transistors. The optical transmittance and electrical resistivity of the films are two critical parameters in evaluating the performance of photovoltaic cells and electrochromic devices. In this paper, CuO thin films were obtained through thermal oxidation of dc magnetron sputtered metallic Cu films on glass substrates. The physical properties of the films were studied in order to find the possibility to use them in p-n junction low cost thin film solar cells.

Experimental

Copper thin films were grown on glass substrates by using dc magnetron sputtering from a home-made circular planar magnetron sputtering system. A circular planar magnetron of 60 mm diameter was used as the magnetron cathode. The magnetron target assembly was mounted on the top plate of the sputter chamber such that the sputtering could be done by sputtering down configuration. A continuously variable dc power supply of 630 V and 2.6 A was used a power source for sputtering. A 60 mm diameter and 3 mm thick pure copper (99.99%) used as sputter target. Pure argon was used as sputter gas. The flow rate of argon was controlled by AALBORG mass flow controller. Before deposition of each batch, the target was sputtered in pure argon atmosphere for 5 min to remove oxide layer if any on the surface of target. The sputtering conditions maintained during the growth copper films are given in Table 1. The as-deposited copper thin films were oxidized in tubular furnace at temperature ranging from 300-500 °C in air for 60 min. The crystal structure of these films was checked by X-ray diffraction technique with a Bruker

ไม่ว่ากรณีใดๆทั้งสิ้น อีกทั้งห้ามมิให้คัดแปลงเนื้อหา และต้องอ้างอิงถึงเจ้าของเอกสารทุกครั้งที่มีการนำไปใช้

D 8 diffractometer using CuK_α radiation. Surface morphology was examined by JEOL model JSM-6400 scanning electron microscope. Optical transmission measurements were performed with UV-VIS double beam spectrophotometer in the wavelength range of 220-1,000 nm. The band gap (E_g) of the transparent films was determined by using the equation $(\alpha h\nu)^2 = A(h\nu - E_g)$ where α is the absorption coefficient, A is a constant and $h\nu$ is the photon energy. Electrical properties of the films were evaluated by Hall effect and resistivity measurements in the van der Pauw configuration at room temperature.

Table 1 List of some conditions for preparing CuO thin films

Conditions	Parameters	Values
Sputtering	Target	Cu
	Argon flow rate (sccm)	15
	Target to substrate distance (cm)	10
	Bias voltage (V)	370
	Current (mA)	80
	Substrate temperature ($^\circ\text{C}$)	25
	Working pressure (torr)	3.6×10^{-3}
	Sputtering time (min)	6
Oxidized in air	Temperature ($^\circ\text{C}$)	300-500
	Time (min)	60

Results and Discussion

Fig. 1 shows XRD patterns of CuO films as a function of oxidation temperature. XRD patterns of the films oxidized at temperature below 450°C show amorphous characteristics. In contrast, the XRD spectrum of the films oxidized at 500°C shows the well-resolved two diffraction peaks. These peaks correspond to the reflection of (-111) and (111) planes of standard JCPDS data card of CuO (JCPDS No. 80-1268). The crystallite size was calculated using Scherrer's formula, neglecting peak broadening due to residual stresses in the films, $L = 0.9\lambda/(\beta \cos\theta)$ where β is the broadening of diffraction line measured at half its maximum intensity in radian and λ is the wavelength of X-rays (0.1540 nm). The calculated value of L is about 15 nm. SEM images of CuO films obtained from oxidation temperature during 300-500 $^\circ\text{C}$ were shown in Fig. 2. When the films were oxidized below 350°C , the morphology does not change much and shows better uniformity in free surface. However, oxidation temperatures higher than 350°C , small pores over the films were observed.

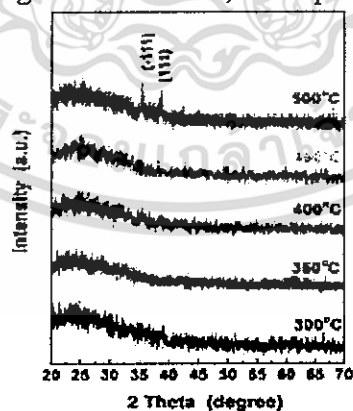


Fig. 1 XRD patterns of CuO films as a function of oxidation temperature.

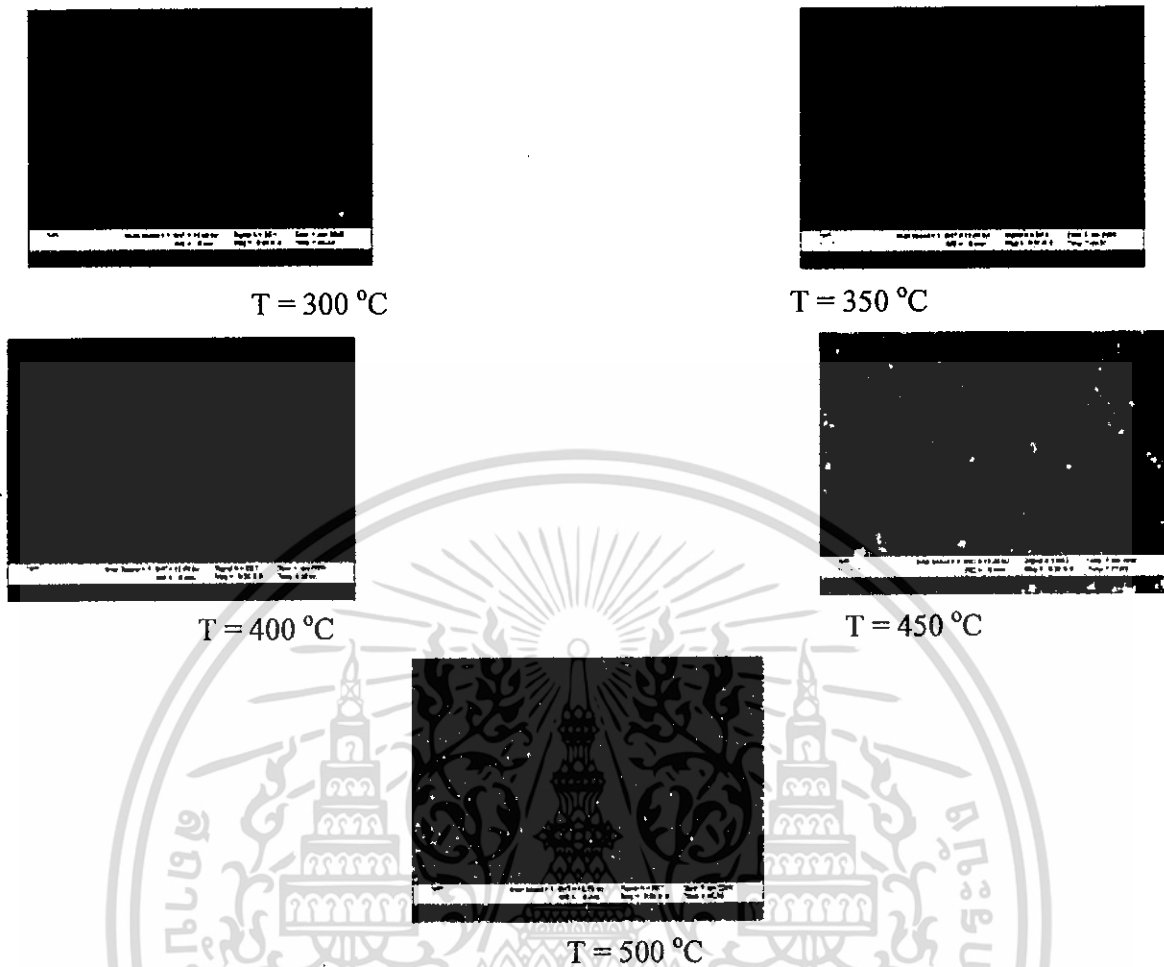


Fig. 2 SEM images of CuO films obtained from oxidation temperature between 300-500 °C.

Fig. 3 shows transmittance spectra of CuO films obtained from oxidation temperature during 300-500 °C. From the transmittance spectra we have also calculated band gap of films with different oxidation temperatures. The absorption coefficient (α) is calculated using the equation $\alpha = (1/d)\ln(1/T)$ where T is transmittance and d is film thickness. The absorption coefficient (α) and the incident photon energy ($h\nu$) related by $(\alpha h\nu)^2 = A(h\nu - E_g)$ where A and E_g are constant and band gap values, respectively. The E_g can be determined by extrapolation of the linear portion of the curve to the photon energy axis. Fig. 4 shows the curve of $(\alpha h\nu)^2$ vs. photon energy ($h\nu$) of the films obtained from oxidation temperature at 500 °C. Two allowed direct transition band gap were obviously observed. The smaller band gap value (E_{g1}) should correspond to the major CuO phase. The bigger band gap (E_{g2}) is possibly attributed to the parasitic phase of Cu_2O which cannot be observed by XRD due to too small amount of Cu_2O content in the bulk of films. The variation of E_{g1} and E_{g2} was shown in Fig. 5. The E_{g1} decreases from 2.41 to 2.17 eV with oxidation temperature increases from 300 to 400 °C and then increases to 2.19 eV when oxidation temperature further increases to 500 °C. The similar behavior is also observed in E_{g2} . These results indicate that E_{g1} and E_{g2} are sensitive to the oxidation temperature.

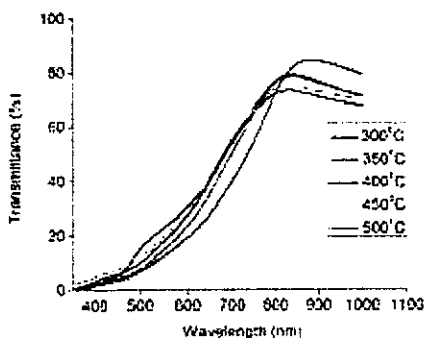


Fig. 3 Transmittance of CuO films obtained from oxidation temperature between 300-500 °C.

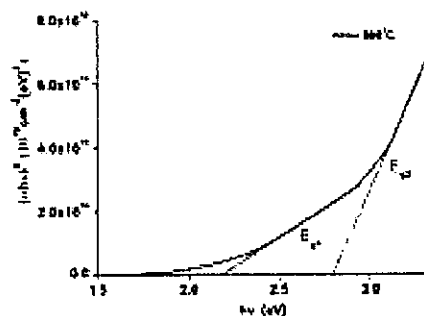


Fig. 4 $(\alpha hv)^2$ vs. $h\nu$ plot of CuO films obtained from oxidation temperature at 500 °C.

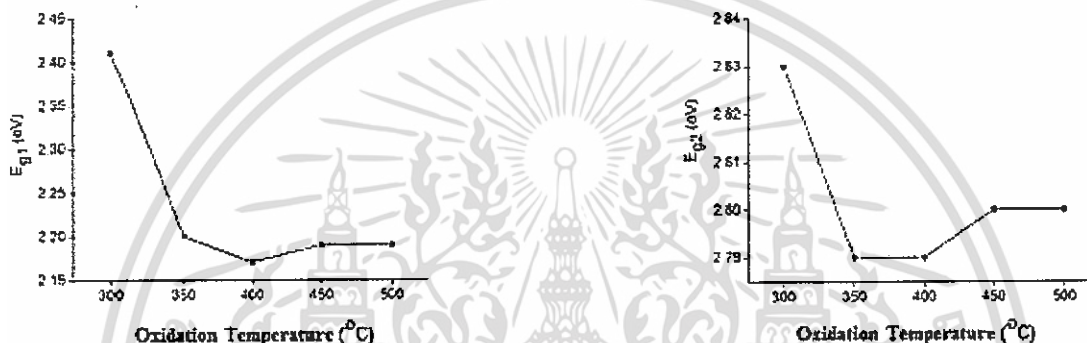


Fig. 5 Variation of band gap of CuO films as a function of oxidation temperature.

Electrical properties of the films were evaluated by Hall effect and resistivity measurements in the van der Pauw configuration. We found that all studied films are exhibited p-type conductivity. Variations of the resistivity, carrier concentration and mobility against oxidizing temperature are shown in Fig. 6. Carrier concentration (n) is derived from the relation $n=1/eR_H$ where R_H is the Hall coefficient and e is the absolute value of the electron charge. The carrier mobility (μ) is determined using the relation $1/nep$ where ρ is resistivity. Resistivity of the films increases from 5.01×10^2 to attain maximum at $7.50 \times 10^3 \Omega \cdot \text{cm}$ with oxidation temperature increasing from 300 to 400 °C, and decreases to $1.88 \times 10^3 \Omega \cdot \text{cm}$ when the oxidation temperature further increase to 500°C. The mobility initially decreases with an increase in oxidation temperature up to 400 °C and then increases with an increase in oxidation temperature. The variation of carrier concentration shows the similar behavior to mobility. These results indicate that the resistivity, carrier concentration and mobility of the films are sensitive to the oxidation temperature.

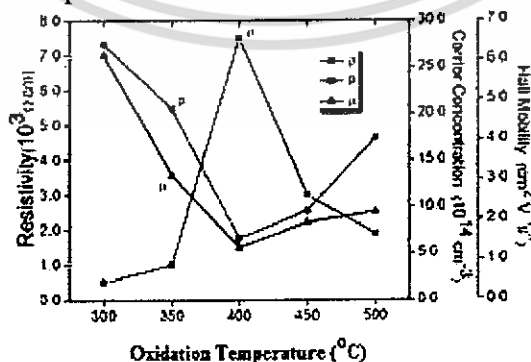


Fig. 6 Variations of the resistivity, carrier concentration and mobility against oxidation temperature.

The photocurrent response of the films oxidized at 500 °C was measured by two probe method using halogen lamp as a light source. Two silver electrodes with area 0.05 cm^2 was made on the

sample surface. The photocurrent response of the films oxidized at 500 °C was shown in Fig. 7. The sample was connected to the experimental setup and maintained in darkness under a constant applied bias of 6 V to stabilize the current. After the stabilization period, the current was recorded in the following sequences: 30 s in darkness, 400 s under illumination and, finally, 400 s in the darkness. Under illumination, the current increases immediately because a lot of carriers were excited by light illumination. After the illumination period, the persistent photoconductivity (PPC) effect of the films oxidized at 500 °C occurred in darkness. The decay of PPC in Fig. 7 can be described by multiple exponential functions [3,4] as

$$I = I_{\text{dark}} + (I_0 - I_{\text{dark}}) \sum_i \exp\left(-\frac{t}{\tau_i}\right)$$

where I_{dark} is the current measured in darkness, I_0 is the PPC buildup level near the moment of light excitation being removed, τ is the PPC decay time constant. The normalized decay current in darkness as shown in Fig. 8, which follows the illumination period, indicates the persistent of charge carrier traps in the films [5]. In Fig. 8 the dash line is the measured data and the solid line is the least squares fit data by the multiple exponential functions as described above. According to the function of fitting curve in Fig. 8 we calculated that the five τ values are 120.77, 208.33, 414.94, 884.96 and 1504.95 s. Method for calculating the trap densities corresponding to the PPC decay constant was reported in the literatures [6-8]. The corresponding trap densities are 1.38×10^{11} , 1.03×10^{11} , 7.90×10^{10} , 6.70×10^{10} and $5.89 \times 10^{10} \text{ cm}^{-2}$.

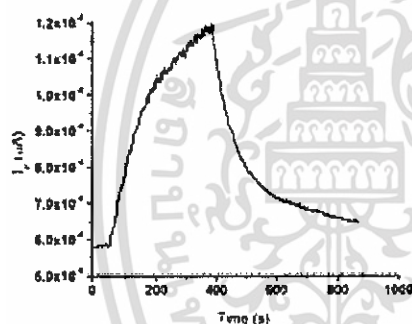


Fig. 7 Photocurrent response of CuO films obtained from oxidation temperature at 500 °C.

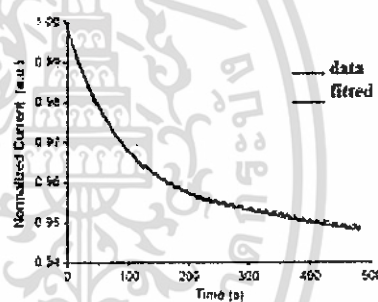


Fig. 8 Normalized decay time of CuO films obtained from oxidation temperature at 500 °C.

Summary

CuO thin films were obtained through oxidation of metallic Cu films deposited on glass substrates by dc magnetron sputtering method. It is shown that the CuO single phase of monoclinic structure was formed at oxidation temperature beyond 450 °C where amorphous phase with very small grains, confirmed by SEM images, was obtained at oxidation temperature below 450 °C. All studied films are p-type semiconductors with band gap of 2.17-2.83 eV. The photocurrent response of films oxidized at 500 °C was measured by two probe using halogen lamp as a light source. The decay current data were better fitted with the multiple exponential functions. Five slow decay times and five trap densities values are 120.77, 208.33, 414.94, 884.96, 1504.95 s and 1.38×10^{11} , 1.03×10^{11} , 7.90×10^{10} , 6.70×10^{10} , $5.89 \times 10^{10} \text{ cm}^{-2}$, respectively.

References

- [1] F. Gao, X.J. Liu, J.S. Zhang, M.Z. Song and N. Li: J. Appl. Phys. Vol. 111 (2012), pp. 084507-1-084507-3.
- [2] H. Zhu, J. Zhang, C. Li, F. Pan, T. Wang and B. Huang: Thin Solid Films Vol. 517 (2009), pp. 5700-5704. [3] F. Jaing, H. Shen, C. Gao, B. Liu, L. Lin and Z. Shen: Appl. Surf. Sci. Vol. 257 (2011), pp. 4901-4905.
- [4] H.K. Yadav, V. Sreenivas and V. Gupta: App. Phys. Lett. Vol. 96 (2010), pp. 23507-1-2230507-3.
- [5] N.R. Mathew, H.B.M. Anaya, M.A. Cortes-Jacome, C. Angeles-Chavez and J.A. Toledo-Antonio: J. Electrochem. Soc. Vol. 157 (2010), pp. H337-H341.
- [6] B.C. Huang and Y.J. Lin: Appl. Phys. Lett. Vol. 99 (2011), pp. 113301-111303-3.
- [7] Gu, M.G. Kanne, J.E. Doty and A. H. Firester: Appl. Phys. Lett. Vol. 87 (2005), pp. 243512-1-243512-3.
- [8] S.A. Studenikin, N. Gelego and M. Locivera: J. Appl. Phys. Vol. 83 (1998), pp 2104-2111.

เอกสารนี้เป็นเอกสารที่สงวนไว้สำหรับการใช้งานเพื่อการศึกษาเท่านั้น ไม่อนุญาตให้นำไปใช้ประโยชน์ด้านการค้า
ไม่ว่ากรณีใดๆทั้งสิ้น อีกทั้งห้ามมิให้ดัดแปลงเนื้อหา และต้องอ้างอิงถึงเจ้าของเอกสารทุกครั้งที่มีการนำไปใช้

The seal of the National Library of Thailand is a circular emblem. It features a central five-tiered umbrella (parasol) with a sunburst above it. The umbrella is flanked by two smaller, three-tiered umbrellas. The entire emblem is surrounded by a decorative border. The Thai text "สถาบันเทคโนโลยีพระจอมเกล้าเจ้าคุณทหารลาดกระบัง" is written around the inner edge of the seal, and "ส.ท.ล." is written at the bottom.

สรุปค่าใช้จ่ายการดำเนินงานโครงการวิจัย

เอกสารนี้เป็นเอกสารที่สงวนไว้สำหรับการใช้งานเพื่อการศึกษาเท่านั้น ไม่อนุญาตให้นำไปใช้ประโยชน์ด้านการค้า
ไม่ว่ากรณีใดๆทั้งสิ้น อีกทั้งห้ามมิให้ดัดแปลงเนื้อหา และต้องอ้างอิงถึงเจ้าของเอกสารทุกครั้งที่มีการนำไปใช้



แบบรายงานการใช้จ่ายเงินโครงการวิจัย

สถาบันเทคโนโลยีพระจอมเกล้าเจ้าคุณทหารลาดกระบัง

รายงานความก้าวหน้า ครั้งที่ 2 ประจำปีงบประมาณ 2558

แหล่งงบประมาณแผ่นดิน (แบบปกติ) แหล่งเงินรายได้

ชื่อโครงการ (ภาษาไทย) การเตรียมฟิล์มบาง CuO โดยวิธีอิเล็กโทรพรีซิพิตเคชันเพื่อประดิษฐ์เป็นเซลล์แสงอาทิตย์ชนิดรอยต่อวิวิธพันธุ์ Cds/CuO

(ภาษาอังกฤษ) Driver and Obstacle in Implementing Green Logistics in OTOP Enterprise

ชื่อ-สกุลหัวหน้าโครงการวิจัยผู้รับทุน/ผู้วิจัย รศ.ดร.ฐิตินัย แก้วแดง

รายงานในช่วงตั้งแต่วันที่ 1/ ตุลาคม/2557 ถึงวันที่ 30/ กันยายน/ 2558

ระยะเวลาดำเนินการ 1 ปี - เดือน ตั้งแต่วันที่ ระบุ 1/ ตุลาคม/2557 ถึงวันที่ 30/ กันยายน/2558

ข้อมูลการรายงานค่าใช้จ่ายงบประมาณโครงการวิจัย

1. การเบิกจ่ายงบประมาณ (กรณีการจ่ายเงินถ้าจ่ายงวดเดียวให้ลบข้อที่ไม่เกี่ยวข้องออก)

งวดที่ 1 30,000.- บาท 15 % วันที่ได้รับอนุมัติให้เบิกจ่ายเงิน (ป/ด/ว) 7 พ.ย. 57 29 ม.ค. 58

งวดที่ 2 170,000.- บาท 85 % วันที่ได้รับอนุมัติให้เบิกจ่ายเงิน (ป/ด/ว) 8 เม.ย. 58

2. สรุปงบประมาณค่าใช้จ่ายที่ใช้นับตั้งแต่เริ่มทำการวิจัยถึงปัจจุบัน (จำแนกตามหมวดค่าใช้จ่าย)

หมวดค่าใช้จ่าย	งบประมาณรวมทั้งโครงการ	ค่าใช้จ่าย (บาท)	คงเหลือ (หรือเกิน)
งบบุคลากร : ค่าจ้างชั่วคราว	0.-	0.-	0.-
งบดำเนินงาน			
ค่าตอบแทน	0.-	0.-	0.-
ค่าใช้จ่าย	45,000.-	2,675.-	42,325.-
ค่าวัสดุ	155,000.-	197,325.-	(-42,325.-)
ค่าสาธารณูปโภค	0.-	0.-	0.-
งบลงทุน: ค่าครุภัณฑ์	0.-	0.-	0.-
รวม	200,000.-	200,000.-	0.-

(รศ.ดร.ฐิตินัย แก้วแดง)

ลงนามหัวหน้าโครงการวิจัยผู้รับทุน

21 / 10 / 58

เอกสารนี้เป็นเอกสารที่สงวนไว้สำหรับการใช้งานเพื่อการศึกษาเท่านั้น ไม่อนุญาตให้นำไป (นางสาวสุภาวดี ไชยวงศ์)
 ไม่ว่ากรณีใดๆทั้งสิ้น อีกทั้งห้ามมิให้ดัดแปลงเนื้อหา และต้องอ้างอิงถึงเจ้าของเอกสารทุกครั้ง
 ลงนามเจ้าหน้าที่การเงิน 7-01.ก. 2558

ข้อมูลประวัติคณะผู้วิจัย

หัวหน้าโครงการวิจัย

ชื่อ-นามสกุล นายฐิตินัย แก้วแดง

ตำแหน่งปัจจุบัน รองศาสตราจารย์ ระดับ 9

ประวัติการศึกษา

ปีที่จบการศึกษา	ระดับปริญญา	อักษรย่อปริญญา	สาขาวิชา	ชื่อสถาบันการศึกษา
2526	ปริญญาตรี	วท.บ.	ฟิสิกส์	จุฬาลงกรณ์มหาวิทยาลัย กรุงเทพฯ
2530	ปริญญาโท	วท.ม.	ฟิสิกส์	จุฬาลงกรณ์มหาวิทยาลัย กรุงเทพฯ
2536	ปริญญาเอก	Ph.D.	วัสดุศาสตร์	Bordeaux University I, France

สาขาวิชาการที่มีความชำนาญพิเศษ (แตกต่างจากวุฒิการศึกษา)

ฟิสิกส์ของแข็ง ฟิสิกส์สารกึ่งตัวนำ

ผลงานวิจัย/งานสร้างสรรค์ที่ตีพิมพ์เผยแพร่ (ระดับชาติและนานาชาติ)

1. T. Gaewdang and Ng. Wongcharoen "Heterojunction Properties of p-CuO/n-CdS Diode" Advanced Materials Research, Vol. 1098, 2015, pp. 1-5.
2. Ng. Wongcharoen and T. Gaewdang "Effect of Oxidation Temperature on the Properties of CuO Thin Films Prepared by Thermal Oxidation of Sputtered Cu Thin Films" Advanced Materials Research, Vol. 1098, 2015, pp. 6-11.
3. T. Gaewdang and Ng. Wongcharoen "Electrical Parameters and Conduction Mechanisms in CdS/CuO Thin Film Heterojunction" International Symposium on Fundamental and Applied Sciences (ISFAS) March, 2015, Osaka, Japan, Proceedings, pp. 858-865.
4. Ng. Wongcharoen and T. Gaewdang "Preparation and Characterization of Copper Oxide Thin Films Prepared by Oxidation of Thermally Evaporated Cu Thin Films" International Symposium on Fundamental and Applied Sciences (ISFAS) March, 2015, Osaka, Japan, Proceedings, pp. 866-873.

เอกสารนี้เป็นเอกสารที่สงวนไว้สำหรับการใช้งานเพื่อการศึกษาเท่านั้น ไม่อนุญาตให้นำไปใช้ประโยชน์ด้านการค้า
ไม่ว่ากรณีใดๆทั้งสิ้น อีกทั้งห้ามมิให้ดัดแปลงเนื้อหา และต้องอ้างอิงถึงเจ้าของเอกสารทุกครั้งที่มีการนำไปใช้

5. T. Gaewdang and Ng. Wongcharoen "Electrical Conduction Mechanism in n-CdS/p-CuFeO₂ Heterojunction Diode" *Advanced Materials Research*, Vol. 931-932, 2014, pp. 122-126.
6. Ng. Wongcharoen and T. Gaewdang "Influence of Na Doping on the Thermoelectric Properties of CuAlO₂ Delafossite" *Advanced Materials Research*, Vol. 931-932, 2014, pp. 127-131.
7. Ng. Wongcharoen and T. Gaewdang "Electrical Characterization of n-CdS/p-CuCrO₂ Heterojunction" *Hong Kong International Conference on Engineering and Applied Science (HKICEAS) December 19-21, 2013, Hong Kong, Proceedings*, pp. 781-788.
8. T. Gaewdang and Ng. Wongcharoen "Influence of Annealing Temperature on Microstructure, Optical and Electrical Properties of Digenite Thin Films" *Hong Kong International Conference on Engineering and Applied Science (HKICEAS) December 19-21, 2013, Hong Kong, Proceedings*, pp. 774-780.
9. T. Gaewdang, Ng. Wongcharoen and T. Wongcharoen "Effect of Annealing Temperature on the Optical Parameters of CdS Thin Films Prepared by Thermal Evaporation Method" *Advanced Materials Research*, Vol. 747, 2013, pp. 329-332.
10. Ng. Wongcharoen, T. Gaewdang and T. Wongcharoen "Structural and Thermoelectric Properties of Zn-Doped Cuprous Aluminate Delafossite" *Advanced Materials Research*, Vol. 747, 2013, pp. 333-336.
11. Ng. Wongcharoen, T. Gaewdang and T. Wongcharoen "Determination of Gap State Density in n-CdS/p-CuAlO₂ Heterojunction" *Asian Conference on Civil, Material and Environmental Sciences (ACCMES) 2013, March 15-17, 2013, Tokyo, Japan, Proceedings*, pp. 2078-2088.
12. T. Gaewdang, Ng. Wongcharoen and T. Wongcharoen "Preparation and Characterization of CdS_xTe_{1-x} (0≤x≤1) Thin Films" *Asian Conference on Civil, Material and Environmental Sciences (ACCMES) 2013, March 15-17, 2013, Tokyo, Japan Proceedings*, pp. 2070-2077.
13. T. Gaewdang, Ng. Wongcharoen and T. Wongcharoen "Characterization of CdS/CdTe Heterojunction Solar Cell by Current- Voltage Measurements at Various Temperatures under Illumination", *Energy Procedia*, vol. 15, 2012, pp. 299-304.
14. Ng. Wongcharoen, T. Gaewdang and T. Wongcharoen "Electrical Properties of Al-Doped CdO films Prepared by Thermal Evaporation in Vacuum" *Energy Procedia*, vol. 15, 2012, pp. 361-370.

ผู้ร่วมวิจัย

ชื่อ-นามสกุล งามนิตย์ วงษ์เจริญ

ตำแหน่งปัจจุบัน รองศาสตราจารย์ ระดับ 9

ประวัติการศึกษา

ปีที่ยจบการศึกษา	ระดับปริญญา	อักษรย่อปริญญา	สาขาวิชา	ชื่อสถาบันการศึกษา
2526	ปริญญาตรี	วท.บ.	ฟิสิกส์	มหาวิทยาลัยศิลปากร จ.นครปฐม
2531	ปริญญาโท	วท.ม.	ฟิสิกส์ (ฟิสิกส์ของแข็ง)	จุฬาลงกรณ์มหาวิทยาลัย กรุงเทพฯ

สาขาวิจัยที่มีความชำนาญพิเศษ (แตกต่างจากวุฒิการศึกษา)

ฟิสิกส์ของแข็ง ฟิสิกส์ของสิ่งประดิษฐ์สารกึ่งตัวนำ

ผลงานวิจัย/งานสร้างสรรค์ที่ตีพิมพ์เผยแพร่ (ระดับชาติและนานาชาติ)

1. T. Gaewdang and Ng. Wongcharoen "Heterojunction Properties of p-CuO/n-CdS Diode" *Advanced Materials Research*, Vol. 1098, 2015, pp. 1-5.
2. Ng. Wongcharoen and T. Gaewdang "Effect of Oxidation Temperature on the Properties of CuO Thin Films Prepared by Thermal Oxidation of Sputtered Cu Thin Films" *Advanced Materials Research*, Vol. 1098, 2015, pp. 6-11.
3. T. Gaewdang and Ng. Wongcharoen "Electrical Parameters and Conduction Mechanisms in CdS/CuO Thin Film Heterojunction" *International Symposium on Fundamental and Applied Sciences (ISFAS) March, 2015, Osaka, Japan, Proceedings*, pp. 858-865.
4. Ng. Wongcharoen and T. Gaewdang "Preparation and Characterization of Copper Oxide Thin Films Prepared by Oxidation of Thermally Evaporated Cu Thin Films" *International Symposium on Fundamental and Applied Sciences (ISFAS) March, 2015, Osaka, Japan, Proceedings*, pp. 866-873.
5. Ng. Wongcharoen and T. Gaewdang "Influence of Na Doping on the Thermoelectric Properties of CuAlO₂ Delafossite" *Advanced Materials Research*, Vol. 931-932, 2014, pp. 127-131

เอกสารนี้เป็นเอกสารที่สงวนไว้สำหรับการใช้งานเพื่อการศึกษาเท่านั้น ไม่อนุญาตให้นำไปใช้ประโยชน์ด้านการค้า
ไม่ว่ากรณีใดๆทั้งสิ้น อีกทั้งห้ามมิให้ดัดแปลงเนื้อหา และต้องอ้างอิงถึงเจ้าของเอกสารทุกครั้งที่มีการนำไปใช้

6. T. Gaewdang and Ng. Wongcharoen "Electrical Conduction Mechanism in n-CdS/p-CuFeO₂ Heterojunction Diode" *Advanced Materials Research*, Vol. 931-932, 2014, pp. 122-126.
7. Ng. Wongcharoen and T. Gaewdang "Electrical Characterization of n-CdS/p-CuCrO₂ Heterojunction" *Hong Kong International Conference on Engineering and Applied Science (HKICEAS) December 19-21, 2013, Hong Kong, Proceedings*, pp. 781-788.
8. T. Gaewdang and Ng. Wongcharoen "Influence of Annealing Temperature on Microstructure, Optical and Electrical Properties of Digenite Thin Films" *Hong Kong International Conference on Engineering and Applied Science (HKICEAS) December 19-21, 2013, Hong Kong, Proceedings*, pp. 774-780.
9. T. Gaewdang, Ng. Wongcharoen and T. Wongcharoen "Effect of Annealing Temperature on the Optical Parameters of CdS Thin Films Prepared by Thermal Evaporation Method" *Advanced Materials Research*, Vol. 747, 2013, pp. 329-332.
10. Ng. Wongcharoen, T. Gaewdang and T. Wongcharoen "Structural and Thermoelectric Properties of Zn-Doped Cuprous Aluminate Delafossite" *Advanced Materials Research*, Vol. 747, 2013, pp. 333-336.
11. Ng. Wongcharoen, T. Gaewdang and T. Wongcharoen "Determination of Gap State Density in n-CdS/p-CuAlO₂ Heterojunction" *Asian Conference on Civil, Material and Environmental Sciences (ACCMES) 2013, March 15-17, 2013, Tokyo, Japan, Proceedings*, pp. 2078-2088.
12. T. Gaewdang, Ng. Wongcharoen and T. Wongcharoen "Preparation and Characterization of CdS_xTe_{1-x} (0 ≤ x ≤ 1) Thin Films" *Asian Conference on Civil, Material and Environmental Sciences (ACCMES) 2013, March 15-17, 2013, Tokyo, Japan Proceedings*, pp. 2070-2077.
13. T. Gaewdang, Ng. Wongcharoen and T. Wongcharoen "Characterization of CdS/CdTe Heterojunction Solar Cell by Current- Voltage Measurements at Various Temperatures under Illumination", *Energy Procedia*, vol. 15, 2012, pp. 299-304.
14. Ng. Wongcharoen, T. Gaewdang and T. Wongcharoen "Electrical Properties of Al-Doped CdO films Prepared by Thermal Evaporation in Vacuum" *Energy Procedia*, vol. 15, 2012, pp. 361-370.

15. T. Gaewdang, Ng. Wongcharoen, A. Nopparuchikun, T. Wongcharoen and C. Poo-Rakkiat "Fabrication and Characterization of Heterojunction of CdS Thin Films and CuAlO₂ Ceramic Pill Substrate" *Journal of Metals, Materials and Minerals*, vol. 22(2), 2012, pp. 125-129.
16. Ng. Wongcharoen and T. Gaewdang, "Thermoelectric Properties of Ni-Doped CuAlO₂" *Physics Procedia*, vol.2, 2009, pp.101-106.
17. Wongcharoen, T. Gaewdang, P. Siripuddhaiwon and N. Promros "Influence of Substrate Temperature on Some Properties of Close-Spacing Thermal Evaporated CdTe Thin Films" *Advanced Materials Research*, Vol. 55-57, 2008, pp.881-884.
18. T. Gaewdang and Ng. Wongcharoen "Optical and Electrical Properties of Chemical Bath Co-Deposited CdS-ZnS Thin Films" *ISES Solar World Congress 2007*, September 18- 21, 2007, Beijing, China, *Proceedings*, pp.1299-1302.
19. Ng. Wongcharoen and T. Gaewdang "Co-existence of F and Sb Dopant in Transparent Conducting SnO₂ Thin Films Prepared by Ultrasonic Spray Pyrolysis Method" *ISES Solar World Congress 2007*, September 18- 21, 2007. Beijing, China, *Proceedings*, pp.1269-1274.
20. T. Gaewdang and Ng. Wongcharoen "Growth and Characterization of Co-Doped Fluorine and Antimony in Tin Oxide Thin Films Obtained by Ultrasonic Spray Pyrolysis" *Journal of Solid Mechanics and Material Engineering*, Vol. 1, No. 4, 2007, pp.592-601. (ผู้วิจัยหลัก)
21. T. Gaewdang "Investigations on Chemically Deposited Cd_{1-x}Zn_xS Thin Films With Low Zn Content" *Materials Letters*, Vol.59, 2005 pp. 3577- 3584.
22. Ng. Wongcharoen and T. Gaewdang "Comparative Studies of Thermally Evaporated Cd_{1-x}Zn_xS Thin Films Prepared by Using Different Precursors" *Technical Digest of the International PVSEC-15*, 10-15 October 2005, Shanghai, RPC. pp.694- 695.
23. T. Gaewdang and Ng. Wongcharoen "Optical and Electrical Properties of B-Doped Cd_{0.6}Zn_{0.4}S Thin Films Prepared by Chemical Bath Deposition Method" *Technical Digest of the International PVSEC-15*, 10-15 October 2005, Shanghai, RPC. pp.696- 697.
24. Ng. Gaewdang and T. Gaewdang "Thickness Dependence of Structural, Optical and Electrical Properties of CdS and CdS:In Films Prepared by Thermal Evaporation" *Technical Digest of the International PVSEC-14*, Bangkok, Thailand. 2004, pp.581-582.

25. Ng. Gaewdang, T. Gaewdang and W. Lipar "Some Characterization of Chemical Bath Co-Deposited CdS- ZnS Thin Films" Technical Digest of the International PVSEC-14, Bangkok, Thailand. 2004, pp.583-584.

ผู้ร่วมวิจัย

ชื่อ-นามสกุล นางทิพรรัตน์ วงษ์เจริญ

ตำแหน่งปัจจุบัน รองศาสตราจารย์

ประวัติการศึกษา

ปีที่จบการศึกษา	ระดับปริญญา	อักษรย่อปริญญา	สาขาวิชา	ชื่อสถาบันการศึกษา
2526	ปริญญาตรี	วท.บ.	ฟิสิกส์	มหาวิทยาลัยศิลปากร จ.นครปฐม
2529	ปริญญาโท	วท.ม.	คณิตศาสตร์ ประยุกต์	มหาวิทยาลัยมหิดล กรุงเทพฯ
2538	ปริญญาเอก	Ph.D.	วิศวกรรมไฟฟ้า	City University London, U.K.

สาขาวิชาการที่มีความชำนาญพิเศษ (แตกต่างจากวุฒิการศึกษา)

ฟิสิกส์ของแข็ง ฟิสิกส์สารกึ่งตัวนำ

ผลงานวิจัย/งานสร้างสรรค์ที่ตีพิมพ์เผยแพร่ (ระดับชาติและนานาชาติ)

1. T. Gaewdang, Ng. Wongcharoen and T. Wongcharoen "Effect of Annealing Temperature on the Optical Parameters of CdS Thin Films Prepared by Thermal Evaporation Method" Advanced Materials Research, Vol. 747, 2013, pp. 329-332.
2. Ng. Wongcharoen, T. Gaewdang and T. Wongcharoen "Structural and Thermoelectric Properties of Zn-Doped Cuprous Aluminate Delafossite" Advanced Materials Research, Vol. 747, 2013, pp. 333-336.
3. Ng. Wongcharoen, T. Gaewdang and T. Wongcharoen "Determination of Gap State Density in n-CdS/p-CuAlO₂ Heterojunction" Asian Conference on Civil, Material and Environmental Sciences (ACCMES) 2013, March 15-17, 2013, Tokyo, Japan, Proceedings, pp. 2078-2088.

เอกสารนี้เป็นเอกสารที่สงวนไว้สำหรับการใช้งานเพื่อการศึกษาเท่านั้น ไม่อนุญาตให้นำไปใช้ประโยชน์ด้านการค้า
ไม่ว่ากรณีใดๆทั้งสิ้น อีกทั้งห้ามมิให้ดัดแปลงเนื้อหา และต้องอ้างอิงถึงเจ้าของเอกสารทุกครั้งที่มีการนำไปใช้

4. T. Gaewdang, Ng. Wongcharoen and T. Wongcharoen "Preparation and Characterization of CdS_xTe_{1-x} ($0 \leq x \leq 1$) Thin Films" Asian Conference on Civil, Material and Environmental Sciences (ACCMES) 2013, March 15-17, 2013, Tokyo, Japan, Proceedings, pp. 2070-2077.
5. T. Gaewdang, Ng. Wongcharoen and T. Wongcharoen "Characterization of CdS/CdTe Heterojunction Solar Cell by Current- Voltage Measurements at Various Temperatures under Illumination", Energy Procedia, vol. 15, 2012, pp. 299-304.
6. Ng. Wongcharoen, T. Gaewdang and T. Wongcharoen "Electrical Properties of Al-Doped CdO films Prepared by Thermal Evaporation in Vacuum" Energy Procedia, vol. 15, 2012, pp. 361-370.
7. Ng. Wongcharoen, T. Gaewdang, C. Thaisatuen, W. Bunkua, A. Ariyaritand and T. Wongcharoen "Optical and Electrical Properties of CdTe Thin Films with Different Thicknesses" Proceeding of the 6th Annual Conference of The Thai Physics Society (SPC2011), March 23-26, 2011, Ambassador City Jomtien Hotel, Pataya, Thailand, pp. 352-356.
8. T. Gaewdang, Ng. Wongcharoen, W. Bunkua, C. Thaisatuen, T. Wongcharoen and C. Poo-Rakkiat "Effect of Ramp Time of Close Spaced Sublimation on Physical Properties of CdTe Thin Films" Proceeding of the 6th Annual Conference of The Thai Physics Society (SPC2011), March 23-26, 2011, Ambassador City Jomtien Hotel, Pataya, Thailand, pp. 349-351.
9. Ng. Wongcharoen, T. Wongcharoen, C. Poo-Rakkiat and T. Gaewdang "Structural and Optical Studies of Chemical Bath Deposited $Cd_{1-x}Zn_xS$ Thin Films" The 27th Congress on Science and Technology of Thailand, Proceeding, 24-26 October 2001, pp. 200.
10. Ng. Wongcharoen, T. Wongcharoen and T. Gaewdang "Preparation and Characterization of Cadmium Sulfide Thin Films", The 25th Congress on Science and Technology of Thailand, 1999, pp. 546-547.

ผู้ร่วมวิจัย

ผู้ร่วมวิจัย

1. ชื่อ (ภาษาไทย) นายชัยสิงห์ ภูรักษาเกียรติ
(ภาษาอังกฤษ) Mr. Chaisingh Poo-Rakkiat
2. เลขหมายบัตรประจำตัวประชาชน 3-1016-00437-200
3. ตำแหน่งปัจจุบัน ผู้ช่วยศาสตราจารย์ ระดับ 8 ทำงานวิจัยจำนวน 4 ชั่วโมง
ต่อสัปดาห์

เอกสารนี้เป็นเอกสารที่สงวนไว้สำหรับการใช้งานเพื่อการศึกษาเท่านั้น ไม่อนุญาตให้นำไปใช้ประโยชน์ด้านการค้า
ไม่ว่ากรณีใดๆทั้งสิ้น อีกทั้งห้ามมิให้ดัดแปลงเนื้อหา และต้องอ้างอิงถึงเจ้าของเอกสารทุกครั้งที่มีการนำไปใช้

4. หน่วยงานและสถานที่อยู่ที่ติดต่อได้สะดวก
ภาควิชาฟิสิกส์ คณะวิทยาศาสตร์ จุฬาลงกรณ์มหาวิทยาลัย ปทุมวัน กรุงเทพฯ 10330
หมายเลขโทรศัพท์ โทร. (02)218-5298, e-mail: Chaisingh.P@chula.ac.th
5. ประวัติการศึกษา

ปีที่ยัง การศึกษา	ระดับ ปริญญา	อักษรย่อ ปริญญา	สาขาวิชา	ชื่อสถาบันการศึกษา
2522	ปริญญาตรี	วท.บ.	ฟิสิกส์	มหาวิทยาลัยเกษตรศาสตร์ กรุงเทพฯ
2525	ปริญญาโท	วท.ม.	ฟิสิกส์ (ทฤษฎี)	จุฬาลงกรณ์มหาวิทยาลัย กรุงเทพฯ
2532	ปริญญาเอก	Ph.D.	ฟิสิกส์นิวเคลียร์	Notre Dame University, U.S.A.

6. สาขาที่มีความชำนาญพิเศษ

การสร้างแบบจำลองทางฟิสิกส์โดยใช้โปรแกรมคอมพิวเตอร์

7. ประสบการณ์ที่เกี่ยวข้องกับการบริหารงานวิจัย และงานวิจัยทั้งภายในและภายนอกประเทศโดยระบุสถานภาพในการทำการวิจัยว่าเป็นผู้อำนวยการแผนงานวิจัย หัวหน้าโครงการวิจัย หรือผู้ร่วมวิจัยในแต่ละผลงานวิจัย

7.1 ผู้อำนวยการแผนงานวิจัย : ชื่อแผนงานวิจัย

—

7.2 หัวหน้าโครงการวิจัย : ชื่อโครงการวิจัย

—

7.3 งานวิจัยที่ทำเสร็จแล้ว

1. T. Khantayaporn, Ng. Wongcharoen, T. Gaewdang and C. Poo-Rakkiat "Structural and Optical Properties of CdS_xTe_{1-x} Thin Films Prepared by Thermal Evaporation Method" The 40th Congress on Science and Technology of Thailand (STT40), December 2-4, 2014, Khon Kaen, Thailand, pp. 71-78. (ผู้ร่วมวิจัย)

เอกสารนี้เป็นเอกสารที่สงวนไว้สำหรับการใช้งานเพื่อการศึกษาเท่านั้น ไม่อนุญาตให้นำไปใช้ประโยชน์ด้านการค้า
ไม่ว่ากรณีใดๆทั้งสิ้น อีกทั้งห้ามมิให้ดัดแปลงเนื้อหา และต้องอ้างอิงถึงเจ้าของเอกสารทุกครั้งที่มีการนำไปใช้

2. Gaewdang, Ng. Wongcharoen, A. Nopparachikun, T. Wongcharoen and C. Poo-Rakkiat "Fabrication and Characterization of Heterojunction for CdS Thin Films and CuAlO₂ Ceramic Pill Substrate" Journal of Metals, Materials and Minerals, Vol. 22 No. 2, 2012, pp.125-129. (ผู้ร่วมวิจัย)
3. T. Gaewdang, Ng. Wongcharoen, W. Bunkua, C. Thaisatuen, T. Wongcharoen and C. Poo-Rakkiat "Effect of Ramp Time of Close Spaced Sublimation on Physical Properties of CdTe Thin Films" Proceeding of the 6th Annual Conference of The Thai Physics Society (SPC2011), March 23-26, 2011, Ambassador City Jomtien Hotel, Pataya, Thailand, pp. 349-351. (ผู้ร่วมวิจัย)
4. Ng. Wongcharoen, T. Gaewdang, J. Wattananurak and C. Poo-Rakkiat "Structural and Electrical Properties of Ni-Doped CuAlO₂" International Conference on Engineering, Applied Science and Technology (ICEAST 2007), November 21-23, 2007, Bangkok, Thailand, Proceedings, pp.885-888. (ผู้ร่วมวิจัย)
5. Ng. Gaewdang, T. Wongcharoen, C. Poo-Rakkiat and T. Gaewdang "Structural and Optical Studies of Chemical Bath Deposited Cd_{1-x}Zn_xS Thin Films" The 27th Congress on Science and Technology of Thailand, Proceeding, 24-26 October 2001, pp. 200. (ผู้ร่วมวิจัย)
6. Ng. Gaewdang, T. Wongcharoen, C. Poo-Rakkiat and T. Gaewdang, "Crystalline Bulk Growth of Cadmium Sulfide", The 23rd Congress on Science and Technology of Thailand. 1997, pp. 172-173. (ผู้ร่วมวิจัย).
7. Ng. Wongchareon, C. Poo-Rakkiat, T. Wongcharoen and T. Gaewdang "Influence of Germanium on Some Properties of Indium Oxide Compounds" The 22nd Congress on Science and Technology of Thailand, 1996, pp. 142-143. (ผู้ร่วมวิจัย)
8. Ng. Wongchareon, C. Poo-Rakkiat, T. Wongcharoen, and T. Gaewdang, "The Influence of Tin on the Electrical Resistivity of Indium Oxide Ceramic Samples" The 21st Congress on Science and Technology of Thailand, 25-27 October (1995), pp. 200-201 (ผู้ร่วมวิจัย)